

International Nonproprietary Names for Pharmaceutical Substances (INN)

Notice is hereby given that, in accordance with article 3 of the Procedure for the Selection of Recommended International Nonproprietary Names for Pharmaceutical Substances, the names given in the list on the following pages are under consideration by the World Health Organization as Proposed International Nonproprietary Names. The inclusion of a name in the lists of Proposed International Nonproprietary Names does not imply any recommendation of the use of the substance in medicine or pharmacy.

Lists of Proposed (1–117) and Recommended (1–78) International Nonproprietary Names can be found in *Cumulative List No. 17, 2017* (available in CD-ROM only). The statements indicating action and use are based largely on information supplied by the manufacturer. **This information is merely meant to provide an indication of the potential use of new substances at the time they are accorded Proposed International Nonproprietary Names.** WHO is not in a position either to uphold these statements or to comment on the efficacy of the action claimed. Because of their provisional nature, these descriptors will neither be revised **nor included in the Cumulative Lists of INNs.**

Dénominations communes internationales des Substances pharmaceutiques (DCI)

Il est notifié que, conformément aux dispositions de l'article 3 de la Procédure à suivre en vue du choix de Dénominations communes internationales recommandées pour les Substances pharmaceutiques les dénominations ci-dessous sont mises à l'étude par l'Organisation mondiale de la Santé en tant que dénominations communes internationales proposées. L'inclusion d'une dénomination dans les listes de DCI proposées n'implique aucune recommandation en vue de l'utilisation de la substance correspondante en médecine ou en pharmacie.

On trouvera d'autres listes de Dénominations communes internationales proposées (1–117) et recommandées (1–78) dans la *Liste récapitulative No. 17, 2017* (disponible sur CD-ROM seulement). Les mentions indiquant les propriétés et les indications des substances sont fondées sur les renseignements communiqués par le fabricant. **Elles ne visent qu'à donner une idée de l'utilisation potentielle des nouvelles substances au moment où elles sont l'objet de propositions de DCI.** L'OMS n'est pas en mesure de confirmer ces déclarations ni de faire de commentaires sur l'efficacité du mode d'action ainsi décrit. En raison de leur caractère provisoire, ces informations **ne figureront pas dans les listes récapitulatives de DCI.**

Denominaciones Comunes Internacionales para las Sustancias Farmacéuticas (DCI)

De conformidad con lo que dispone el párrafo 3 del "Procedimiento de Selección de Denominaciones Comunes Internacionales Recomendadas para las Sustancias Farmacéuticas", se comunica por el presente anuncio que las denominaciones detalladas en las páginas siguientes están sometidas a estudio por la Organización Mundial de La Salud

como Denominaciones Comunes Internacionales Propuestas. La inclusión de una denominación en las listas de las DCI Propuestas no supone recomendación alguna en favor del empleo de la sustancia respectiva en medicina o en farmacia.

Las listas de Denominaciones Comunes Internacionales Propuestas (1–117) y Recomendadas (1–78) se encuentran reunidas en *Cumulative List No. 17, 2017* (disponible sólo en CD-ROM). Las indicaciones sobre acción y uso que aparecen se basan principalmente en la información facilitada por los fabricantes. **Esta información tiene por objeto dar una idea únicamente de las posibilidades de aplicación de las nuevas sustancias a las que se asigna una DCI Propuesta.** La OMS no está facultada para respaldar esas indicaciones ni para formular comentarios sobre la eficacia de la acción que se atribuye al producto. Debido a su carácter provisional, esos datos descriptivos **no deben incluirse en las listas recapitulativas de DCI.**

Proposed International Nonproprietary Names: List 121

Comments on, or formal objections to, the proposed names may be forwarded by any person to the INN Programme of the World Health Organization within four months of the date of their publication in *WHO Drug Information*, i.e., for **List 121 Proposed INN not later than 21 December 2019.**

Publication date: 21/08/2019

Dénominations communes internationales proposées: Liste 121

Des observations ou des objections formelles à l'égard des dénominations proposées peuvent être adressées par toute personne au Programme des Dénominations communes internationales de l'Organisation mondiale de la Santé dans un délai de quatre mois à compter de la date de leur publication dans *WHO Drug Information*, c'est à dire pour la **Liste 121 de DCI Proposées le 21 décembre 2019 au plus tard.**

Date de publication : 21/08/2019

Denominaciones Comunes Internacionales Propuestas: Lista 121

Cualquier persona puede dirigir observaciones u objeciones respecto de las denominaciones propuestas, al Programa de Denominaciones Comunes Internacionales de la Organización Mundial de la Salud, en un plazo de cuatro meses, contados desde la fecha de su publicación en *WHO Drug Information*, es decir, para la **Lista 121 de DCI Propuestas el 21 diciembre de 2019 a más tardar.**

Fecha de publicación: 21/08/2019

<i>Proposed INN (Latin, English, French, Spanish)</i>	<i>Chemical name or description: Action and use: Molecular formula Chemical Abstracts Service (CAS) registry number: Graphic formula</i>
<i>DCI Proposée</i>	<i>Nom chimique ou description: Propriétés et indications: Formule brute : Numéro dans le registre du CAS: Formule développée</i>
<i>DCI Propuesta</i>	<i>Nombre químico o descripción: Acción y uso: Fórmula molecular Número de registro del CAS: Fórmula desarrollada</i>

acidum arlicoicum

arlipoic acid

5-[(3*R*)-1,2-dithiolan-3-yl]pentanoic acid
antioxidant

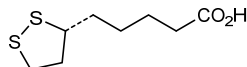
acide arlicoïque

acide 5-[(3*R*)-1,2-dithiolan-3-yl]pentanoïque
antioxydant

ácido arlipóico

ácido 5-[(3*R*)-1,2-ditiolan-3-il]pentanoico
*antioxidante*C₈H₁₄O₂S₂

1200-22-2

**actinium (²²⁵Ac) lintuzumabum satetrahexetanum #**actinium (²²⁵Ac) lintuzumab satetrahexetan

immunoglobulin G1-kappa, anti-[*Homo sapiens* CD33 (sialic acid binding Ig-like lectin 3, SIGLEC3, SIGLEC-3, gp67, p67)], humanized monoclonal antibody, conjugated to satetrahexetan (DOTA derivative) and radiolabelled with actinium-225; gamma1 heavy chain humanized (1-446) [VH (*Homo sapiens* IGHV1-3*01 (79.6%) -(IGHD) -IGHJ4*01 (100%)) [8.8.9] (1-116) -*Homo sapiens* IGHG1*01 (100%) G1m17.1 (CH1 K120 (213) (117-214), hinge 1-15 (215-229), CH2 (230-339), CH3 D12 (355), L14 (357) (340-444), CHS (445-446)) (117-446)], (219-218')-disulfide with kappa light chain humanized (1'-218') [V-KAPPA (*Homo sapiens* IGKV1-39*01 (82.8%) -IGKJ1*01 (100%)) [10.3.9] (1'-111') -*Homo sapiens* IGKC*01 (100%), Km3 A45.1 (157), V101 (195) (112'-218')]; dimer (225-225":228-228")-bisdisulfide, produced in SP2/0-Ag14 murine myeloma cell line, glycoform alfa; actinium-225 (Ac 225) radiolabelled satetrahexetan (DOTA derivative) conjugate, on an average of 1 or 2 lysyl For the *satetrahexetan* part, please refer to the document "INN for pharmaceutical substances: Names for radicals, groups & others"**
antineoplastic

actinium (²²⁵Ac) lintuzumab satétraxétan

immunoglobuline G1-kappa, anti-[*Homo sapiens* CD33 (lectine 3 de type Ig-like liant l'acide sialique, SIGLEC3, SIGLEC-3, gp67, p67)], anticorps monoclonal humanisé, conjugué au satétraxétan (dérivé DOTA) et radiomarqué à l'actinium-225 (Ac 225); chaîne lourde gamma1 humanisée (1-446) [VH (*Homo sapiens* IGHV1-3*01 (79.6%) -(IGHD) -IGHJ4*01 (100%)) [8.8.9] (1-116) -*Homo sapiens* IGHG1*01 (100%) G1m17,1 (CH1 K120 (213) (117-214), charnière 1-15 (215-229), CH2 (230-339), CH3 D12 (355), L14 (357) (340-444), CHS (445-446)) (117-446)], (219-218')-disulfure avec la chaîne légère kappa humanisée (1'-218') [V-KAPPA (*Homo sapiens* IGKV1-39*01 (82.8%) -IGKJ1*01 (100%)) [10.3.9] (1'-111') -*Homo sapiens* IGKC*01 (100%), Km3 A45.1 (157), V101 (195) (112'-218')]; dimère (225-225":228-228")-bisdisulfure, produite dans la lignée cellulaire de myélome murin SP2/0-Ag14, glycoforme alfa; conjugué au satétraxétan (dérivé DOTA), sur 1 à 2 lysyl en moyenne, et radiomarqué à l'actinium-225 (Ac 225) Pour la partie *satétraxétan*, veuillez-vous référer au document "INN for pharmaceutical substances: Names for radicals, groups & others**". antinéoplasique

actinio (²²⁵Ac) lintuzumab satetrajetán

inmunoglobulina G1-kappa, anti-[*Homo sapiens* CD33 (lectina 3 de tipo Ig-like que se une al ácido siálico, SIGLEC3, SIGLEC-3, gp67, p67)], anticuerpo monoclonal humanizado, conjugado con satetrajetán (derivado DOTA) y radiomarcado con actinio-225 (Ac 225); cadena pesada gamma1 humanizada (1-446) [VH (*Homo sapiens* IGHV1-3*01 (79.6%) -(IGHD) -IGHJ4*01 (100%)) [8.8.9] (1-116) -*Homo sapiens* IGHG1*01 (100%) G1m17,1 (CH1 K120 (213) (117-214), bisagra 1-15 (215-229), CH2 (230-339), CH3 D12 (355), L14 (357) (340-444), CHS (445-446)) (117-446)], (219-218')-disulfuro con la cadena ligera kappa humanizada (1'-218') [V-KAPPA (*Homo sapiens* IGKV1-39*01 (82.8%) -IGKJ1*01 (100%)) [10.3.9] (1'-111') -*Homo sapiens* IGKC*01 (100%), Km3 A45.1 (157), V101 (195) (112'-218')]; dímero (225-225":228-228")-bisdisulfuro, producido en la línea celular de mieloma murino SP2/0-Ag14, glicoforma alfa; conjugado con satetrajetán (derivado DOTA), en 1 o 2 restos lisil por término medio, y radiomarcado con actinio-225 (Ac 225) Para la fracción *satetrajetán*, se puede referir al documento "INN for pharmaceutical substances: Names for radicals, groups & others**". antineoplásico

2209911-94-2

Heavy chain / Chaîne lourde / Cadena pesada

QVQLVQSGAE VKKPGSSVKV SKCASGYTFT DYNMHWRVQA PGQQGLEWIGY 50
 IYPYNGGTGY NQKFKSKATI TADESTNTAY MELSSLRSED TAVYYCARGR 100
 PAMDYWGGQT LVTVSSASTK GPSVFPLAPS SKSTSGGTAAC LGCLVKDYFP 150
 EPVTVSWNSG ALTSGVHTFP AVLQSGGLYS LSSVTVPPS SLGTQTYICN 200
 VNVHKPSNTKV DRKVEPKSCD KHTCPFCPA FELLGGPSVF LFPPKPDKTL 250
 MISRTPEVTC VVVDVSHEDV EVKFNWWVVDG VEVHNNAKTK REEQVNSTYR 300
 VVSVLTFLHQ DWLNKGKEYKQ KVSNKALPAP IERKISAKAG QPREPVYVTL 350
 PPSRDELTKN QVSILTCLVKQ FVPSPDIAREW ESNQGPENNY KTPTPVLDSD 400
 GSFFFLYSKLT VDKSRWQQGN VFSCSVVMHEA LHNHYTQKSL SLSPGK 446

Light chain / Chaîne légère / Cadena ligera

DIQMTQSPFSS LSASVQDRVTV ITCRASESDV NYGISFMNWF QQKPGKAPKL 50
 LIYASASNQGS GVPSRFGSSC SGTDFTLTTIS SLQPDFFATY YCQQSKVEPV 100
 TFGGGTKVEI KRTVAAPSVF IFFPSDEQLK SGTASVCLL NNFYPREAKV 150
 QWKVDNALQS GNSQESVTEQ DSKDSTYSLS STLTLSKADY EHKHVYACEV 200
 THQQLSSPVT KSFNRGECA 218

Post-translational modifications

Disulfide bridges location / Position des ponts disulfure / Posiciones de los puentes disulfuro
 Intra-H (C23-C104) 22-96 143-199 260-320 366-424
 22"-96" 143"-199" 260"-320" 366"-424"

Intra-L (C23-C104) 23"-92' 138"-198'
 23"-92" 138"-198"
 Inter-H-L (h 5-CL 126) 219-218' 219"-218"
 Inter-H-H (h 11, h 14) 225-225" 228-228"

N-glycosylation sites / Sites de N-glycosylation / Posiciones de N-glicosilación

H CH2 N84.4:

296, 296"

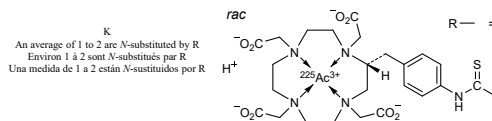
Fucosylated complex bi-antennary SP2/0-Ag14-type glycans / glicanes de tipo SP2/0-Ag14
 bi-antennarios complejos fucosylés / glicanos de tipo SP2/0-Ag14 biantenarios complejos
 fucosilados

C-terminal lysine clipping:

H CHS K2:

446, 446"

Modified residues / Résidus modifiés / Restos modificados

**amivantamabum #**

amivantamab

immunoglobulin G1-kappa, anti-[*Homo sapiens* EGFR (epidermal growth factor receptor, receptor tyrosine-protein kinase erbB-1, ERBB1, HER1, HER-1, ERBB)] and anti-[*Homo sapiens* MET (met proto-oncogene, hepatocyte growth factor (HGF) receptor, HGFR, scatter factor (SF) receptor, HGF/SF receptor, receptor tyrosine-protein kinase c-met, papillary renal cell carcinoma 2, RCCP2)], *Homo sapiens* monoclonal antibody, bispecific;

gamma1 heavy chain *Homo sapiens* anti-EGFR (1'-455) [VH (*Homo sapiens*IGHV3-33*01 (95.9%) -(IGHD) -IGHJ4*01 (100%)) [8.8.18] (1-125) -*Homo sapiens* IGHG1*03 G1m3, nG1m1 (CH1 R120 (222) (126-223), hinge 1-15 (224-238), CH2 (239-348), CH3 E12 (364), M14 (366), F85.1>L (413) (349-453), CHS (454-455)) (126-455)], (228-214")-disulfide with kappa light chain *Homo sapiens* anti-EGFR (1'-214') [V-KAPPA (*Homo sapiens* IGKV1-13*02 (96.8%) -IGKJ4*01 (100%)) [6.3.9] (1'-107") -*Homo sapiens* IGKC*01 (100%) Km3 A45.1 (153), V101 (191) (108"-213')];

gamma1 heavy chain *Homo sapiens* anti-MET (1"-449") [VH (*Homo sapiens*IGHV1-18*01 (95.9%) -(IGHD) -IGHJ4*01 (100%)) [8.8.12] (1"-119") -*Homo sapiens* IGHG1*03 G1m3, nG1m1 (CH1 R120 (216) (120-217), hinge 1-15 (218-232), CH2 (233-342), CH3 E12 (358), M14 (360), K88>R (411) (343-447), CHS (448-449)) (119"-449")], (222"-214")-disulfide with kappa light chain *Homo sapiens* anti-MET (1"-214") [V-KAPPA (*Homo sapiens* IGKV1-12*01 (95.8%) -IGKJ5*01 (100%)) [6.3.9] (1"-107") -*Homo sapiens* IGKC*01 (100%) Km3 A45.1 (153), V101 (191) (108"-214")];

	dimer (234-228"-237-231")-bisdisulfide, produced in Chinese Hamster Ovary (CHO) cells, glycoform alfa <i>immunomodulator, antineoplastic</i>
amivantamab	immunoglobuline G1-kappa, anti-[<i>Homo sapiens</i>] EGFR (récepteur du facteur de croissance épidermique, récepteur tyrosine-protéine kinase erb-1, ERBB1, HER1, HER-1, ERBB]) et anti-[<i>Homo sapiens</i>] MET (proto-oncogène met, récepteur du facteur de croissance hépatocytaire, HGFR, récepteur du facteur de dispersion, récepteur de l'HGF/SF, récepteur protéine-tyrosine kinase c-Met, carcinome papillaire à cellules rénales 2, RCCP2)], anticorps monoclonal <i>Homo sapiens</i> bispécifique; chaîne lourde gamma1 <i>Homo sapiens</i> anti-EGFR (1-455) [VH (<i>Homo sapiens</i> IGHV3-33*01 (95.9%) -(IGHD) -IGHJ4*01 (100%)) [8.8.18] (1-125) - <i>Homo sapiens</i> IGHG1*03 G1m3, nG1m1 (CH1 R120 (222) (126-223), charnière 1-15 (224-238), CH2 (239-348), CH3 E12 (364), M14 (366), F85.1>L (413) (349-453), CHS (454-455)) (126-455)], (228-214")-disulfure avec la chaîne légère kappa <i>Homo sapiens</i> anti-EGFR (1'-214') [V-KAPPA (<i>Homo sapiens</i> IGKV1-13*02 (96.8%) -IGKJ4*01 (100%)) [6.3.9] (1'-107") - <i>Homo sapiens</i> IGKC*01 (100%) Km3 A45.1 (153), V101 (191) (108"-213")]; chaîne lourde gamma1 <i>Homo sapiens</i> anti-MET (1"-449") [VH (<i>Homo sapiens</i> IGHV1-18*01 (95.9%) -(IGHD) -IGHJ4*01 (100%)) [8.8.12] (1"-119") - <i>Homo sapiens</i> IGHG1*03 G1m3, nG1m1 (CH1 R120 (216) (120-217), charnière 1-15 (218-232), CH2 (233-342), CH3 E12 (358), M14 (360), K88>R (411) (343-447), CHS (448-449)) (119"-449")], (222"-214")-disulfure avec la chaîne légère kappa <i>Homo sapiens</i> anti-MET(1"-214") [V-KAPPA (<i>Homo sapiens</i> IGKV1-12*01 (95.8%) -IGKJ5*01 (100%)) [6.3.9] (1"-107") - <i>Homo sapiens</i> IGKC*01 (100%) Km3 A45.1 (153), V101 (191) (108"-214")]; dimère (234-228"-237-231")-bisdisulfure, produit dans des cellules ovariennes de hamsters chinois (CHO), glycoforme alfa <i>immunomodulateur, antinéoplasique</i>
amivantamab	imunoglobulina G1-kappa, anti-[<i>Homo sapiens</i>] EGFR (receptor del factor de crecimiento epidémico, receptor tirosina-proteína kinasa erb-1, ERBB1, HER1, HER-1, ERBB]) y anti-[<i>Homo sapiens</i>] MET (proto-oncogén met, receptor del factor de crecimiento hepatocitario, HGFR, receptor del factor de dispersión, receptor de l'HGF/SF, receptor proteína-tyrosina kinasa c-Met, carcinoma papilar de células renales 2, RCCP2)], anticuerpo monoclonal <i>Homo sapiens</i> biespecífico; cadena pesada gamma1 <i>Homo sapiens</i> anti-EGFR (1-455) [VH (<i>Homo sapiens</i> IGHV3-33*01 (95.9%) -(IGHD) -IGHJ4*01 (100%)) [8.8.18] (1-125) - <i>Homo sapiens</i> IGHG1*03 G1m3, nG1m1 (CH1 R120 (222) (126-223), bisagra 1-15 (224-238), CH2 (239-348), CH3 E12 (364), M14 (366), F85.1>L (413) (349-453), CHS (454-455)) (126-455)], (228-214")-disulfuro con la cadena ligera kappa <i>Homo sapiens</i> anti-EGFR (1'-214') [V-KAPPA (<i>Homo sapiens</i> IGKV1-13*02 (96.8%) -IGKJ4*01 (100%)) [6.3.9] (1'-107") - <i>Homo sapiens</i> IGKC*01 (100%) Km3 A45.1 (153), V101 (191) (108"-213")]; cadena pesada gamma1 <i>Homo sapiens</i> anti-MET (1"-449") [VH (<i>Homo sapiens</i> IGHV1-18*01 (95.9%) -(IGHD) -IGHJ4*01 (100%)) [8.8.12] (1"-119") - <i>Homo sapiens</i> IGHG1*03 G1m3, nG1m1 (CH1 R120 (216) (120-217), bisagra 1-15 (218-232), CH2 (233-342), CH3 E12 (358), M14 (360), K88>R (411) (343-447), CHS (448-449)) (119"-449")], (222"-214")-disulfuro con la

cadena ligera kappa *Homo sapiens* anti-MET(1"-214") [V-KAPPA (*Homo sapiens* IGKV1-12*01 (95.8%) -IGKJ5*01 (100%)) [6.3.9] (1"-107") -*Homo sapiens* IGKC*01 (100%) Km3 A45.1 (153), V101 (191) (108"-214"]); dímero (234-228"-237-231")-bisdisulfuro, producido en las células ováricas de hamsters chinos (CHO), glicoforma alfa *inmunomodulador, antineoplásico*

2171511-58-1

Heavy chain / Chaîne lourde / Cadena pesada (anti-EGFR)

QVQLVESEGGV VVQPGRSRLR SCAASGFTFS TYGMHHWVRQA PGKGLEWVAV 50
IWDGDSYKKY GDSSVKGRTI SRDNKNTLY LQMNLSRAED TAVYYCARDG 100
ITMVRGVMDK YFDYWQGQTL VTVTSASASTKG PSVFPFLAPSS KSTSGGTAAL 150
GCLVKDVFPE PVTGSVNSGA LTSGVHTFFA VLQSSGLYSL SSVTVPFSS 200
LGQTQTYICNV NHKEBSNTKVD KREPKPSCKL THTCPCPAP ELLGGPSVFL 250
FFPKPKDTLM ISRTPEVTCV VVDVSHEDPE VKPNWYVDDG EVHNAKTKPR 300
EEQYNSTYRV VSVLTVLHQD WLNGKEYKCK VSNKALFAPI EKTISKAKQG 350
PREPVQVTLF PSEEMETKNQ VSLTCLVKGF YFSDIAVEWE SNQPEENNYR 400
TTTPQVLDSD SFLLYSKLTV DKSRSQWQQGNV FSCSVMHEAL HNHYTQKSL 450
LSPGK 455

Light chain / Chaîne légère / Cadena ligera (anti-EGFR)

AIQLTQSPSS LSASVGDREV ITCRASQDIS SALWYQKRP GKAPKLLIYD 50
ASSLSEGVPB RFSGSGSGTD FTILTISLQP EDPATYYCQQ FNSYPLTFGG 100
GTKVEIKRTV AAPSVFVIFPP SDEQLKSGTA SVVCLLNFY PREAKIVQWKV 150
DNAQSGNSQ ESTVEQDSKD STYSLSSLTL LSKADYEKHK VYACEVTHQG 200
LSSPVTKSFN RGEC 214

Heavy chain / Chaîne lourde / Cadena pesada (anti-MET)

QVQLVQSGAE VKPKGAVSKV SCETSGYFTT SYGISMWVRQA PGHGLEMMGW 50
ISAYNGYTNV AQLKLQRVNTN TTDITSTSTAY MELRSLRSDD TAVYYCARDL 100
RGTNYFWDW QGTILTVTWSA STKGPSVFFL APSSKSTSGG TAALGCLVLD 150
YFPFEPVTVSW NSGALTSGVH TPPAVLQSSG LYSLSSVVTV PSSSLGTQTY 200
ICNVNHHKPSN TKVDKRVEPK SCDKTHTCPF CFAPELFLGGP SVFLPFKPK 250
DTLMISRTPE VTCVVVDVSH EDPEVKFNWY VGDEVEHNAK TKFREEQYNS 300
TYRVSLSVLT LHQDWLNGKE YKCKVSNKAL PAPIETISK AKQQPREFQV 350
YTLPSSREEM TKNQVSILTCL VKGFPYPSDIA VEWEESNGQE NNYKTFPFVL 400
DSDGSFFFLYS RLTVQDKSRWQ QGNVFSCSVN HEALHNHYTQ KSLSLSPGK 449

Light chain / Chaîne légère / Cadena ligera (anti-MET)

DIQMTQSPSS VSASVGDREV ITCRASQDIS NWLAWFQHKP GKAPKLLIYA 50
ASSLSEGVPB RFSGSGSGTD FTILTISLQP EDPATYYCQQ ANSFPTIFGG 100
GTRLEIKRTV AAPSVFVIFPP SDEQLKSGTA SVVCLLNFY PREAKIVQWKV 150
DNAQSGNSQ ESTVEQDSKD STYSLSSLTL LSKADYEKHK VYACEVTHQG 200
LSSPVTKSFN RGEC 214

Post-translational modifications

Disulfide bridges location / Position des ponts disulfure / Posiciones de los puentes disulfuro

Intra-H (C23-C104) 22-96 152-208 269-329 375-433

22"-96" 146"-202" 263"-323" 369"-427"

Intra-L (C23-C104) 23"-88" 134"-194"

23"-88" 134"-194"

Inter-H-L (h 5-CL 126) 228-214" 222-214"

Inter-H-H (h 11, h 14) 234-228" 237-231"

N-glycosylation sites / Sites de N-glycosylation / Posiciones de N-glicosilación

H CH2 N84.4:

305, 299

Low fucosylated complex bi-antennary CHO-type glycans / glycanes de type CHO bi-antennaires complexes faiblement fucosylés / glicanos de tipo CHO biantenarios complejos bajos fucosilados.

anetumab corixetanum #

anetumab corixetan

immunoglobulin G1-lambda2, anti-[*Homo sapiens* MSLN (mesothelin, pre-pro-megakaryocyte-potentiating factor, megakaryocyte-potentiating factor, MPF, CAK1)], *Homo sapiens* monoclonal antibody, conjugated to chelator corixetan; gamma1 heavy chain *Homo sapiens* (1-450) [VH (*Homo sapiens*IGHV5-51*01 (94.9%) -(IGHD)-IGHJ4*01 (86.7%)) [8.8.13] (1-120) -*Homo sapiens*IGHG1*01 (100%) G1m17,1 (CH1 K120 (217) (121-218), hinge 1-15 (219-233), CH2 (234-343), CH3 D12 (359) L14 (361) (344-448), CHS (449-450)) (121-450)], (223-216')-disulfide with lambda light chain *Homo sapiens* (1'-217') [V-LAMBDA (*Homo sapiens* IGLV2-14*01 (95.6%) -IGKJ2*01 (100%)) [9.3.11] (1'-111") -*Homo sapiens* IGLC2*01 (99.1%) A43>G (155) (112'-217")]; dimer (229-229"-232-232")-bisdisulfide, produced in Chinese Hamster Ovary (CHO)-S cell line, glicoforma alfa; conjugated to chelator corixetan, with an average of 0.5 chelator per antibody *antineoplastic*

anétumab corixétan	chaîne lourde gamma1 <i>Homo sapiens</i> (1-450) [VH (<i>Homo sapiens</i> IGHV5-51*01 (94.9%) -(IGHD) -IGHJ4*01 (86.7%)) [8.8.13] (1-120) - <i>Homo sapiens</i> IGHG1*01 (100%) G1m17,1 (CH1 K120 (217) (121-218), charnière 1-15 (219-233), CH2 (234-343), CH3 D12 (359), L14 (361) (344-448), CHS (449-450)) (121-450)], (223-216')-disulfure avec la chaîne légère lambda <i>Homo sapiens</i> (1'-217') [V-LAMBDA (<i>Homo sapiens</i> IGLV2-14*01 (95.6%) -IGKJ2*01 (100%)) [9.3.11] (1'-111') - <i>Homo sapiens</i> IGLC2*01 (99.1%) A43>G (155) (112'-217')]; dimère (229-229":232-232")-bisdisulfure, produit dans des cellules ovariennes de hamsters chinois (CHO) lignée cellulaire CHO-S, glycoforme alfa; conjugué au chélateur corixétan, avec une moyenne de 0.5 chélateur par anticorps antinéoplasique
anetumab corixetán	inmunoglobulina G1-lambda2, anti-[<i>Homo sapiens</i> MSLN (mesotelina, factor potenciador de pre-pro-megacariocito, factor potenciador de los megacariocitos, MPF, CAK1)], anticuerpo monoclonal <i>Homo sapiens</i> , conjugado con el quelante corixetán; cadena pesada gamma1 <i>Homo sapiens</i> (1-450) [VH (<i>Homo sapiens</i> IGHV5-51*01 (94.9%) -(IGHD) -IGHJ4*01 (86.7%)) [8.8.13] (1-120) - <i>Homo sapiens</i> IGHG1*01 (100%) G1m17,1 (CH1 K120 (217) (121-218), bisagra 1-15 (219-233), CH2 (234-343), CH3 D12 (359), L14 (361) (344-448), CHS (449-450)) (121-450)], (223-216')-disulfuro con lacadena ligera lambda <i>Homo sapiens</i> (1'-217') [V-LAMBDA (<i>Homo sapiens</i> IGLV2-14*01 (95.6%) -IGKJ2*01 (100%)) [9.3.11] (1'-111') - <i>Homo sapiens</i> IGLC2*01 (99.1%) A43>G (155) (112'-217')]; dímero (229-229":232-232")-bisdisulfuro, producido en las células ováricas de hamsters chinos (CHO) línea celular CHO-S, glicoforma alfa; conjugado con el quelante corixetán, con una media de 0.5 quelantes por anticuerpo antineoplásico

2222980-98-3

Heavy chain / Chaîne lourde / Cadena pesada

```

QVELVQSGAE VKKPGESELKI SCKGGGSYSFT SYWIGWVRQA PGKGLEWNGI 50
IDPGDSRTRY SPSPFOGQVTI SADKSIYSTAY LQWSSLKIAKD TAMYYCARGQ 100
LYGGTYMDGW QGQTILTVSS ASTKGPSVPF LAPSSKSTSG GTAALGCLVK 150
DYFPPEPVTVS WNSGALTQVSS GLYLSLSSVTI VPSSSLGTQT 200
YICVNWHKPS NTKVDKTKVKEP KSCDNTHTCP PCPAPELLGG PSVLFPPKPK 250
KDTLMISRTB EVTCTVVVDVNS HEDPEVKPNW YUDGVEVHNNA KTKPREEQVN 300
STYRVVSVLT VLHQDWLNGK EYKCKVSNKA LPAPIEKITIS KAKQGPQRQ 350
VYTLPLPSRDE LTKNQVSLTC LVKGYFYPDSI AVEWEWSNQP ENNYKTTTPV 400
LDSDGSFFLY SKLUTVDKSRW QQGNVFSCSV MHEALHNHYT QKSLSLSPGK 450

```

Light chain / Chaîne légère / Cadena ligera

```

DIALTOPASV SGSPQGSITII SCTGTFSSDYG GYNNSVSWYQQ HPGKAKPKLM 50
YGVNNRNPESGV SNRFGCSKSG NTASLTISGL QABEDARDYIC SSYDIESATP 100
VFGGGKTKLTV LGQPRAAPSV TLFPFSEEL QANKATIVCL ISDFYPPGAVT 150
VAWGKGDSSPV KAGVETTIPS KQSNNKYAAS SYLSLTPEQW KSHRSYSCQV 200
THEGSTVEKT VAPTECS 217

```

Post-translational modifications

Disulfide bridges location / Position des ponts disulfure/ Posiciones de los puentes disulfuro

Intra-H1 (C23-C104) 22-96 147-203 264-324 370-428

22"-96" 147"-203" 264"-324" 370"-428"

Intra-L (C23-C104) 22-90" 139-198"

22"-90" 139"-198"

Inter-H1-L (h 5-CL, 126) 223-216" 223"-216"

Inter-H1-H1 (h 11, h 14) 229-229" 232-232"

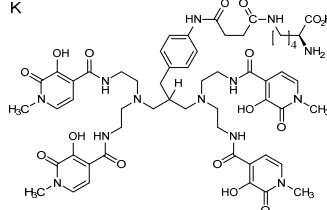
N-glycosylation sites / Sites de N-glycosylation / Posiciones de N-glicosilación

H1CH2 N84.4:

300, 300"

Fucosylated complex bi-antennary CHO-type glycans / glycane de type CHO bi-antennaires complexes fucosylés / glicanos de tipo CHO biantenarios complejos fucosilados

Potential modified residues / résidus modifiés potentiels / restos modificados potenciales



arpraziquantelum

arpraziquantel

(11b*R*)-2-(cyclohexanecarbonyl)-1,2,3,6,7,11b-hexahydro-4*H*-pyrazino[2,1-*a*]isoquinolin-4-one
anthelmintic

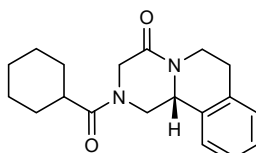
arpraziquantel

(11b*R*)-2-(cyclohexanecarbonyl)-1,2,3,6,7,11b-hexahydro-4*H*-pyrazino[2,1-*a*]isoquinoléin-4-one
anthelmintique

arprazicuantel

(11b*R*)-2-(ciclohexanocarbonil)-1,2,3,6,7,11b-hexahidro-4*H*-pirazino[2,1-*a*]isoquinolein-4-ona
*antihelmíntico*C₁₉H₂₄N₂O₂

57452-98-9

**astegolimabum #**

astegolimab

immunoglobulin G2-kappa, anti-[*Homo sapiens* IL1RL1 (interleukin 1 receptor like 1, DER4, FIT-1, growth stimulation expressed 2 gene, ST2, IL33R)], *Homo sapiens* monoclonal antibody; gamma2 heavy chain *Homo sapiens* (1-447) [VH (*Homo sapiens*IGHV5-51*01 (95.9%) -(IGHD - IGHJ6*01(94.1%)) [8.8.14] (1-121) -*Homo sapiens*IGHG2*01 (100%) (CH1 (122-219), hinge 1-12 (220-231), CH2 (232-340), CH3 (341-445), CHS (446-447)) (122-447)], (223-214')-disulfide with kappa light chain *Homo sapiens* (1'-214') [V-KAPPA (*Homo sapiens*IGKV1-33*01 (97.9%) -IGKJ4*01 (100.0%)) [6.3.9] (1'-107') -*Homo sapiens* IGKC*01 (100%), Km3 A45.1 (153), V101 (191) (108'-214')]; dimer (223-223":224-224":227-227":230-230")-tetrakisdisulfide, produced in Chinese Hamster Ovary (CHO) cells, glycoform alfa immunomodulator

astégolimab

immunoglobuline G2-kappa, anti-[*Homo sapiens* IL1RL1 (récepteur like 1 de l'interleukine 1, DER4, FIT-1, gène 2 exprimé lors de la stimulation de la croissance, ST2, IL33R)], anticorps monoclonal *Homo sapiens*; chaîne lourde gamma2 *Homo sapiens* (1-447) [VH (*Homo sapiens*IGHV5-51*01 (95.9%) -(IGHD - IGHJ6*01(94.1%)) [8.8.14] (1-121) -*Homo sapiens*IGHG2*01 (100%) (CH1 (122-219), charnière 1-12 (220-231), CH2 (232-340), CH3 (341-445), CHS (446-447)) (122-447)], (223-214')-disulfure avec la chaîne

légère kappa *Homo sapiens* (1'-214') [V-KAPPA (*Homo sapiens* IGKV1-33*01 (97.9%) -IGKJ4*01 (100.0%)) [6.3.9] (1'-107') -*Homo sapiens* IGKC*01 (100%), Km3 A45.1 (153), V101 (191) (108'-214')]; dimère (223-223":224-224":227-227":230-230")-tétrakisdisulfure, produit dans des cellules ovariennes de hamsters chinois (CHO), glycoforme alfa *immunomodulateur*

astegolimab

inmunoglobulina G2-kappa, anti-[*Homo sapiens* IL1RL1 (receptor like 1 de la interleukina 1, DER4, FIT-1, gen 2 expresado en la estimulación del crecimiento, ST2, IL33R)], anticuerpo monoclonal *Homo sapiens*; cadena pesada gamma2 *Homo sapiens* (1-447) [VH (*Homo sapiens*IGHV5-51*01 (95.9%) -(IGHD) -IGH6*01(94.1%)) [8.8.14] (1-121) -*Homo sapiens*IGHG2*01 (100%) (CH1 (122-219), bisagra 1-12 (220-231), CH2 (232-340), CH3 (341-445), CHS (446-447) (122-447)], (223-214')-disulfuro con la cadena ligera kappa *Homo sapiens* (1'-214') [V-KAPPA (*Homo sapiens* IGKV1-33*01 (97.9%) -IGKJ4*01 (100.0%)) [6.3.9] (1'-107') -*Homo sapiens* IGKC*01 (100%), Km3 A45.1 (153), V101 (191) (108'-214')]; dímero (223-223":224-224":227-227":230-230")-tetrakisdisulfuro, producido en las células ováricas de hamsters chinos (CHO), glicoforma alfa *inmunomodulador*

2173054-79-8

Heavy chain / Chaîne lourde / Cadena pesada

```
BWQLVQSGAE VKKPGEISLKI SCKGSGYSFT NYWIGVVRQM PGKGLLEWMGI 50
IYPGNSDTRE SPSPQQQVII SADKSIITTY LQWSSLKASD TAMYCARHG 100
TSSDYYGLDV WGGQTIVIVS SASTKGPSV PLAPCRSRSTS ESTAALGCLV 150
KDYYFPEPVTV SWNSGALTSC VHTTPAVLQLQ SGLYSLSSV TVPESNNFTQ 200
TYTCFPEVTVH SNTKVDTKVE RKKCCVECPIC PAPPVAGPSV FLFPFPKPKDT 250
LMISRTPEVII CVVVDVSHED PEVQFNWYVD GVEVHNATK PREEQFNSTF 300
FVVSVLTVH QDWLNQKEYNH CKVSNKGLPA PIEKTTSIKT QGPREPQVYT 350
LPPSREEMTK NQVSILTCLVE GFYFSDIAVE WESNGQPENN YTTPPMILDS 400
DGSSFLYSKL TVDKSRWQOG NVFSCSVVMHE ALHNHYTQKS LSLSPKG 447
```

Light chain / Chaîne légère / Cadena ligera

```
DIQMTQSPFSS LSASVGDRTV ITCQASQDIS NYLNWYQKQP GKAKPKLIIYD 50
ASNLELTGVPS RFSGSGCTD FFTIISLQP EDIATYQCQO DDDNFPLTFGG 100
GTRVEIKRTV AAEPVTTIPP SDEQLRKSGTA SVVCLLNNFY PREAKVQWVKV 150
DNALOSGNSQ ESVTEQDSKD STYSLSTSIT LSKADYEKHK VYACEVTHQG 200
LSSPVTKSFSN RGECE 214
```

Post-translational modifications

Disulfide bridges location / Position des ponts disulfure / Posiciones de los puentes disulfuro

Intra-H (C23-C104) 22"-96" 148-204" 261-321" 367-425"

22"-96" 148"-204" 261"-321" 367"-425"

Intra-L (C23-C104) 23"-88" 134"-194"

23"-88" 134"-194"

Inter-H-L (CH1 10-CL 126)* 135-214" 135"-214"

Inter-H-H (h 4, h 5, h 8, h 11)* 223-223" 224-224" 227-227" 230-230"

*In addition to the isoform A, isoform A/B characterized by an inter-H-H (h 4 - CH1 10) 223-135" and an inter-H-L (h 4-CL 126) 223"-214", instead of the inter-H-H (h 4 - h 4) 223-223" and of one of the two inter-H-L (CH1 10-CL 126) 135"-214"; isoform B characterized by an inter-H-L (h 5 - CH1 10) 224-135 and an inter-H-L(h 5- CL 126) 224"-214", instead of the inter-H-H (h 5 - h 5) 224-224" and of the inter-H-L (h 4-CL 126) 126 135-214".

*En plus de l'isoforme A, isoforme A/B caractérisée par un inter-H-H (h 4 - CH1 10) 223-135" et un inter-H-L (h 4-CL 126) 223"-214", au lieu de l'inter-H-H (h 4 - h 4) 223-223" et de l'un des deux inter-H-L (CH1 10-CL 126) 135"-214"; isoforme B caractérisée par un inter-H-H (h 5 - CH1 10) 224-135 et un inter-H-L(h 5- CL 126) 224"-214" au lieu de l'inter-H-H (h 5 - h 5) 224-224" et de l'inter-H-L (CH1 10-CL 126) 135-214".

*Además de la isoforma A, isoforma A/B caracterizada por un inter-H-H (h4 - CH1 10) 223-135" y un inter-H-L (h 4-CL 126) 223"-214", en lugar del inter-H-H (h 4 - h 4) 223-223" y uno de los dos inter-H-L (CH1 10-CL 126) 135"-214"; isoforma B caracterizada por un inter-H-H (h 5 - CH1 10) 224-135 y un inter-H-L(h 5- CL 126) 224"-214", en lugar del inter-H-H (h 5 - h 5) 224-224" y del inter-H-L (CH1 10-CL 126) 135-214".

N-glycosylation sites / Sites de N-glycosylation / Posiciones de N-glicosilación
HCH2N84.4:

297, 297"

Fucosylated complex bi-antennary CHO-type glycans / glycanes de type CHO bi-antennaires complexes fucosylés / glicanos de tipo CHO biantenarios complejos fucosilados.

atleradstrocelum
atleradstrocel

human culture expanded autologous adipose stromal progenitor cells (ASC) for cell-based therapy. The cells express CD73 and CD90 cell surface markers and are negative for CD31, CD34 and CD45 markers.

cell therapy (neurology)

atléradstrocel

cellules progénitrices stromales issues du tissu adipeux (ASC), humaines, autologues, en culture d'expansion pour thérapie cellulaire. Les cellules expriment les marqueurs de surface CD73 et CD90 et sont négatives pour les marqueurs de surface CD31, CD34 and CD45.

thérapie cellulaire (neurologie)

atleradstrocel

células progenitoras estromales de tejido adiposo, autólogas, humanas, expandidas en cultivo para terapia celular. Las células expresan los marcadores de superficie CD73 y CD90 y son negativas para los marcadores CD31, CD34 y CD45.

terapia celular (neurología)

avalotcagenum ontaparvovecum #
avalotcagene ontaparvovec

A recombinant non-replicating adeno-associated virus type 2/8 (rAAV Rep2-Cap8) vector, encoding codon-optimized, wild-type human ornithine transcarbamylase (OTC) under the control of a hybrid human thyroxine-binding globulin (TBG) / human alpha 1-microglobulin/bikunin precursor (AMBP) promoter/enhancer. The vector genome is a head-to-head dimer, with the vector genome cassette located 5' of the mutated internal inverted terminal repeat (ITR) in a reverse orientation and the vector genome cassette located 3' of the mutated internal ITR in a forward orientation.

gene therapy (ornithine transcarbamylase (OTC) deficiency)

avalotcagène ontaparvovec

vecteur viral adéno-associé de type 2/8 recombinant non-répliquant (rAAV Rep2-Cap8), codant pour l'ornithine transcarbamylase humaine sauvage (OTC) avec des codons optimisés, sous le contrôle de l'activateur/promoteur hybride de la globuline liant la thyroxine (TBP) humaine /précurseur de microglobuline alpha 1 / bikunine (AMBP). Le génome du vecteur est un dimère en tête à tête avec la cassette contenant le génome du vecteur en position 5' de la séquence inverse terminale répétée (ITR) interne et mutée dont l'orientation est inverse et la cassette contenant le vecteur du génome en position 3' de l'ITR interne et mutée dont l'orientation est vers l'avant.

thérapie génique (déficit en ornithine transcarbamylase (OTC))

avalotcagén ontaparvovec

Un vector de virus adenoasociado recombinante no replicativo del serotipo 2/8 (rAAV Rep2-Cap8), que codifica para la ornitina transcarbamilasa silvestre

humana (OTC) con codones optimizados, bajo el control de un promotor/potenciador híbrido de la globulina fijadora de tiroxina humana (TBG) / precursor de microglobulina alfa 1 humana/bicunina (AMBP). El genoma del vector es un dímero de cabeza con cabeza, con el casete del genoma del vector en posición 5' a la repetición terminal invertida (ITR) interna y mutada localizado en orientación inversa, y el casete del genoma del vector en posición 3' a la ITR localizado en orientación hacia adelante.
terapia génica (deficiencia en ornitina transcarbamilasa (OTC))

2227000-30-6

avdoralimabum #

avdoralimab

immunoglobulin G1-kappa, anti-[*Homo sapiens* C5AR1 (complement C5a receptor 1, complement C5 anaphylatoxin (C5a, C5 Pr678-751) receptor 1, CD88)], *Homo sapiens* monoclonal antibody; gamma1 heavy chain *Homo sapiens* (1-454) [VH (*Homo sapiens*IGHV3-13*01 (93.8%) -(IGHD) - IGHJ3*02 (100%)) [8.7.18] (1-124) -*Homo sapiens*IGHG1*03 G1m3>G1m17,nG1m1 (CH1 K120 (221) (125-222), hinge 1-15 (223-237), CH2 L1.3>A (241), L1.2>E (242), G1>A (244), A115>S (337), P116>S (338) (238-347), CH3 E12 (363), M14 (365) (348-452), CHS (453-454)) (125-454)], (227-214')-disulfide with kappa light chain *Homo sapiens* (1'-214') [V-KAPPA (*Homo sapiens*IGKV3-20*01 (98.9%) -IGKJ2*01 (100%)) [7.3.8] (1'-107') -*Homo sapiens* IGKC*01 (100%), Km3 A45.1 (153), V101 (191) (108'-214')]; dimer (233-233":236-236")-bisdisulfide, produced in Chinese Hamster Ovary (CHO)-K1SV/cell line, glycoform alfa
immunomodulator, antineoplastic

avdoralimab

immunoglobuline G1-kappa, anti-[*Homo sapiens* C5AR1 (récepteur 1 du complément C5a, récepteur 1 de l'anaphylatoxine du complément C5 (C5a, C5 Pr678-751), CD88)], anticorps monoclonal *Homo sapiens*; chaîne lourde gamma1 *Homo sapiens* (1-454) [VH (*Homo sapiens*IGHV3-13*01 (93.8%) -(IGHD) - IGHJ3*02 (100%)) [8.7.18] (1-124) -*Homo sapiens*IGHG1*03 G1m3>G1m17,nG1m1 (CH1 K120 (221) (125-222), charnière 1-15 (223-237), CH2 L1.3>A (241), L1.2>E (242), G1>A (244), A115>S (337), P116>S (338) (238-347), CH3 E12 (363), M14 (365) (348-452), CHS (453-454)) (125-454)], (227-214')-disulfure avec la chaîne légère kappa *Homo sapiens* (1'-214') [V-KAPPA (*Homo sapiens*IGKV3-20*01 (98.9%) -IGKJ2*01 (100%)) [7.3.8] (1'-107') -*Homo sapiens* IGKC*01 (100%), Km3 A45.1 (153), V101 (191) (108'-214')]; dimère (233-233":236-236")-bisdisulfure, produit dans des cellules ovariennes de hamsters chinois (CHO) lignée cellulaire K1SV, glycoforme alfa
immunomodulateur, antinéoplasique

avdoralimab inmunoglobulina G1-kappa, anti-[*Homo sapiens* C5AR1 (receptor 1 del complemento C5a, receptor 1 de la anafilatoxina del complemento C5 (C5a, C5 Pr678-751), CD88)], anticuerpo monoclonal *Homo sapiens*; cadena pesada gamma1 *Homo sapiens* (1-454) [VH (*Homo sapiens* IGHV3-13*01 (93.8%) -(IGHD) -IGHJ3*02 (100%)) [8.7.18] (1-124) - *Homo sapiens* IGHG1*03 G1m3>G1m17,nG1m1 (CH1 K120 (221) (125-222), bisagra 1-15 (223-237), CH2 L1.3>A (241), L1.2>E (242), G1>A (244), A115>S (337), P116>S (338) (238-347), CH3 E12 (363), M14 (365) (348-452), CHS (453-454)) (125-454)], (227-214')-disulfuro con la cadena ligera kappa *Homo sapiens* (1'-214') [V-KAPPA (*Homo sapiens* IGKV3-20*01 (98.9%) -IGKJ2*01 (100%)) [7.3.8] (1'-107') -*Homo sapiens* IGKC*01 (100%), Km3 A45.1 (153), V101 (191) (108'-214')]; dímero (233-233":236-236")-bisdisulfuro, producido en las células ováricas de hamsters chinos (CHO) línea celular K1SV, glicoforma alfa *inmunomodulador, antineoplásico*

2226393-85-5

Heavy chain / Chaîne lourde / Cadena pesada

```

EVQLVESGGG LVQPQGSSLRL SCAASGFTFS SYVMHWVRQA TGKGLEWVSA 50
IDTGGGTYYA DSVKGKFTIS RENAKNSLYL QMNSLRAGDT AVYYCARDYY 100
YYASGSYKYA FDIWGQQGTMV TVSSASTKGP SVFPLAPSSK STSGGTAALG 150
CLVKDYPPEP VTWSWNSGAL TSGVHTFPBV LQSSGLYSLS SVTVPVSSL 200
GTQTYICVNW HKPSNTVKDKV RVEPKSCDKT HTCPCPAPE AEGAPSVPFL 250
PPPKPKDTLM1 SRTPEVTCVV DVDSHEDPEV KFNWYTDVGVE VHNAKTKPFE 300
EQYNSTYRVV SVLTVLHQDW LNGKEYKCKV SNKALPFSSIE KTISAKRGQP 350
REPQVYTLPP SREEMTKNQV SLTCLVKVGFY PSDIAVEWES NQOPENNYKT 400
TPPVLDSDGS FFLYSKLTVD KSRWQQGNVFV SCSTMHEALH NHYTQKSLSL 450
SEPGK

```

Light chain / Chaîne légère / Cadena ligera

```

EIVLTQSPGT LSLSPGERAT LSCRASQSVS SRYLAWYQQK PGQAPRLLIY 50
GASSRATGIP DRFSGSGSGT DFTLITISRL PEDFAVYYCQ QYGSPLTFGQ 100
GTKLEIKRTV AAPSVIFIPP SDEQLKSGTA SVVCLLNFYF PREAKVQWKV 150
DNALQSGNSQ ESVTEQDSKD STYSLSSTLT LSKADYEKHK VYACEVTHQK 200
LSSPVTKSFN RGECL

```

Post-translational modifications

Disulfide bridges location / Position des ponts disulfure / Posiciones de los puentes disulfuro
 Intra-H (C23-C104) 151-295 151-207 268-328 374-432
 22"-95" 151"-207" 268"-328" 374"-432"
 Intra-L (C23-C104) 23"-89" 134"-194"
 23"-89" 134"-194"
 Inter-H-L (h 5-CL 126) 227-214" 227"-214"
 Inter-H-H (h 11, h 14) 233-233" 236-236"

N-glycosylation sites / Sites de N-glycosylation / Posiciones de N-glicosilación

H CH2 N84.4:

304, 304"

Fucosylated complex bi-antennary CHO-type glycans / glycanes de type CHO bi-anténaires complejos fucosylés / glicanos de tipo CHO biantenarios complejos fucosilados

avizakimab #**avizakimab**

immunoglobulin G1-kappa, anti-[*Homo sapiens* IL21 (interleukin 21)], humanized monoclonal antibody;
 gamma1 heavy chain humanized (1-446) [VH (*Homo sapiens* IGHV1-46*01 (88.8%) -(IGHD) -IGHJ4*01 (100%)) [8.8.9] (1-116) -*Homo sapiens* IGHG1*03, G1m3, nG1m1 (CH1 R120 (213) (117-214), hinge 1-15 (215-229), CH2 M15.1>Y (251), S16>T (253), T18>E (255) (IGHG1v21) (230-339), CH3 E12 (355), M14 (357) (340-444), CHS (445-446)) (117-446)], (219-214')-disulfide with kappa light chain humanized (1'-214') [V-KAPPA (*Homo sapiens* IGKV1-NL1*01 (86.3%) -IGKJ4*01 (100%)) [6.3.9] (1'-107') -*Homo sapiens* IGKC*01 (100%), Km3 A45.1 (153), V101 (191) (108'-214')]; dimer (225-225":228-228")-bisdisulfide, produced in Chinese Hamster Ovary (CHO) cells, glycoform alfa *immunomodulator*

avizakimab

immunoglobuline G1-kappa, anti-[*Homo sapiens* IL21 (interleukine 21)], anticorps monoclonal humanisé; chaîne lourde gamma1 (1-446) [VH (*Homo sapiens* IGHV1-46*01 (88.8%) -(IGHD) -IGHJ4*01 (100%)) [8.8.9] (1-116) -*Homo sapiens*IGHG1*03, G1m3, nG1m1 (CH1 R120 (213) (117-214), charnière 1-15 (215-229), CH2 M15.1>Y (251), S16>T (253), T18>E (255) (IGHG1v21) (230-339), CH3 E12 (355), M14 (357) (340-444), CHS (445-446)) (117-446)], (219-214')-disulfure avec la chaîne légère kappa humanisée (1'-214') [V-KAPPA (*Homo sapiens* IGKV1-NL1*01 (86.3%) -IGKJ4*01 (100%)) [6.3.9] (1'-107') -*Homo sapiens* IGKC*01 (100%), Km3 A45.1 (153), V101 (191) (108'-214')]; dimère (225-225"-228-228")-bisdisulfure, produit dans des cellules ovariennes de hamsters chinois (CHO), glycoforme alfa
immunomodulateur

avizakimab

inmunoglobulina G1-kappa, anti-[*Homo sapiens* IL21 (interleukina 21)], anticuerpo monoclonal humanizado; cadena pesada gamma1 (1-446) [VH (*Homo sapiens* IGHV1-46*01 (88.8%) -(IGHD) -IGHJ4*01 (100%)) [8.8.9] (1-116) -*Homo sapiens*IGHG1*03, G1m3, nG1m1 (CH1 R120 (213) (117-214), bisagra 1-15 (215-229), CH2 M15.1>Y (251), S16>T (253), T18>E (255) (IGHG1v21) (230-339), CH3 E12 (355), M14 (357) (340-444), CHS (445-446)) (117-446)], (219-214')-disulfuro con la cadena ligera kappa humanizada (1'-214') [V-KAPPA (*Homo sapiens* IGKV1-NL1*01 (86.3%) -IGKJ4*01 (100%)) [6.3.9] (1'-107') -*Homo sapiens* IGKC*01 (100%), Km3 A45.1 (153), V101 (191) (108'-214')]; dímero (225-225"-228-228")-bisdisulfuro, producido en las células ováricas de hamsters chinos (CHO), glicoforma alfa
inmunomodulador

2229685-51-0

Heavy chain / Chaîne lourde / Cadena pesada

QVQLVQSGAARVKRKGASGVKRVCKASCYIFTDYWMHWVRQAPQQGLEWMGT 50
IDFSDQYTIYSQNFKGRVTMTRDTSTSTVYMELOSSRLSEDTAVYVCARYG 100
FAMYDYYGGQT LVTWSSASTKGPSPFLAPISSKSTSGGTAAGLGCLVKDYYFP 150
EPVTVPSWNNG ALTSGVHHTFP AVLQSSGLYSLSVVTVPESSLGQTQTYICN 200
VNHKPSNTKVDKRVEPKSCDKTHTCPCCPAPELLGGPSVF LFPPPKPKDTL 250
YITREPEVTCVVVDVSHEDP EVKFNWYVDGVEVHNNAKTKPREEQYNSTYR 300
VVSVLTVLHQDWNLNGKEYKCVKSNAKLAPIEKTISKAKOQPFRPQVYTLL 350
PPSRREEMTKNVQSLTCLVKCFYPSDIAVWESENCGQPENNYKTTPPVLDSD 400
GSFFFLVSKLTVDKSRWQQGNVFCSVMHEA LHNHYTQKSLSLSPGK 446

Light chain / Chaîne légère / Cadena ligera

DIQLTQSPSSLSASAVGDRVITCRASQDISNFLNWYQQKPGKAVKLLIYY 50
TSRLHSVGVPESRFSGSGGSTDYLTLISSLQPEDFATYYCQQGHTLPRTEFG 100
GTVKEIKRTVAAEPSFVIFPPSDEQLKSGTASVVCILNNFYPREAKVQWKR 150
DNALQSGNSQESVTEQDSKDSTYSLSSLTLSKADYEKKHVYACEVTHQG 200
LSSPVTKSFNRGECE 214

Post-translational modifications

Disulfide bridges location / Position des ponts disulfure / Posiciones de los puentes disulfuro
Intra-H (C23-C104) 22-96 143-199 260-320 366-424
22"-96" 143"-199" 260"-320" 366"-424"
Intra-L (C23-C104) 23"-88' 134"-194'
23"-88" 134"-194"
Inter-H-L (h 5-CL 126) 219-214' 219"-214"
Inter-H-H (h 11, h 14) 225-225" 228-228"

N-glycosylation sites / Sites de N-glycosylation / Posiciones de N-glicosilación

H CH2 N84 4:

296, 296"

Fucosylated complex bi-antennary CHO-type glycans / glycanes de type CHO bi-antennaires complexes fucosylés / glicanos de tipo CHO biantenarios complejos fucosilados

axatilimab #

axatilimab

immunoglobulin G4-kappa, anti-[*Homo sapiens* CSF1R (colony stimulating factor 1 receptor, CSF-1R, CSF-1-R, macrophage colony-stimulating factor 1 receptor, c-fms, FMS, CD115)], humanized monoclonal antibody;
 gamma4 heavy chain humanized (1-453) [VH (*Homo sapiens* IGHV2-70*11 (89.9%) -(IGHD) -IGHJ3*01 (92.9%)) [10.7.18] (1-126) -*Homo sapiens* IGHG4*01 (CH1 (127-224), hinge S10>P (234)(225-236), CH2 (237-346), CH3 (347-451), CHS (452-453)) (127-443)], (140-214')-disulfide with kappa light chain humanized (1'-214') [V-KAPPA (*Homo sapiens* IGKV1-6*01 (87.2%) -IGKJ4*01 (100.0%)) [6.3.9] (1'-107') -*Homo sapiens* IGKC*01 (100%), Km3 A45.1 (153), V101 (191) (108'-214')];
 dimer (232-232":235-235")-bisdisulfide, produced in Chinese Hamster Ovary (CHO) DG44 cell line, glycoform alfa
immunomodulator, antineoplastic

axatilimab

immunoglobuline G4-kappa, anti-[*Homo sapiens* CSF1R (récepteur du facteur 1 stimulant de colonies, CSF-1R, CSF-1-R, récepteur du facteur 1 stimulant des colonies de macrophages, c-fms, FMS, CD115)], anticorps monoclonal humanisé;
 chaîne lourde gamma4 humanisée (1-453) [VH (*Homo sapiens* IGHV2-70*11 (89.9%) -(IGHD) -IGHJ3*01 (92.9%)) [10.7.18] (1-126) -*Homo sapiens* IGHG4*01 (CH1 (127-224), charnière S10>P (234)(225-236), CH2 (237-346), CH3 (347-451), CHS (452-453)) (127-443)], (140-214')-disulfure avec la chaîne légère kappa humanisée (1'-214') [V-KAPPA (*Homo sapiens* IGKV1-6*01 (87.2%) -IGKJ4*01 (100.0%)) [6.3.9] (1'-107') -*Homo sapiens* IGKC*01 (100%), Km3 A45.1 (153), V101 (191) (108'-214')]; dimère (232-232":235-235")-bisdisulfure, produit dans des cellules ovarianes de hamsters chinois (CHO) lignée cellulaire DG44, glycoforme alfa
immunomodulateur, antinéoplasique

axatilimab

inmunoglobulina G4-kappa, anti-[*Homo sapiens* CSF1R (receptor del factor 1 estimulante de colonias, CSF-1R, CSF-1-R, receptor del factor 1 estimulante de las colonias de macrófagos, c-fms, FMS, CD115)], anticuerpo monoclonal humanizado;
 cadena pesada gamma4 humanizada (1-453) [VH (*Homo sapiens* IGHV2-70*11 (89.9%) -(IGHD) -IGHJ3*01 (92.9%)) [10.7.18] (1-126) -*Homo sapiens* IGHG4*01 (CH1 (127-224), bisagra S10>P (234)(225-236), CH2 (237-346), CH3 (347-451), CHS (452-453)) (127-443)], (140-214')-disulfuro con la cadena ligera kappa humanizada (1'-214') [V-KAPPA (*Homo sapiens* IGKV1-6*01 (87.2%) -IGKJ4*01 (100.0%)) [6.3.9] (1'-107') -*Homo sapiens* IGKC*01 (100%), Km3 A45.1 (153), V101 (191) (108'-214')];
 dímero (232-232":235-235")-bisdisulfuro, producido en las células ováricas de hamsters chinos (CHO) línea celular DG44, glicoforma alfa
inmunomodulador, antineoplásico

2155851-88-8

Heavy chain / Chaîne lourde / Cadena pesada

EVTIHKESGPA LVKPTQTLTL TCTFSGSILT TYGMGVGWR QPPGKALEWL 50
ANIWWDDKY YNFSLKNPLT ISKDTSKNGV VLTMNTMPV DTATYCAR1 100
GPIKYPTAPY RYFDEWGCGT MVTVSASTK GPSVFFLAPC SRSTSESTA 150
LGLCLVKDYFP EPVTWNSNG ALTSGVHTFP AVLQSSGGLS LSSVVTVPSS 200
SLGTKTYYTCN VDHKPNTKV DKRVESKGYP FCPPCPAPEF LGGPPSVFLFP 250
PKPKDILMIS RTPEVTCVVA DVSGQDFEVQ FNWYVGDGEV HNAKTKPFREE 300
QFNSTYRVVS VLTVLHQDWL NGKEYKCKVS NKGKLPSSIEK TISKAKGQPR 350
EPQVYTLPPS QEEMTKNCVVS LTCLVKGFPY SDIAVEWESH GQPENNYKTT 400
PPVLDSDGSF FLYSRLTVDK SRWQEGNVPS CSVMEHALHN HYTQKSLSL 450
LGK 453

Light chain / Chaîne légère / Cadena ligera

DIQMTQSPSS LSASVGDRTV ITCLASEDIY DNLAWSYQQKP GKAPKLLIYY 50
ASSLQDGVPFS RFSGSGSGTD YLTLSIQLP EDFATYCYCLQ DSEYWPFFG 100
GTVKEIKRTV AAESPVIFFP SDEQLKSGTA SVVCLLNNFY PREAKVQWKV 150
DNAIQSGNSQ ESVTEQDSKD STYSSLSTL LSKADYEKHK VYACEVTHQG 200
LSSFVTKSFN RGEC 214

Post-translational modifications

Disulfide bridge location / Position des ponts disulfure / Posiciones de los puentes disulfuro
Intra-H (C23-C104) 22°-97° 153°-209° 267°-327° 373°-431°
22°-97° 153°-209° 267°-327° 373°-431°
Intra-L (C23-C104) 23°-88° 134°-194°
23°-88° 134°-194°
Inter-H-L (CH1 10-CL 126) 140°-214° 140°-214°
Inter-H-H (h 8, h 11) 232°-232° 235°-235°

N-glycosylation sites / Sites de N-glycosylation / Posiciones de N-glicosilación
H CH2 N84.4:

303, 303°

Fucosylated complex bi-antennary CHO-type glycans / glycanes de type CHO bi-antennaires complexes fucosylés / glicanos de tipo CHO biantenarios complejos fucosilados

C-terminal lysine clipping:

H CH5 K2:

453, 453°

bamocaftorum

bamocaftor

(¹⁴S)-N-(benzenesulfonyl)-1²,1²,1⁴-trimethyl-7¹-
(trifluoromethyl)-4-oxa-2(2,6)-pyridina-3(1,3)-pyrazola-
1(1)-pyrrolidina-7(1)-cyclopropanaheptaphane-2³-
carboxamide
cystic fibrosis transmembrane regulator (CFTR) protein modulator

bamocaftor

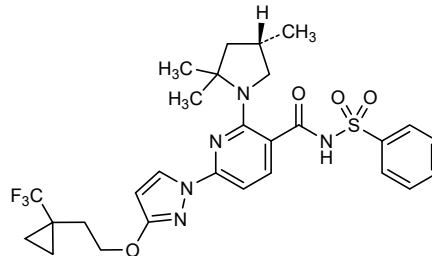
(¹⁴S)-N-(benzenesulfonyl)-1²,1²,1⁴-triméthyl-7¹-
(trifluorométhyl)-4-oxa-2(2,6)-pyridina-3(1,3)-pyrazola-
1(1)-pyrrolidina-7(1)-cyclopropanaheptaphane-2³-
carboxamide
modulateur de la protéine régulatrice de la perméabilité transmembranaire impliquée dans la mucoviscidose (CFTR)

bamocaftor

(¹⁴S)-N-(bencenosulfonil)-1²,1²,1⁴-trimetil-7¹-
(trifluorometil)-4-oxa-2(2,6)-piridina-3(1,3)-pirazola-1(1)-
pirrolidina-7(1)-ciclopropanaheptafano-2³-carboxamida
modulador de la proteína reguladora de la conductancia transmembrana de la fibrosis quística (CFTR)

C₂₈H₃₂F₃N₅O₄S

2204245-48-5



batoclimab #

batoclimab

immunoglobulin G1-lambda, anti-[*Homo sapiens* FCGRT (Fc fragment of IgG receptor and transporter, neonatal Fc receptor, FcRn, transmembrane alpha chain of the neonatal receptor)], *Homo sapiens* monoclonal antibody; gamma1 heavy chain *Homo sapiens* (1-450) [VH (*Homo sapiens*IGHV4-39*02 (91.9%) -(IGHD) -IGHJ4*01 (86.7%)) [10.7.13] (1-121) -*Homo sapiens*IGHG1*03 G1m3, nG1m1 (CH1 R120 (218) (122-219), hinge 1-15 (220-234), CH2 L1.3>A (238), L1.2>A (239) (235-344), CH3 E12 (360), M14 (362) (345-449), CHS K2>del (450)) (122-450)], (224-213')-disulfide with lambda light chain *Homo sapiens* (1'-214') [V-LAMBDA (*Homo sapiens* IGLV3-21*02 (97.9%) -IGLJ2*01 (100%)) [6.3.11] (1'-108') -*Homo sapiens* IGLC2*01 (100%) (109'-214')]; dimer (230-230":233-233")-bisdisulfide, produced in Chinese Hamster Ovary (CHO)-S cell line, glycoform alfa
immunomodulator

batoclimab

immunoglobuline G1-lambda, anti-[*Homo sapiens* FCGRT (transporteur et récepteur du fragment Fc des IgG, récepteur Fc néonatal, FcRn, chaîne alpha transmembranaire du récepteur néonatal)], anticorps monoclonal *Homo sapiens*; chaîne lourde gamma1 *Homo sapiens* (1-450) [VH (*Homo sapiens*IGHV4-39*02 (91.9%) -(IGHD) -IGHJ4*01 (86.7%)) [10.7.13] (1-121) -*Homo sapiens*IGHG1*03 G1m3,nG1m1 (CH1 R120 (218) (122-219), charnière 1-15 (220-234), CH2 L1.3>A (238), L1.2>A (239) (235-344), CH3 E12 (360), M14 (362) (345-449), CHS K2>del (450)) (122-450)], (224-213')-disulfure avec la chaîne légère lambda *Homo sapiens* (1'-214') [V-LAMBDA (*Homo sapiens* IGLV3-21*02 (97.9%) -IGLJ2*01 (100%)) [6.3.11] (1'-108') -*Homo sapiens* IGLC2*01 (100%) (109'-214')]; dimère (230-230":233-233")-bisdisulfure, produit dans des cellules ovarianes de hamsters chinois (CHO) lignée cellulaire CHO-S, glicoforme alfa
immunomodulateur

batoclimab

inmunoglobulina G1-lambda, anti-[*Homo sapiens* FCGRT (transportador y receptor del fragmento Fc de las IgG, receptor Fc neonatal, FcRn, cadena alfa transmembranaria del receptor neonatal)], anticuerpo monoclonal *Homo sapiens*; cadena pesada gamma1 *Homo sapiens* (1-450) [VH (*Homo sapiens*IGHV4-39*02 (91.9%) -(IGHD) -IGHJ4*01 (86.7%)) [10.7.13] (1-121) -*Homo sapiens*IGHG1*03 G1m3,nG1m1 (CH1 R120 (218) (122-219), bisagra 1-15 (220-234), CH2 L1.3>A (238), L1.2>A (239) (235-344), CH3 E12 (360), M14 (362) (345-449), CHS K2>del (450)) (122-450)], (224-213')-disulfuro con la cadena ligera lambda *Homo sapiens* (1'-214') [V-LAMBDA (*Homo sapiens* IGLV3-21*02 (97.9%) -IGLJ2*01 (100%)) [6.3.11] (1'-108') -*Homo sapiens* IGLC2*01 (100%) (109'-214')]; dímero (230-230":233-233")-bisdisulfuro, producido en las células ováricas de hamsters chinos (CHO) línea celular CHO-S, glicoforma alfa
inmunomodulador

2187430-05-1

Heavy chain / Chaîne lourde / Cadena pesada
 QLLLQESGPV LVPKSETLSSL TCTVSGGSLSS SFPSYWVWIR QPPGKGLEWI 50
 GTIYYSGNTY YNPSLSKSRLT ISVDTSKNHF SLKLSSVTAA DTAVYYCAR 100
 AGILITGYLDV WCGQTLTVTS SASTKGPSVF PLAPSSKSTS GTTAALCLV 150
 KDVYFPEPVTV SWNSGALTSG VHTFPFAVLQS SGLYSLSSVW TVPSSSLGTQ 200
 TYICVNWKHP SNTVKDVRKE PKSCDKTHTC PCPCPAEAG GFSVFLFPEPK 250
 PKDTLMISRT PEVTCVVVDV SHEDPVKENF WYWDGVVEVHKA KTKPREEQY 300
 NSTYRNUVSVL TVLHQDWLNG KEYKCKVSNK ALPAPIEKTI SKAKQGPREF 350
 QVYTLPSPRE EMTRKNQVSLLT CLVRKGYPDS IAVEWESENQG PENNYKTPP 400
 VLSDSGSFFL YSKLTVDSR WQQGNVFSCS VMHEALTHNHY TQKSLSLSPG 450

Light chain / Chaîne légère / Cadena ligera
 SYVLTGSPSV SVAPGQATARI TCGGNNIGSK SVHWYQQKPG QAPVPLVYYDD 50
 SDRPSGIPER FSASNNSGNTA TLTISRVEAG DEADYCCQW DSSSDHVVF 100
 GGTKLTVLGQ PRAAPSVLIF PPSEELQAN KATLVCLISD FYPGAVITVAW 150
 KADSSPVKAG VETTPPSKQS NNKYAASSYL SLTPEQWKS RSYSCQVTH 200
 GSTVKTWAP TECS 214

Post-translational modifications
 Disulfide bridges location / Position des ponts disulfure / Posiciones de los puentes disulfuro
 Intra-H (C23-C104) 22-97 148-204 265-325 371-429
 22"-97" 148"-204" 265"-325" 371"-429"
 Intra-L (C23-C104) 22-87 136"-195"
 22"-87" 136"-195"
 Inter-H-L (h5-CL 126) 224-213' 224"-213"
 Inter-H-H (h 11, h 14) 230-230" 233-233"

N-glycosylation sites / Sites de N-glycosylation / Posiciones de N-glicosilación
 H CH2 N84.4;
 301, 301"
 Fucosylated complex bi-antennary CHO-type glycans / glycanes de tipo CHO bi-antennaires
 complejos fucosilés / glicanos de tipo CHO biantenarios complejos fucosilados.

befovacimab #
befovacimab

immunoglobulin G2-lambda, anti-[*Homo sapiens* TFPI (tissue factor pathway inhibitor, lipoprotein-associated coagulation inhibitor)], monoclonal antibody; gamma2 heavy chain *Homo sapiens* (1-442) [VH (*Homo sapiens*IGHV3-23*04 (93.9%) -(IGHD) - IGHJ4*01(93.3%)) [8.8.10] (1-117) -*Homo sapiens* IGHG2*01 (CH1 (118-215), hinge 1-12 (216-227), CH2 (228-336), CH3 (337-441), CHS K2>del (442)) (118-442)], (131-211')-disulfide with lambda light chain humanized (1'-212') [V-LAMBDA (*Homo sapiens* IGLV3-1*01 (86.2%) -IGKJ2*01 (100%)) [6.3.9] (1'-106') -*Homo sapiens* IGLC2*01 (100%) (107'-212')]; dimer (131-219":220-220":223-223":226-226")-tetrakisdisulfide, produced in Chinese Hamster Ovary (CHO)-K1SV cell line, glycoform alfa hemostatic

béfovacimab

immunoglobuline G2-lambda, anti-[*Homo sapiens* TFPI (inhibiteur de la voie du facteur tissulaire, inhibiteur de la coagulation associée aux lipoprotéines)], anticorps monoclonal; chaîne lourde gamma2 *Homo sapiens* (1-442) [VH (*Homo sapiens*IGHV3-23*04 (93.9%) -(IGHD) - IGHJ4*01(93.3%)) [8.8.10] (1-117) -*Homo sapiens* IGHG2*01 (CH1 (118-215), charnière 1-12 (216-227), CH2 (228-336), CH3 (337-441), CHS K2>del (442)) (118-442)], (131-211')-disulfure avec la chaîne légère lambda humanisée (1'-212') [V-LAMBDA (*Homo sapiens* IGLV3-1*01 (86.2%) -IGKJ2*01 (100%)) [6.3.9] (1'-106') -*Homo sapiens* IGLC2*01 (100%) (107'-212')]; dimère (131-219":220-220":223-223":226-226")-tétrakisdisulfure, produit dans des cellules ovariennes de hamsters chinois (CHO) lignée cellulaire K1SV, glycoforme alfa hémostatique

befovacimab

inmunoglobulina G2-lambda, anti-[*Homo sapiens* TFPI (inhibidor de la vía del factor tisular, inhibidor de la coagulación asociada con las lipoproteínas)], anticuerpo humanizado; cadena pesada gamma2 *Homo sapiens* (1-442) [VH (*Homo sapiens* IGHV3-23*04 (93.9%) -(IGHD) - IGHJ4*01(93.3%)) [8.8.10] (1-117) -*Homo sapiens* IGHG2*01 (CH1 (118-215), bisagra 1-12 (216-227), CH2 (228-336), CH3 (337-441), CHS K2>del (442) (118-442)], (131-211')-disulfuro con la cadena ligera lambda humanizada (1'-212') [V-LAMBDA (*Homo sapiens* IGLV3-1*01 (86.2%) -IGKJ2*01 (100%) [6.3.9] (1'-106') -*Homo sapiens* IGLC2*01 (100%) (107'-212')]; dímero (131-219":220-220":223-223":226-226")-tetrakisdisulfuro, producido en las células ováricas de hamsters chinos (CHO) línea celular K1SV, glicoforma alfa hemostático

2156634-62-5

Heavy chain / Chaîne lourde / Cadena pesada

```

EVQLVESGGG LVQPGGSLRL SCAASGFTFS SYGMDWVRQA PGKGLEWVSS 50
IRGSRGSTYY ADSVKGRFTI SRDNNSKNTLY LQMNSLRAED TAVVYCARLY 100
RYWFDFYWCGQ TLTVTSSAST KGPFSPFLAP CSRSTSESTA ALGCLVKDYF 150
PEFPVTWSNS GALTSGVWHTF PAVLQLSSGLY SLSSVVTVPs SNFGQTYYC 200
NVDHKPSNTK VDKTVRKCC VECPPCPAPP VAGPSVFLFP PKPKDTLMIS 250
RTPEVTCVVV DVSHEDPEVQ FNWYVGDGEV HNAKTKPREE QFNSTFRVVS 300
VLTIVHQDWL NGKEYKCKVS NKGLPAPIEK TISKTKQPIK EPQVYTLPPS 350
REEMTKNQVS LTCLVKGFPQ SDIAWEWESN QQPENNYKTT PPMLDSGDF 400
FLYSKLTVDK SRWQQGNVFS CSVMEHALHN HYTQKSLSLs PG 442

```

Light chain / Chaîne légère / Cadena ligera

```

SYELTPPPSV SVSPGQTARI TCGSDNLPKY YAHWYQQKPG QAPVVVIFYD 50
VNRPMSGIPER FSGNSGNNTA TLTISGTQAM DEADYYCQAW WSSTPVFGGG 100
TKLTVLGQPK AAPSVTLLFPF SSEELQANQA TLVCLISDFY PGAVTVANKA 150
DSSPVKAGVE TTTPSKQSNN KYAASSYLSL TPEQWKSHRS YSCQVTHEGS 200
TVEKTVAPTE CS 212

```

Post-translational modifications

Disulfide bridges location / Position des ponts disulfure / Posiciones de los puentes disulfuro
 Intra-H (C23-C104) 22-96 144-200 257-317 363-421
 22"-96" 144"-200" 257"-317" 363"-421"
 Intra-L (C23-C104) 22"-87" 134"-193"
 22"-87" 134"-193"
 Inter-H-L (CH1 10-CL 126) 131-211" 131"-211"
 Inter-H-H (h 4, h 5, h 8, h 11) 219-219" 220-220" 223-223" 226-226"

*In addition to the isoform A, isoform A/B characterized by an inter-H-H (h 4 - CH1 10) 219-131" and an inter-H-L (h 4 - CL 126) 219"-211", instead of the inter-H-H (h 4 - h 4) 219-219" and of one of the two inter-H-L (CH1 10-CL 126) 131"-211";

*En plus de l'isoforme A, isoforme A/B caractérisée par un inter-H-H (h 4 - CH1 10) 219-131" et un inter-H-L (h 4 - CL 126) 219"-211", au lieu de l'inter-H-H (h 4 - h 4) 219-219" et de l'un des deux inter-H-L (CH1 10-CL 126) 131"-211";

*Además de la isoforma A, isoforma A/B caracterizada por un inter-H-H (h 4 - CH1 10) 219-131" y un inter-H-L (h 4 - CL 126) 219"-211", en lugar del inter-H-H (h 4 - h 4) 219-219" y uno de los dos inter-H-L (CH1 10-CL 126) 131"-211";

N-glycosylation sites / Sites de N-glycosylation / Posiciones de N-glicosilación
 H CH2 N84.4:
 293, 293"

Fucosylated complex bi-antennary CHO-type glycans / glycanes de type CHO bi-antennaires complexes fucosylés / glucanos de tipo CHO biantenarios complejos fucosilados

benututamabum #
 benututamab

immunoglobulin G1-kappa, anti-[*Homo sapiens* TNFRSF10B (tumor necrosis factor receptor superfamily member 10B, death receptor 5, DR5, TNF-related apoptosis-inducing ligand receptor 2, TRAIL-R2, TR-2, CD262)], monoclonal antibody;

gamma1 heavy chain chimeric (1-447) [VH (*Mus musculus* IGHV14-3*02 G63>T (56) (87.8%) -(IGHD) -IGHJ2*01 (86.7%)/*Homo sapiens*IGHV1-3*01 G63>T (56) (71.4%) -(IGHD) -IGHJ4*01 (100%)) [8.8.11] (1-118) -*Homo sapiens*IGHG1*03,G1m3, nG1m1 (CH1 R120 (215) (119-216), hinge 1-15 (217-231), CH2 (232-341), CH3 E12 (357), M14 (359), E109>G (431) (342-446), CHS K2>del (447)) (119-447)], (221-214')-disulfide with kappa light chain humanized (1'-214') [V-KAPPA (*Homo sapiens* IGKV3-15*01 (89.5%) -IGKJ2*01 (100%)) [6.3.9] (1'-107') -*Homo sapiens* IGKC*01 (100%), Km3 A45.1 (153), V101 (191) (108'-214')]; dimer (227-227":230-230")-bisdisulfide, produced in Chinese Hamster Ovary (CHO)-DG44 cell line, glycoform alfa
immunomodulator, antineoplastic

bénufutamab

immunoglobuline G1-kappa, anti-[*Homo sapiens* TNFRSF10B (membre 10B de la superfamille des récepteurs du facteur de nécrose tumorale, récepteur de mort 5, DR5, récepteur 2 de TRAIL, TRAIL-R2, TR-2, CD262)], anticorps monoclonal; chaîne lourde gamma1 chimérique (1-447) [VH (*Mus musculus* IGHV14-3*02 G63>T (56) (87.8%) -(IGHD) -IGHJ2*01 (86.7%)/*Homo sapiens*IGHV1-3*01 G63>T (56) (71.4%) -(IGHD) -IGHJ4*01 (100%)) [8.8.11] (1-118) -*Homo sapiens*IGHG1*03 G1m3, nG1m1 (CH1 R120 (215) (119-216), charnière 1-15 (217-231), CH2 (232-341), CH3 E12 (357), M14 (359) E109>G (431) (342-446), CHS K2>del (447)) (119-447)], (221-214')-disulfure avec la chaîne légère kappa humanisée (1'-214') [V-KAPPA (*Homo sapiens* IGKV3-15*01 (89.5%) -IGKJ2*01 (100%)) [6.3.9] (1'-107') -*Homo sapiens* IGKC*01 (100%), Km3 A45.1 (153), V101 (191) (108'-214')]; dimère (227-227":230-230")-bisdisulfure, produit dans des cellules ovariennes de hamsters chinois (CHO) lignée cellulaire DG44, glicoforme alfa
immunomodulateur, antinéoplasique

benufutamab

inmunoglobulina G1-kappa, anti-[*Homo sapiens* TNFRSF10B (miembro 10B de la superfamilia de los receptores del factor de necrosis tumoral, receptor de muerte 5, DR5, receptor 2 de TRAIL, TRAIL-R2, TR-2, CD262)], anticuerpo monoclonal; cadena pesada gamma1 químérica (1-447) [VH (*Mus musculus* IGHV14-3*02 G63>T (56) (87.8%) -(IGHD) -IGHJ2*01 (86.7%)/*Homo sapiens*IGHV1-3*01 G63>T (56) (71.4%) -(IGHD) -IGHJ4*01 (100%)) [8.8.11] (1-118) -*Homo sapiens*IGHG1*03 G1m3, nG1m1 (CH1 R120 (215) (119-216), bisagra 1-15 (217-231), CH2 (232-341), CH3 E12 (357), M14 (359) E109>G (431) (342-446), CHS K2>del (447)) (119-447)], (221-214')-disulfuro con la cadena ligera kappa humanizada (1'-214') [V-KAPPA (*Homo sapiens* IGKV3-15*01 (89.5%) -IGKJ2*01 (100%)) [6.3.9] (1'-107') -*Homo sapiens* IGKC*01 (100%), Km3 A45.1 (153), V101 (191) (108'-214')]; dímero (227-227":230-230")-bisdisulfuro, producido en las células ováricas de hamsters chinos (CHO) línea celular DG44, glicoforma alfa
inmunomodulador, antineoplásico

2109730-69-8

Heavy chain / Chaîne lourde / Cadena pesada
 EVQLQQSGAE VVKPGASVKL SCKASGFNIK DTFIHWWVKQA PGQGLEWIGR 50
 IDFANTNNKY DFKFQGRATI TTDTSNTAY MELSSRLSED TAVYYCVRGL 100
 YYTYFDYWGQ GTLTVVSSAS TKGPVSPFLA PSSKSTSGGT AALGCLVKDY 150
 FPEEPVTVSWI SGALTSGVHT FPAVLQSGSL YSLSSVVTVP SSSLGTQPTYI 200
 CNVNHHKPNTV KVDKRVEPKS CDKTHTCPPC PAPELLGGPS VFLFPKPKD 250
 TLMISRTPEV TVCVVVDVSHE DPEVKFKNWVV DGVEVHNNAKT KPREEQVNST 300
 YRVVSVLITVL HQDWLNGKEY KCKVSKNRP ALPIEKTISKA KGQPREPQVY 350
 TLPLPSREEMT KNQVSLTCLV KGFPYPSDIV EWESNGQEN NYKTTPVLD 400
 SDGSFFFLYSK LTVDKSRWQQ GNVPSCSVMH GALHNHYTQK SLSLSPG 447

Light chain / Chaîne légère / Cadena ligera
 EIVMTQSPAT LSVSPGERAT LSCRASQNS NNLHWYQQKP GQAPRLLLIFK 50
 ASQSITGIPA RFSGSGSGTE FTITISSLQS EDFAVYYCQQ GNSPPYTFQO 100
 GTKALEIKRTV AAPSVLIFPP SDEQLKSSTA SVVCLLNNFY PREAKVQMRV 150
 DNALQSGNSQ ESVTEQDSKD STYSSLSTLT LSKADYEKHK VYACEVTHOG 200
 LSSPVTKSFN RGECE 214

Post-translational modifications

Disulfide bridges location / Position des ponts disulfure / Posiciones de los puentes disulfuro
 Intra-H (C23-C104) 22-96 145-201 262-322 368-426
 22"-96" 145"-201" 262"-322" 368"-426"
 Intra-L (C23-C104) 23"-88" 134"-194"
 23"-88" 134"-194"
 Inter-H-L (h 5-CL 126) 221-214" 221"-214"
 Inter-H-H (h 11, h 14) 227-227" 230-230"

N-glycosylation sites / Sites de N-glycosylation / Posiciones de N-glicosilación
 H CH2 N84.4;
 298, 298"
 Fucosylated complex bi-antennary CHO-type glycans / glycanes de type CHO bi-antennaires
 complejos fucosilés / glicanos de tipo CHO biantenarios complejos fucosilados

betibeglogenum autotemcelum #
 betibeglogene autotemcel

autologous CD34+ hematopoietic stem cells
 transduced ex vivo with *betibeglogene darolentivec*
 (116)(78), a self-inactivating human immunodeficiency
 virus-1 (HIV-1)-derived lentiviral vector encoding a
 T87Q-mutated form of the human hemoglobin subunit
 beta (HBB, beta-globin) gene under the control of a
 human β-globin promoter and a 3' β-globin enhancer.
cell therapy (beta-thalassemia and sickle cell disease)

bétibéglogène autotemcel

cellules souches hématopoïétiques CD34+ autologues
 transduites ex vivo avec le *bétibéglogène darolentivec*
 (116)(78), vecteur lentiviral auto-inactivant dérivé du
 virus de l'immunodéficience humaine-1 (HIV-1) codant
 pour une forme mutée (T87Q) du gène de la sous-
 unité bêta de l'hémoglobine humaine (HBB, bêta-
 globine) sous le contrôle d'un promoteur de la β-
 globine humaine et un activateur de la β-globine en
 position 3'.
*thérapie cellulaire (bêta-thalassémie et anémie
 falciforme)*

betibeglogén autotemcel

células madre hematopoyéticas CD34+ autólogas
 transducidas ex vivo con *betibeglógeno darolentivec*
 (116)(78), un vector lentiviral, auto-inactivante,
 derivado del virus de la inmunodeficiencia humana-1
 (VIH-1) que codifica para una forma mutada T87Q del
 gen de la subunidad beta de la hemoglobina humana
 (HBB, beta globina) bajo el control del promotor de la
 b-globina humana y un potenciador de la b-globina
 localizado en posición 3'.
terapia celular (beta-talasemia y anemia falciforme)

branebrutinibum

branebrutinib

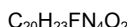
4-[(3S)-3-(but-2-ynamido)piperidin-1-yl]-5-fluoro-2,3-dimethyl-1*H*-indole-7-carboxamide
Bruton's tyrosine kinase inhibitor

branébrutinib

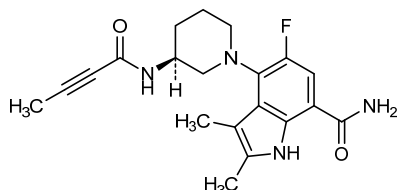
4-[(3S)-3-(but-2-ynamido)pipéridin-1-yl]-5-fluoro-2,3-diméthyl-1*H*-indole-7-carboxamide
inhibiteur de la tyrosine kinase de Bruton

branebrutinib

4-[(3S)-3-(but-2-inamido)piperidin-1-il]-5-fluoro-2,3-dimetil-1*H*-indol-7-carboxamida
inhibidor de la tirosina quinasa de Bruton



1912445-55-6

**brensocatibum**

brensocatib

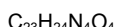
(2*S*)-*N*-{((1*S*)-1-cyano-2-[4-(3-methyl-2-oxo-2,3-dihydro-1,3-benzoxazol-5-yl)phenyl]ethyl}-1,4-oxazepane-2-carboxamide
cathepsin C inhibitor

brensocatib

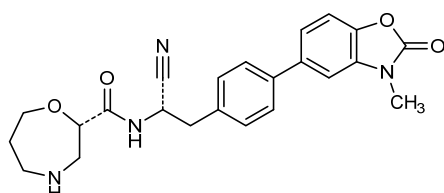
(2*S*)-*N*-{((1*S*)-1-cyano-2-[4-(3-méthyl-2-oxo-2,3-dihydro-1,3-benzoxazol-5-yl)phényl]éthyl}-1,4-oxazépâne-2-carboxamide
inhibiteur de la cathepsine C

brensocatib

(2*S*)-*N*-{((1*S*)-1-ciano-2-[4-(3-metil-2-oxo-2,3-dihidro-1,3-benzoxazol-5-il)fénil]etil}-1,4-oxazepano-2-carboxamida
inhibidor de la catepsina C



1802148-05-5

**brepocitinibum**

brepocitinib

[((1*S*)-2,2-difluorocyclopropyl](3-{2-[(1-methyl-1*H*-pyrazol-4-yl)amino]pyrimidin-4-yl}-3,8-diazabicyclo[3.2.1]octan-8-yl)methanone
Janus kinase inhibitor

brépocitinib

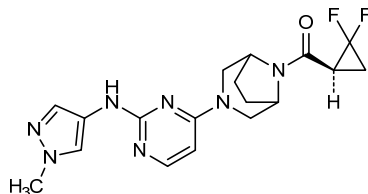
[(1S)-2,2-difluorocyclopropyl](3-{2-[(1-méthyl-1*H*-pyrazol-4-yl)amino]pyrimidin-4-yl}-3,8-diazabicyclo[3.2.1]octan-8-yl)méthanone
inhibiteur de la kinase de Janus

brepocitinib

[(1S)-2,2-difluorociclopropil](3-{2-[(1-metil-1*H*-pirazol-4-il)amino]pirimidin-4-il}-3,8-diazabiciclo[3.2.1]octan-8-il)metanona
inhibidor de la quinasa de Janus

C16H21F2N7O

1883299-62-4

**catequentinibum**

catequentinib

1-[(4-[(4-fluoro-2-méthyl-1*H*-indol-5-yl)oxy]-6-methoxyquinolin-7-yl)oxy]methylcyclopropan-1-amine
tyrosine kinase inhibitor, antineoplastic

catéquentinib

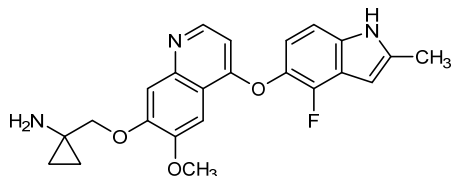
1-[(4-[(4-fluoro-2-méthyl-1*H*-indol-5-yl)oxy]-6-méthoxyquinoléin-7-yl)oxy]méthylcyclopropan-1-amine
inhibiteur de la tyrosine kinase, antinéoplasique

catequentinib

1-[(4-[(4-fluoro-2-méthyl-1*H*-indol-5-yl)oxy]-6-methoxiquinoléin-7-yl)oxi]metilciclopropan-1-amina
inhibidor de la tiroxina quinasa, antineoplásico

C23H22FN3O3

1058156-90-3

**centhaquinum**

centhaquine

2-{2-[4-(3-méthylphényle)pipérazin-1-yl]éthyl}quinoline
 α_2 -adrenoreceptor agonist

centhaquine

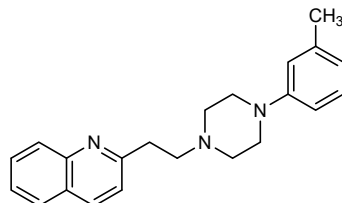
2-{2-[4-(3-méthylphényle)pipérazin-1-yl]éthyl}quinoléine
 α_2 -agoniste des récepteurs adrénergiques

centhaquina

2-{2-[4-(3-metilfenil)piperazin-1-il]etil}quinoleina
 α_2 -agonista de los receptores adrenérgicos

$C_{22}H_{25}N_3$

57961-90-7

**cinrebauspum alfa #**

cinrebausp alfa

[S²²⁸>P, F²³⁴>A, L²³⁵>A] immunoglobulin G4-kappa (chimeric human-*Mus musculus*, anti-(receptor tyrosine-protein kinase erbB-2, ERBB2, HER2) fused on both heavy chains (1-447, 1"-447") via a (G₄S)₃ linker (448-462, 448"-462") to a CD137 (tumor necrosis factor receptor superfamily member 9, TNFRSF9, 4-1BB)-targeting mutant (23 exchanged residues) of human lipocalin-2 (neutrophil gelatinase-associated lipocalin, NGAL, oncogene 24p3, siderocalin) (463-640, 463"-640"): gamma4 heavy chain fused to lipocalin-2 mutein (1-640) [*Homo sapiens* VH CH1 CH2 CH3 (*Homo sapiens* IGHV3-66*01 -(IGHD)-IGHJ4*01 [CDRKabatH1: DTYIH (31-35); CDRKabatH2: RIYPTNGYTRYADSVKG (50-66); CDRKabatH3: WGGDGFYAMDY (99-109)] (1-120) - *Homo sapiens* IGHG4*01 (CH1 (121-218), hinge (S²²⁸>P) (219-230), CH2 (F²³⁴>A, L²³⁵>A) (231-340), CH3 (341-445), CHS (446-447)) (1-447) - (G₄S)₃ linker (448-462) -human lipocalin-2 [mutant Q²⁸>H, L³⁶>Q, A⁴⁰>I, I⁴¹>R, Q⁴⁹>I, Y⁵²>M, N⁶⁵>D, S⁶⁸>M, L⁷⁰>K, R⁷²>D, K⁷³>D, D⁷⁷>M, W⁷⁹>D, R⁸¹>W, C⁸⁷>S, N⁹⁶>K, Y¹⁰⁰>F, L¹⁰³>H, Y¹⁰⁶>S, K¹²⁵>F, S¹²⁷>F, Y¹³²>E, K¹³⁴>Y (1-178)] (463-640)], (134-214')-disulfide with kappa light chain (1'-214') [*Homo sapiens* VL CL (*Homo sapiens* IGKV1-39*01 -IGKJ1*01 [CDRKabatL1: RASQDVNTAVA (24'-34'); CDRKabatL2: SASFLYS (50'-56'); CDRKabatL3: QQHYTTPPT (89'-97')] (1'-107') - *Homo sapiens* IGKC*01 (108'-214')]; dimer (226-226":229-229")-bisdisulfide, produced in Chinese hamster ovary (CHO) cells, glycoform alfa *immunomodulator, antineoplastic*

cinrébausp alfa

[S²²⁸>P, F²³⁴>A, L²³⁵>A]immunoglobuline G4-kappa (chimérique humaine-*Mus musculus*, anti-(récepteur tyrosine-protéine kinase erbB-2, ERBB2, HER2)) fusionnée sur les deux chaînes lourdes (1-447, 1"-447") via un linker (G₄S)₃ (448-462, 448"-462") à un mutant de la lipocaline-2 humaine (lipocaline associée à la gélatinase neutrophile, NGAL, oncogène 24p3, sidérocaline) ciblant le CD137 (membre 9 de la superfamille des récepteurs du facteur de nécrose tumorale, TNFRSF9, 4-1BB) (23 résidus échangés) (463-640, 463"-640"): chaîne lourde gamma4 fusionnée à une mutéine de la lipocaline-2 (1-640) [*Homo sapiens* VH CH1 CH2 CH3 (*Homo sapiens* IGHV3-66*01 -(IGHD)-IGHJ4*01 [CDRKabatH1: DTYIH (31-35); CDRKabatH2: RIYPTNGYTRYADSVKG (50-66); CDRKabatH3: WGGDGFYAMDY (99-109)] (1-120) - *Homo sapiens* IGHG4*01 (CH1 (121-218), charnière (S²²⁸>P) (219-230), CH2 (F²³⁴>A, L²³⁵>A) (231-340), CH3 (341-445), CHS (446-447)) (1-447) -(G₄S)₃ linker (448-462) - lipocaline-2 humaine [mutant Q²⁸>H, L³⁶>Q, A⁴⁰>I, I⁴¹>R, Q⁴⁹>I, Y⁵²>M, N⁶⁵>D, S⁶⁸>M, L⁷⁰>K, R⁷²>D, K⁷³>D, D⁷⁷>M, W⁷⁹>D, R⁸¹>W, C⁸⁷>S, N⁹⁶>K, Y¹⁰⁰>F, L¹⁰³>H, Y¹⁰⁶>S, K¹²⁵>F, S¹²⁷>F, Y¹³²>E, K¹³⁴>Y (1-178)] (463-640)], (134-214')-disulfure avec la chaîne légère kappa (1'-214') [*Homo sapiens* VL CL (*Homo sapiens* IGKV1-39*01 -IGKJ1*01 [CDRKabatL1: RASQDVNTAVA (24'-34'); CDRKabatL2: SASFLYS (50'-56'); CDRKabatL3: QQHYTTPPT (89'-97')] (1'-107') - *Homo sapiens* IGKC*01 (108'-214')]; dimère (226-226":229-229")-bisdisulfure, produit par des cellules ovariennes de hamster chinois (CHO), glycoforme alfa *immunomodulateur, antinéoplasique*

cinrebausp alfa

[S²²⁸>P,F²³⁴>A,L²³⁵>A] inmunoglobulina G4-kappa (quimérica humana-*Mus musculus*, anti-(receptor tirosina-proteína kinasa erbB-2, ERBB2, HER2)) fusionada a las dos cadenas pesadas (1-447, 1"-447") a través de un conector (G₄S)₃ (448-462, 448"-462") con un mutante de la lipocalina-2 humana (lipocalina asociada con la gelatinasa neutrófila, NGAL, oncogen 24p3, siderocalina) dirigidos al CD137 (miembro 9 de la superfamilia de los receptores del factor de necrosis tumoral, TNFRSF9, 4-1BB) (23 residuos intercambiados) (463-640, 463"-640"): cadena pesada gamma4 fusionada con una mutante de la lipocalina-2 (1-640) [*Homo sapiens* VH CH1 CH2 CH3 (*Homo sapiens*IGHV3-66*01 -(IGHD)-IGHJ4*01 [CDRKabatH1: DTYIH (31-35); CDRKabatH2: RIYPTNGYTRYADSVKG (50-66); CDRKabatH3: WGGDGFYAMDY (99-109)] (1-120) - *Homo sapiens*IGHG4*01 (CH1 (121-218), bisagra (S²²⁸>P) (219-230), CH2 (F²³⁴>A, L²³⁵>A) (231-340), CH3 (341-445), CHS (446-447)) (1-447) -(G₄S)₃ conector (448-462) - lipocalina-2 humana [mutante Q²⁸>H, L³⁶>Q, A⁴⁰>I, I⁴¹>R, Q⁴⁹>I, Y⁵²>M, N⁶⁵>D, S⁶⁸>M, L⁷⁰>K, R⁷²>D, K⁷³>D, D⁷⁷>M, W⁷⁹>D, R⁸¹>W, C⁸⁷>S, N⁹⁶>K, Y¹⁰⁰>F, L¹⁰³>H, Y¹⁰⁶>S, K¹²⁵>F, S¹²⁷>F, Y¹³²>E, K¹³⁴>Y (1-178)] (463-640)], (134-214")-disulfuro con la cadena ligera kappa (1'-214') [*Homo sapiens* VL CL (*Homo sapiens*IGKV1-39*01 -IGKJ1*01 [CDRKabatL1: RASQDVNTAVA (24'-34'); CDRKabatL2: SASFLYS (50'-56'); CDRKabatL3: QQHYTTPPT (89'-97')] (1'-107') - *Homo sapiens* IGKC*01 (108'-214')]; dímero (226-226".229-229")-bisdisulfuro, producido por de las células ováricas de hamster chinos (CHO), glicoforma alfa

inmunomodulador, antineoplásico

2218515-90-1

Sequence / Séquence / Secuencia:

Heavy chain / Chaîne lourde / Cadena pesada:

```

EVQLVESGGG LVQPGGLRL SCAASGNIK DTYIHWRQA PGKGLEWVAR 50
IYPTNGYTRY ADSVKRGFTI SADTSKNTAY LQMNSLRAED TAVYCCSRWG 100
GDGFYAMDW GQGTLVTVSS ASTKGPSVFP LAPCSRSTSE STAALGLCVK 150
DYFPEPVTVS WNSGALTSGV HTFPAVLQSS GLYSLSSVVT VESSSSLTGKT 200
YTCNVDHKPS NTKVDKRVESS KYGPPCPCCP APEAAGGSPV FLFPKKPKDT 250
LMISRTPEVT CVVVDVSSQED PEVQFNWYVD GVEVHNAKTK FREEQFNSTY 300
RVVSVLTVLH QDWLNKEYK CKVSNKGLPS SIEKTISKAK QGPREPQVYT 350
LPPSQEEMTK NQVSLTCLVK GFYPSDIAVE WESNGQPENN YTTPPTVLDs 400
DGSFFLYSRL TVDKSRWQEC NVFSCSVMHE ALHHNYTQKS LSLSLGKGG 450
GSGGGGGGGG GSQDSTSIDL PAPPLSKVPD QQNFQDNQFH GKWWVVQAG 500
NIRLREDKDP IKMMATIYEK KEDKSYDVTM VKFDKKCMY DIWTFVPGSQ 550
PGEFTLKGKIK SFPGHTSSLV RVSTTNYNQH AMVFFKVFVQ NREEFYITLY 600
GRTKELTSEL KENFIRFSKS LGLPENHIVF PVPIDQCIDG 640

```

Light chain / Chaîne légère / Cadena ligera:

```

DIQMTQSPSS LSASVGDVRVT ITCRASDGVN TAVAWYQQKP GKAPKLILYS 50
ASFLYSGVPS RFSGSRSGTD FTLTISSLQF EDFATYYCQQ HYTPPTFQGQ 100
GKVEIKRTV AAPSPVIFPPP SDEQLKSGTA SVVCLLNNFY PREAKVQWKV 150
DNAHQSGNSQ ESVTEQDSKD STYSLSLT LSKADYEKHK YVACEVTHQG 200
LSSPVTKS FN RGEC 214

```

Disulfide bridge location / Position de la pont disulfure / Posición del puente disulfuro:
intra-H: IgG4: 22-96, 147-203, 261-321, 367-425,
22"-96", 147"-203", 261"-321", 367"-425"

lipocalin-2: 538-637, 538"-637"

intra-L: 23"-88", 134"-194", 23"-88", 134"-194"

inter-H-L: 134-214", 134"-214"

inter-H-H: 226-226", 229-229"

Glycosylation sites / Sites de glycosylation / Posiciones de glicosilación
N297, N297"

cosibelimabum #

cosibelimab

immunoglobulin G1-lambda, anti-[*Homo sapiens* CD274 (programmed death ligand 1, PDL1, PD-L1, B7 homolog 1, B7H1)], *Homo sapiens* monoclonal antibody; gamma1 heavy chain *Homo sapiens* (1-450) [VH (*Homo sapiens*IGHV1-69*01 (93.9%) -(IGHD) - IGHJ1*01(100%)) [8.8.13] (1-120) -*Homo sapiens* IGHG1*01 (100%) G1m17,1 (CH1 K120 (217) (121-218), hinge 1-15 (219-233), CH2 (234-343), CH3 D12 (359) L14 (361) (344-448), CHS (449-450)) (121-450), (223-217')-disulfide with lambda light chain *Homo sapiens* (1'-218') [V-LAMBDA (*Homo sapiens* IGLV6-57*01 (96.9%) -IGLJ2*01 (91.7%)) [8.3.11] (1'-112') -*Homo sapiens* IGLC2*01 (100%) (113'-218')]; dimer (229-229":232-232")-bisdisulfide, produced in Chinese Hamster Ovary (CHO) cells, glycoform alfa *immunomodulator, antineoplastic*

cosibélimab

immunoglobuline G1-lambda, anti-[*Homo sapiens* CD274 (ligand 1 de mort programmée, PDL1, PD-L1, homologue 1 de B7, B7H1)], anticorps monoclonal *Homo sapiens*; chaîne lourde gamma1 *Homo sapiens* (1-450) [VH (*Homo sapiens*IGHV1-69*01 (93.9%) -(IGHD) - IGHJ1*01(100%)) [8.8.13] (1-120) -*Homo sapiens* IGHG1*01 (100%) G1m17,1 (CH1 K120 (217) (121-218), charnière 1-15 (219-233), CH2 (234-343), CH3 D12 (359), L14 (361) (344-448), CHS (449-450)) (121-450)], (223-217')-disulfure avec la chaîne légère lambda *Homo sapiens* (1'-218') [V-LAMBDA (*Homo sapiens* IGLV6-57*01 (96.9%) -IGLJ2*01 (91.7%)) [8.3.11] (1'-112') -*Homo sapiens* IGLC2*01 (100%) (113'-218')]; dimère (229-229":232-232")-bisdisulfure, produit dans des cellules ovariennes de hamsters chinois (CHO), glycoforme alfa *immunomodulateur, antinéoplasique*

cosibelimab

imunoglobulina G1-lambda, anti-[*Homo sapiens* CD274 (ligando 1 de muerte programada, PDL1, PD-L1, homólogo 1 de B7, B7H1)], anticuerpo monoclonal *Homo sapiens*; cadena pesada gamma1 *Homo sapiens* (1-450) [VH (*Homo sapiens*IGHV1-69*01 (93.9%) -(IGHD) - IGHJ1*01(100%)) [8.8.13] (1-120) -*Homo sapiens* IGHG1*01 (100%) G1m17,1 (CH1 K120 (217) (121-218), bisagra 1-15 (219-233), CH2 (234-343), CH3 D12 (359), L14 (361) (344-448), CHS (449-450)) (121-450)], (223-217')-disulfuro con la cadena ligera lambda *Homo sapiens* (1'-218') [V-LAMBDA (*Homo sapiens* IGLV6-57*01 (96.9%) -IGLJ2*01 (91.7%)) [8.3.11] (1'-112') -*Homo sapiens* IGLC2*01 (100%) (113'-218')]; dímero (229-229":232-232")-bisdisulfuro, producido en las células ováricas de hamsters chinos (CHO), glicoforma alfa *imunomodulador, antineoplásico*

2216751-26-5

Heavy chain / Chaîne lourde / Cadena pesada
 EVQIQLVQSGAA VKKPGSSVKV SCKASCGGFTS RSAISWVRQA PGQGLEWMGV 50
 IIPAFGEANT AQQFQGRVTI TADESTSTAY MELSSLRSEED TAVYYCARGR 100
 QMFGAGIDFT GGGTLVTIVSS ASTKGPSVP LAFLSSKSTSC GTAALGCLVK 150
 DYFFPEPVTVS WNSGALTSGV HTFPVALQSS GLYSLSVVWY VESSSLGTQD 200
 YICNVNHHKPS NTKVDKKKVEP KSCDKTHHTCP PCPAPELILGG PSVFLFPKP 250
 KDTILMISRTP EYTCVUVUDS HEDEPEYKEWW YVDGVEVHNA KTKPRREEQYN 300
 STYRNVSVLT VLHQDWLNGK EYCKKVSNKA LPAPIEKITIS RAKQGPREPQ 350
 VYTLPSPSDE LTKNQVSLTC LVKGFYPSDI AVEWESNQD ENNYKTTPEV 400
 LDSDGSSFFLY SKLTVDKSRW QQGNVFSCSV MHEALHNHYT QKSLSLSPGK 450

Light chain / Chaîne légère / Cadena ligera
 NFMLTQPQHSV SESPGKTVTI SCTRSGSID SNYVQWYQQR PGSAPTTVI 50
 EDNQRPSGVP DRFSGSIDSS SNSASLTISG LKTEDEADYY CQSQDSNRH 100
 VIFGGGTKLTVLQPKAAFPS VTLEPPSEE LQANKATIVC L1SDFYPGV 150
 TVAWAKADSSP VKAGVETTTF SKQSNNKYAA SSYSLSLTEQ WKSHRSYSCQ 200
 VTHEGSTVEK TVAPTECS 218

Post-translational modifications
 Disulfide bridges location / Position des ponts disulfure / Posiciones de los puentes disulfuro
 Intra-H (C23-C104) 22-96 147-203 264-324 370-428
 22"-96" 147"-203" 264"-324" 370"-428"
 Intra-L (C23-C104) 22-91" 140-199"
 22"-91" 140"-199"
 Inter-H-L (h5-CL 126) 223-217" 223"-217"
 Inter-H-H (h 11, h 14) 229-229" 232-232"

N-glycosylation sites / Sites de N-glycosylation / Posiciones de N-glicosilación
 H₂CH2N84.4;
 300, 300"
 Fucosylated complex bi-antennary CHO-type glycans / glycanes de type CHO bi-antennaires
 complejos fucosilados / glicanos de tipo CHO biantenarios complejos fucosilados.

dirloctocogenum samoparvovecum #

dirloctocogene samoparvovect

A recombinant non-replicating adeno-associated virus vector with a bio-engineered capsid derived by DNA shuffling of 10 AAV capsid sequences (AAV1, 2, 3B, 4, 5, 6, 8, 9, avian and bovine AAV) followed by *in vivo* selection in Fah-/-/Rag2-/-/Il2rg-/- (FRG) mice partially repopulated with human hepatocytes. The vector has AAV2 genomic inverted terminal repeats (ITR) and encodes a human B-domain-deleted blood coagulation factor VIII (hF8, FVIII) under the control of a modified transthyretin (TTRm) promoter.

Note: the nucleotide sequence of the vector is a modification of the one of the vector of *rovococtocogene durparvovec* (*proposed INN: List 120*). *gene therapy (hemophilia)*

dirloctocogène samoparvovect

Vecteur viral adéno-associé recombinant non-repliquant avec une capsidé obtenue par bio-ingénierie dérivée du mélange des séquences de l'ADN de 10 capsides de AAV (AAV1, 2, 3B, 4, 5, 6, 8, 9, AAV aviaire et AAV bovin) suivi de la sélection *in vivo* chez des souris Fah-/-/Rag2-/-/Il2rg-/- (FRG) partiellement repeuplés avec des hépatocytes humains. Le vecteur contient les séquences inverses terminales répétées (ITR) de AAV2 et code pour le facteur de coagulation sanguine VIII humain (hF8, FVIII), dont le domaine B a été supprimé, sous le contrôle d'un promoteur modifié de la transthyrétiline (TTRm).

Note: la séquence de nucléotides du vecteur est une modification de celle du vecteur du *rovococtogène durparvovec* (*DCI proposées: Liste 120*). *thérapie génique (hémophilie)*

dirloctocogén samoparvovec

Un vector de virus adenoasociado recombinante no replicativo con una cápsida bioingenierizada mediante la mezcla de secuencias de DNA de 10 cápsidas de AAV (AAV1, 2, 3B, 4, 5, 6, 8, 9, AAV aviar y AAV bovino) seguido de selección in vivo en ratones Fah^{-/-}/Rag2^{-/-}/Il2rg^{-/-} (FRG) parcialmente repoblados con hepatocitos humanos. El vector tiene repeticiones terminales invertidas (ITR) genómicas de AAV2 y codifica para un factor de coagulación sanguíneo VIII humano (F8, FVIII) con el dominio B delecionado, bajo el control de un promotor de transtiretina modificado (TTRm).
Nota: la secuencia de nucleótidos del vector es una modificación de la del vector de *rovectocogén durparvovec* (DCI propuestas: Lista 120). *terapia génica (hemofilia)*

2163074-23-3

dovanvetmabum #
dovanvetmab

immunoglobulin G1-kappa, anti-[*Felis catus* IL31 (interleukin 31)], feline monoclonal antibody; gamma1 heavy chain feline (1-457) [VH (*Homo sapiens* IGHV1-46*01 (72.4%) -(IGHD) - IGHJ3*01(80.0%)) [8.8.15] (1-122) -*Felis catus* IGHG1*01 (CH1 (123-220), hinge 1-18 (221-238), CH2 ML1.4-1.3>AA (242-243), G1.1>A (245) (239-348), CH3 (349-455), CHS (456-457)) (123-457)], (137-214')-disulfide with kappa light chain feline (1'-214') [V-KAPPA (*Homo sapiens* IGKV1-6*01 (80.9%) -IGKJ4*01 (91.7%)) [6.3.9] (1'-107') -*Felis catus* IGKC*01 (99.1%) N122>Q (210) (108-214')]; dimer (232-232":234-234":237-237")-tridisulfide, produced in Chinese Hamster Ovary (CHO)-GS cell line, glycoform alfa
immunomodulator (veterinary use)

dovanvetmab

immunoglobuline G1-kappa, anti-[*Felis catus* IL31 (interleukine 31)], anticorps monoclonal félinisé; chaîne lourde gamma1 félinisée (1-457) [VH (*Homo sapiens* IGHV1-46*01 (72.4%) -(IGHD) - IGHJ3*01(80.0%)) [8.8.15] (1-122) -*Felis catus* IGHG1*01 (CH1 (123-220), charnière 1-18 (221-238), CH2 ML1.4-1.3>AA (242-243), G1.1>A (245) (239-348), CH3 (349-455), CHS (456-457)) (123-457)], (137-214')-disulfure avec la chaîne légère kappa félinisée (1'-214') [V-KAPPA (*Homo sapiens* IGKV1-6*01 (80.9%) -IGKJ4*01 (91.7%)) [6.3.9] (1'-107') -*Felis catus* IGKC*01 (99.1%) N122>Q (210) (108-214')]; dimère (232-232":234-234":237-237")-tridisulfure, produit dans des cellules ovarianes de hamsters chinois (CHO) lignée cellulaire GS, glycoforme alfa
immunomodulateur (usage vétérinaire)

dovanvetmab

inmunoglobulina G1-kappa, anti-[*Felis catus* IL31 (interleukina 31)], anticuerpo monoclonal felinizado; cadena pesada gamma1 felinizada (1-457) [VH (*Homo sapiens* IGHV1-46*01 (72.4%) -(IGHD) - IGHJ3*01(80.0%)) [8.8.15] (1-122) -*Felis catus* IGHG1*01 (CH1 (123-220), bisagra 1-18 (221-238), CH2 ML1.4-1.3>AA (242-243), G1.1>A (245) (239-348), CH3 (349-455), CHS (456-457)) (123-457)], (137-214')-disulfuro con la cadena ligera kappa felinizada (1'-214') [V-KAPPA (*Homo sapiens* IGKV1-6*01 (80.9%)-IGKJ4*01 (91.7%)) [6.3.9] (1'-107') -*Felis catus* IGKC*01 (99.1%) N122>Q (210) (108'-214')]; dímero (232-232":234-234":237-237")-tridisulfuro, producido en las células ováricas de hamsters chinos (CHO) línea celular GS, glicoforma alfa
inmunomodulador (uso veterinario)

2171034-71-0

Heavy chain / Chaîne lourde / Cadena pesada

QVLIVVGSAG E VRTPGASV KI FCKASGYSTF SYTIHWLRQA PAQGLEWMGN 50
INPTSCY TEN NQRFKDRRTL TADTSTNTAY MELSSLRSD TAMYYCARWG 100
PKYDGEWSFD VMGAGTTTV SSASTATPSV FPLAPSCGTT SGATVALACL 150
VLGYFFPEVT VSWNSGALTS GVHTFPAVIQ ASGLYSLSSN VTVPSSRMWLS 200
DTFTCNVAH P SNTKVDKTV RKTDPGPDK PCDCPKCPPE EAAGAPSIFI 250
FPPKPKDTLS ISRTPEVTL VVLDLGPDSD VQITWFDVNQ QVYTAKTSFR 300
EEQPNSTYRV VS VSPVILHQD WLKGKEFKCK VNKS LPSPI ERTISKAQG 350
PHEPQVYVLP PAQEELS RNK VSVTCLIKSF HPF DIAVENE ITGQPEFENN 400
YRITTPPQLDS DGTYFVYSKL SVDRSHWQRG NTYTCVSHE ALHSHHQTQS 450
LTQSPGK 457

Light chain / Chaîne légère / Cadena ligera

EIQMTQSPSS LSASPGDRVT ITCRASQSG ISWLYQOKP GNIPKVLINK 50
ASNLIHGVPVS RFSGSGSGTD FTFTISSLEP EDATATYCQLQ SQTYPLIFGG 100
GTKLEIKRSQ AQPVSFLFQ SLDELEHFGSA SIVCILNDFY PKEVNVKWV 150
DGVVQNKGQI Q ESTTEQNSKD STYSLSSLT MSSTEYQSH KFSCEVTHRS 200
LASTLVKFSQ RSEC 214

Post-translational modifications

Disulfide bridges location / Position des ponts disulfure / Posiciones de los puentes disulfuro
Intra-H (C23-C104) 22-96 149-205 269-329 375-435
22"-96" 149"-205" 269"-329" 375"-435"
Intra-L (C23-C104) 23"-88" 134"-194"
23"-88"" 134"-194""
Inter-H-L (CH1 11-CL 126) 137-214" 137"-214"
Inter-H-H (h 12, h14, h 17) 232-232" 234-234" 237-237"

N-glycosylation sites / Sites de N-glycosylation / Posiciones de N-glicosilación

H CH2 N84.4:

305, 305'

Fucosylated complex bi-antennary CHO-type glycans / glycanes de type CHO bi-antennaires complexes fucosylés / glicanos de tipo CHO biantenarios complejos fucosilados

efbemalenograstimum alfa #
efbemalenograstim alfa

human granulocyte colony-stimulating factor (G-CSF) fragment fused via a peptidyl linker to a human immunoglobulin G2 Fc fragment variant, dimer:
[human granulocyte colony-stimulating factor (G-CSF, pluripoietin) short [A¹,V³⁷,S³⁸,E³⁹>del] isoform (1-174)]-[GSG₃S(G₄S)₂ linker (175-190)]-[human immunoglobulin G2 Fc fragment (223 C-terminal residues) (*Homo sapiens* IGHG2*01 (natural S³⁴⁴>A variant); hinge (191-197), CH2 (P²⁹⁷>S) (198-306), CH3 (307-411), CHS (412-413)(191-413)] fusion protein, dimer (193-193":196-196")-bisdisulfide, produced in Chinese hamster ovary (CHO) cells, glicoform alfa
granulocyte colony stimulating factor

efbémalénograstim alfa

fragment du facteur de stimulation des colonies de granulocytes humain (G-CSF) lié par un peptide à un variant du fragment Fc de l'immunoglobuline humaine G2, dimère:

[facteur humain de stimulation des colonies de granulocytes (G-CSF, pluripoïétine)
[A¹,V³⁷,S³⁸,E³⁹>del] isoforme courte (1-174)]-[GSG₃S(G₄S)₂ linker (175-190)]-[fragment Fc de l'immunoglobuline humaine G2 (résidus 223 C-terminaux) (*Homo sapiens* IGHG2*01 (variant naturel S³⁴⁴>A); charnière (191-197), CH2 (P²⁹⁷>S) (198-306), CH3 (307-411), CHS (412-413)(191-413)] protéine de fusion, dimère (193-193':196-196')-bisdisulfure, produit par des cellules ovariennes de hamster chinois (CHO), glycoforme alfa
facteur de stimulation des colonies de granulocytes

efbemalenograstim alfa

fragmento del factor de estimulación de las colonias de granulocitos humano (G-CSF) que se une por un péptido a una variante del fragment Fc de la inmunoglobulina humana G2, dímero:

[factor humano de estimulación de las colonias de granulocitos (G-CSF, pluripoyetina) [A¹,V³⁷,S³⁸,E³⁹>del] isoforma corta (1-174)]-[GSG₃S(G₄S)₂ conector (175-190)]-[fragmento Fc de la inmunoglobulina humana G2 (residuo 223 C-terminal) (*Homo sapiens* IGHG2*01 (variante natural S³⁴⁴>A); bisagra (191-197), CH2 (P²⁹⁷>S) (198-306), CH3 (307-411), CHS (412-413)(191-413)] proteína de fusión, dímero (193-193':196-196')-bisdisulfuro, producido por las células ováricas de hamsters chinos (CHO), glicoforma alfa
factor estimulante de las colonias de granulocitos

2200269-79-8

Sequence / Séquence / Secuencia:

```
TPLGPASSL P QSFLLKCLEQ VRKIQGDGAA LQEKLICATYK LCHPEELVLL 50
GHSLGLIWPAP LSSCPSCAQJQ LAGELQLSLHQS GLFLYQQLLQ ALEGISPELG 100
PTLDLTLQLDVF ADFAFTTIWQQ MEEILGMAPAL QFTQGAMPAF ASAFQRARRAGG 150
VLVASHLQSFS LEVSYRVLRH LAQPGSGGGGS GGGGGGGGGS VECPPCPAPP 200
VAGPSVELFFPKPKDTLMIS RTPEVTCVVV DVSHEDPEVQ FNWYVDGVVEV 250
HNAKTKEREEQ QFNSTFRVVS VLTVVHWDWL NGKEYCKKVSNKGLPASIEK 300
TISKTKGQPR EPQVYTLPPS REEMTKNQVS LTCILVKGFYP SDIAVEWESN 350
QQPENNYKTTPPMLDSDGSP FLYSKLTVDK SRWQQGNVFS CSVMHEALHN 400
HYTQKSSLISLS PGK 413
```

Disulfide bridge location / Position de la pont disulfure / Posición del puente disulfuro:
 intra-G-CSF: 36-42, 64-74, 36'-42', 64'-74'
 intra-IgG2Fc: 227-287, 333-391, 227-287, 333-391'
 inter-IgG2Fc: 193-193', 196-196'

Glycosylation sites / Sites de glycosylation / Posiciones de glicosilación
 N-linked glycans: Asn263, Asn263"
 O-linked glycans: Thr133, Thr133'

efmitemantum alfa #
efmitemant alfa

human follistatin fragment fused via a peptidyl linker to a human immunoglobulin G2 Fc fragment, dimer:

[human follistatin (FST, FS, activin-binding protein) (1-291)-peptide]-[TG₃ linker (292-295)]-[human immunoglobulin G2 Fc fragment (223 C-terminal residues) (*Homo sapiens* IGHG2*01; hinge (296-302), CH2 (303-411), CH3 (412-516), CHS (517-518)] (296-518) (natural S⁴⁴⁹>A variant)] fusion protein, dimer (198-198':201-201')-bisdisulfide, produced in Chinese hamster ovary (CHO) cells, glycoform alfa
anti-transforming growth factor

efmiltermant alfa

fragment de la follistatine humaine fusionnée via un peptide à un fragment Fc de l'immunoglobuline humaine G2, dimère:
 [follistatine humaine (FST, FS, protéine liant l'activine) (1-291)-péptide]-[TG₃ linker (292-295)]-[fragment Fc de l'immunoglobuline G2 humaine (223 résidus C-terminaux) [*Homo sapiens* IGHG2*01; charnière (296-302), CH2 (303-411), CH3 (412-516), CHS (517-518)] (296-518) (variant naturel S⁴⁴⁹>A)] protéine de fusion, dimère (198-198':201-201')-bisisulfure, produit dans des cellules ovariennes de hamsters chinois (CHO), glicoforme alfa
anti-facteur de croissance transformant

efmiltermant alfa

fragmento de la folistatina humana fusionada a través de un péptido con un fragmento Fc de la inmunoglobulina humana G2, dímero:
 [folistatina humana (FST, FS, proteína que se une a la activina) (1-291)-péptido]-[TG₃ conector (292-295)]-[fragmento Fc de la inmunoglobulina G2 humana (residuo 223 C-terminal) [*Homo sapiens* IGHG2*01; bisagra (296-302), CH2 (303-411), CH3 (412-516), CHS (517-518)] (296-518) (variante natural S⁴⁴⁹>A)] proteína de fusión, dímero (198-198':201-201')-bisisulfuro, producido en las células ováricas de hamsters chinos (CHO), glicoforma alfa
anti-factor de crecimiento transformante

1644543-31-6

Sequence / Séquence / Secuencia

```

GNCWLQAKN GRGVLYKTE LSKECCSTG RLSTSWTEED VNDNTLFWKG 50
TFNGGAPNCI PCKETCENVD CGPKGKCRMN KKNKPRCVCA PDCSNITWKG 100
PVCGLDGKTY RNECALLKAR CKEQPELEQV YQGRCKKTCR DVFCPGSSCT 150
VVDQTNNAYC VTCNRICPEP ASSEQYLCGN DGVTYSSACH LRKATCLLG 200
SIGLAYEGKC IKAKSCEDIQ CTGGKKLWD FKVGRGRCSL CDELCPDSSK 250
DEPVPCASDNA TYASECAMKE AACSSGVLL E VKHSGSCNSI STGGVVCEPP 300
CPAPPVAGPS VFLFPKPKD TLMISRTPEV TCVVVDSHE DPEVQFNWYV 350
DGVEVHNNAKT KPREEQFNST FRVSVLTIV HODWLNGKEY KCKVSNKGLP 400
APIEKTIISK TKGQPREFQVY TLPPSRREMT KNQVSLTCLV KGFYPSDIAV 450
EWESNQNPEN NYKTTPPMID SDGSFFLYSK LTVDKSRWQQ GNVFSCSVMH 500
EALHNHYTQK SLSLSPGK 518

```

Disulfide bridge location / Posición de la pont disulfure / Posición del puente disulfuro intra-H, intra-H': FST: 3-26, 13-59, 27-62, 66-77, 71-87, 89-121, 93-114, 103-135, 139-150, 144-160, 163-196, 167-189, 178-210, 216-227, 221-238, 241-273, 245-266, 255-287

IgG2: 332-392, 438-496

inter-H-H': 298-298', 301-301'

Glycosylation sites / Sites de glycosylation / Posiciones de glicosilación
 Asn95, Asn259, Asn368

elexacaftorum

elexacaftor

N-(1,3-dimethyl-1*H*-pyrazole-4-sulfonyl)-6-[3-(3,3,3-trifluoro-2,2-dimethylpropoxy)-1*H*-pyrazol-1-yl]-2-[(4*S*)-2,2,4-trimethylpyrrolidin-1-yl]pyridine-3-carboxamide
cystic fibrosis transmembrane regulator (CFTR) protein modulator

élexacaftor

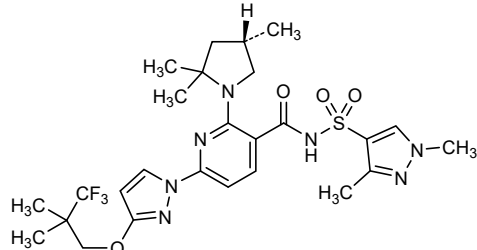
N-(1,3-diméthyl-1*H*-pyrazole-4-sulfonyl)-6-[3-(3,3,3-trifluoro-2,2-diméthylpropoxy)-1*H*-pyrazol-1-yl]-2-[(4*S*)-2,2,4-triméthylpyrrolidin-1-yl]pyridine-3-carboxamide
modulateur de la protéine régulatrice de la perméabilité transmembranaire impliquée dans la mucoviscidose (CFTR)

elexacaftor

N-(1,3-dimetil-1*H*-pirazol-4-sulfonil)-6-[3-(3,3,3-trifluoro-2,2-dimetilpropoxi)-1*H*-pirazol-1-il]-2-[(4*S*)-2,2,4-trimetilpirrolidin-1-il]piridina-3-carboxamida
modulador de la proteína reguladora de la conductancia transmembrana de la fibrosis quística (CFTR)

 $C_{26}H_{34}F_3N_7O_4S$

2216712-66-0

**elivaldogenum autotemcelum #**

elivaldogene autotemcel

autologous CD34+ hematopoietic stem cells transduced *ex vivo* with *elivaldogene tavalentivec* (115)(77), a VSV-G*-pseudotyped self-inactivating HIV-1-derived lentiviral vector (pLBP100 hALD) encoding human adrenoleukodystrophy (ALD) protein (ABCD1 gene) under the control of a modified myeloproliferative sarcoma virus promoter (MND**)

* VSV-G = vesicular stomatitis virus G envelope protein

** MND = myeloproliferative sarcoma virus enhancer with negative control region deleted, dl587rev primer-binding site substituted

cell therapy (adrenoleukodystrophy)

éļivaldogène autotemcel

cellules souches hématopoïétiques CD34+ autologues transduites *ex vivo* avec l'*éļivaldogène tavalentivec*, vecteur lentiviral dérivé du VIH-1 auto-inactivant (pLBP100 hALD) pseudotypé VSV-G*, codant pour la protéine humaine de l'adrénoleucodystrophie (ALD) (gène ABCD1), sous le contrôle d'un promoteur du virus du sarcome myélolymphatique modifié (MND**)

* VSV-G = glycoprotéine G de l'enveloppe du virus de la stomatite vésiculaire

** MND = activateur du virus du sarcome myélolymphatique dont la région de contrôle négatif a été supprimée, le site de liaison de l'amorce substitué par dl587rev
thérapie cellulaire (adrénoleucodystrophie)

elivaldogén autotemcel

células madre hematopoyéticas CD34+ autólogas transducidas *ex vivo* con *elivaldogén tavalentivec* (115)(77), un vector lenti-viral, auto-inactivante, derivado del VIH-1 y seudotipado con VSV-G* (pLBP100 hALD), que codifica para la proteína de la adrenoleucodistrofia (ALD) humana (gen ABCD1), bajo el control de un promotor modificado del virus del sarcoma mieloproliferativo (MND**)

* VSV-G = proteína G de la envuelta del virus de la estomatitis vesicular

** MND = activador del virus del sarcoma mieloproliferativo con la región de control negativo delecionada y, el sitio de unión del primer dl587rev substituido
terapia celular (adrenoleucodistrofia)

elsubrutinibum

elsubrutinib

4-[(3S)-1-(prop-2-enoyl)piperidin-3-yl]-1*H*-indole-7-carboxamide
Bruton's tyrosine kinase inhibitor

elsubrutinib

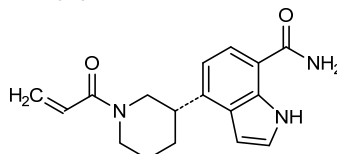
4-[(3S)-1-(prop-2-énoyl)pipéridin-3-yl]-1*H*-indole-7-carboxamide
inhibiteur de la tyrosine kinase de Bruton

elsubrutinib

4-[(3S)-1-(prop-2-enoil)piperidin-3-il]-1*H*-indol-7-carboxamida
inhibidor de la tirosina quinasa de Bruton

C₁₇H₁₉N₃O₂

1643570-24-4

**enavogliflozinum**

enavogliflozin

(1*S*)-1,5-anhydro-1-C-[7-chloro-6-[(4-cyclopropylphenyl)methyl]-2,3-dihydro-1-benzofuran-4-yl]-D-glucitol
antidiabetic

énavogliflozine

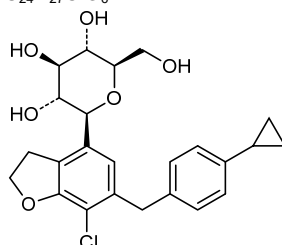
(1*S*)-1,5-anhydro-1-C-[7-chloro-6-[(4-cyclopropylphényl)méthyl]-2,3-dihydro-1-benzofuran-4-yl]-D-glucitol
hypoglycémiant

enavogliflozina

(1*S*)-1,5-anhidro-1-C-[7-cloro-6-[(4-ciclopropilfenil)metil]-2,3-dihidro-1-benzofuran-4-il]-D-glucitol
hipoglucemiant

C₂₄H₂₇ClO₆

1415472-28-4

**encelimumab #**

encelimumab

immunoglobulin G4-kappa, anti-[*Homo sapiens* LAG3 (lymphocyte activating 3, lymphocyte-activation 3, CD223)], humanized monoclonal antibody; gamma4 heavy chain humanized (1-441) [VH (*Homo sapiens*IGHV1-69-2*01 (78.1%) -(IGHD)-IGHJ4*01 (91.7%)) [8.8.7] (1-114)-*Homo sapiens*IGHG4*01 (CH1 (115-212), hinge 1-12 S10>P (222) (213-224), CH2 (225-334), CH3 (335-439), CHS (440-441)) (115-441)], (128-219')-disulfide with kappa light chain

humanized (1'-219') [V-KAPPA (*Homo sapiens* IGKV2D-29*02 (89.0%) - IGKJ4*01 (100%)) [11.3.9] (1'-112') -*Homo sapiens* IGKC*01 (100%), Km3 A45.1 (158), V101 (196) (113'-219')]; dimer (220-220"-223-223")-bisdisulfide, produced in Chinese Hamster Ovary (CHO) cells, glycoform alfa
immunomodulator, antineoplastic

encelimab immunoglobuline G4-kappa, anti-[*Homo sapiens* LAG3 (activateur 3 des lymphocytes, lymphocyte-activation 3, CD223)], anticorps monoclonal humanisé; chaîne lourde gamma4 humanisée (1-441) [VH (*Homo sapiens* IGHV1-69-2*01 (78.1%) -(IGHD) -IGHJ4*01 (91.7%)) [8.8.7] (1-114)-*Homo sapiens* IGHG4*01 (CH1 (115-212), charnière 1-12 S10>P (222) (213-224), CH2 (225-334), CH3 (335-439), CHS (440-441)) (115-441)], (128-219')-disulfure avec la chaîne légère kappa humanisée (1'-219') [V-KAPPA (*Homo sapiens* IGKV2D-29*02 (89.0%) -IGKJ4*01 (100%)) [11.3.9] (1'-112') -*Homo sapiens* IGKC*01 (100%), Km3 A45.1 (158), V101 (196) (113'-219')]; dimère (220-220"-223-223")-bisdisulfure, produit dans des cellules ovarianes de hamsters chinois (CHO), glycoforme alfa
immunomodulateur, antinéoplasique

encelimab inmunoglobulina G4-kappa, anti-[*Homo sapiens* LAG3 (activador 3 de los linfocitos, activación de linfocito 3, CD223)], anticuerpo monoclonal humanizado; cadena pesada gamma4 humanizada (1-441) [VH (*Homo sapiens* IGHV1-69-2*01 (78.1%) -(IGHD) -IGHJ4*01 (91.7%)) [8.8.7] (1-114)-*Homo sapiens* IGHG4*01 (CH1 (115-212), bisagra 1-12 S10>P (222) (213-224), CH2 (225-334), CH3 (335-439), CHS (440-441)) (115-441)], (128-219')-disulfuro con la cadena ligera kappa humanizada (1'-219') [V-KAPPA (*Homo sapiens* IGKV2D-29*02 (89.0%) -IGKJ4*01 (100%)) [11.3.9] (1'-112') -*Homo sapiens* IGKC*01 (100%), Km3 A45.1 (158), V101 (196) (113'-219')]; dímero (220-220"-223-223")-bisdisulfuro, producido en las células ováricas de hamsters chinos (CHO), glicoforma alfa
inmunomodulador, antineoplásico

2173096-82-5

Heavy chain / Chaîne lourde / Cadena pesada

EVQIVQSGAE VKKPGATVKI SCKAGFSIK DDYIHWVQQA PGKGLWEWG 50
IDAMNNDSDQY SSKFGRVTI TVDTSTNTAY MKLSSLSRSD TAVYYCTYAF 100
GGYWGQQGTV TVSSASTKGP SVFPLAPCSR STSESTAALG CLVKDYLFFEP 150
VTWSWNNSCAL TSGVHTTPAV LQSGGLYSLS SVTVPVSSL GTRTYTCNVD 200
HKEPSNTKVDI RVESKYGPFC PPCPAPAEFLG GSVFLLFPFK PKDTLMISRT 250
PEVTCVVVDV SQEDPEVQFN WYWDGEVWHS ARKTKPREEQF NSTYRVVSVL 300
TVLHQDWLNG KEYKCKVSNK GLPSSEIKTI SKAKGQPRPF QVYTLPBSEQ 350
EMTKKNQVSLT CLVKGKFYPDS IAVEWESNQG PENNYKTPPE VLDSDGSSFL 400
YSRLTVDKSR WQEGNVFSCS VMHEALHNHY TQKSLSLSLIG K 441

Light chain / Chaîne légère / Cadena ligera

DIVMTQTPLS LSVTPGQPAS ISCRSSQSLV HSDSNTYLHW YLQKPGQSPQ 50
LLIYLVSNRF SGVPDRFGSS GSGTDFTLKI SRVEAEDVGW YFCGQSTHVP 100
YAFGGGTKEV IKRTVAAAPS FIFPPSDEQL KSGTASVVC LNNFYPREAK 150
VQWKVDNALQ SGNSQESVTE QDSKDSTYSL SSTLTLSKAD YEKHKVYACE 200
VTHQGLSSPV TKSFNRGEC 219

Post-translational modifications

Disulfide bridges location / Position des ponts disulfure / Posiciones de los puentes disulfuro

Intra-H (C23-C104) 22-96 141-197 255-315 361-419
22"-96" 141"-197" 255"-315" 361"-419"

Intra-L (C23-C104) 23"-93" 139"-199"

23"-93" 139"-199"

Inter-H-L (CH1 10-CL 126) 128-219" 128"-219"

Inter-H-H (h 8, h 11) 220-220" 223-223"

N-glycosylation sites / Sites de N-glycosylation / Posiciones de N-glicosilación
H CH2 N84.4:
291,291"

Fucosylated complex bi-antennary CHO-type glycans / glycanes de type CHO bi-antennaires complexes fucosylés / glicanos de tipo CHO biantenarios complejos fucosilados

C-terminal lysine clipping:

H CHS K2:

441,441"

enmetazobactam

enmetazobactam

(2S,3S,5R)-3-methyl-3-[(3-methyl-1*H*-1,2,3-triazol-3-iium-1-yl)methyl]-4,4,7-trioxo-4*λ*⁶-thia-1-azabicyclo[3.2.0]heptane-2-carboxylate
beta-lactamase inhibitor

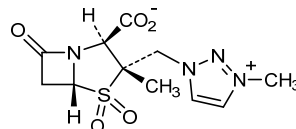
enmétazobactam

(2S,3S,5R)-3-méthyl-3-[(3-méthyl-1*H*-1,2,3-triazol-3-iium-1-yl)methyl]-4,4,7-trioxo-4*λ*⁶-thia-1-azabicyclo[3.2.0]heptane-2-carboxylate
inhibiteur de la bêta-lactamase

enmetazobactam

(2S,3S,5R)-3-metil-3-[(3-metil-1*H*-1,2,3-triazol-3-iium-1-il)metil]-4,4,7-trioxo-4*λ*⁶-tia-1-azabiciclo[3.2.0]heptano-2-carboxilato
inhibidor de la beta-lactamasa

1001404-83-6

**epcoritamabum #**

epcoritamab

immunoglobulin G1-lambda/kappa, anti-[*Homo sapiens* CD3E (CD3 epsilon)] and anti-[*Homo sapiens* MS4A1 (membrane-spanning 4-domains subfamily A member 1, CD20)], monoclonal antibody, bispecific; gamma1 heavy chain chimeric anti-CD3E (1-454) [VH (*Mus musculus* IGHV10-1*02 (93.9%) -(IGHD) - IGHJ3*01 (93.3%) /*Homo sapiens* IGHV3-72*01 (81.0%) -(IGHD) -IGHJ6*01 (67.0%)) [8.10.16] (1-125) -*Homo sapiens* IGHG1*03G1m3, nG1m1 (CH1 R120 (222) (126-223), hinge 1-15 (224-238), CH2L1.3>F (242), L1.2>E (243), D27>A (273) (239-348), CH3 E12 (364), M14(366), F85.1>L (413) (349-453), CHS K2>del (454)) (126-454)], (228-214')-disulfide with lambda light chain chimeric (1'-215') [V-LAMBDA (*Mus musculus* IGLV1*01 (83.3%) -IGLJ1*01 (100%)/*Homo sapiens* IGLV8-61*01 (70.8%) -IGLJ3*02 (100%)) [9.3.9] (1'-109') -*Homo sapiens* IGLC2*01 (100%) (110'-215')]; gamma1 heavy chain *Homo sapiens* anti-MS4A1 (1"-451") [VH (*Homo sapiens* IGHV3-9*01 (96.0%) - (IGHD) -IGHJ6*01 (100%)) [8.8.15] (1"-122") -*Homo sapiens* IGHG1*03 G1m3, G1m1 (CH1 R120 (219) (123-220), hinge 1-15 (221-235), CH2 L1.3>F (239), L1.2>E (240), D27>A (270) (236-345), CH3E12 (361), M14 (363), K88>R (414) (346-450), CHS K2>del (451)) (123"-451")], (225"-214")-disulfide with kappa light chain *Homo sapiens* (1"-214") [V-KAPPA (*Homo sapiens* IGKV3-11*01 (100%) -IGKJ5*01 (100%)) [6.3.9] (1"-107") -*Homo sapiens* IGKC*01 (100%), Km3 A45.1 (153), V101 (191) (108"-214")]; dimer (234-231":237-234")-bisdisulfide, produced in Chinese Hamster Ovary (CHO)-S cell line, glycoform alfa immunomodulator, antineoplastic

épcoritamab	immunoglobuline G1-lambda/kappa, anti-[<i>Homo sapiens</i> CD3E (CD3 epsilon)] et anti-[<i>Homo sapiens</i> MS4A1 (membre 1 de la sous-famille A à 4 domaines transmembranaires, CD20)], anticorps monoclonal bispécifique; chaîne lourde gamma1 chimérique anti-CD3E (1-454) [VH (<i>Mus musculus</i> IGHV10-1*02 (93.9%) -(IGHD) -IGHJ3*01 (93.3%)/ <i>Homo sapiens</i> IGHV3-72*01 (81.0%) -(IGHD) -IGHJ6*01 (67.0%)) [8.10.16] (1-125) - <i>Homo sapiens</i> IGHG1*03G1m3, nG1m1 (CH1 R120 (222) (126-223), charnière 1-15 (224-238), CH2 L1.3>F (242), L1.2>E (243), D27>A (273) (239-348), CH3 E12 (364), M14(366), F85.1>L (413) (349-453), CHS K2>del (454)) (126-454)], (228-214')-disulfure avec la chaîne légère lambda chimérique (1'-215') [V-LAMBDA (<i>Mus musculus</i> IGLV1*01 (83.3%) -IGLJ1*01 (100%)/ <i>Homo sapiens</i> IGLV8-61*01 (70.8%) -IGLJ3*02 (100%)) [9.3.9] (1'-109') - <i>Homo sapiens</i> IGLC2*01 (100%) (110'-215')]; chaîne lourde gamma1 <i>Homo sapiens</i> anti-MS4A1 (1"-451") [VH (<i>Homo sapiens</i> IGHV3-9*01 (96.0%) -(IGHD) -IGHJ6*01 (100%)) [8.8.15] (1"-122") - <i>Homo sapiens</i> IGHG1*03G1m3, nG1m1 (CH1 R120 (219) (123-220), charnière 1-15 (221-235), CH2 L1.3>F (239), L1.2>E (240), D27>A (270) (236-345), CH3 E12 (361), M14 (363), K88>R (414) (346-450), CHS K2>del (451)) (123"-451")], (225"-214")-disulfure avec la chaîne légère kappa <i>Homo sapiens</i> (1""-214") [V-KAPPA (<i>Homo sapiens</i> IGKV3-11*01 (100%) -IGKJ5*01 (100%)) [6.3.9] (1""-107") - <i>Homo sapiens</i> IGKC*01 (100%), Km3 A45.1 (153), V101 (191) (108""-214")]; dimère (234-231":237-234")-bisdisulfure, produit dans des cellules ovarianas de hamsters chinois (CHO) lignée celular CHO-S, glicoformae alfa <i>immunomodulador, antineoplásico</i>
epcoritamab	immunoglobulina G1-lambda/kappa, anti-[<i>Homo sapiens</i> CD3E (CD3 épsilon)] y anti-[<i>Homo sapiens</i> MS4A1 (miembro 1 de la subfamilia A de 4 dominios transmembranarios, CD20)], anticuerpo monoclonal biespecífico; cadena pesada gamma1 químérica anti-CD3E (1-454) [VH (<i>Mus musculus</i> IGHV10-1*02 (93.9%) -(IGHD) -IGHJ3*01 (93.3%)/ <i>Homo sapiens</i> IGHV3-72*01 (81.0%) -(IGHD) -IGHJ6*01 (67.0%)) [8.10.16] (1-125) - <i>Homo sapiens</i> IGHG1*03G1m3, nG1m1 (CH1 R120 (222) (126-223), bisagra 1-15 (224-238), CH2 L1.3>F (242), L1.2>E (243), D27>A (273) (239-348), CH3 E12 (364), M14(366), F85.1>L (413) (349-453), CHS K2>del (454)) (126-454)], (228-214')-disulfuro con la cadena ligera lambda químérica (1'-215') [V-LAMBDA (<i>Mus musculus</i> IGLV1*01 (83.3%) -IGLJ1*01 (100%)/ <i>Homo sapiens</i> IGLV8-61*01 (70.8%) -IGLJ3*02 (100%)) [9.3.9] (1'-109') - <i>Homo sapiens</i> IGLC2*01 (100%) (110'-215')]; cadena pesada gamma1 <i>Homo sapiens</i> anti-MS4A1 (1"-451") [VH (<i>Homo sapiens</i> IGHV3-9*01 (96.0%) -(IGHD) -IGHJ6*01 (100%)) [8.8.15] (1"-122") - <i>Homo sapiens</i> IGHG1*03G1m3, nG1m1 (CH1 R120 (219) (123-220), bisagra 1-15 (221-235), CH2 L1.3>F (239), L1.2>E (240), D27>A (270) (236-345), CH3 E12 (361), M14 (363), K88>R (414) (346-450), CHS K2>del (451)) (123"-451")], (225"-214")-disulfuro con la cadena ligera kappa <i>Homo sapiens</i> (1""-214") [V-KAPPA (<i>Homo sapiens</i> IGKV3-11*01 (100%) -IGKJ5*01 (100%)) [6.3.9] (1""-107") - <i>Homo sapiens</i> IGKC*01 (100%), Km3 A45.1 (153), V101 (191) (108""-214")]; dímero (234-231":237-234")-bisdisulfuro, producido en las células ováricas de hamsters chinos (CHO) línea celular CHO-S, glicoformae alfa <i>inmunomodulador, antineoplásico</i>

2134641-34-0

Heavy chain / Chaîne lourde / Cadena pesada (anti-CD3E)
 EVKLVESGGGVVQPGGSLRL SCAASGFTPH TYAMHWWRQA PGKGLEWVAR 50
 IRSKYNNYAT YYADSVVKDRF TISRDSDKS5 LYIQLMNLKTY EDTAMYCVR 100
 HGNFGNSYVW WFAYGGCGT1 VTVSSASTRK PSVFPLAPSE KSTSGTAAL 150
 GCLVKDYYFPR PVTWSWNSGA LTSGVHTFFA VLQSSGLYS1 SSVVTWESSS 200
 LGTQTYICNVH NHPKPSNTKVD KRVEPKSCDK TH7CPCPAP EFEFGPSVFL 250
 FPPKPKDILM ISRTEPVTCV VVAVSHEDE VFKNWVVGV EVHNAAKTKPR 300
 EEQYNSTYRV VSVLTVLHQD WLNGKEKCK VSNKALPAPI EKTISKAKQG 350
 PREPQVYTLPSR EEMTQNQ VSLTCLVKGF YPSDIAWEWE SNGQPNENYK 400
 TTPPVLDSDG SFLLYSKLT DKSRRWQQGNV FSCSVMHEAL NHNYTQKSL5 450
 LSPG

Light chain / Chaîne légère / Cadena ligera (anti-CD2E)
 QAVVTOEPSEV SVSPCGTVL TCRSSTGAVT TSNYANWVQQ TPQQAERGLI 50
 GGTNKKRAFGV PARFSGSLIG DKAALTTIGA QADDESIYFC ALWYNSLNWVTF 100
 GGGTAKLTVLQ QPKAAPSVTL FPPSSEELQQA NKATLVCILIS DFYFGAVTV 150
 WKADSSSPVKA GVETTIPSKQ SNNKYAASSY LSLTPEQWKS HRSYSCQVTH 200
 EGSTVEKTVTA PTECS 215

Heavy chain / Chaîne lourde / Cadena pesada (anti-CD20)
 EVQLVESGGGVVQPGGSLRL SCAASGFTPH DYAMHWWRQA PGKGLEWVST 50
 ISWNSTIGY ADSSVGRFTI SRDNANKSLY LQMNSLRAED TALYVCAKDI 100
 QYGNYYGMV VMGQGTTVTV SSASTKGPV FPLAPSSKST SGCTAALGCL 150
 VKDYFPEPVTF VSWNSGALTS GVHTPAVLIQ SSGLYSLSSLV VIVVPTSSLLT 200
 OTYICGNVNHK PSNTKVKDRV EPKSCDKTHI CPCPCAPPEF GGPSPVLFPP 250
 KPKDTLMISR TPEVTVVVVA VSHEDPEVFK NWYVDGVEHV NAKTKPREEQ 300
 YNSTYRVVSV LTVLHQDWLNL GKEYKCKVSN KALPAPIEKY ISKAKGQPREE 350
 PQVYTLPPSR EEMTQNQVSL TCLVKGFYPS DIAVEWESNC QPENNYKTP 400
 PVLDSDGSFF LYSLRTVDKS RWQQGNVFSC SVMHEALHNH YTQKSLSLSP 450
 G

Light chain / Chaîne légère / Cadena ligera (anti-CD20)
 EIVLTSQSPAT LSLSPGERAT LSCRASQSVS SYLAWYQQKP GQAPRLLIYD 50
 ASN RATGIPA RFSGSGGSTD FTLTSSLEP EDFAVYYCQQ RSNWPIITFCQ 100
 GTRLEIKRTV AAPSFVIFPP SDEQLSGTA SVVCLLNNFY PREAKVQWKV 150
 DNALQSGNSQ ESVTBQDSKD STYSLSLTLT LSKADYEKKH VYACEVTHQG 200
 LSSPVTKSFN RGEC 214

Post-translational modifications
 Disulfide bridges location / Position des ponts disulfure / Posiciones de los puentes disulfuro
 Intra-H (C23-C104) 22-98 152-208 269-329 375-433
 22"-96" 149"-205" 266"-326" 372"-430"
 Intra-L (C23-C104) 22-90" 137-196"
 23"-88" 134"-194"
 Inter-H-L (h 5-CL 126) 228-214" 225"-214"
 Inter-H-H (h 11, h 14) 234-231" 237-234"

N-glycosylation sites / Sites de N-glycosylation / Posiciones de N-glicosilación
 H CH2 N84.4:
 305, 302"
 Fucosylated complex bi-antennary CHO-type glycans / glycanes de type CHO bi-antennaires
 complexes fucosylés / glicanos de tipo CHO biantenarios complejos fucosilados.

ezaladcigenum resoparvovecum #

ezaladcigene resoparvotec

A recombinant non-replicating adeno-associated virus serotype 2 (rAAV2) vector encoding human aromatic-L-amino-acid decarboxylase (AADC, DOPA decarboxylase, DDC) under control of a cytomegalovirus (CMV) promoter.
gene therapy (antiparkinsonian)

ézaladcigène résoparvotec

Vecteur viral adéno-associé recombinant de sérotype 2 non-répliquant (rAAV2) codant pour la décarboxylase des acides L-aminés aromatiques (AADC, DOPA décarboxylase, DDC) sous le contrôle d'un promoteur de cytomégalovirus (CMV)
thérapie génique (antiparkinson)

ezaladcigén resoparvotec

Un vector de virus adenoasociado recombinante no replicativo del serotipo 2 (rAAV2), que codifica para la L-aminoácido aromático descarboxilasa (AADC, DOPA decarboxilasa, DDC) bajo el control de un promotor de citomegalovirus (CMV).
terapia génica (antiparkinsoniano)

fadraciclibum

fadraciclib

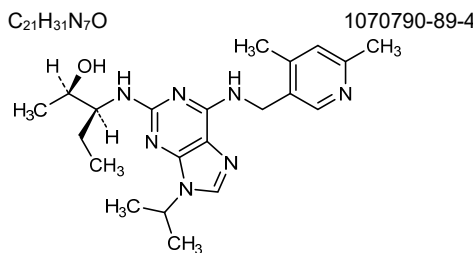
(*2R,3S*)-3-[(6-[(4,6-dimethylpyridin-3-yl)methyl]amino)-9-(propan-2-yl)-9*H*-purin-2-yl]amino]pentan-2-ol
cyclin-dependent kinase inhibitor, antineoplastic

fadraciclib

(*2R,3S*)-3-[(6-[(4,6-diméthylpyridin-3-yl)méthyl]amino)-9-(propan-2-yl)-9*H*-purin-2-yl]amino]pentan-2-ol
inhibiteur des kinases dépendantes des cyclines, antinéoplasique

fadraciclib

(*2R,3S*)-3-[(6-{[(4,6-dimetilpiridin-3-il)metil]amino}-9-(propan-2-il)-9*H*-purin-2-il]amino]pentan-2-ol
inhibidor de las quinasas dependientes de las ciclinas, antineoplásico

**felcisetragum**

felcisetrag

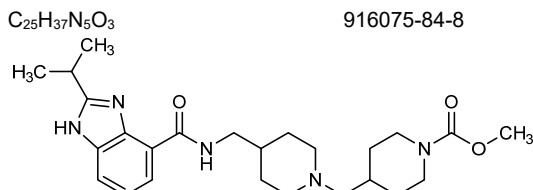
methyl 4-[(4-{[2-(propan-2-yl)-1*H*-benzimidazole-4-carboxamido]methyl}piperidin-1-yl)methyl]piperidine-1-carboxylate
prokinetic agent

felcisétrag

4-[(4-{[2-(propan-2-yl)-1*H*-benzimidazole-4-carboxamido]méthyl}piperidin-1-yl)méthyl]pipéridine-1-carboxylate de méthyle
accélérateur du transit intestinal

felcisetrag

4-[(4-{[2-(propan-2-il)-1*H*-benzimidazol-4-carboxamido]metil}piperidin-1-il)metil]piperidina-1-carboxilato de metilo
estimulante de la motilidad intestinal

**felezonexorum**

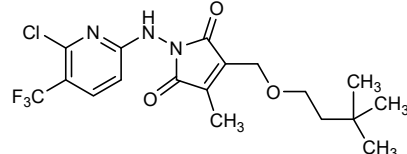
felezonexor

1-[(6-chloro-5-(trifluoromethyl)pyridin-2-yl)amino]-3-[(3,3-dimethylbutoxy)methyl]-4-methyl-1*H*-pyrrole-2,5-dione
antineoplastic

félézonexor 1-{[6-chloro-5-(trifluorométhyl)pyridin-2-yl]amino}-3-[(3,3-diméthylbutoxy)méthyl]-4-méthyl-1*H*-pyrrole-2,5-dione
antineoplasique

felezonexor 1-{[6-cloro-5-(trifluorometil)piridin-2-il]amino}-3-[(3,3-dimetilbutoxi)metyl]-4-metil-1*H*-pirrol-2,5-diona
antineoplásico

C₁₈H₂₁ClF₃N₃O₃ 1076235-04-5



ferri bepectas
ferric bepectate

O-(2-hydroxethyl)-substituted (~0.5 per glucose unit) acid-hydrolysed potato starch-(α1→5)-(2RS)-D-glucosidic acid (~400 glucose units) complexes with iron(III) hydroxide oxide nanoparticles (~13000 Fe per particle) (~20:1)
antianæmic

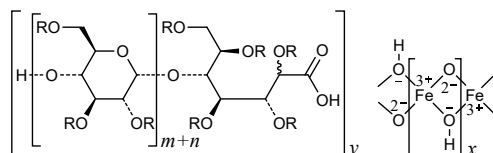
bépectate ferrique

fécul de pomme de terre-(α1→5)-acide (2RS)-D-glucosidico-heptonique (~400 unités de glucosa) hidrolizada en medio ácido O-(2-hidroxietil)-sustituido (~0.5 por unidad de glucosa) complejada con las nanopartículas de hidróxido de hierro (III) (~13000 Fe por partícula) (~20:1)
antianémique

bepectato férrico

almidón de patata-(α1→5)-ácido (2RS)-D-glucosidico-heptónico (~400 unidades de glucosa) hidrolizado en medio ácido O-(2-hidroxietil)-sustituido (~0.5 por unidad de glucosa) complejo con las nanopartículas de hidróxido de hierro (III) (~13000 Fe por partícula) (~20:1)
antianémico

(FeHO₂)_x{(C₂H₄O)_m(C₆H₁₀O₅)_{m+n}(C₇H₁₄O₈)_y}_y 2087952-70-1
m ≈ n ≈ 200, x ≈ 13,000, y ≈ 20



R,R,R = H,H,CH₂-CH₂-OH (m) & R,R,R = H,H,H (n)

m ~ n ~ 200, x ~ 13000, y ~ 20

fianlimabum #
fianlimab

immunoglobulin G4-kappa, anti-[*Homo sapiens* LAG3 (lymphocyte activating 3, lymphocyte-activation 3, CD223)], *Homo sapiens* monoclonal antibody;

gamma4 heavy chain *Homo sapiens* (1-449) [VH (*Homo sapiens* IGHV3-33*01 (96.9%) -(IGHD) -IGHJ3*01 (92.3%)) [8.8.16] (1-123) -*Homo sapiens* IGHG4*01 (CH1 (124-221), hinge 1-12 S10>P (231) (222-233), CH2 E1.4>P (236), L1.2>V (237), G1.1>A (238) (234-342), CH3 (343-447), CHS (448-449)) (124-449), (137-214')-disulfide with kappa light chain *Homo sapiens* (1'-214') [V-KAPPA (*Homo sapiens* IGKV3-11*01 (93.7%) -IGKJ4*01 (100%)) [6.3.9] (1'-107') -*Homo sapiens* IGKC*01 (100%), Km3 A45.1 (153), V101 (191) (108'-214')]; dimer (229-229":232-232")-bisdisulfide, produced in Chinese Hamster Ovary (CHO) cells, glycoform alfa
immunomodulator, antineoplastic

fianlimab immunoglobuline G4-kappa, anti-[*Homo sapiens* LAG3 (activateur 3 des lymphocytes, lymphocyte-activation 3, CD223)], anticorps monoclonal *Homo sapiens*; chaîne lourde gamma4 *Homo sapiens* (1-449) [VH (*Homo sapiens* IGHV3-33*01 (96.9%) -(IGHD) -IGHJ3*01 (92.3%)) [8.8.16] (1-123) -*Homo sapiens* IGHG4*01 (CH1 (124-221), charnière 1-12 S10>P (231) (222-233), CH2 E1.4>P (236), L1.2>V (237), G1.1>A (238) (234-342), CH3 (343-447), CHS (448-449)) (124-449), (137-214')-disulfure avec la chaîne légère kappa *Homo sapiens* (1'-214') [V-KAPPA (*Homo sapiens* IGKV3-11*01 (93.7%) -IGKJ4*01 (100%)) [6.3.9] (1'-107') -*Homo sapiens* IGKC*01 (100%), Km3 A45.1 (153), V101 (191) (108'-214')]; dimère (229-229":232-232")-bisdisulfure, produit dans des cellules ovariennes de hamsters chinois (CHO), glycoforme alfa
immunomodulateur, antinéoplasique

fianlimab inmunoglobulina G4-kappa, anti-[*Homo sapiens* LAG3 (activador 3 de los linfocitos, linfocito-activación 3, CD223)], anticuerpo monoclonal *Homo sapiens*; cadena pesada gamma4 *Homo sapiens* (1-449) [VH (*Homo sapiens* IGHV3-33*01 (96.9%) -(IGHD) -IGHJ3*01 (92.3%)) [8.8.16] (1-123) -*Homo sapiens* IGHG4*01 (CH1 (124-221), bisagra 1-12 S10>P (231) (222-233), CH2 E1.4>P (236), L1.2>V (237), G1.1>A (238) (234-342), CH3 (343-447), CHS (448-449)) (124-449), (137-214')-disulfuro con la cadena ligera kappa *Homo sapiens* (1'-214') [V-KAPPA (*Homo sapiens* IGKV3-11*01 (93.7%) -IGKJ4*01 (100%)) [6.3.9] (1'-107') -*Homo sapiens* IGKC*01 (100%), Km3 A45.1 (153), V101 (191) (108'-214')]; dímero (229-229":232-232")-bisdisulfuro, producido en las células ováricas de hamsters chinos (CHO), glicoforma alfa
inmunomodulador, antineoplásico

2126132-98-5

Heavy chain / Chaîne lourde / Cadena pesada

```
QVQLVESGGG VVQPGSRSLR SCVASGFTFS SYGMHWVRQA PGKGLEWVAI 50
IWYDGSSNKYY ADSVKGRFTI SRDNNSKNTQY LQNMSLRAED TAVVYCAVVA 100
TSGDGFYQGM DWVQGQTVTM VSASATKGPS VFPLAPCSRS TSESTAALGC 150
LVKDYFPEPV TVSNWSGALT SGVHTTPAVL QSSGLYSLSS VVTVPSSLG 200
TKTYTCTVNDH KPSNTKVKDRR VESKYGPCCP PCPAPPVAGP SVFLFPKPK 250
DTLMISRTPF VTCVVVDVSQL EDPEVQFNWY VDGVEVHNAK TKPREEQFNS 300
TYRKVPSVLTV LHQOWLNKE YKCKVSNKGL PSSIEKTISK AKGQPREFQV 350
YTLPLPSQEMM TRKNQVSLTCL VKGGFYPSDIA VEWESENQPE NNYKTTTPVL 400
DSDGSFFFLYS RLTVDKSRWQ EGUNFSCSVVM HEALHNHYTQ KSLSLSLGK 449
```

Light chain / Chaîne légère / Cadena ligera

```
EIVLTVQSPAT LSLSPLGERTT LSCRASQRIS TYLAWSYQQPQ GKAPRLLIYD 50
ASKRATGIPAA RFSGSGSGTGTG FTLTISLEP EDFAVYYCQQ RSNPFLTFGG 100
GTRKVEIKRTV AAAPSVFIFPP SDEQLKSQTA SVVCCLNNFY PREAKVQWKV 150
DNAQSGSNQSQ ESVTEQDSKD STYSLSSTLT LSKADYEKHKH VYACEVTHHQ 200
LSSPVTKSFSN RGECA 214
```

Post-translational modifications

Disulfide bridges location / Position des ponts disulfure / Posiciones de los puentes disulfuro
 Intra-I (C23-C104) 22-96 150-206 263-323 369-427
 22"-96" 150"-206" 263"-323" 369"-427"
 Intra-L (C23-C104) 23"-88" 134"-194"
 23"-88" 134"-194"
 Inter-I-L (h 5-CL 126) 137-214" 137"-214"
 Inter-I-H (h 11, h 14) 229-229" 232-232"

N-glycosylation sites / Sites of N-glycosylation / Posiciones de N-glicosilación
 HCH2 N84.4;
 299, 299"

Fucosylated complex bi-antennary CHO-type glycans / glycanes de type CHO bi-antennaires complexes fucosylés / glicanos de tipo CHO biantenarios complejos fucosilados.
 C-terminal lysine clipping:
 HCHS K2:
 449, 449"

firzotemcelum

firzotemcel

allogenic human CD34+ hematopoietic stem/progenitor cells (HSPCs) derived from granulocyte-colony stimulating factor (G-CSF) mobilized peripheral hematopoietic cells from human leukocyte antigen (HLA)-matched prospective transplant organ donors.
cell therapy (transplant)

firzotemcel

cellules souches/cellules progénitrices hématopoïétiques (HSPCs) CD34+, humaines, allogéniques, dérivées de cellules hématopoïétiques périphériques mobilisées par le facteur stimulant les colonies de granulocytes (G-CSF) de donneurs prospectifs pour transplantation d'organes, compatibles vis-à-vis de l'antigène leucocytaire humain (HLA).
thérapie cellulaire (greffe)

firzotemcel

células troncales/precursoras hematopoyéticas CD34+, humanas, alogénicas, derivadas de células hematopoyéticas periféricas movilizadas con el factor estimulador de colonias de granulocitos (G-CSF) de donantes prospectivos para trasplante de órganos, compatibles para el antígeno leucocitario humano (HLA).
terapia celular (transplante)

flurobenguanum (¹⁸F)flurobenguane (¹⁸F)

N-{[3-bromo-4-(3-(¹⁸F)fluoropropoxy)phenyl]methyl}guanidine
diagnostic imaging agent

flurobenguane (¹⁸F)

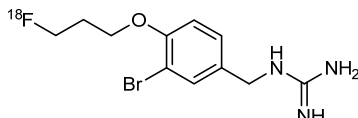
N-{[3-bromo-4-(3-(¹⁸F)fluoropropoxy)phényl]méthyl}guanidine
substance à usage diagnostique

flurobenguano (¹⁸F)

N-{[3-bromo-4-(3-(¹⁸F)fluoropropoxi)fénol]metil}guanidina
agente de diagnóstico



1037359-47-9

**fosdenopterinum**

fosdenopterin

(4a*R*,5*aR*,11*aR*,12*aS*)-8-amino-2,12,12-trihydroxy-4*a*,5*a*,6,7,11,11*a*,12,12*a*-octahydro-2*H*-2*A*⁵⁻-[1,3,2]dioxaphosphinino[4',5':5,6]pyrano[3,2-g]pteridine-2,10(4*H*)-dione
molybdenum cofactor deficiency

fosdénoptérine

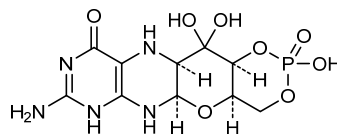
(4aR,5aR,11aR,12aS)-8-amino-2,12,12-trihydroxy-
4a,5a,6,7,11,11a,12,12a-octahydro-2H-2λ⁵-
[1,3,2]dioxaphosphinino[4',5':5,6]pyrano[3,2-
g]pteridine-2,10(4H)-dione
déficit à cofacteur en molybdène

fosdenopterina

(4aR,5aR,11aR,12aS)-8-amino-2,12,12-trihydroxy-
4a,5a,6,7,11,11a,12,12a-octahydro-2H-2λ⁵-
[1,3,2]dioxaphosphinino[4',5':5,6]pirano[3,2-g]pteridina-
2,10(4H)-diona
deficiencia del cofactor molibdeno

C10H14N5O8P

150829-29-1

**gatralimabum #**

gatralimab

immunoglobulin G1-kappa, anti-[*Homo sapiens* CD52 (CD52 antigen, CAMPATH-1 antigen, CDW52)], monoclonal antibody; gamma1 heavy chain humanized (1-444) [VH (*Homo sapiens* IGHV3-72*01 (86.7%) -(IGHD) -IGHJ4*01 (92.3%)) [8.10.5] (1-114) -*Homo sapiens*IGHG1*01 (100%) G1m17.1 (CH1 K120 (211) (115-212), hinge 1-15 (213-227), CH2 (228-337), CH3 D12 (353), L14 (355) (338-442), CHS (443-444)) (115-444)], (217-218')-disulfide with kappa light chain chimeric (1'-218') [V-KAPPA (*Mus musculus* IGKV1-133*01 (90.9%) -IGKJ4*01(90.9 %)/*Homo sapiens* IGKV2-4*01 (89.5%) -IGKJ2*02 (100%)) [11.3.8] (1'-111') -*Homo sapiens* IGKC*01 (100%), Km3 A45.1 (157), V101 (195) (112-218')]; dimer (223-223":226-226")-bisdisulfide, produced in Chinese Hamster Ovary (CHO) cells, glycoform alfa
immunomodulator, antineoplastic

gatralimab

immunoglobuline G1-kappa, anti-[*Homo sapiens* CD52 (CD52 antigen, CAMPATH-1 antigen, CDW52)], anticorps monoclonal; chaîne lourde gamma1 humanisée (1-444) [VH (*Homo sapiens* IGHV3-72*01 (86.7%) -(IGHD) -IGHJ4*01 (92.3%)) [8.10.5] (1-114) -*Homo sapiens*IGHG1*01 (100%) G1m17.1 (CH1 K120 (211) (115-212), charnière 1-15 (213-227), CH2 (228-337), CH3 D12 (353), L14 (355) (338-442), CHS (443-444)) (115-444)], (217-218')-disulfure avec la chaîne légère kappa chimérique (1'-218') [V-KAPPA (*Mus musculus* IGKV1-133*01 (90.9%) -IGKJ4*01(90.9 %)/*Homo sapiens* IGKV2-4*01 (89.5%) -IGKJ2*02 (100%)) [11.3.8] (1'-111') -*Homo sapiens* IGKC*01 (100%), Km3 A45.1 (157), V101 (195) (112-218')]; dimère (223-223":226-226")-bisdisulfure, produit dans des cellules ovarianes de hamsters chinois (CHO), glycoforme alfa
immunomodulateur, antinéoplasique

gatralimab

inmunoglobulina G1-kappa, anti-[*Homo sapiens* CD52 (CD52 antígeno, CAMPATH-1 antígeno, CDW52)], anticuerpo monoclonal;
 cadena pesada gamma1 humanizada (1-444) [VH (*Homo sapiens*IGHV3-72*01 (86.7%) -(IGHD) -IGHJ4*01 (92.3%)) [8.10.5] (1-114) -*Homo sapiens*IGHG1*01 (100%) G1m17,1 (CH1 K120 (211) (115-212), bisagra 1-15 (213-227), CH2 (228-337), CH3 D12 (353), L14 (355) (338-442), CHS (443-444)] (115-444)], (217-218')-disulfuro con la cadena ligera kappa quimérica (1'-218') [V-KAPPA (*Mus musculus* IGKV1-133*01 (90.9%) -IGKJ4*01(90.9 %)/*Homo sapiens* IGKV2-4*01 (89.5%) -IGKJ2*02 (100%)) [11.3.8] (1'-111') -*Homo sapiens* IGKC*01 (100%), Km3 A45.1 (157), V101 (195) (112'-218')];
 dimero (223-223":226-226")-bisdisulfuro, producido en las células ováricas de hamsters chinos (CHO), glicoforma alfa
inmunomodulador, antineoplásico

1826020-80-7

Heavy chain / Chaîne lourde / Cadena pesada

```

EVQLVESGGG LVQPQGSSLRL SCAASGFPFS NYWMNNWVRQA PGKGLEWVGQ 50
IRLKSNNYAT HYAESVKGFR TISRDDSKNSS LYLMQMSNLKT EDTAVYYCTP 100
IDYWGGTTV TVSSASTKGPSVVFPLAPSSK STSGGTAALG CLVKDYFPEP 150
VTWSWNSGAL TSQVHTFFAV LQSSGLYSLSS SVTVTPSSL QTQTYICVN 200
HKPSNTKVDK KVEPKSCDKT HTCPCKPAPAE LLGGPSVFLF PPKPKDLM 250
SRTPEVTCVV DVDSHEDPEV KFNWYVDGVE VHNAKTKPQE EQYNSTYRV 300
SVLTVLHQDW LNGKEYKCKV SNKALAPAPIE KTISKAKGQP REPVQVYLPP 350
SRDELTKNQV SLTCLVKGFY PSDIAVEWES NGQPENNYKT TPPVLDSDGS 400
FFLYSKLTVD KSRWQQGNVPE SCSVMHEALH NYHTQKSLSLSPGK 444

```

Light chain / Chaîne légère / Cadena ligera

```

DIVMTQTPLS LSVTPGQPAS ISCKSSQSLL YSNGKTYLNW VLQKPGQSPQ 50
RLLYLVSKLD SGVPDRFGS GSGTDFTLKI SRVEAEDGVY YYCYNQGSHFH 100
TEFGQGTKEI KRTVAAPSVF IFPPSDEQLK SGTASVVCCL NNFFYPREAKV 150
QWKVNDALQS GNSSQESVTEQ DSKDSTYSSL STLTLISKADY EKKHVYACEV 200
THQGLSSPVK KSFNFNGEC 218

```

Post-translational modifications

Disulfide bridges location / Position des ponts disulfure / Posiciones de los puentes disulfuro
 Intra-H (C23-C104) 22-96 141-197 258-318 364-422
 22"-96" 141"-197" 258"-318" 364"-422"
 Intra-L (C23-C104) 23-93 138"-198"
 23"-93" 138"-198"
 Inter-H-L (h5-CL 126) 217-218" 217"-218"
 Inter-H-H (h11, h 14) 223-223" 226-226"

N-glycosylation sites / Sites de N-glycosylation / Posiciones de N-glicosilación
 H CH2 N84.4;
 294, 294"

Fucosylated complex bi-antennary CHO-type glycans / glycanes de type CHO bi-antennaires complexes fucosylés / glicanos de tipo CHO biantenarios complejos fucosilados

giroctocogenum fitelparvovecum #
 giroctocogene fitelparvovéc

A recombinant non-replicating adeno-associated virus type 2/6 (rAAV Rep2-Cap6) vector, encoding human B-domain-deleted blood coagulation factor VIII (hF8, FVIII) under the control of a synthetic liver-specific promoter.

gene therapy (hemophilia)

giroctocogène fitelparvovéc

Vecteur viral adéno-associé de type 2/6 recombinant non-répliquant (rAAV Rep2-Cap6), codant pour le facteur de coagulation sanguine VIII humain (hF8, FVIII), dont le domaine B a été supprimé, sous le contrôle d'un promoteur synthétique spécifique du foie.

thérapie génique (hémophilie)

giroctocogén fitelparvovec

Un vector de virus adenoasociado recombinante no replicativo del tipo 2/6 (rAAV Rep2-Cap6), que codifica para el factor de coagulación sanguíneo VIII humano (hF8, FVIII) con el dominio B delecionado, bajo el control de un promotor sintético específico del hígado.
terapia génica (hemofilia)

2166101-71-7

glofitamabum #

glofitamab

immunoglobulin G1-lambda/kappa with domain cross-over, anti-[*Homo sapiens* MS4A1 (membrane-spanning 4-domains subfamily A member 1, CD20)] and anti-[*Homo sapiens* CD3E (CD3 epsilon, Leu-4)] monoclonal antibody, bispecific, trivalent; gamma-lambda heavy chain anti-MS4A1 and anti-CD3E (VH-CH1-V-LAMBDA-CH1-CH2-CH3) (1-674) [humanized VH anti-MS4A1 (*Homo sapiens* IGHV1-69*02 (84.7%) - (IGHD) -IGHJ4*01 (100%)) [8.8.12] (1-119) -*Homo sapiens* IGHG1*01, G1m17 (CH1 K26>E (149), K119>E (215), K120 (216) (120-217), hinge 1-6 (218-223)) (120-223)-10-mer bis(tetraglycyl-seryl) linker (224-233) -V-LAMDDA anti-CD3E (*Mus musculus* IGLV1*01 (81.2%) -IGLJ1*01 (100%)/*Homo sapiens* IGLV7-46*01 (80.0%) -IGLJ3*01 (100%)) [9.3.9] (234-342) -2-mer biseryl linker (343-344) -*Homo sapiens* IGHG1*01, G1m17, G1m1 (CH1 K120 (441) (345-442), hinge 1-15 (443-457), CH2 L1.3>A (461), L1.2>A (462), P114>G (556) (458-567), CH3 S10>C (581), D12 (583), L14 (585), T22>W (593) (568-672), CHS (673-674)) (345-674)], (222-219')-disulfide with kappa light chain humanized anti-MS4A1 (1'-219') [humanized V-KAPPA (*Homo sapiens* IGKV2-28*01 (87.0%) -IGKJ4*01 (100%)) [11.3.9] (1'-112') -*Homo sapiens* IGKC*01 (98.1%), E12>R (128), Q13>K (129), Km3 A45.1 (158), V101 (196) (113'-219')]; (447-232'')-disulfide with VH-C-kappa light chain humanized anti-CD3E (1''-232'') [humanized VH (*Homo sapiens* IGHV3-23*03 (87.0%) -IGKJ6*01 (90.9%)) [8.10.16] (1''-125'') -*Homo sapiens* IGKC*01 (99.1%), T1.3>S (127), Km3 A45.1 (171), V101 (209) (126''-232'')], gamma1 heavy chain humanized anti-MS4A1 (1"-449") [humanized VH (*Homo sapiens* IGHV1-69*02 (84.7%) - (IGHD) -IGHJ4*01 (100%)) [8.8.12] (1"-119") -*Homo sapiens* IGHG1*01, G1m17,1 (CH1 K26>E (149), K119>E (215), K120 (216) (120"-217"), hinge 1-15 (218"-232"), CH2 L1.3>A (236), L1.2>A (237), P114>G (331) (233"-342"), CH3 Y5>C (351), D12 (358), L14 (360), T22>S (368), L24>A (370), Y86>V (409) (343"-447"), CHS (448"-449") (120"-449")], (222"-219'')-disulfide with kappa light chain humanized anti-MS4A1 (1""-219'') [humanized V-KAPPA (*Homo sapiens* IGKV2-28*01 (87.0%) -IGKJ4*01 (100%)) [11.3.9] (1""-112'") -*Homo sapiens* IGKC*01 (98.1%), E12>R (128), Q13>K (129), Km3 A45.1 (158), V101 (196) (113""-219'")]; dimer (453-228":456-231":581-351")-trisdisulfide, produced in Chinese Hamster Ovary (CHO) cells, glycoform alfa *immunomodulator, antineoplastic*

glofitamab	immunoglobuline G1-lambda/kappa avec domaines échangés, anti-[<i>Homo sapiens</i> MS4A1 (membre 1 de la sous-famille A à 4 domaines transmembranaires, CD20)] et anti-[<i>Homo sapiens</i> CD3E (CD3 epsilon, Leu-4)] anticorps monoclonal, bispécifique, trivalent; chaîne lourde gamma-lambda anti-MS4A1 et anti-CD3E (VH-CH1-V-LAMBDA-CH1-CH2-CH3) (1-674) [VH anti-MS4A1 humanisé (<i>Homo sapiens</i> IGHV1-69*02 (84.7%) -(IGHD) -IGHJ4*01 (100%)) [8.8.12] (1-119) - <i>Homo sapiens</i> IGHG1*01, G1m17 (CH1 K26>E (149), K119>E (215), K120 (216) (120-217), charnière 1-6 (218-223)) (120-223) -10-mer bis(tétraglycyl-séryl) linker (224-233) -V-LAMDDA anti-CD3E (<i>Mus musculus</i> IGLV1*01 (81.2%) -IGLJ1*01 (100%)/ <i>Homo sapiens</i> IGLV7-46*01 (80.0%) -IGLJ3*01 (100%)) [9.3.9] (234-342) -2-mer biséryl linker (343-344) - <i>Homo sapiens</i> IGHG1*01, G1m17, G1m1 (CH1 K120 (441) (345-442), charnière 1-15 (443-457), CH2 L1.3>A (461), L1.2>A (462), P114>G (556) (458-567), CH3 S10>C (581), D12 (583), L14 (585), T22>W (593) (568-672), CHS (673-674)) (345-674)], (222-219')-disulfure avec la chaîne légère kappa anti-MS4A1 humanisée (1'-219') [V-KAPPA humanisé (<i>Homo sapiens</i> IGKV2-28*01 (87.0%) -IGKJ4*01 (100%)) [11.3.9] (1'-112') - <i>Homo sapiens</i> IGKC*01 (98.1%), E12>R (128), Q13>K (129), Km3 A45.1 (158), V101 (196) (113'-219')]; (447-232'')-disulfure avec la chaîne légère VH-C-kappa anti-CD3E humanisée (1''-232'') [VH humanisé (<i>Homo sapiens</i> IGHV3-23*03 (87.0%) -IGKJ6*01 (90.9%)) [8.10.16] (1''-125'') - <i>Homo sapiens</i> IGKC*01 (99.1%), T1.3>S (127), Km3 A45.1 (171), V101 (209) (126''-232'')], chaîne lourde gamma1 anti-MS4A1 humanisée (1"-449") [VH humanisé (<i>Homo sapiens</i> IGHV1-69*02 (84.7%) -(IGHD) -IGHJ4*01 (100%)) [8.8.12] (1"-119") - <i>Homo sapiens</i> IGHG1*01, G1m17,1 (CH1 K26>E (149), K119>E (215), K120 (216) (120"-217"), charnière 1-15 (218"-232"), CH2 L1.3>A (236), L1.2>A (237), P114>G (331) (233"-342"), CH3 Y5>C (351), D12 (358), L14 (360), T22>S (368), L24>A (370), Y86>V (409) (343"-447"), CHS (448"-449") (120"-449")], (222"-219'')-disulfure avec la chaîne légère kappa anti-MS4A1 humanizada (1""-219'') [V-KAPPA humanizado (<i>Homo sapiens</i> IGKV2-28*01 (87.0%) -IGKJ4*01 (100%)) [11.3.9] (1""-112'") - <i>Homo sapiens</i> IGKC*01 (98.1%), E12>R (128), Q13>K (129), Km3 A45.1 (158), V101 (196) (113""-219'")]; dimère (453-228":456-231":581-351")-tridisulfure, producit dans des celulas ovarianas de hamsters chinos (CHO), glycoforma alfa <i>immunomodulador, antinéoplasique</i>
glofitamab	inmunoglobulina G1-lambda/kappa con dominios cruzados, anti-[<i>Homo sapiens</i> MS4A1 (miembro 1 de la subfamilia A con 4 dominios transmembranarios, CD20)] y anti-[<i>Homo sapiens</i> CD3E (CD3 épsilon, Leu-4)] anticuerpo monoclonal, biespecífico, trivalente; cadena pesada gamma-lambda anti-MS4A1 y anti-CD3E (VH-CH1-V-LAMBDA-CH1-CH2-CH3) (1-674) [VH anti-MS4A1 humanizado (<i>Homo sapiens</i> IGHV1-69*02 (84.7%) -(IGHD) -IGHJ4*01 (100%)) [8.8.12] (1-119) - <i>Homo sapiens</i> IGHG1*01, G1m17 (CH1 K26>E (149), K119>E (215), K120 (216) (120-217), bisagra 1-6 (218-223)) (120-223) -conector 10-mer bis(tetraglicil-séryl) (224-233) -V-LAMDDA anti-CD3E (<i>Mus musculus</i> IGLV1*01 (81.2%) -IGLJ1*01 (100%)/ <i>Homo sapiens</i> IGLV7-46*01 (80.0%) -IGLJ3*01 (100%)) [9.3.9] (234-342) -conector 2-mer biséryl (343-344) - <i>Homo sapiens</i> IGHG1*01, G1m17, G1m1 (CH1 K120 (441) (345-442), bisagra 1-15 (443-457), CH2 L1.3>A (461), L1.2>A (462), P114>G (556) (458-567), CH3 S10>C (581), D12 (583), L14 (585), T22>W (593) (568-672), CHS (673-674)) (345-674)], (222-219')-disulfuro con la cadena ligera kappa anti-MS4A1 humanizada (1'-219') [V-KAPPA humanizado (<i>Homo sapiens</i> IGKV2-28*01 (87.0%) -IGKJ4*01 (100%)) [11.3.9] (1'-112') - <i>Homo sapiens</i> IGKC*01 (98.1%), E12>R (128), Q13>K (129), Km3 A45.1 (158), V101 (196) (113'-219')]; (222"-219'')-disulfuro con la cadena ligera kappa anti-MS4A1 humanizado (1""-219'') [V-KAPPA humanizado (<i>Homo sapiens</i> IGKV2-28*01 (87.0%) -IGKJ4*01 (100%)) [11.3.9] (1""-112'") - <i>Homo sapiens</i> IGKC*01 (98.1%), E12>R (128), Q13>K (129), Km3 A45.1 (158), V101 (196) (113""-219'")];

(447-232")-disulfuro con la cadena ligera VH-C-kappa anti-CD3E humanizada (1"-232") [VH humanizado (*Homo sapiens* IGHV3-23*03 (87.0%) -IGKJ6*01 (90.9%)) [8.10.16] (1"-125") -*Homo sapiens* IGKC*01 (99.1%), T1.3>S (127), Km3 A45.1 (171), V101 (209) (126"-232")], cadena pesada gamma1 anti-MS4A1 humanizada (1"-449") [VH humanizado (*Homo sapiens* IGHV1-69*02 (84.7%) -(IGHD) -IGHJ4*01 (100%)) [8.8.12] (1"-119") -*Homo sapiens* IGHG1*01, G1m17,1 (CH1 K26>E (149), K119>E (215), K120 (216) (120"-217"), bisagra 1-15 (218"-232"), CH2 L1.3>A (236), L1.2>A (237), P114>G (331) (233"-342"), CH3 Y5>C (351), D12 (358), L14 (360), T22>S (368), L24>A (370), Y86>V (409) (343"-447"), CHS (448"-449") (120"-449")], (222"-219")-disulfuro con la cadena ligera kappa anti-MS4A1 humanizada (1"-219") [V-KAPPA humanizado (*Homo sapiens* IGKV2-28*01 (87.0%) -IGKJ4*01 (100%)) [11.3.9] (1"""-112") -*Homo sapiens* IGKC*01 (98.1%), E12>R (128), Q13>K (129), Km3 A45.1 (158), V101 (196) (113"""-219")]; dímero (453-228":456-231":581-351")-tridisulfuro, producido en las células ováricas de hamsters chinos (CHO), glicoforma alfa inmunomodulador, antineoplásico

2229047-91-8

Heavy chain / Chaîne lourde / Cadena pesada (1-674 anti-MS4A1, anti-CD3)
 QVQLVQSGAE VKPGSSVKV SCKASGYAFS YSWINWVRQA PGQGLEWMGR 50
 IFPGDGDTDY NGKFKGRVII TADKSTSTAY MELSSLRSED TAVYYCARNV 100
 FDGYWLWYWG QGTLVTVSSA STKGPSVFLP APSSKSTSGG TAALGLCLVED 150
 YFPEPVTVW NSGALTSGVH TPPAVLQSSG LYSLSSVTVV PSSSLGTQTY 200
 ICNVNHPNSN TKVDEKEVFK SCDDGGGSSG GGSQAVVTQE PSLTVPSPGGT 250
 VTLLCGGSTG AVTTSNANV VQEKPQCAF RGLIGTNKRA PGTPARFSGS 300
 LLGGKAALTL SGAAQPEDAE YYCALWNSNL WVFGGGTAKLT VLSSASTKGP 350
 SVFPLAPSSK STSGCTAALG CLVKDYPPEP VTWSWNSGAL TSGVHTEPAV 400
 LQSGLYISLS SVVTVESSSL GTQTYICNVN HKPSNTVKDV KVEPKSCDRT 450
 HTPCPCPAPE AAAGGPSVLF PPKPKDTMLI SRTPEVTCVVW DVDSHEDPEV 500
 KFNWYWDGVVE VHNAKTKPRE EQYNSTYRVV SVLTVLHQDW LNGKEYCKV 550
 SNKALGAPIE KTISKAKGQP REPQVYTLPP CRDELTKNOV SLWCLVKGFY 600
 PSDIAVEWES NGQPENNYKT TPPVLDSDGS FFLYSKLTVD KSRWQQGNVF 650
 SCSVMEHALH NYHTQKSLSPK 674

Heavy chain / Chaîne lourde / Cadena pesada (1"-449" anti-MS4A1)
 QVQLVQSGAE VKPGSSVKV SCKASGYAFS YSWINWVRQA PGQGLEWMGR 50
 IFPGDGDTDY NGKFKGRVII TADKSTSTAY MELSSLRSED TAVYYCARNV 100
 FDGYWLWYWG QGTLVTVSSA STKGPSVFLP APSSKSTSGG TAALGLCLVED 150
 YFPEPVTVW NSGALTSGVH TPPAVLQSSG LYSLSSVTVV PSSSLGTQTY 200
 ICNVNHPNSN TKVDEKEVFK SCDKTHTCP CPAAPEAAGGP SVFLFPKPK 250
 DTMISRTPE VTCVVDVSH EDEPEVKFNWY DVGVEVHNAK TKPREEQYNS 300
 TYRIVSVLTV LHQDWLNKGK YCKCVSNKAL GAPIEKTKIS AKGOPREPOV 350
 CTLLPPSRDEL TKNQVSLSCA VKGFYPSDIA VEWESNGQPE NNYKTTTPVU 400
 DSDGSEFLVS KLTVDKSRWQ QGNVFSCSVM HEALHNHYTQ KSLSLSPGK 449

Light chain / Chaîne légère / Cadena ligera (1"-219" and 1"""-219"" anti-MS4A1)
 DIVMTQTPLS LPVTPGEPAS ISCRSSKLL HSNCGITYLYW YLQKPGQSPQ 50
 LLIYQMSNLV SGVPDRFGS SGSGTDFTLKI SRVEAEDVGV YYCAQNLELP 100
 YTFFGGTAKVE IKRTVAAPSV FIFPPSDRKL KSGTASVCL LNNFYPREAK 150
 VQWKVNDALQ SGNSQESTVE QDSKDSTYSL SSTLTLSKAD YEKKHVYACE 200
 VTHQGLSSPV TKSFRNRC 219

Light chain / Chaîne légère / Cadena ligera (1"""-232" anti-CD3E)
 EVOLLESGGG LVQPGSSLRL SCAASGFTES TYAMNWVRQA PGKGLEWVSR 50
 IRSKYNINYAT YYADSVKGRF TISRDDSKNT LYLMQMSLRA EDTAVYYCVR 100
 HGNGFNSYVS WFAYWGQGTLV TVTSVASSVAA PSVIFPPSD EQLKSGTASV 150
 VCLLNNFYPR EAKVQWKVDN ALQSGNSQES VTEQDSKDST YSLSSTTLS 200
 KADYEKHKVY ACEVTHQGLS SPVTKSFNRG EC 232

Post-translational modifications

Disulfide bridges location / Position des ponts disulfure / Posiciones de los puentes disulfuro
 Intra-H (C23-C104) 22-96 146-202 255-323 371-427, 488-548 594-652
 22"-96" 146"-202" 263"-323" 369"-427"
 Intra-L (C23-C104) 23-93" 139"-199"
 22"-98" 152"-212"
 23"""-93"" 139"""-199"""
 Inter-H-L (h 5-CL 126) 222-219" 447-332" 222"-219"
 Inter-H-H (h 11, h 14) 453-228" 456-231"
 Inter-H-H engineered 581-351"

N-glycosylation sites / Sites de N-glycosylation / Posiciones de N-glicosilación

HCH2 N84.4:
 524, 299"

Fucosylated complex bi-antennary CHO-type glycans / glycanes de type CHO bi-antennaires complexes fucosylés / glicanos de tipo CHO biantenarios complejos fucosilados

gontivimabum #

gontivimab

immunoglobulin single chain VH-VH-VH, anti-[human respiratory syncytial virus (RSV) fusion glycoprotein F], *Lama glama* monoclonal antibody, trivalent; scVH-VH-VH chain (1-408) [*Lama glama* VH (*Vicugna pacos* IGHV3-3 (77.3%) -(IGHD) -IGHJ4*01 (92.9%)/*Homo sapiens* IGHV3-23*04 E1>D (1) (66.7%) -(IGHD) -IGHJ4*01 (78.6%)) [8.7.19] (1-126) - 15-mer linker tris(tetraglycyl-seryl) (127-141) -*Lama glama* VH (*Vicugna pacos* IGHV3-3 (76.5%) -(IGHD) -IGHJ4*01 (92.9%)/*Homo sapiens* IGHV3-23*04 (67.7%) -(IGHD) -IGHJ4*01 (78.6%)) [8.7.19] (142-267) -15-mer linker tris(tetraglycyl-seryl) (268-282) -*Lama glama* VH (*Vicugna pacos* IGHV3-3 (76.5%) -(IGHD) -IGHJ4*01 (92.9%)/*Homo sapiens* IGHV3-23*04 (67.7%) -(IGHD) -IGHJ4*01 (78.6%)) [8.7.19] (283-408), produced in the yeast *Pichia pastoris* (*Komagataella phaffii*), non-glycosylated immunomodulator, antiviral

gontivimab

immunoglobuline chaîne unique VH-VH-VH, anti-[glycoprotéine de fusion F du virus respiratoire syncytial (VRS) humain], *Lama glama* anticorps monoclonal, trivalent; scVH-VH-VH chaîne (1-408) [*Lama glama* VH (*Vicugna pacos* IGHV3-3 (77.3%) -(IGHD) -IGHJ4*01 (92.9%)/*Homo sapiens* IGHV3-23*04 E1>D (1) (66.7%) -(IGHD) -IGHJ4*01 (78.6%)) [8.7.19] (1-126) - 15-mer linker tris(tétraglycyl-séryl) (127-141) -*Lama glama* VH (*Vicugna pacos* IGHV3-3 (76.5%) -(IGHD) -IGHJ4*01 (92.9%)/*Homo sapiens* IGHV3-23*04 (67.7%) -(IGHD) -IGHJ4*01 (78.6%)) [8.7.19] (142-267) -15-mer linker tris(tétraglycyl-séryl) (268-282) -*Lama glama* VH (*Vicugna pacos* IGHV3-3 (76.5%) -(IGHD) -IGHJ4*01 (92.9%)/*Homo sapiens* IGHV3-23*04 (67.7%) -(IGHD) -IGHJ4*01 (78.6%)) [8.7.19] (283-408), produit dans la levure *Pichia pastoris* (*Komagataella phaffii*), non-glycosylé immunomodulateur, antiviral

gontivimab

inmunoglobulina de cadena única VH-VH-VH, anti-[glicoproteína de fusión F del virus respiratorio sincitial (VRS) humano], *Lama glama* anticuerpo monoclonal, trivalente; scVH-VH-VH cadena (1-408) [*Lama glama* VH (*Vicugna pacos* IGHV3-3 (77.3%) -(IGHD) -IGHJ4*01 (92.9%)/*Homo sapiens* IGHV3-23*04 E1>D (1) (66.7%) -(IGHD) -IGHJ4*01 (78.6%)) [8.7.19] (1-126) - conector 15-mer tris(tetraglicil-seril) (127-141) -*Lama glama* VH (*Vicugna pacos* IGHV3-3 (76.5%) -(IGHD) -IGHJ4*01 (92.9%)/*Homo sapiens* IGHV3-23*04 (67.7%) -(IGHD) -IGHJ4*01 (78.6%)) [8.7.19] (142-267) -conector 15-mer tris(tetraglicil-seril) (268-282) -*Lama glama* VH (*Vicugna pacos* IGHV3-3 (76.5%) -(IGHD) -IGHJ4*01 (92.9%)/*Homo sapiens* IGHV3-23*04 (67.7%) -(IGHD) -IGHJ4*01 (78.6%)) [8.7.19] (283-408), producido en la levadura *Pichia pastoris* (*Komagataella phaffii*), no glicosilado inmunomodulador, antiviral

scVH-VH-VH chain / Chaîne scVH-VH-VH / Cadena scVH-VH-VH
 DVQLVESGGG LVQAGGGLSI SCAASGGSLI NYVLGVFRQA PGKEREVFVAA 50
 INWRGDITIG PPNEVEGRFTI SRDNNAKNTGY LQMNSLAPDD TAVYYCGAGT 100
 PLNPGAYIYD WSYDYWGRGT QVTVSSGGGG SGGGGGGGG SEVQLVESGG 150
 GLVQAGGSLIS ISCAAAGGSSL SNYVLGWFRQ APGKEREVFV AINWRGDITI 200
 GPNVVEGRFT ISRDNAKNTG YLQMNLSLAPD DTAVYYCGAG TPILNGAYIY 250
 DWSYDVWGRG TQVTVSSGGG GSggggGGGG GSEVQLVESG GGLVQAGGSL 300
 SISCAAAGGGS LSNVYLWFR QAPGKEREVFV AA1NWRGDITI 1GPVNVEGRF 350
 TISRDNAKNT GYLQMNLSLAP DDTAVYYCGA GTPLNPGAYI YDWSYDVWGR 400
 GTQVTVSS 408

Post-translational modifications

Disulfide bridges location / Position des ponts disulfure / Posiciones de los puentes disulfuro
 Intra-single chain (C23-C104) 22-96 163-237 304-378

No N-glycosylation sites / pas de sites de N-glycosylation / ningún posición de N-glicosilación

gremubamabum #

gremubamab

immunoglobulin G1-kappa, anti-[*Pseudomonas aeruginosa* psl (polysaccharide synthesis locus, surface exopolysaccharide) and anti-[*Pseudomonas aeruginosa* type III secretion system (TTSS, T3S) PcrV protein], monoclonal antibody, bispecific; gamma1 heavy chain VH-CH1-VH-V-KAPPA-CH2-CH3 humanized (1-720) [VH anti-PcrV (*Homo sapiens* IGHV3-23*01 (91.8%) -(IGHD -IGHJ6*01 (94.7%)) [8.8.17] (1-124) -*Homo sapiens* IGHG1*03 (100%) G1m3 (CH1 R120 (221) (125-222)-hinge 1-5 (223-227)) -10-mer linker (228-237) -VH anti-psl (*Homo sapiens* IGHV4-59*01 (89.7%), IGHV4-4*08 (89.7%) -(IGHD -IGHJ3*02 (93.3%)) [8.7.13] (238-356) -20-mer linker (357-376) -V-KAPPA anti-psl (*Homo sapiens* IGKV1-39*01 (94.5%) -IGKJ4*01 (90.0%)) [6.3.9] (377-483) -10-mer linker (484-493) -*Homo sapiens* IGHG1*03 (100%) nG1m1 (hinge 6-15 (494-503), CH2 (504-613), CH3 E12 (629), M14 (631) (614-718), CHS (719-720)) (494-720)], (227-214')-disulfide with kappa light chain *Homo sapiens* (1'-214') [V-KAPPA anti-PcrV (*Homo sapiens* IGKV1-6*01 (97.9%) -IGKJ1*01 (100%)) [6.3.9] (1'-107') -*Homo sapiens* IGKC*01 (100%) Km3 A45.1 (153), V101 (191)(108'-214')]; dimer (499-499':502"-502'")-bisdisulfide, produced in Chinese Hamster Ovary (CHO) cells, glycoform alpha immunomodulator, antibacterial

grémubamab

immunoglobuline G1-kappa, anti-[*Pseudomonas aeruginosa* psl (locus de synthèse des polysaccharides, exopolysaccharide de surface)] et anti-[protéine PcrV du système de sécrétion type III (TTSS, T3S) de *Pseudomonas aeruginosa*]], anticorps monoclonal bispécifique; chaîne lourde gamma1 VH-CH1-VH-V-KAPPA-CH2-CH3 humanisée (1-720) [VH anti-PcrV (*Homo sapiens* IGHV3-23*01 (91.8%) -(IGHD -IGHJ6*01 (94.7%)) [8.8.17] (1-124) -*Homo sapiens* IGHG1*03 (100%) G1m3 (CH1 R120 (221) (125-222)-charnière 1-5 (223-227)) -10-mer linker (228-237) -VH anti-psl (*Homo sapiens* IGHV4-59*01 (89.7%), IGHV4-4*08 (89.7%) -(IGHD -IGHJ3*02 (93.3%)) [8.7.13] (238-356) -20-mer linker (357-376) -V-KAPPA anti-psl (*Homo sapiens* IGKV1-39*01 (94.5%) -IGKJ4*01 (90.0%)) [6.3.9] (377-483) -10-mer linker (484-493) -*Homo sapiens* IGHG1*03 (100%) nG1m1 (charnière 6-15 (494-503), CH2 (504-613), CH3 E12 (629), M14 (631) (614-718), CHS (719-720)) (494-720)], (227-214')-disulfure avec la chaîne légère kappa *Homo sapiens* (1'-214') [V-KAPPA anti-PcrV (*Homo sapiens* IGKV1-6*01 (97.9%) -IGKJ1*01 (100%)) [6.3.9] (1'-107') -*Homo sapiens* IGKC*01 (100%) Km3 A45.1 (153), V101 (191)(108'-214')]; dimère (499-499':502"-502'")-bisdisulfure, produit dans des cellules ovariennes de hamsters chinois (CHO), glycoforme alfa immunomodulateur, antibactérien

gremubamab

inmunoglobulina G1-kappa, anti-[*Pseudomonas aeruginosa* psl (lugar de síntesis de los polisacáridos, exopolisacárido de superficie)] y anti-[proteína PcrV del sistema de secreción tipo III (TTSS, T3S) de *Pseudomonas aeruginosa*], anticuerpo monoclonal biespecífico; cadena pesada gamma1 VH-CH1-VH-V-KAPPA-CH2-CH3 humanizada (1-720) [VH anti-PcrV (*Homo sapiens* IGHV3-23*01 (91.8%) -(IGHD) -IGHJ6*01 (94.7%)) [8.8.17] (1-124) -*Homo sapiens* IGHG1*03 (100%) G1m3 (CH1 R120 (221) (125-222) -bisagra 1-5 (223-227)) -conector 10-mer (228-237) -VH anti-psl (*Homo sapiens* IGHV4-59*01 (89.7%), IGHV4-4*08 (89.7%) -(IGHD) -IGHJ3*02 (93.3%)) [8.7.13] (238-356) -conector 20-mer (357-376) -V-KAPPA anti-psl (*Homo sapiens* IGKV1-39*01 (94.5%) -IGKJ4*01 (90.0%)) [6.3.9] (377-483) -conector 10-mer (484-493) -*Homo sapiens* IGHG1*03 (100%) nG1m1 (bisagra 6-15 (494-503), CH2 (504-613), CH3 E12 (629), M14 (631) (614-718), CHS (719-720)) (494-720)], (227-214')-disulfuro con la cadena ligera kappa *Homo sapiens* (1'-214') [V-KAPPA anti-PcrV (*Homo sapiens* IGKV1-6*01 (97.9%) -IGKJ1*01 (100%)) [6.3.9] (1-107') -*Homo sapiens* IGKC*01 (100%) Km3 A45.1 (153), V101 (191)(108'-214')]; dímero (499-499'-502"-502'')-bisdisulfuro, producido en las células ováricas de hamsters chinos (CHO), glicoforma alfa *inmunomodulador, antibacteriano*

1800381-36-5

Heavy chain / Chaîne lourde / Cadena pesada

EVQLLESGGG LVQPGSLLRL SCAASGFTFS SYAMNNWRQA PGKGLEVNVA 50
 ITMSGITAYY TDDVKGRFTI SRDNNSKNTLY LQMNNSLRAED TAVYYCAKEE 100
 FLFGTHYYGG MDWVGQGTTV TVSSAATKGP SVFVFLAPSSK STSGGTAAALG 150
 CLVKVDYDFPEP VTWSVNSGAL TSQVHTPAV LQSSGLYSL SVVTVPSSL 200
 GTQTYICNVN HKPSNTKVDK RVEPKSCGGG GSQGGGSQVQ LQESEGPCLVK 250
 PSETLSLTCT VSGGSISIPYY WTWIRQPQPK CLELIGYIHS SCYTDYNPSL 300
 KSRVTISGDT SKQQFSKLKS SVTAADTAVY YCARADWDRL RALDIWGQQT 350
 MVTVSSGGGG SGGGGGGGGG SGGGGSDIQL TQSPPSILSAS VGDRTVITCR 400
 ASQSISRSHLA WYQQKPGKAP KLLIYGASNL QSGVPSRFSC SSGSTDFTLT 450
 ISSLQPEDFA TYCCQSTGA WNWFGCGTKV EIKGGGGSGG GGSIDKTHTCP 500
 PCPAPELILGG PSVLFEPKPE KDTLMISRTP EVTCVVVDVS HEDPEVKFW 550
 YVDGVEVHN A KTKPREEQYN STYRVSVLT VLHQDWLNK EYKCKVSNKA 600
 LPAPIEKTS KAKGQPREEQV YTTLPPSREE MTKNQVSILTC LVKGFYFSDI 650
 AVEWESNQCP ENNYKTTTPV LDSDGSFFFLY SKLTVDKSRW QQGNVFCSV 700
 MHEALHNHYT QKSLSLSPGK 720

Light chain / Chaîne légère / Cadena ligera

AIQMTQSPSS LSASVGDWVY ITCRASQGIR NDLGWYQOKP GKAPKLLIYS 50
 ASTLQTSQGPSS RFSQSGSGTD FTLLTISSLQPG EDFATYYCLQ DYNYPWTFGQ 100
 GTKVEIKRTV AAPSVFIFPP SDEQLKSQTA SVVCLLNNFY FREAKVQMVK 150
 DNALQSGNSQ ESVTEQDSKD STYSSLSLTL LSKADYEKHK VYACEVTHOG 200
 LSSPVTKSFN RGEC 214

Post-translational modifications

Disulfide bridges location / Position des ponte disulfure / Posiciones de los puentes disulfuro
 Intra-H (C23-C104) 22-96 151-207 259-332 281-476
 22"-96" 151"-207" 259"-332" 281"-476"
 399-464" 534"-594" 640-698
 399"-464" 534"-594" 640"-698"
 Intra-L (C23-C104) 23"-88" 134"-194"
 23"-88" 134"-194"
 Inter-H-L (h 5-CL 126) 227-214" 227"-214"
 Inter-H-H (h 11, h 14) 499-499" 502-502"

N-glycosylation sites / Sites de N-glycosylation / Posiciones de N-glicosilación
H CH2 N84.4:
 570, 570"

Fucosylated complex bi-antennary CHO-type glycans / glycanes de type CHO bi-antennaires
 complejos fucosylés / glicanos de tipo CHO biantenarios complejos fucosilados

imifoplatinum

imifoplatin

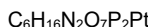
dihydrogen (*SP*-4-2)-[(*1R,2R*)-cyclohexane-1,2-diamine-κ²*N*¹,*N*²][diphosphato(4-)κ²*O*¹,*O*³]platinate(2-)
antineoplastic

imifoplatine

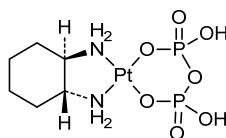
dihydrogène (*SP*-4-2)-[(*1R,2R*)-cyclohexane-1,2-diamine-κ²*N*¹,*N*²][diphosphato(4-)κ²*O*¹,*O*³]platinat(2-)
antineoplastique

imifoplatino

dihidrógeno (*SP*-4-2)-[(*1R,2R*)-ciclohexano-1,2-diamina-κ²*N*¹,*N*²][difosfato(4-)κ²*O*¹,*O*³]platinato(2-)
antineoplásico



1339960-28-9

**imnopotantum**

imnopotant

N-{[3,5-bis(trifluoromethyl)phenyl]methyl}-*N*-methyl-4-(2-methylphenyl)-6-(4-methylpiperazin-1-yl)pyridine-3-carboxamide
neurokinin NK1 receptor antagonist

imnopitant

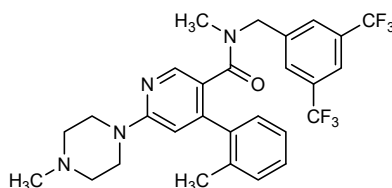
N-{[3,5-bis(trifluorométhyl)phényl]méthyl}-*N*-métيل-4-(2-méthylphényl)-6-(4-méthylpipérazin-1-il)pyridine-3-carboxamide
antagoniste du récepteur NK1 de la neurokinine

imnopotant

N-{[3,5-bis(trifluorometil)fenil]metil}-*N*-metil-4-(2-metilfenil)-6-(4-metilpiperazin-1-il)piridina-3-carboxamida
antagonista del receptor NK1 de neurokinina



290297-57-3

**ivaltinostatum**

ivaltinostat

(2*E*)-*N*¹-[3-(dimethylamino)propyl]-*N*⁶-hydroxy-2-[(naphtalen-1-yl)oxy]methyl]oct-2-enediamide
histone deacetylase inhibitor, antineoplastic

ivaltinostat

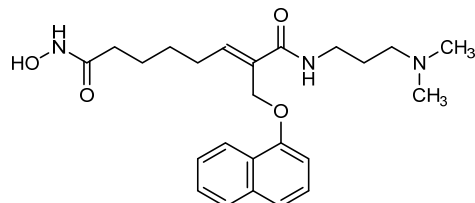
(2*E*)-*N*¹-[3-(diméthylamino)propyl]-*N*⁶-hydroxy-2-[(naphtalén-1-yl)oxy)méthyl]oct-2-ènediamide
inhibiteur de l'histone désacétylase, antinéoplasique

ivaltinostat

(*2E*)-*N*¹-[3-(dimetilamino)propil]-*N*⁸-hidroxi-2-[(naftalen-1-il)oxi]metil]oct-2-enodiamida
inhibidor de la histona desacetilasa, antineoplásico

 $C_{24}H_{33}N_3O_4$

936221-33-9

**ivuxolimab #**

ivuxolimab

immunoglobulin G2-kappa, anti-[*Homo sapiens* TNFRSF4 (tumor necrosis factor receptor (TNFR) superfamily member 4, OX40, CD134)], *Homo sapiens* monoclonal antibody; gamma2 heavy chain *Homo sapiens* (1-444) [VH (*Homo sapiens*IGHV3-48*02 (99.0%) -(IGHD) - IGHJ4*01 (100%)) [8.8.11] (1-118) -*Homo sapiens*IGHG2*01 (CH1 (119-216), hinge 1-12 (217-228), CH2 (229-337), CH3 (338-442), CHS (443-444)) (119-444), (132-214')-disulfide with kappa light chain *Homo sapiens* (1'-214') [V-KAPPA (*Homo sapiens*IGKV1D-16*01 (100%) -IGKJ4*01 (100%)) [6.3.9] (1'-107') -*Homo sapiens*IGKC*01 (100%), Km3 A45.1 (153), V101 (191) (108'-214')]; dimer (220-220":221-221":224-224":227-227")-tetrakisdisulfide, produced in Chinese Hamster Ovary (CHO)-K1SV cell line, glycoform alfa *immunomodulator, antineoplastic*

ivuxolimab

immunoglobuline G2-kappa, anti-[*Homo sapiens* TNFRSF4 (membre 4 de la superfamille des récepteurs du facteur de nécrose tumorale, ACT35, OX40, CD134)], anticorps monoclonal *Homo sapiens*; chaîne lourde gamma2 *Homo sapiens* (1-444) [VH (*Homo sapiens*IGHV3-48*02 (99.0%) -(IGHD) - IGHJ4*01 (100%)) [8.8.11] (1-118) -*Homo sapiens*IGHG2*01 (CH1 (119-216), charnière 1-12 (217-228), CH2 (229-337), CH3 (338-442), CHS (443-444)) (119-444), (132-214')-disulfure avec la chaîne légère kappa *Homo sapiens* (1'-214') [V-KAPPA (*Homo sapiens*IGKV1D-16*01 (100%) -IGKJ4*01 (100%)) [6.3.9] (1'-107') -*Homo sapiens*IGKC*01 (100%), Km3 A45.1 (153), V101 (191) (108'-214')]; dimère (220-220":221-221":224-224":227-227")-tetrakisdisulfure, produit dans des cellules ovariennes de hamsters chinois (CHO) lignée cellulaire K1SV, glycoforme alfa *immunomodulateur, antinéoplasique*

ivuxolimab

inmunoglobulina G2-kappa, anti-[*Homo sapiens* TNFRSF4 (miembro 4 de la superfamilia de los receptores del factor de necrosis tumoral, ACT35, OX40, CD134)], anticuerpo monoclonal *Homo sapiens*; cadena pesada gamma2 *Homo sapiens* (1-444) [VH (*Homo sapiens*IGHV3-48*02 (99.0%) -(IGHD) -IGHJ4*01 (100%)) [8.8.11] (1-118) -*Homo sapiens*IGHG2*01 (CH1 (119-216), bisagra 1-12 (217-228), CH2 (229-337), CH3 (338-442), CHS (443-444)) (119-444)], (132-214')-disulfuro con la cadena ligera kappa *Homo sapiens* (1'-214') [V-KAPPA (*Homo sapiens*IGKV1D-16*01 (100%) -IGKJ4*01 (100%)) [6.3.9] (1'-107') -*Homo sapiens*IGKC*01 (100%), Km3 A45.1 (153), V101 (191) (108'-214')]; dímero (220-220":221-221":224-224":227-227")-tetrakisdisulfuro, producido en las células ováricas de hamsters chinos (CHO) línea celular K1SV, glicoforma alfa
inmunomodulador, antineoplásico

2128729-41-7

Heavy chain / Chaîne lourde / Cadena pesada

EVQLVESGG LVQPGGSRLR SCAASGFTFS SYSMNNWRQR PGKGLEWVSY 50
ISSSSSTIDY ADSKVGRFTI SRDNAKNSLY LQMNSLRDED TAVVYCARES 100
GWYLFDYNGQ GTLWIVVSSAS TKGPSVFLPA PCSRSTSEST AALGCLVKDY 150
FPEPVTVSWMN SGALTSGVHT FPAVLQSGL YSLSSVVTVP SSNFGCTQTYT 200
CNVDHKPSNT KVDKTVERKC CVECPCPAP PVAGPSVFLF PPKPKDTLM 250
SRTPEVTCVV VDVSHEDPEV QFWNYWDVGVE VHNAKTPRE EQFNSTFRVY 300
SVLTVVHQDW LNGKEYKCKV SNKGLPAPIE KTISKTQGP REPVQVYLPF 350
SREEMTKNQV SLTCLVKGFY PSDIAVEWES NGQPENNYKT TPPMLDSDG 400
FLFLYSKLTVD KSRWQQGNVF SCSVMGEHAL NHYTQKSLSL SPGK 444

Light chain / Chaîne légère / Cadena ligera

DIQMTQSPSS LSASVGDRTV ITCRASQGIS SWLAWYQQKP EKAPKSLIYA 50
ASSLQSGVPS RFSGSGSGTD FTLTISSQGP EDFATYYCQQ YNSYSPPTGV 100
GTVKEIKRTV AAPSVFIFPP SDEQLKSGTA SVVCLLNFFY PREAKVQWKV 150
DNALQSGNSQ ESVTEQDSKD STYSLSLSTL LSKADYEKHK YVACEVTHQG 200
LSSPVTKSFN RGEC 214

Post-translational modifications

Disulfide bridges location / Position des ponts disulfure / Posiciones de los puentes disulfuro
Intra-H (C23-C104) 22-96 145-201 258-318 364-422
22"-96" 145"-201" 258"-318" 364"-422"
Intra-L (C23-C104) 23"-88" 134"-194"
23"-88" 134"-194"
Inter-H-L (CH1 10-CL 126) 132-214" 132"-214"
Inter-H-H (h 4, h 5, h 8, h 11) 220-220" 221-221" 224-224" 227-227"

N-glycosylation sites / Sites de N-glycosylation / Posiciones de N-glicosilación
H CH2 N84.4:
294, 294"

Fucosylated complex bi-antennary CHO-type glycans / glycanes de type CHO bi-antennaires complexes fucosylés / glicanos de tipo CHO biantenarios complejos fucosilados.

izencitinibum

izencitinib

3-[(1*R*,3*s*,5*S*)-3-((7-[(5-methyl-1*H*-pyrazol-3-yl)amino]-1,6-naphthyridin-5-yl)amino)-8-azabicyclo[3.2.1]octan-8-yl]propanenitrile
Janus kinase inhibitor

izencitinib

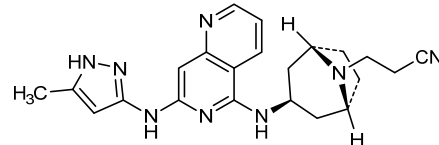
3-[(1*R*,3*s*,5*S*)-3-((7-[(5-méthyl-1*H*-pirazol-3-yl)amino]-1,6-naftiridin-5-yl)amino)-8-azabicyclo[3.2.1]octan-8-yl]propanenitrile
inhibiteur de la kinase de Janus

izencitinib

3-[(1*R*,3*s*,5*S*)-3-((7-[(5-metil-1*H*-pirazol-3-il)amino]-1,6-naftiridin-5-il)amino)-8-azabaciclo[3.2.1]octan-8-il]propanonitrilo
inhibidor de la quinasa de Janus

$C_{22}H_{26}N_8$

2051918-33-1

**lenacapavirum**

lenacapavir

N-[(1S)-1-{3-[4-chloro-3-(methanesulfonamido)-1-(2,2,2-trifluoroethyl)-1H-indazol-7-yl]-6-[3-(methanesulfonyl)-3-methylbut-1-yn-1-yl]pyridin-2-yl}-2-(3,5-difluorophenyl)ethyl]-2-[(3bS,4aR)-5,5-difluoro-3-(trifluoromethyl)-3b,4,4a,5-tetrahydro-1H-cyclopropa[3,4]cyclopenta[1,2-c]pyrazol-1-yl]acetamide
antiviral

lénacapavir

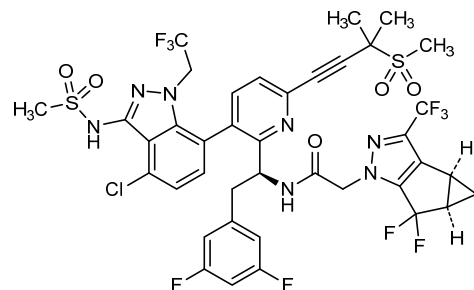
N-[(1S)-1-{3-[4-chloro-3-(méthanesulfonamido)-1-(2,2,2-trifluoroéthyl)-1H-indazol-7-yl]-6-[3-(méthanesulfonyl)-3-méthylbut-1-yn-1-yl]pyridin-2-yl}-2-(3,5-difluorophényl)éthyl]-2-[(3bS,4aR)-5,5-difluoro-3-(trifluorométhyl)-3b,4,4a,5-tétrahydro-1H-cyclopropa[3,4]cyclopenta[1,2-c]pyrazol-1-yl]acétamide
antiviral

lenacapavir

N-[(1S)-1-{3-[4-cloro-3-(metanosulfonamido)-1-(2,2,2-trifluoroetil)-1H-indazol-7-il]-6-[3-(metanosulfoniil)-3-metilbut-1-in-1-il]piridin-2-il}-2-(3,5-difluorofenil)etil]-2-[(3bS,4aR)-5,5-difluoro-3-(trifluorometil)-3b,4,4a,5-tetrahidro-1H-ciclopropa[3,4]ciclopenta[1,2-c]pirazol-1-il]acetamida
antiviral

 $C_{39}H_{32}ClF_{10}N_7O_5S_2$

2189684-44-2

**letetresgenum autoleucel #**

letetresgene autoleucel

Autologous CD4+ and CD8+ T cells, transduced with a non-replicating human immunodeficiency virus (HIV)-derived self-inactivating (SIN) vector that comprises a 5'LTR (RSV*-R-U5) and a 3' U3 deleted LTR (U5-R-HIV-1Delta 3'LTR), encoding an affinity enhanced NY-ESO-1 (autoimmunogenic cancer/testis antigen NY-ESO-1, CTAG1A, L antigen family member 2, LAGE-2) specific T cell receptor (TCR), under the control of elongation factor 1 alpha (EF1a) promoter. The vector is pseudotyped with vesicular stomatitis virus glycoprotein-G (VSV-G).

* RSV: Rous sarcoma virus
cell therapy (antineoplastic)

letetresgène autoleucel

Lymphocytes T CD4+ et CD8+ autologues, transduits par un vecteur auto-inactivant (SIN), non-répliquant, dérivé du virus de l'immunodéficience humaine (VIH), contenant une séquence LTR (terminale longue répétée) en 5' (RSV*-R-U5) et une séquence LTR dont le domaine U3 est supprimé (U5-R-HIV-1Delta 3'LTR), et qui code pour un récepteur des lymphocytes T (TCR) dont l'affinité est augmentée, spécifique du NY-ESO-1 (antigène autoimmunogénique associé au cancer du testicule NY-ESO-1, CTAG1A, membre 2 de la famille de l'antigène L, LAGE-2), sous le contrôle d'un promoteur du facteur d'elongation alpha 1 (EF1a). Le vecteur est pseudotypé avec la glycoprotéine G de l'enveloppe de la stomatite vésiculaire (VSV-G).

* RSV: virus du sarcome de Rous
thérapie cellulaire (antineoplastique)

letetresgène autoleucel

Linfocitos T CD4+ y CD8+ autólogos, transducidos con un vector auto-inactivante (SIN), no replicativo, derivado del virus de la inmunodeficiencia humana (VIH), que contiene una LTR en 5' (RSV*-R-U5) y una LTR con U3 delecionada en 3' (U5-R-HIV-1Delta 3'LTR), y que codifica para un receptor de linfocitos T (TCR) con afinidad aumentada, específico para NY-ESO-1 (antígeno de cáncer/testículos autoinmunogénico NY-ESO-1, CTAG1A, miembro 2 de la familia de antígenos L, LAGE-2), bajo el control del promotor del factor de elongación alfa 1 (EF1a). El vector está seudotipado con la glicoproteína G del virus de la estomatitis vesicular (VSV-G).

* RSV: virus del sarcoma de Rous
terapia celular (antineoplásico)

linperlisibum

linperlisib

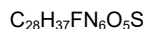
N-{5-[6-fluoro-8-{{[4-(2-hydroxypropan-2-yl)piperidin-1-yl]methyl}-2-(morpholin-4-yl)quinazolin-4-yl]-2-methoxypyridin-3-yl}methanesulfonamide
phosphatidylinositol 3-kinase (PI3K) inhibitor, antineoplastic

linperlisib

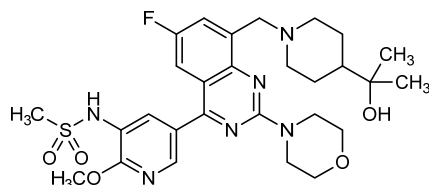
N-{5-[6-fluoro-8-{{[4-(2-hydroxypropan-2-yl)piperidin-1-yl]methyl}-2-(morpholin-4-yl)quinazolin-4-yl]-2-methoxypyridin-3-yl}methanesulfonamide
inhibiteur de phosphatidylinositol 3-kinase (PI3K), antinéoplasique

linperlisib

N-{5-[6-fluoro-8-{{[4-(2-hidroxipropan-2-il)piperidin-1-il]metil}-2-(morfolin-4-il)quinazolin-4-il]-2-metoxipiridin-3-il}metanosulfonamida
inhibidor de fosfatidilinositol 3-quinasa (PI3K), antineoplásico



1702816-75-8



Iodapolimab #

Iodapolimab

immunoglobulin G1-lambda, anti-[*Homo sapiens* PDCD1 (programmed cell death 1, PD-1, PD1, CD279)], *Homo sapiens* monoclonal antibody; gamma1 heavy chain *Homo sapiens* (1-453) [VH (*Homo sapiens*IGHV1-69*06 (100%) -(IGHD) - IGHJ6*01 (100%)) [8.8.16] (1-123) -*Homo sapiens* IGHG1*03 G1m3, nG1m1 (CH1 R120 (220) (124-221), hinge 1-15 (222-236), CH2 L1.3>A (240), L1.2>E (241), G1>A (243), A115>S (336), P116>S (337) (237-346), CH3 E12 (362), M14 (364) (347-451), CHS (452-453)) (124-453)], (226-215')-disulfide with lambda light chain *Homo sapiens* (1'-216') [V-LAMBDA (*Homo sapiens*IGLV1-44*01 (91.8%) -IGLJ2*01 (90.9%)) [8.3.11] (1'-110') -*Homo sapiens* IGLC2*01 T124>A (213) (99.1%) (111'-216')]; dimer (232-232":235-235")-bisdisulfide, produced in Chinese Hamster Ovary (CHO) cells, glycoform alfa *immunomodulator, antineoplastic*

Iodapolimab

immunoglobuline G1-lambda, anti-[*Homo sapiens* PDCD1 (protéine 1 de mort cellulaire programmée, PD-1, PD1, CD279)], anticorps monoclonal *Homo sapiens*; chaîne lourde gamma1 *Homo sapiens* (1-453) [VH (*Homo sapiens*IGHV1-69*06 (100%) -(IGHD) - IGHJ6*01 (100%)) [8.8.16] (1-123) -*Homo sapiens* IGHG1*03 G1m3, nG1m1 (CH1 R120 (220) (124-221), charnière 1-15 (222-236), CH2 L1.3>A (240), L1.2>E (241), G1>A (243), A115>S (336), P116>S (337) (237-346), CH3 E12 (362), M14 (364) (347-451), CHS (452-453)) (124-453)], (226-215')-disulfure avec la chaîne légère lambda *Homo sapiens* (1'-216') [V-LAMBDA (*Homo sapiens*IGLV1-44*01 (91.8%) -IGLJ2*01 (90.9%)) [8.3.11] (1'-110') -*Homo sapiens* IGLC2*01 T124>A (213) (99.1%) (111'-216')]; dimère (232-232":235-235")-bisdisulfure, produit dans des cellules ovariennes de hamsters chinois (CHO), glycoforme alfa *immunomodulateur, antinéoplasique*

Iodapolimab

inmunoglobulina G1-lambda, anti-[*Homo sapiens* PDCD1 (proteína 1 de muerte celular programada, PD-1, PD1, CD279)], anticuerpo monoclonal *Homo sapiens*; cadena pesada gamma1 *Homo sapiens* (1-453) [VH (*Homo sapiens*IGHV1-69*06 (100%) -(IGHD) - IGHJ6*01 (100%)) [8.8.16] (1-123) -*Homo sapiens* IGHG1*03 G1m3, nG1m1 (CH1 R120 (220) (124-221), bisagra 1-15 (222-236), CH2 L1.3>A (240), L1.2>E (241), G1>A (243), A115>S (336), P116>S (337) (237-346), CH3 E12 (362), M14 (364) (347-451), CHS (452-453)) (124-453)], (226-215')-disulfuro con la cadena ligera lambda *Homo sapiens* (1'-216') [V-LAMBDA (*Homo sapiens*IGLV1-44*01 (91.8%) -IGLJ2*01 (90.9%)) [8.3.11] (1'-110') -*Homo sapiens* IGLC2*01 T124>A (213) (99.1%) (111'-216')]; dímero (232-232":235-235")-bisdisulfuro, producido en las células ováricas de hamsters chinos (CHO), glicoforma alfa *inmunomodulador, antineoplásico*

Heavy chain / Chaîne lourde / Cadena pesada
 QVQLVQSGAE VKKPQSSVKV SCKASGGTFS SYAISWVRQA PGQGLEWMGG 50
 IIPIFGTANY AQQFGQRVTI TADKSTSTAY MELSSLRSED TAVYYCARSP 100
 DYSPIYYYGM DWQGQGTTVT VSSASTKGES VFVFLAPSSKS TSGGTAALGC 150
 LVKDYFPEPV TVSWNSGALT SGVHTPPAVL QSSGLYSLSS VVTVPSSLG 200
 TQTYICNVNH KPSNTKVDKR VEPKSCDKTH TCPCPAPEC EGAPSVLFLP 250
 FPKKDILMIS RTPEVTCVVV DVSHEDPEVK FNWYVDGVEV HNAKTKFREE 300
 QYNSTYRVVS VLTVLHQDWL NGKEYKCRVS NKALPSSIEK TISKAKGQPR 350
 EPQVYTLPPS REEMTKNQVS LTCLVKGFPY SDIAVEWESN QOPENNYKTT 400
 PPVLDSDGSF FLYSKLTVDK SRWQQNVFS CSVMHEALHN HYTQKSLSL 450
 PGK 453

Light chain / Chaîne légère / Cadena ligera
 QSVLTQPPSA SGTPQQRVTI SCGSSSNIG SNTVNWYQQL PGTAPKLLIY 50
 GNSNRPGVP DRFSSGSKSGT SASLATSGLQ SEDEADYYCQ SYDSSLSGV 100
 FGGGIKLTVL GQPKAAFSVT LFPSSSEELQ ANKATLVLCLI SDFYYPGAVTV 150
 AWKADSSPVK AGVETTTPSK QSNNKYAASS YLSLTPEQWK SHRSYSCQVT 200
 HEGSTVEKTV APAECS 216

Post-translational modifications
 Disulfide bridges location / Position des ponts disulfure / Posiciones de los puentes disulfuro
 Intra-H (C23-C104) 22°-96° 150°-206° 267°-327° 373°-431°
 22°-96° 150°-206° 267°-327° 373°-431°
 Intra-L (C23-C104) 22°-89° 138°-197°
 22°-89° 138°-197°
 Inter-H-L (h 5-CL 126) 226°-215° 226°-215°
 Inter-H-H (h 11, h 14) 232°-232° 235°-235°

N-glycosylation sites / Sites de N-glycosylation / Posiciones de N-glicosilación
 H CH2 N84.4;
 303, 303°
 Fucosylated complex bi-antennary CHO-type glycans / glycanes de type CHO bi-antennaires
 complejos fucosylés / glicanos de tipo CHO biantenarios complejos fucosilados.

C-terminal lysine clipping:
 H CHSK2:
 453, 453°

lomardexamfetaminum
lomardexamfetamine

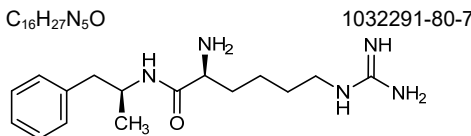
(2S)-2-amino-6-(carbamimidoylamino)-N-[(2S)-1-phenylpropan-2-yl]hexanamide
central nervous system stimulant

lomardexamfétamine

(2S)-2-amino-6-(carbamimidoylamino)-N-[(2S)-1-phénylpropan-2-yl]hexanamide
stimulant du système nerveux central

lomardexamfetamina

(2S)-2-amino-6-(carbamimidoylamino)-N-[(2S)-1-fenilpropan-2-yl]hexanamida
estimulante del sistema nervioso central



lonodelestatum
lonodelestat

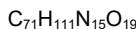
1,13-anhydro[*L*-alanyl-*L*-seryl-*L*-isoleucyl-*L*-prolyl-*L*-prolyl-*L*-glutaminyl-*L*-lysyl-*L*-tyrosyl-*D*-prolyl-*L*-prolyl-(2S)-2-aminodecanoylethylene amide
elastase inhibitor

lonodélestat

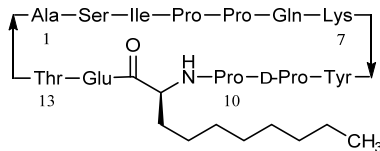
1,13-anhydro[*L*-alanyl-*L*-séryl-*L*-isoleucyl-*L*-prolyl-*L*-prolyl-*L*-glutaminyl-*L*-lysyl-*L*-tyrosyl-*D*-prolyl-*L*-prolyl-(2S)-2-aminodécanoylethylene amide
inhibiteur de l'élastase

Ionodelestat

1,13-anhidro[*L*-alanil-*L*-seril-*L*-isoleucil-*L*-prolil-*L*-prolil-*L*-glutaminil-*L*-lisil-*L*-tirosil-*D*-prolil-*L*-prolil-(2*S*)-2-aminodecanoil-*L*- α -glutamil-*L*-treonina]
inhibidor de la elastasa



906547-89-5

**manelimumab #****manelimumab**

immunoglobulin G1-lambda, anti-[*Homo sapiens* CD274 (programmed death ligand 1, PDL1, PD-L1, B7 homolog 1, B7H1)], *Homo sapiens* monoclonal antibody;
 gamma1 heavy chain (1-452) [VH (*Homo sapiens* IGHV3-20*01 (92.9%) -(IGHD) -IGHJ5*01 (100%)) [8.8.15] (1-122) -*Homo sapiens*IGHG1*01v, G1m17>G1m3, G1m1 (CH1 R120 (219) (123-220), hinge 1-15 (221-235), CH2 L1.3>A (239), L1.2>A (240) (236-345), CH3 D12 (361), L14 (363) (346-450), CHS (451-452)) (123-452)], (225-215')-disulfide with lambda light chain (1'-216') [V-LAMBDA (*Homo sapiens* IGLV8-61*01 (85.6%) -IGLJ2*01 (90.9%)) [9.3.10] (1'-110') -*Homo sapiens* IGLC2*01 (100%) (111-216')]; dimer (231-231":234-234")-bisdisulfide, produced in Chinese Hamster Ovary (CHO)-K1-S cell line, glycoform alfa
immunomodulator, antineoplastic

manélimab

immunoglobuline G1-lambda, anti-[*Homo sapiens* CD274 (ligand 1 de mort programmée, PDL1, PD-L1, homologue 1 de B7, B7H1)], anticorps monoclonal *Homo sapiens*; chaîne lourde gamma1 (1-452) [VH (*Homo sapiens* IGHV3-20*01 (92.9%) -(IGHD) -IGHJ5*01 (100%)) [8.8.15] (1-122) -*Homo sapiens*IGHG1*01v, G1m17>G1m3,G1m1 (CH1 R120 (219) (123-220), charnière 1-15 (221-235), CH2 L1.3>A (239), L1.2>A (240) (236-345), CH3 D12 (361), L14 (363) (346-450), CHS (451-452)) (123-452)], (225-215')-disulfure avec la chaîne légère lambda (1'-216') [V-LAMBDA (*Homo sapiens* IGLV8-61*01 (85.6%) -IGLJ2*01 (90.9%)) [9.3.10] (1'-110') -*Homo sapiens* IGLC2*01 (100%) (111'-216')]; dimère (231-231":234-234")-bisdisulfure, produit dans des cellules ovariennes de hamsters chinois (CHO) lignée cellulaire K1-S, glycoforme alfa
immunomodulateur, antinéoplasique

manelimumab

imunoglobulina G1-lambda, anti-[*Homo sapiens* CD274 (ligando 1 de muerte programada, PDL1, PD-L1, homólogo 1 de B7, B7H1)], anticuerpo monoclonal *Homo sapiens*;

cadena pesada gamma1 (1-452) [VH (*Homo sapiens* IGHV3-20*01 (92.9%) -(IGHD) -IGHJ5*01 (100%)) [8.8.15] (1-122) -*Homo sapiens* IGHG1*01v, G1m17>G1m3,G1m1 (CH1 R120 (219) (123-220), bisagra 1-15 (221-235), CH2 L1.3>A (239), L1.2>A (240) (236-345), CH3 D12 (361), L14 (363) (346-450), CHS (451-452)) (123-452)], (225-215)-disulfuro con la cadena ligera lambda (1'-216') [V-LAMBDA (*Homo sapiens* IGLV8-61*01 (85.6%) -IGLJ2*01 (90.9%)) [9.3.10] (1'-110') -*Homo sapiens* IGLC2*01 (100%) (111'-216')]; dímero (231-231":234-234")-bisdisulfuro, producido en las células ováricas de hamsters chinos (CHO) línea celular K1-S, glicoforma alfa *immunomodulador, antineoplásico*

2168561-26-8

Heavy chain / Chaîne lourde / Cadena pesada

```

EVLQVESGG VVRPGGSIRL SCAASGFTFD DYAMSWVRQA PGKGLEWVSD 50
ISWSGSNTNY ADSPVKGRFTI SRDNAKNSLY LQMNSLRAED TALYHCARAP 100
LLLLAMPFGVG SNQQQTILTVT SSASTKGPSV FPLAPFSKST SGGTAALGCL 150
VKDYFPEPVTL VSWNSGALTS GVHTFPAVLQ SSGLYSLSSV VTVPSSSLGT 200
QTYICNVNHK PSNTKVDRKV EPKSCDKTHT CPPCPAEEA GGPSPVFLFPP 250
KPKDTLMISR TPEVITCVVVD VSHEDEPEVKF NWYVVDGEVH NAKTKPREEQ 300
YNSTYRVSV LTVLHQDWLN GKEYKCVSN KALPAPIEKT ISKAKGPPRE 350
PQVYTLPPSR DELTKNQVSL TCLVKGFYPS DIAWEWESNG QFENNNYKTP 400
PVLDSDGSSF LYSKLTVDKS RWQQGNVFSC SVMHEALHNH YTQKSLSLSP 450
GK

```

Light chain / Chaîne légère / Cadena ligera

```

QTVVTQEPLS SVSPGTVL TCGLSSGTVT AINYPGWYQQ TPGQAPRTLI 50
YNTNTRHSGV PDRFSGSISG NKAALITGA QAEDADYDC ALYMGNGGHM 100
FGGGTTKLTVL GQPKAAFSVT LFPPSEELQ ANKATLVCLL SDFYVGAVTV 150
AWKADSSPVK AGVETTTPSK QSNNKYASS YLSLTPEQWK SHRSYSQCVT 200
HEGSTVKEKTV APTECS

```

Post-translational modifications:

Disulfide bridges location / Position des ponts disulfure / Posiciones de los puentes disulfuro
 Intra-H (C23-C104) 22-96 149-205 266-326 372-430
 22"-96" 149"-205" 266"-326" 372"-430"
 Intra-L (C23-C104) 22"-90" 138"-197"
 22"-90" 138"-197"
 Inter-H-L (h 5-CL 126) 225-215" 225"-215"
 Inter-H-H (h 11, h 14) 231-231" 234-234"

N-glycosylation sites / Sites de N-glycosylation / Posiciones de N-glicosilación
 HCH2 N84.4:
 302, 302"

Fucosylated complex bi-antennary CHO-type glycans / glycanes de type CHO bi-antennaires complexes fucosylés / glicanos de tipo CHO biantenarios complejos fucosilados.

mavezlimabum #

mavezlimab

immunoglobulin G4-kappa, anti-[*Homo sapiens* LAG3 (lymphocyte activating 3, lymphocyte-activation 3, CD223)], humanized monoclonal antibody; gamma4 heavy chain humanized (1-446) [VH (*Homo sapiens* IGHV1-58*01 (85.6%) -(IGHD) -IGHJ1*01 (91.7%)) [8.8.12] (1-119) -*Homo sapiens* IGHG4*01 (CH1 (120-217), hinge 1-12 (218-229), CH2 (230-339), CH3 (340-444), CHS (445-446)) (120-446)], (133-218')-disulfide with kappa light chain humanized (1'-218') [V-KAPPA (*Homo sapiens* IGKV2D-29*01 (82.0%) -IGKJ4*01 (100%)) [10.3.9] (1'-111') -*Homo sapiens* IGKC*01 (100%), Km3 A45.1 (157), V101 (195) (112'-218')]; dimer (225-225":228-228")-bisdisulfide, produced in Chinese Hamster Ovary (CHO) cells, glycoform alfa *immunomodulator, antineoplastic*

mavézélimab	immunoglobuline G4-kappa, anti-[<i>Homo sapiens</i> LAG3 (activateur 3 des lymphocytes, lymphocyte-activation 3, CD223)], anticorps monoclonal humanisé; chaîne lourde gamma4 humanisée (1-446) [VH (<i>Homo sapiens</i> IGHV1-58*01 (85.6%) -(IGHD) -IGHJ1*01 (91.7%)) [8.8.12] (1-119) - <i>Homo sapiens</i> IGHG4*01 (CH1 (120-217), charnière 1-12 (218-229), CH2 (230-339), CH3 (340-444), CHS (445-446)) (120-446)], (133-218')-disulfure avec la chaîne légère kappa humanisée (1'-218') [V-KAPPA (<i>Homo sapiens</i> IGKV2D-29*01 (82.0%) -IGKJ4*01 (100%)) [10.3.9] (1'-111') - <i>Homo sapiens</i> IGKC*01 (100%), Km3 A45.1 (157), V101 (195) (112'-218')]; dimère (225-225"-228-228")-bisdisulfure, produit dans des cellules ovariennes de hamsters chinois (CHO), glycoforme alfa <i>immunomodulateur, antineoplastique</i>
mavezelimab	imunoglobulina G4-kappa, anti-[<i>Homo sapiens</i> LAG3 (activador 3 de los linfocitos, linfocito-activación 3, CD223)], anticuerpo monoclonal humanizado; cadena pesada gamma4 humanizada (1-446) [VH (<i>Homo sapiens</i> IGHV1-58*01 (85.6%) -(IGHD) -IGHJ1*01 (91.7%)) [8.8.12] (1-119) - <i>Homo sapiens</i> IGHG4*01 (CH1 (120-217), bisagra 1-12 (218-229), CH2 (230-339), CH3 (340-444), CHS (445-446)) (120-446)], (133-218')-disulfuro con la cadena ligera kappa humanizada (1'-218') [V-KAPPA (<i>Homo sapiens</i> IGKV2D-29*01 (82.0%) -IGKJ4*01 (100%)) [10.3.9] (1'-111') - <i>Homo sapiens</i> IGKC*01 (100%), Km3 A45.1 (157), V101 (195) (112'-218')]; dímero (225-225"-228-228")-bisdisulfuro, producido en las células ováricas de hamsters chinos (CHO), glicoforma alfa <i>inmunomodulador, antineoplásico</i>

2231068-83-8

Heavy chain / Chaîne lourde / Cadena pesada

QMQLVQSGPE VKKPGTSVKV SKCASGYTFT DYNVDWVRQA RGQRLEWIGD 50
 INFNDQGTII AKQFQERVTI TVDKSTSTAY MELSSLRSED TAVVYCARNY 100
 RWFGAMDHWG QCTTVTVSSA STKGPSVPL AFCRSRSTS E TAALGCLVKRD 150
 YFFEPVTVSW NSGALTSGW TFPAVLQSSG LYSLSSVTV PSSSLGKTYY 200
 TCNVUDHKPSN TKVDKRVESK YGPCCPCPA PEFLLGESVF LFFFPKFKDTL 250
 MISRTPEVTC VVVDVQSEDP EVQFNWYVDA VEVHNAAKTF REEQFNSTYR 300
 VVSVLTVLHQ DWLNGKEYKC KVSNKGFLPS IEKTISKAG QPREPQVYT 350
 PPSQEEMTKQ QVSLLTCLVKG FYPFDIAVEW ESNQOPENNY KTTPEVLDSD 400
 GSPPFLYSRLT VDKSRWQEGN VFSCSVMHEA LHNHYTQKSL SLSLGK 446

Light chain / Chaîne légère / Cadena ligera

DIVMTQTPLS LSVPFGGPAS ISCKASQSLD YEGDSDMNWY LQKFGQQPQL 50
 LIYGASNLQES GPVDRFSGSG SGTDFTLKIS RVEAEVDGVY YCQGSTEDER 100
 TFGGGTKVEI KRTVAAPTEV IFPPSDEQLK SGTAWSVCLL NNFYPREAKV 150
 QWKVDNAIQLS GNSQESVTEQ DSKDSTYLS STLTLSKADY EKKHVKVACV 200
 THQGLLSFVTK KSFNRGEC 218

Post-translational modifications

Disulfide bridges location / Position des ponts disulfure / Posiciones de los puentes disulfuro
 Intra-H (C23-C104) 22-96 146-202 260-320 366-424
 22"-96" 146"-202" 260"-320" 366"-424"
 Intra-L (C23-C104) 23"-92" 138"-198"
 23"-92" 138"-198"
 Inter-H-L (CH1 10-CL 126) 133-218" 133"-218"
 Inter-H-H (h 11, h 14) 225-225" 228-228"

N-glycosylation sites / Sites de N-glycosylation / Posiciones de N-glicosilación
 H CH2 N84.4;
 296, 296"

Fucosylated complex bi-antennary CHO-type glycans / Glycanes de tipo CHO bi-antennaires complexes fucosylés / glicanos de tipo CHO biantenarios complejos fucosilados.
 C-terminal lysine clipping:
 H CHS K2;
 446, 446"

mesdopetamum

mesdopetam

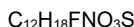
N-{2-[3-fluoro-5-(methanesulfonyl)phenoxy]ethyl}propan-1-amine
dopamine D3 receptor blocker

mesdopétam

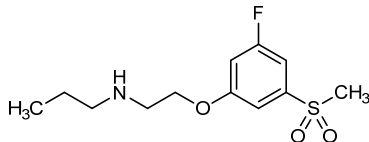
N-{2-[3-fluoro-5-(méthanesulfonyl)phénoxy]éthyl}propan-1-amine
 bloqueur des récepteurs à la dopamine D3

mesdopetam

N-{2-[3-fluoro-5-(metanosulfonil)fenoxi]etil}propan-1-amina
 bloqueante del receptor de la dopamina D3



1403894-72-3

**mevociclibum**

mevociclib

N-[(1*S*,3*R*)-3-{{[5-chloro-4-(1*H*-indol-3-yl)pyrimidin-2-yl]amino}-1-methylcyclohexyl]-5-[(2*E*)-4-(dimethylamino)but-2-enamido]pyridine-2-carboxamide
cyclin-dependent kinase inhibitor, antineoplastic

mévociclib

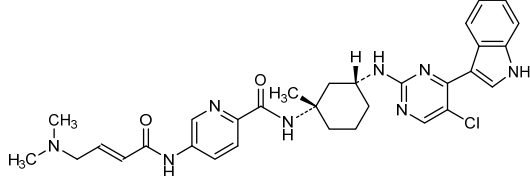
N-[(1*S*,3*R*)-3-{{[5-chloro-4-(1*H*-indol-3-yl)pyrimidin-2-yl]amino}-1-méthylcyclohexyl]-5-[(2*E*)-4-(diméthylamino)but-2-énamido]pyridine-2-carboxamide
 inhibiteur des kinases dépendantes des cyclines, antinéoplasique

mevociclib

N-[(1*S*,3*R*)-3-{{[5-cloro-4-(1*H*-indol-3-il)pirimidin-2-il]amino}-1-metilciclohexil]-5-[(2*E*)-4-(dimetilamino)but-2-enamido]piridina-2-carboxamida
 inhibidor de las quinasas dependientes de las ciclinas, antineoplásico



1816989-16-8

**mezagitamabum #**

mezagitamab

immunoglobulin G1-lambda, anti-[*Homo sapiens* CD38 (ADP-ribosyl cyclase 1)], monoclonal antibody; gamma1 heavy chain humanized (1-453) [VH (*Homo sapiens* IGHV3-23*01 (88.8%) -(IGHD) -IGHJ1*01 (93.3%)) [8.8.16] (1-123) -*Homo sapiens*IGHG1*03 (100%), G1m3, nG1m1 (CH1 R120 (220) (124-221), hinge 1-15 (222-236), CH2 (237-346), CH3 E12 (362), M14 (364) (347-451), CHS (452-453)) (124-453)], (226-215')-disulfide with lambda light chain humanized

(1'-216') [V-LAMBDA (*Homo sapiens* IGLV1-47*01 (91.8%) -IGLJ2*01 (100%)) [8.3.11] (1'-110') -*Homo sapiens* IGLC1*02 (100%) (111-216')]; dimer (232-232":235-235")-bisdisulfide, produced in Chinese Hamster Ovary (CHO)-K1SV cell line, glycoform alfa
immunomodulator, antineoplastic

mezagitamab

immunoglobuline G1-lambda, anti-[*Homo sapiens* CD38 (ADP-ribosyl cyclase 1)], anticorps monoclonal; chaîne lourde gamma1 humanisée (1-453) [VH (*Homo sapiens*IGHV3-23*01 (88.8%) -(IGHD) -IGHJ1*01 (93.3%)) [8.8.16] (1-123) -*Homo sapiens*IGHG1*03 (100%), G1m3, nG1m1 (CH1 R120 (220) (124-221), charnière 1-15 (222-236), CH2 (237-346), CH3 E12 (362), M14 (364) (347-451), CHS (452-453)) (124-453)], (226-215")-disulfure avec la chaîne légère lambda humanisée (1'-216') [V-LAMBDA (*Homo sapiens* IGLV1-47*01 (91.8%) -IGLJ2*01 (100%)) [8.3.11] (1'-110') -*Homo sapiens* IGLC1*02 (100%) (111-216')]; dimère (232-232":235-235")-bisdisulfure, produit dans des cellules ovarianes de hamsters chinois (CHO) lignée cellulaire K1SV, glicoforme alfa
immunomodulateur, antinéoplasique

mezagitamab

inmunoglobulina G1-lambda, anti-[*Homo sapiens* CD38 (ADP-ribosil ciclase 1)], anticuerpo monoclonal; cadena pesada gamma1 humanizada (1-453) [VH (*Homo sapiens*IGHV3-23*01 (88.8%) -(IGHD) -IGHJ1*01 (93.3%)) [8.8.16] (1-123) -*Homo sapiens*IGHG1*03 (100%), G1m3, nG1m1 (CH1 R120 (220) (124-221), bisagra 1-15 (222-236), CH2 (237-346), CH3 E12 (362), M14 (364) (347-451), CHS (452-453)) (124-453)], (226-215")-disulfuro con la cadena ligera lambda humanizada (1'-216') [V-LAMBDA (*Homo sapiens* IGLV1-47*01 (91.8%) -IGLJ2*01 (100%)) [8.3.11] (1'-110') -*Homo sapiens* IGLC1*02 (100%) (111-216')]; dímero (232-232":235-235")-bisdisulfuro, producido en las células ováricas de hamsters chinos (CHO) línea celular K1SV, glicoforma alfa
inmunomodulador, antineoplásico

2227490-52-8

Heavy chain / Chaîne lourde / Cadena pesada

```

EVQLLESGGG LVQPGGSSLRL SCAASGFTFD DYGMSWVRQA PGKGLEWVSD 50
ISWNNGKTHY VDSVKGRFTI SRDNNSKNTLY LQMNSLRAED TAVVYCARGS 100
LHFDSGGFYF GHWCQGTLVT VSSASTKGPS VFPLAPSSKS TSGGTAALGC 150
LVKDFIFPEPV TVSNNSGALT SGVHTFPAVL QSSGLYLSLSS VTVTPSSSLG 200
TQTYICNVNH KPSNTKVDRR VPKSCDKTH TCPCPAPPEL LGGPSVFLFP 250
PKPKDTLMIS RTPEVTCVVV DVSHEDPEVK FNWYVDGVEV HNAKTKPREE 300
QYNSTYRVVS VLTVLHQDWL NGKEYKCKVS NKAFLPAIEK TISKARGQQR 350
EFQVYTLPPS REEMTNQVS LTCLVKGFPY SNDIAVEWESN QQPENNYKT 400
PPVLDSDGSF FLYSKLTVDK SRWQQGNVFS CSVMEHALHN HYTQKSLSLS 450
PGK 453

```

Light chain / Chaîne légère / Cadena ligera

```

QSVLQTQPPSA SGTFGQRVTI SCSCGSSSNIG DNYVSWYQQL PGTAPKLIIY 50
RDSQRQSPGV DRFSGSKSGT SASLAISGLR SEDEADYYCQ SYDSSLSGSV 100
FGGGTKLTVL GQPKANPTV LFFPSSEELQ ANKATLVCII SDYFPGAVTV 150
AWKAIDGSPVK AGVETTPKPS QSNNKYAASS YLSLTPEQWK SHRSYSQCQT 200
HEGSTVEKTV APTECS 216

```

Post-translational modifications

Disulfide bridges location / Position des ponts disulfure / Posiciones de los puentes disulfuro

Intra-H (C23-C104) 22-96 150-206 267-327 373-431

22"-96" 150"-206" 267"-327" 373"-431"

Intra-L (C23-C104) 22-89 150"-206" 267"-327" 373"-431"

22"-89" 138"-197"

Inter-H-L (h 5-CL 126) 226-215" 226"-215"

Inter-H-H (h 11, h 14) 232-232" 235-235"

N-terminal glutamine cyclization to pyroglutamate (pE, 5-oxoproline)

L VL Q1:

1, 1"

N-glycosylation sites / Sites de N-glycosylation / Posiciones de N-glicosilación

H CH2 N84.4:

303, 303"

Fucosylated complex bi-antennary CHO-type glycans / glycanes de type CHO bi-antennaires

complexes fucosylés / glicanos de tipo CHO biantenarios complejos fucosilados.

milategrastum

milategrast

1-(cyclopropylmethyl)-4-[2-(3,3,5,5-tetramethylcyclohexyl)phenyl]piperazine
non-steroidal anti-inflammatory

milatégrast

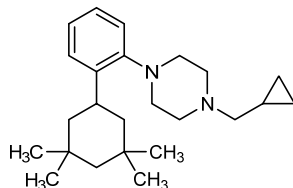
1-(cyclopropylméthyl)-4-[2-(3,3,5,5-tétraméthylcyclohexyl)phényl]pipérazine
anti-inflammatoire non stéroïdien

milategrast

1-(ciclopropilmetil)-4-[2-(3,3,5,5-tetrametilciclohexil)fenil]piperazina
antiinflamatorio no esteroideo

C₂₄H₃₈N₂

859217-52-0

**mipetresgenum autoleucelum #**

mipetresgene autoleucel

Autologous T cells, transduced with a replication incompetent Moloney murine leukemia virus (MoMLV) (a retrovirus) vector that encodes a T cell receptor (TCR) that recognizes NY-ESO-1 protein (cancer/testis antigen 1, autoimmunogenic cancer/testis antigen NY-ESO-1, CTAG1A, L antigen family member 2, LAGE-2).

cell therapy (antineoplastic)

mipetresgène autoleucel

Lymphocytes T autologues transduits par un vecteur du virus de la leucémie murine de Moloney (MoMLV) (un retrovirus) incomptétent pour la replication et codant pour un récepteur des lymphocytes T (TCR) reconnaissant la protéine NY-ESO-1 (antigène autoimmunogénique associé au cancer du testicule NY-ESO-1, CTAG1A, membre 2 de la famille de l'antigène L, LAGE-2).

thérapie cellulaire (antineoplastique)

mipetresgén autoleucel

Linfocitos T autólogos transducidos con un vector del virus de la leucemia murina de Moloney (MoMLV) (un retrovirus) incompetente para replicación que codifica para un receptor de linfocitos T (TCR) que reconoce la proteína NY-ESO-1 (antígeno 1 de cáncer/testículos, antígeno autoinmunogénico de cáncer/testículos NY-ESO-1, CTAG1A, miembro 2 de la familia de antígenos L, LAGE-2).

terapia celular (antineoplásico)

mirzotamabum #

mirzotamab

immunoglobulin G1-kappa, anti-[*Homo sapiens* CD276 (B7H3, B7-H3, B7RP-2)], monoclonal antibody;

	gamma1 heavy chain chimeric (1-446) [VH (<i>Mus musculus</i> IGHV3-1*02 (86.6%) -(IGHD) -IGHJ2*01 (86.7%)/ <i>Homo sapiens</i> IGHV4-38-2*01 (83.5%) - (IGHD) -IGHJ4*01 (86.7%)) [9.7.9] (1-116) - <i>Homo sapiens</i> IGHG1*03v, G1m3>G1m17, nG1m1 (CH1 R120>K (213) (117-214), hinge 1-15 (215-229), CH2 L1.3>A (233), L1.2>A (234) (230-339), CH3 E12 (355), M14 (357) (340-444), CHS (445-446)) (117-446)], (219-214')-disulfide with kappa light chain humanized (1'-214') [V-KAPPA (<i>Homo sapiens</i> IGKV1-39*01 (82.2%) -IGKJ2*02 (100%)) [6.3.9] (1'-107') - <i>Homo sapiens</i> IGKC*01 (100%), Km3 A45.1 (153), V101 (191) (108'-214')]; dimer (225-225":228-228")-bisdisulfide, produced in Chinese Hamster Ovary (CHO) cells, glycoform alfa <i>immunomodulator, antineoplastic</i>
mirzotamab	immunoglobuline G1-kappa, anti-[<i>Homo sapiens</i> CD276 (B7H3, B7-H3, B7RP-2)], anticorps monoclonal; chaîne lourde gamma1 chimérique (1-446) [VH (<i>Mus musculus</i> IGHV3-1*02 (86.6%) -(IGHD) -IGHJ2*01 (86.7%)/ <i>Homo sapiens</i> IGHV4-38-2*01 (83.5%) - (IGHD) -IGHJ4*01 (86.7%)) [9.7.9] (1-116) - <i>Homo sapiens</i> IGHG1*03v, G1m3>G1m17, nG1m1 (CH1 R120>K (213) (117-214), charnière 1-15 (215-229), CH2 L1.3>A (233), L1.2>A (234) (230-339), CH3 E12 (355), M14 (357) (340-444), CHS (445-446)) (117-446)], (219-214')-disulfure avec la chaîne légère kappa humanisée (1'-214') [V-KAPPA (<i>Homo sapiens</i> IGKV1-39*01 (82.2%) -IGKJ2*02 (100%)) [6.3.9] (1'-107') - <i>Homo sapiens</i> IGKC*01 (100%), Km3 A45.1 (153), V101 (191) (108'-214')]; dimère (225-225":228-228")-bisdisulfure, produit dans des cellules ovariennes de hamsters chinois (CHO), glicoforme alfa <i>immunomodulateur, antinéoplasique</i>
mirzotamab	immunoglobulina G1-kappa, anti-[<i>Homo sapiens</i> CD276 (B7H3, B7-H3, B7RP-2)], anticuerpo monoclonal; cadena pesada gamma1 químérica (1-446) [VH (<i>Mus musculus</i> IGHV3-1*02 (86.6%) -(IGHD) -IGHJ2*01 (86.7%)/ <i>Homo sapiens</i> IGHV4-38-2*01 (83.5%) - (IGHD) -IGHJ4*01 (86.7%)) [9.7.9] (1-116) - <i>Homo sapiens</i> IGHG1*03v, G1m3>G1m17, nG1m1 (CH1 R120>K (213) (117-214), bisagra 1-15 (215-229), CH2 L1.3>A (233), L1.2>A (234) (230-339), CH3 E12 (355), M14 (357) (340-444), CHS (445-446)) (117-446)], (219-214')-disulfuro con la cadena ligera kappa humanizada (1'-214') [V-KAPPA (<i>Homo sapiens</i> IGKV1-39*01 (82.2%) -IGKJ2*02 (100%)) [6.3.9] (1'-107') - <i>Homo sapiens</i> IGKC*01 (100%), Km3 A45.1 (153), V101 (191) (108'-214')]; dímero (225-225":228-228")-bisdisulfuro, producido en las células ováricas de hamsters chinos (CHO), glicoforma alfa <i>immunomodulador, antineoplásico</i>

2229859-11-2

Heavy chain / Chaîne lourde / Cadena pesada

EVQLQESGPG LVKPSETLSL TCAVTGYSITI SGYSWHWIRQ FPGNGLEWMG 50
 YIHSQGSTNY NPSLKSRSI SRTDSKNQQFF LKLLSVTAAD TAVYYCAGYD 100
 DYFEYVGGQT TVTVSSASTR GPSVFPLAPS SKSTSGTAA LGCLVKDYFV 150
 EPVTVSWNSG ALTSGVHTFP AVLQSSGLYS LSSVVTVPSS S1GTQTYICN 200
 VNHKPSNTKV DKKVEPKSCD KTHTCPFCPA PEAAGGSPVF LPPPKPKDTL 250
 MISRTPEVTC VVVDVSHEDF EVKFNWYWDG VEVHNAKTK REEQYNSTYR 300
 VVSILTVLHQ DWLNKEYKC KVSNKALPAP IEKTTISKAKG QPREPVQYTL 350
 PPSEEMTKN QVSLTCLVKA FVPSDIAVEW ESNQQEENN YKTPPVLDSD 400
 GSFFLYSKLT VDKSRWQQGN VFSCSVMHEA LHNHYTQKSL SLSPKG 446

Light chain / Chaîne légère / Cadena ligera

DIQMTQSPSS LSASVQGDRTV ITCKASQNVG FNVAWYQQKP GKSPKALIYS 50
 ASRYYSGVES RFSGSGSGTDF FTFTISSLQP EDEFAEYFCQQ YNWYQFTFCQ 100
 GTKLEIKRTV AAEPVFIIPP SDEQLKSGTA SVVCLLNNFY PREAKVQWKV 150
 DNALQSGNSQ ESVTEQDSDK STYSLSSLTL LSKADYEKHK VYACEVTHOG 200
 LSSPVTKSFN RGECD 214

Post-translational modifications

Disulfide bridges location / Position des ponts disulfure / Posiciones de los puentes disulfuro
 Intra-H (C23-C104) 22-96 143-199 260-320 366-424
 22"-96" 143"-199" 260"-320" 366"-424"

Intra-L (C23-C104) 23"-88" 134"-194"
 23"-88" 134"-194"
 Inter-H-L (h 5-CL 126) 219-214" 219"-214"
 Inter-H-H (h 11, h 14) 225-225" 228-228"

N-glycosylation sites / Sites de N-glycosylation / Posiciones de N-glicosilación

H C12 N84:4;

296, 296"

Fucosylated complex bi-antennary CHO-type glycans / glycanes de type CHO bi-antennaires
 complejos fucosilados

mirzotamab clezutoclaxum #

mirzotamab clezutoclax

immunoglobulin G1-kappa, anti-[*Homo sapiens* CD276 (B7H3, B7-H3, B7RP-2)], monoclonal antibody, conjugated with clezutoclax, an inhibitor of BCL2L1 (BCL2-like 1, BCL-XL); gamma1 heavy chain chimeric (1-446) [VH (*Mus musculus* IGHV3-1*02 (86.6%) -(IGHD) -IGHJ2*01 (86.7%)/*Homo sapiens* IGHV4-38-2*01 (83.5%) -(IGHD) -IGHJ4*01 (86.7%)] [9.7.9] (1-116) -*Homo sapiens* IGHG1*03v, G1m3>G1m17, nG1m1 (CH1 R120>K (213) (117-214), hinge 1-15 (215-229), CH2 L1.3>A (233), L1.2>A (234) (230-339), CH3 E12 (355), M14 (357) (340-444), CHS (445-446)) (117-446)], (219-214")-disulfide with kappa light chain humanized (1'-214') [V-KAPPA (*Homo sapiens* IGKV1-39*01 (82.2%) -IGKJ2*02 (100%)) [6.3.9] (1'-107') -*Homo sapiens* IGKC*01 (100%), Km3 A45.1 (153), V101 (191) (108'-214')]; dimer (225-225":228-228")-bisdisulfide, produced in Chinese Hamster Ovary (CHO) cells, glycoform alfa; conjugated, on an average of 2 cysteinyl, with clezutoclax, comprising a cleavable dipeptide (valine-alanine) linker *immunomodulator, antineoplastic*

mirzotamab clezutoclax

immunoglobuline G1-kappa, anti-[*Homo sapiens* CD276 (B7H3, B7-H3, B7RP-2)], anticorps monoclonal; conjugué au clézutoclax, un inhibiteur de BCL2L1 (protéine 1 apparentée au BCL2, BCL-XL); chaîne lourde gamma1 chimérique (1-446) [VH (*Mus musculus* IGHV3-1*02 (86.6%) -(IGHD) -IGHJ2*01 (86.7%)/*Homo sapiens* IGHV4-38-2*01 (83.5%) -(IGHD) -IGHJ4*01 (86.7%)] [9.7.9] (1-116) -*Homo sapiens* IGHG1*03v, G1m3>G1m17, nG1m1 (CH1 R120>K (213) (117-214), charnière 1-15 (215-229), CH2 L1.3>A (233), L1.2>A (234) (230-339), CH3 E12 (355), M14 (357) (340-444), CHS (445-446)) (117-446)], (219-214")-disulfure avec la chaîne légère kappa humanisée (1'-214') [V-KAPPA (*Homo sapiens* IGKV1-39*01 (82.2%) -IGKJ2*02 (100%)) [6.3.9] (1'-107') -*Homo sapiens* IGKC*01, Km3 A45.1 (153), V101 (191) (108'-214')]; dimère (225-225":228-228")-bisdisulfure, produit dans des cellules ovariennes de hamsters chinois (CHO), glycoforme alfa; conjugué,

sur 2 cystéines en moyenne, au clézutoclax, comprenant un linker dipeptide (valine-alanine) clivable
immunomodulateur, antinéoplasique

mirzotamab clezutoclax

inmunoglobulina G1-kappa, anti-[*Homo sapiens* CD276 (B7H3, B7-H3, B7RP-2)], anticuerpo monoclonal; conjugado con clezutoclax, un inhibidor de BCL2L1 (proteína 1 vinculada con BCL2, BCL-XL);
cadena pesada gamma1 químérica (1-446) [VH (*Mus musculus*IGHV3-1*02 (86.6%) -(IGHD)-IGHJ2*01 (86.7%)/*Homo sapiens*IGHV4-38-2*01 (83.5%) -(IGHD)-IGHJ4*01 (86.7%)) [9.7.9] (1-116)-*Homo sapiens*IGHG1*03V, G1m3>G1m17,1, nG1m1 (CH1 R120>K (213) (117-214), bisagra 1-15 (215-229), CH2 L1.3>A (233), L1.2>A (234) (230-339), CH3 E12 (355), M14 (357) (340-444), CHS (445-446)) (117-446)], (219-214')-disulfuro con la cadena ligera kappa humanizada (1'-214') [V-KAPPA (*Homo sapiens* IGKV1-39*01 (82.2%) -IGKJ2*02 (100%)) [6.3.9] (1'-107')-*Homo sapiens* IGKC*01, Km3 A45.1 (153), V101 (191) (108'-214')];
dímero (225-225":228-228")-bisdisulfuro, producido en las células ováricas de hamsters chinos (CHO), glicoforma alfa; conjugado, con 2 restos de cisteínas por término medio, con clézutoclax, que comprende un vinculador dipéptido (valina-alanina) escindible *immunomodulador, antineoplásico*

2229859-12-3

Heavy chain / Chaîne lourde / Cadena pesada

```

EVQQLQESGPV LVKPSETL5L TCAVTGYSIT SGYSWHWIRQ FPGNGLEWMG 50
YHSSGSNTNY NPSLKSRSI SIRDTSKNQFF LKLLSVTAAD TAVYYCAGYD 100
DYFEYWWQGQT TVTVSSASTK GPSVFPLAQS SKSTSGGTTA LGCLVKTDFP 150
EPVTVWSNSG ALTSGVHTFP AVLQSGGLYS LSVSVTVESS SLGTQTYICN 200
VNHHKPNTKY DKVKEPKSCD KTHTCPPCPA PEAAGGPSPVLF FLPFPKDYL 250
MISRTPEVTC VVVDVSHEPD EVKFNWYVDG VEVHNNAKTP REQQVNSTYR 300
VVSVLTVLH DWLKEYKCV KVSNKALPAP IEKTISKARG QPREQVYTL 350
PSFREEMTKQ QVSLTCLVKG FYPSDIAEW ESNGQPENNY KTPPPVLDSD 400
GSFFFLYSKLTD VDKRSWQGN VFSCSVVMHEA LHNHYTQKSL SLSPGK 446

```

Light chain / Chaîne légère / Cadena ligera

```

DQMTQSPSSLSASVGDRTV ITCKASQNVG FNVAWYQQKP GKSPKALIYS 50
ASYYRGSPVS RFSGSGSGTD FTLTIISSQGP EDFAEYFCQQ YNWYFTFGQ 100
GTKLEIKRTV AAPSVFVIFPP SDEQLKSGTVA SVCLLNNFFY PREAKVQNKV 150
DNALQSGNSO ESVTEQDSKD STYSLSSSTLT LSKADYEKKH VYACEVTHQG 200
LSSPVTKSFN RGECE 214

```

Post-translational modifications

Disulfide bridges location / Position des ponts disulfure / Posiciones de los puentes disulfuro
Intra-H (C23-C104) 22-96 143-199 260-320 366-424

22"-96" 143"-199" 260"-320" 366"-424"

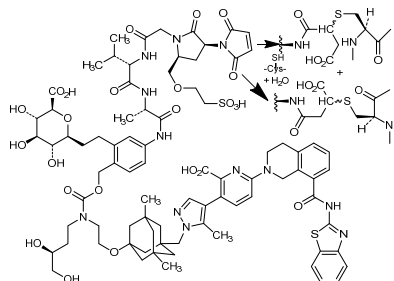
Intra-L (C23-C104) 23"-88" 134"-194"

23"-88" 134"-194"

Inter-H-L (h 5-CL 126") 219-214" 219-214"

Inter-H-H (h 1, h 14) 225-225" 228-228"

*One of the inter-chain disulfide bridges is not present, an average of 2 cysteinyl being conjugated each via a thioether bond to a drug linker. *Un des ponts disulfures inter-chaines n'est pas présent, 2 cystéinyl en moyenne étant chacun conjugué via une liaison thioéther à un linker-principe actif. *Falta uno de los puentes disulfuro inter-catenarios, una media de 2 cisteínil está conjugada a unector y principio activo.



N-glycosylation sites / Sites de N-glycosylation / Posiciones de N-glicosilación
HCH2 N84.4:

296, 296"

Fucosylated complex bi-antennary CHO-type glycans / glycanes de type CHO bi-antennaires complexes fucosylés / glicanos de tipo CHO biantenarios complejos fucosilados

mobocertinibum

mobocertinib

propan-2-yl 2-[4-[[2-(dimethylamino)ethyl](methyl)amino]-2-methoxy-5-(prop-2-enamido)anilino]-4-(1-methyl-1*H*-indol-3-yl)pyrimidine-5-carboxylate
tyrosine kinase inhibitor, antineoplastic

mobocertinib

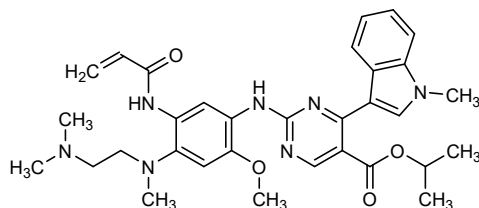
2-[4-[[2-(diméthylamino)éthyl](méthyl)amino]-2-méthoxy-5-(prop-2-énamido)anilino]-4-(1-méthyl-1*H*-indol-3-yl)pyrimidine-5-carboxylate de propan-2-yle
inhibiteur de la tyrosine kinase, antinéoplasique

mobocertinib

2-[4-[[2-(dimetilamino)etil](metil)amino]-2-metoxi-5-(prop-2-enamido)anilino]-4-(1-metil-1*H*-indol-3-il)pirimidina-5-carboxilato de propan-2-ilo
inhibidor de la tirosina quinasa, antineoplásico



1847461-43-1

**monomethylis fumaras**

monomethyl fumarate

(2*E*)-4-methoxy-4-oxobut-2-enoic acid
anti-inflammatory

fumarate de monométhyle

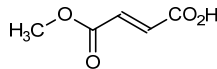
acide (2*E*)-4-méthoxy-4-oxobut-2-énoïque
anti-inflammatoire

fumarato de monometilo

ácido (2*E*)-4-metoxi-4-oxobut-2-enoico
antiinflamatorio



2756-87-8

**narsoplimabum #**

narsoplimab

immunoglobulin G4-lambda, anti-[*Homo sapiens* MASP2 (mannan-binding lectin serine peptidase 2, mannan-binding lectin serine protease 2, mannan-binding lectin serine protease 1 pseudogene 1, MASP1P1)], *Homo sapiens* monoclonal antibody; gamma1 heavy chain *Homo sapiens* (1-445) [VH (*Homo sapiens* IGHV2-26*01 (94.0%) -(IGHD) -IGHJ4*01 (100%)) [10.7.10] (1-118) -*Homo sapiens* IGHG4*01 (CH1 (119-216), hinge 1-12 S10>P (226) (217-228), CH2 (229-338), CH3 (339-443), CHS (444-445)) (119-445)], (132-211')-disulfide with lambda light chain *Homo sapiens* (1'-212') [V-LAMBDA (*Homo sapiens* IGLV3-1*01 (93.5%) -IGLJ2*01 (100%)) [6.3.9] (1'-106') -*Homo sapiens* IGLC2*01 (100%) (107-212')];

dimer (224-224":227-227")-bisdisulfide, produced in Chinese Hamster Ovary (CHO)-S cell line, glycoform alfa
immunomodulator

- narsoplimab** immunoglobuline G4-lambda, anti-[*Homo sapiens* MASP2 (sérine peptidase 2 de la lectine liant le mannane, sérine protéase 2 de la lectine liant le mannane, pseudogène 1 de la protéase 1 de la lectine liant le mannane, MASP1P1)], anticorps monoclonal *Homo sapiens*; chaîne lourde gamma1 *Homo sapiens* (1-445) [VH (*Homo sapiens*IGHV2-26*01 (94.0%) -(IGHD) -IGHJ4*01 (100%)) [10.7.10] (1-118) -*Homo sapiens* IGHG4*01 (CH1 (119-216), charnière 1-12 S10>P (226) (217-228), CH2 (229-338), CH3 (339-443), CHS (444-445)) (119-445)], (132-211')-disulfure avec la chaîne légère lambda *Homo sapiens* (1'-212') [V-LAMBDA (*Homo sapiens* IGLV3-1*01 (93.5%) -IGLJ2*01 (100%)) [6.3.9] (1'-106') -*Homo sapiens* IGLC2*01 (100%) (107'-212')]; dimère (224-224":227-227")-bisdisulfure, produit dans des cellules ovaires de hamsters chinois (CHO) lignée cellulaire S, glycoforme alfa *immunomodulateur*
- narsoplimab** inmunoglobulina G4-lambda, anti-[*Homo sapiens* MASP2 (serina peptidasa 2 de la lectina que se une al manano, serina proteasa 2 de la lectina unida al manano, pseudogen 1 de la proteasa 1 de la lectina unida al manano, MASP1P1)], anticuerpo monoclonal *Homo sapiens*; cadena pesada gamma1 *Homo sapiens* (1-445) [VH (*Homo sapiens*IGHV2-26*01 (94.0%) -(IGHD) -IGHJ4*01 (100%)) [10.7.10] (1-118) -*Homo sapiens* IGHG4*01 (CH1 (119-216), bisagra 1-12 S10>P (226) (217-228), CH2 (229-338), CH3 (339-443), CHS (444-445)) (119-445)], (132-211')-disulfuro con la cadena ligera lambda *Homo sapiens* (1'-212') [V-LAMBDA (*Homo sapiens* IGLV3-1*01 (93.5%) -IGLJ2*01 (100%)) [6.3.9] (1'-106') -*Homo sapiens* IGLC2*01 (100%) (107'-212')]; dímero (224-224":227-227")-bisdisulfuro, producido en las células ováricas de hamsters chinos (CHO) línea celular S, glicoforma alfa *inmunomodulador*

2108782-45-0

Heavy chain / Chaîne lourde / Cadena pesada

```
QVILKESGPV LVKPTETLIL TCTPGVFSLVS RGKMGVSWIR QPPGKALEWL 50
AHIFSSDEKS YRTSLKSRLT ISKDTSKNQV VLTMNTNNDPV DTATYYCARI 100
RRGGIDYWQQ GTLTVTSSAS TKGPSPVFPLA PCRSRSTSEST AALGCLVKDY 150
FPEPVTVSWN SGALTSGVHT FPAVLQSSGL YSLSSVVTVFV SSSLGTRKTY 200
CNVDIKPSNTV KVDKRVESVKY GPPCPCCPAP EFLPGGPVFL FPFPKPKDTIM 250
ISRTPEVTCV VVDSQEDPE VQFNWVVDGV EVHNAKTKPR EEEQFNSTYRV 300
VSVLTVLHQD WLNGKEYKCK VSNGKLPSSI EKTISKAKGQ PREPQVYTLIP 350
PSQEEMTKNQ VSLLTCLVKGFK YPSDIAVEWE SNQGPENNYK TTPPVLDSDG 400
SFFPLYSRLTV DKSRSWQEGRNV FSCSVMHEAL HNNHQTQRSLS LSLGK 445
```

Light chain / Chaîne légère / Cadena ligera

```
QPVLTQPPSL SVSPGQTASI TC5GEKLGDK YAYWYQQKPG QSPVVLVMYQD 50
KQRPSGIPER FSGSNNSNTA TLTIQSTQAM DEADYYCQAW DSSTAVERGG 100
TKLTVLGQPK AAPSVTLFPF SSEELQANKA TLVCLISDFY PGAVTVANKA 150
DSSPVKAGVE TTTPSKQSNN KYAAASYLSL TPEQWKSHRS YSCQVTHEGS 200
TVEKTVAPTE CS 212
```

Post-translational modifications

Disulfide bridges location / Position des ponts disulfure / Posiciones de los puentes disulfuro

Intra-H (C23-C104) 22-97 145-201 259-319 365-423

22"-97" 145"-201" 259"-319" 365"-423"

Intra-L (C23-C104) 22"-87" 134"-193"

22"-87" 134"-193"

Inter-H-L (CH1 10-CL 126) 132-211" 132"-211"

Inter-H-H (h 8, h 11) 224-224" 227-227"

N-glycosylation sites / Sites de N-glycosylation / Posiciones de N-glicosilación
H CH2 N84.4:
295,295"

Fucosylated complex bi-antennary CHO-type glycans / glycanes de type CHO bi-antennaires complexes fucosylés / glicanos de tipo CHO biantenarios complejos fucosilados

C-terminal lysine clipping:

H CHS K2:

445,445"

navafenterolum

navafenterol

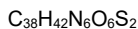
trans-4-[{3-[5-({[(2*R*)-2-hydroxy-2-(8-hydroxy-2-oxo-1,2-dihydroquinolin-5-yl)ethyl]amino}methyl)-1*H*-1,2,3-benzotriazol-1-yl]propyl}(methyl)amino]cyclohexyl hydroxydi(thiophen-2-yl)acetate
bronchodilator

navafentérol

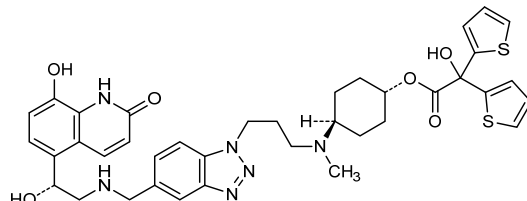
hydroxydi(thiophén-2-yl)acétate de *trans*-4-[{3-[5-({[(2*R*)-2-hydroxy-2-(8-hydroxy-2-oxo-1,2-dihydroquinolin-5-yl)éthyl]amino}méthyl)-1*H*-1,2,3-benzotriazol-1-yl]propyl}(methyl)amino]cyclohexyle
bronchodilateur

navafenterol

hidroxidi(tiofen-2-il)acetato de *trans*-4-[{3-[5-({[(2*R*)-2-hidroxi-2-oxo-1,2-dihidroquinolin-5-il]etil]amino}metil)-1*H*-1,2,3-benzotriazol-1-il]propil}(metil)amino)ciclohexilo
broncodilatador



1435519-06-4

**navocaftorum**

navocaftor

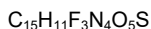
(5-{3-amino-5-[4-(trifluoromethoxy)benzene-1-sulfonyl]pyridin-2-yl}-1,3,4-oxadiazol-2-yl)methanol
cystic fibrosis transmembrane regulator (CFTR) protein modulator

navocaftor

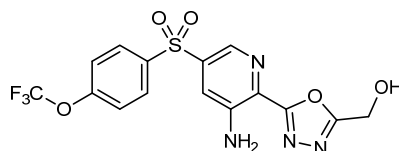
(5-{3-amino-5-[4-(trifluorométhoxy)benzène-1-sulfonyl]pyridin-2-yl}-1,3,4-oxadiazol-2-yl)méthanol
modulateur de la protéine régulatrice de la perméabilité transmembranaire impliquée dans la mucoviscidose (CFTR)

navocaftor

(5-{3-amino-5-[4-(trifluorometoxi)benceno-1-sulfonil]piridin-2-il}-1,3,4-oxadiazol-2-il)metanol
modulador de la proteína reguladora de la conductancia transmembrana de la fibrosis quística (CFTR)



2159103-66-7



nelonemdazum

nelonemdaz

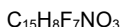
2-hydroxy-5-([2,3,5,6-tetrafluoro-4-(trifluoromethyl)phenyl]methyl)amino)benzoic acid
N-methyl-D-aspartate (NMDA) receptor antagonist

nélonemdaz

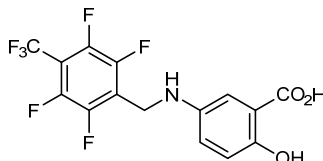
acide 2-hydroxy-5-([2,3,5,6-tétráfluoro-4-(trifluorométhyl)phényl]méthyl)amino)benzoïque
antagoniste des récepteurs du NMDA

nelonemdaz

ácido 2-hidroxi-5-([2,3,5,6-tetrafluoro-4-(trifluorometil)fenil]metil)amino)benzoico
antagonista del receptor de NMDA



640290-67-1

**nerindocianinum**

nerindocianine

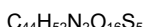
2-[(1*E*)-2-[3-((2*E*)-2-[3,3-dimethyl-5-sulfo-1-(4-sulfobutyl)-1,3-dihydro-2*H*-indol-2-ylidene]ethylidene)-2-(4-sulfophenoxy)cyclohex-1-en-1-yl]ethen-1-yl]-3,3-dimethyl-1-(4-sulfobutyl)-3*H*-indol-1-iun-5-sulfonate
fluorescent diagnostic contrast agent

nérindocianine

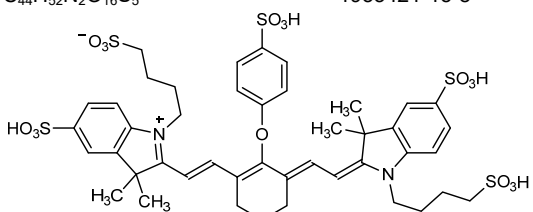
2-[(1*E*)-2-[3-((2*E*)-2-[3,3-diméthyl-5-sulfo-1-(4-sulfobutyl)-1,3-dihydro-2*H*-indol-2-ylidène]éthylidène)-2-(4-sulfophénoxy)cyclohex-1-én-1-yl]éthén-1-yl]-3,3-diméthyl-1-(4-sulfobutyl)-3*H*-indol-1-iun-5-sulfonate
substance fluorescente à usage diagnostique

nerindocianina

2-[(1*E*)-2-[3-((2*E*)-2-[3,3-dimetyl-5-sulfo-1-(4-sulfobutyl)-1,3-dihidro-2*H*-indol-2-ylideno]etilideno)-2-(4-sulfofenoxi)ciclohex-1-en-1-il]eten-1-il]-3,3-dimetyl-1-(4-sulfobutyl)-3*H*-indol-1-iun-5-sulfonato
agente de contraste fluorescente de diagnóstico



1933421-15-8

**nogapendekinum alfa #**

nogapendekin alfa

human interleukin 15 [72-aspartic acid] (human IL-15 N72>D isoform), produced in Chinese hamster ovary (CHO) cells, glycoform alfa
interleukin type substance

nogapendékine alfa	interleukine 15 humaine [72-acide aspartique] (IL-15 humaine, isoforme N72>D), produit par des cellules ovariennes de hamsters chinois (CHO), glycoforme alfa <i>dérivé de l'interleukine</i>
nogapendekina alfa	interleukina 15 humana [72-ácido aspártico] (IL-15 humana, isoforma N72>D), producido por las células ováricas de hamsters chinos (CHO), glicoforma alfa <i>derivado de la interleukina</i>

1622189-43-8

Sequence / Séquence / Secuencia:

NNVNIVISDLK KIEDLIQSMH IDATLYTESD VHPSCKVVTAM KCFLLELQVI 50
 SLESGDASIH DTVENLIIILA NDSLSSNGNV TESGCKECEE LEEKNIKEFL 100
 QSFVHVQMF INTS 114

Disulfide bridge locations / Positions des ponts disulfure / Posiciones de los puentes disulfuro
35-85, 42-88Glycosylation site (N) / Site de glycosylation (N) / Posición de glicosilación (N)
Asn-79 (partially)**numidargistatum**

numidargistat

(3R,4S)-3-amino-1-[(2S)-2-aminopropanoyl]-4-(3-boronopropyl)pyrrolidine-3-carboxylic acid
arginase inhibitor, antineoplastic

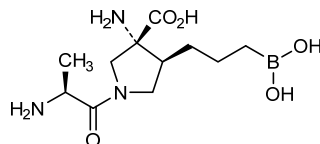
numidargistat

acide (3R,4S)-3-amino-1-[(2S)-2-aminopropanoyl]-4-(3-boronopropyl)pyrrolidine-3-carboxylique
inhibiteur de l'arginase, antinéoplasique

numidargistat

ácido (3R,4S)-3-amino-1-[(2S)-2-aminopropanoil]-4-(3-boronopropil)pirrolidina-3-carboxílico
*inhibidor de la arginasa, antineoplásico*C₁₁H₂₂BN₃O₅

2095732-06-0

**nurulimabum #**

nurulimab

immunoglobulin G1-kappa, anti-[*Homo sapiens* CTLA4 (cytotoxic T-lymphocyte associated protein 4, CTLA-4, CD152)], *Homo sapiens* monoclonal antibody; gamma1 heavy chain *Homo sapiens* (1-446) [VH (*Homo sapiens* IGHV3-30*01 (93.9%) -(IGHD) -IGHJ4*01 (100%)) [8.8.11] (1-118) -*Homo sapiens*IGHG1*01v, G1m17>G1m3, G1m1 (CH1 K120>R (215) (119-216), hinge 1-15 (217-231), CH2 (232-341), CH3 D12 (357), L14 (359) (342-446), CHS G1>del, K2>del) (119-446)], (221-215')-disulfide with kappa light chain *Homo sapiens* (1'-215') [V-KAPPA (*Homo sapiens* IGKV3-20*01 (97.9%) -IGKJ1*01 (100%)) [7.3.9] (1'-108') -*Homo sapiens* IGKC*01 (100%), Km3 A45.1 (154), V101 (192) (109'-215')]; dimer (227-227':230-230")-bisdisulfide, produced in Chinese Hamster Ovary (CHO)-K1-S cell line, glycoform alfa
immunomodulator, antineoplastic

nurulimab	immunoglobuline G1-kappa, anti-[<i>Homo sapiens</i> CTLA4 (protéine 4 associée aux lymphocytes T cytotoxiques, CTLA-4, CD152)], anticorps monoclonal <i>Homo sapiens</i> ; chaîne lourde gamma1 <i>Homo sapiens</i> (1-446) [VH (<i>Homo sapiens</i> IGHV3-30*01 (93.9%) -(IGHD) -IGHJ4*01 (100%)) [8.8.11] (1-118) - <i>Homo sapiens</i> IGHG1*01v, G1m17>G1m3, G1m1 (CH1 K120>R (215) (119-216), charnière 1-15 (217-231), CH2 (232-341), CH3 D12 (357), L14 (359) (342-446), CHS G1>del, K2>del) (119-446)], (221-215')-disulfure avec la chaîne légère kappa <i>Homo sapiens</i> ((1'-215') [V-KAPPA (<i>Homo sapiens</i> IGKV3-20*01 (97.9%) -IGKJ1*01 (100%)) [7.3.9] (1'-108') - <i>Homo sapiens</i> IGKC*01 (100%), Km3 A45.1 (154), V101 (192) (109'-215')]; dimère (227-227":230-230")-bisdisulfure, produit dans des cellules ovariennes de hamsters chinois (CHO) lignée cellulaire K1-S, glycoforme alfa immunomodulateur, antinéoplasique
nurulimab	inmunoglobulina G1-kappa, anti-[<i>Homo sapiens</i> CTLA4 (proteína 4 asociada con linfocitos T citotóxicas, CTLA-4, CD152)], anticuerpo monoclonal <i>Homo sapiens</i> ; cadena pesada gamma1 <i>Homo sapiens</i> (1-446) [VH (<i>Homo sapiens</i> IGHV3-30*01 (93.9%) -(IGHD) -IGHJ4*01 (100%)) [8.8.11] (1-118) - <i>Homo sapiens</i> IGHG1*01v, G1m17>G1m3, G1m1 (CH1 K120>R (215) (119-216), bisagra 1-15 (217-231), CH2 (232-341), CH3 D12 (357), L14 (359) (342-446), CHS G1>del, K2>del) (119-446)], (221-215')-disulfuro con la cadena ligera kappa <i>Homo sapiens</i> ((1'-215') [V-KAPPA (<i>Homo sapiens</i> IGKV3-20*01 (97.9%) -IGKJ1*01 (100%)) [7.3.9] (1'-108') - <i>Homo sapiens</i> IGKC*01 (100%), Km3 A45.1 (154), V101 (192) (109'-215')]; dímero (227-227":230-230")-bisdisulfuro, producido en las células ováricas de hamsters chinos (CHO) línea celular K1-S, glicoforma alfa inmunomodulador, antineoplásico

2168561-20-2

Heavy chain / Chaîne lourde / Cadena pesada

EVQVESGG VVQPGRSRLR SCAASGFTFS SYTMHWVRQA PGKGLEWVTF 50
 ISYDGNNKYV ADSSVKGRFTI SRDNISKNTLY QLMNSLRAED TAIYYCARTG 100
 WLGFDFYNGQ GTLVTVSSAS TKGPVSFPLA PSSKSTSGGT AALGCLVKYD 150
 FPEEVTVSNW SGALTSGVHT FPVALQSSLG YSLSSVVTYP SSSLTGTQYI 200
 CNVNHKPSNT KVDKRVEPKS CDKTHTCPPC PAPELLGGFS VFLFPKKFD 250
 TLMISRTEPV TCVVDDVSHE DPEVKENWYV DGVEVNNAKT KPREEQYNT 300
 YRVVSVLTL HQDWLNGKEY KCKVSNKALP APIEKTIKA KQQPREFQVY 350
 TLPPSRDDEL KNQVSLTCLV KGIFYPSDIAT EWESNGOPEN NYKTTPPVLD 400
 SDGSFFLYS LTVDKSRWQQ GNVFSCSVMY EALINHYTQK SLSLSP 446

Light chain / Chaîne légère / Cadena ligera

EIVLTQSPGT LSLSPGERAT LSCRASQSVG SSYLAWSYQQK PGQAPRLLIY 50
 GAFSRATGIP DRFGSGSGT DFLLTISRLE PEDFAVYICQ QYGSSPWTFG 100
 QGTKEVIRRT VAAFPSVIFP PSDEQQLKSGT ASVVCILLNNF YFREAKYQWK 150
 VDNALQSGNS QESVTEQDSEK DSTYSLSSTL TLSKADYEKH KVYACEVTHQ 200
 GLSSPVTKSF NRGECE 215

Post-translational modifications

Disulfide bridges location / Position des ponts disulfure / Posiciones de los puentes disulfuro
 Intra-H (C23-C104) 22-96 145-201 262-322 368-426

22"-96" 145"-201" 262"-322" 368"-426"

Intra-L (C23-C104) 23'-89' 135'-195'

23"-89" 135"-195"

Inter-H-L (h 5-CL 126) 221-215' 221"-215"

Inter-H-H (h 11, h 14) 227-227" 230-230"

N-glycosylation sites / Sites de N-glycosylation / Posiciones de N-glicosilación
 H CH2 N84.4:
 298, 298"

Fucosylated complex bi-antennary CHO-type glycans / glycanes de type CHO bi-antennaires complexes fucosylés / glicanos de tipo CHO biantenarios complejos fucosilados

obafistatum

obafistat

[8-(3-fluorobenzene-1-sulfonyl)-3,8-diazabicyclo[3.2.1]octan-3-yl](1H-1,2,3-triazol-4-yl)methanone
aldo-keto reductase AKR1C3 inhibitor

obafistat

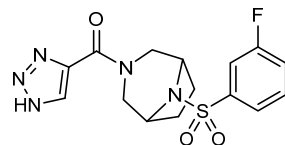
[8-(3-fluorobenzene-1-sulfonyl)-3,8-diazabicyclo[3.2.1]octan-3-yl](1H-1,2,3-triazol-4-yl)méthanone
inhibiteur de l'aldo-cétoréductase AKR1C3

obafistat

[8-(3-fluorobenceno-1-sulfonil)-3,8-diazabiciclo[3.2.1]octan-3-il](1H-1,2,3-triazol-4-il)metanona
inhibidor de la aldo-ceto reductasa AKR1C3

C15H16FN5O3S

2160582-57-8

**odesivimabum #**

odesivimab

immunoglobulin G1-kappa, anti-[*Zaire ebolavirus* (*Zaire Ebola virus* (EBOV)) envelope glycoprotein (GP)], *Homo sapiens* monoclonal antibody; gamma1 heavy chain *Homo sapiens* (1-448) [VH (*Homo sapiens* IGHV3-13*01 (100%) -(IGHD) -IGHJ4*01 (100%)) [8.7.12] (1-118) -*Homo sapiens* IGHG1*01 (100%) G1m17,1 (CH1 K120 (215) (119-216), hinge 1-15 (217-231), CH2 (232-341), CH3 D12 (357), L14 (359) (342-446), CHS (447-448)) (119-448)], (221-220')-disulfide with kappa light chain *Homo sapiens* (1'-220') [V-KAPPA (*Homo sapiens* IGKV4-1*01 (97.0%) -IGKJ4*01 (100%)) [12.3.9] (1'-113') -*Homo sapiens* IGKC*01 (100%), Km3 A45.1 (159), V101 (197) (114'-220')]; dimer (227-227":230-230")-bisdisulfide, produced in Chinese Hamster Ovary (CHO) cells, glycoform alfa *immunomodulator, antiviral*

odésivimab

immunoglobuline G1-kappa, anti-[glycoprotéine d'enveloppe (GP) de *Zaire ebolavirus* (virus Ebola Zaïre (EBOV))], anticorps monoclonal *Homo sapiens*; chaîne lourde gamma1 *Homo sapiens* (1-448) [VH (*Homo sapiens* IGHV3-13*01 (100%) -(IGHD) -IGHJ4*01 (100%)) [8.7.12] (1-118) -*Homo sapiens* IGHG1*01 (100%) G1m17,1 (CH1 K120 (215) (119-216), charnière 1-15 (217-231), CH2 (232-341), CH3 D12 (357), L14 (359) (342-446), CHS (447-448)) (119-448)], (221-220')-disulfure avec la chaîne légère kappa *Homo sapiens* (1'-220') [V-KAPPA (*Homo sapiens* IGKV4-1*01 (97.0%) -IGKJ4*01 (100%)) [12.3.9] (1'-113') -*Homo sapiens* IGKC*01 (100%), Km3 A45.1 (159), V101 (197) (114'-220')]; dimère (227-227":230-230")-bisdisulfure, produit dans des cellules ovaries de hamsters chinois (CHO), glycoforme alfa *immunomodulateur, antiviral*

odesivimab

inmunoglobulina G1-kappa, anti-[glicoproteína de envoltura (GP) de *Zaire ebolavirus* (virus Ebola Zaire (EBOV))], anticuerpo monoclonal *Homo sapiens*; cadena pesada gamma1 *Homo sapiens* (1-448) [VH (*Homo sapiens* IGHV3-13*01 (100%) -(IGHD) -IGHJ4*01 (100%)) [8.7.12] (1-118) -*Homo sapiens* IGHG1*01 (100%) G1m17.1 (CH1 K120 (215) (119-216), bisagra 1-15 (217-231), CH2 (232-341), CH3 D12 (357), L14 (359) (342-446), CHS (447-448)) (119-448)], (221-220')-disulfuro con la cadena ligera kappa *Homo sapiens* (1'-220') [V-KAPPA (*Homo sapiens* IGKV4-1*01 (97.0%) -IGKJ4*01 (100%)) [12.3.9] (1'-113') -*Homo sapiens* IGKC*01 (100%), Km3 A45.1 (159), V101 (197) (114'-220')]; dímero (227-227":230-230")-bisdisulfuro, producido en las células ováricas de hamsters chinos (CHO), glicoforma alfa *inmunomodulador, antiviral*

2135632-30-1

Heavy chain / Chaîne lourde / Cadena pesada

EVQLVESGGG LVQPGGSLRL SCAASGFTTS SYDMHWVRQA TGKGLEWSA 50
IGTAGDTYPP GSVKGRFTIS RENAKNSILY QMNSLRAGDT AVYYCARTWF 100
GELYFDYWQQ GTLTVTSSA TKGPSVPLA PSSKSTSGGT AALGCLVKDY 150
FPEEPVTWSWN SGALTSGVHT FFAVLQSGSL YSSLSSVVTVP SSSLGTTQTYI 200
CNVNHKPSNT VDKDKVEEKS CDTKHTCPCC PAPELLGGPQ VFLLFPKPKD 250
TLMISRTPFEV TCVVVDDVSHE DPEVKFNWVY DGVEVHNAKTY KFREEQYNST 300
YRVVSVLTTL HQDWLNGKEY KCKVSKNALK APIERKTISKA QKOPREPQVY 350
TLPSPSDELT KNQVSLTCLV KGFPYPSDIV EWESNGQPN NYKTPPVLD 400
SDGSFFLYSK LTVDKSRWQQ GNVFSCVMH EALHNHYTQK SLSLSPKG 448

Light chain / Chaîne légère / Cadena ligera

DIVMTQSPDS LAVSLGERAT INCKSSQSVL YSSNNKNYLA WYQQKPGQPP 50
KLLIYTWAISTR ESGVDPDRFSG SGSCSTEFILT ITSLSQAEVDA VYYCQQYSS 100
PLTFGGGTKV EIKRTVVAAPS VFIFPPPSDEQ LKSGTASVVC LLNNEFYPERA 150
KVQWKVDNAL QSGNSQESVT EQDSKDSTYS LSSTLTLASKA DIERHKVYAC 200
EVTHQGLSSP VTKEFSNRGEC 220

Post-translational modifications

Disulfide bridges location / Position des ponts disulfure / Posiciones de los puentes disulfuro
Intra-H (C23-C104) 22"-95" 145"-201" 262"-322" 368"-426"
22"-95" 145"-201" 262"-322" 368"-426"
Intra-L (C23-C104) 23"-94" 140"-200"
23"-94" 140"-200"
Inter-H-L (h 5-CL 126) 221-220" 221"-220"
Inter-H-H (h 11, h 14) 227-227" 230-230"

N-glycosylation sites / Sites de N-glycosylation / Posiciones de N-glicosilación

H CH2 N84.4:

298, 298"

Fucosylated complex bi-antennary CHO-type glycans / glycanes de type CHO bi-antennaires complexes fucosylés / glicanos de tipo CHO biantenarios complejos fucosilados

odronextamab

odronextamab

immunoglobulin G4-kappa, anti-[*Homo sapiens* MS4A1 (membrane-spanning 4-domains subfamily A member 1, CD20)] and anti-[*Homo sapiens* CD3E (CD3 epsilon)], *Homo sapiens* monoclonal antibody, bispecific; gamma4 heavy chain *Homo sapiens* anti-MS4A1 (1-453) [VH (*Homo sapiens* IGHV3-9*01 (94.9%) -(IGHD) -IGHJ6*01 (95.0%)) [8.8.20] (1-127) -*Homo sapiens* IGHG4*01 (CH1 (128-225), hinge 1-12 S10>P (235) (226-237), CH2 EF(1.4-1.3)>P (240), L1.2>V(241), G1.1>A (242) (238-346), CH3 (347-451), CHS (452-453)) (128-453)], (141-214')-disulfide with kappa light chain *Homo sapiens* (1'-214') [V-KAPPA (*Homo sapiens* IGKV3-15*01 (97.9%) -IGKJ4*01 (100%)) [6.3.9] (1'-107') -*Homo sapiens* IGKC*01 (100%) Km3 A45.1 (153), V101 (191) (108'-214')],

gamma4 heavy chain *Homo sapiens* anti-CD3E (1"-449") [VH (*Homo sapiens* IGHV3-9*01 (98.0%) -(IGHD) -IGHJ6*01 (89.5%)) [8.8.16] (1"-123") -*Homo sapiens* IGHG4*01 (CH1 (124-221), hinge 1-12 S10>P (231) (222"-233"), CH2 EF(1.4-1.3)>P (236), L1.2>V(237), G1.1>A (238) (234"-342"), CH3 H115>R (437), Y116>F(438) (343"-447"), CHS (448-449) (124"-449")], (137"-214")-disulfide with kappa light chain *Homo sapiens* (1"-214") [V-KAPPA (*Homo sapiens* IGKV3-15*01 (97.9%) -IGKJ4*01 (100%)) [6.3.9] (1""-107") -*Homo sapiens* IGKC*01 (100%) Km3 A45.1 (153), V101 (191) (108""-214")]; dimer (233-229":236-232")-bisdisulfide, produced in Chinese Hamster Ovary (CHO) cells, glycoform alfa
immunomodulator, antineoplastic

odronextamab

immunoglobuline G4-kappa, anti-[*Homo sapiens* MS4A1 (membre 1 de la sous-famille A à 4 domaines transmembranaires, CD20)] et anti-[*Homo sapiens*CD3E (CD3 epsilon)], anticorps monoclonal *Homo sapiens* bispécifique; chaîne lourde gamma4 *Homo sapiens* anti-MS4A1 (1-453) [VH (*Homo sapiens* IGHV3-9*01 (94.9%) -(IGHD) -IGHJ6*01 (95.0%)) [8.8.20] (1-127) -*Homo sapiens* IGHG4*01 (CH1 (128-225), charnière 1-12 S10>P (235) (226-237), CH2 EF(1.4-1.3)>P (240), L1.2>V(241), G1.1>A (242) (238-346), CH3 (347-451), CHS (452-453)) (128-453)], (141-214")-disulfure avec la chaîne légère kappa *Homo sapiens* (1'-214') [V-KAPPA (*Homo sapiens* IGKV3-15*01 (97.9%) -IGKJ4*01 (100%)) [6.3.9] (1'-107') -*Homo sapiens* IGKC*01 (100%) Km3 A45.1 (153), V101 (191) (108'-214')]; chaîne lourde gamma4 *Homo sapiens* anti-CD3E (1"-449") [VH (*Homo sapiens* IGHV3-9*01 (98.0%) -(IGHD) -IGHJ6*01 (89.5%)) [8.8.16] (1"-123") -*Homo sapiens* IGHG4*01 (CH1 (124-221), charnière 1-12 S10>P (231) (222-233), CH2 EF(1.4-1.3)>P (236), L1.2>V(237), G1.1>A (238) (234-342), CH3 H115>R (437), Y116>F(438) (343-447), CHS (448-449) (124"-449")], (137"-214")-disulfure avec la chaîne légère kappa *Homo sapiens* (1"-214") [V-KAPPA (*Homo sapiens* IGKV3-15*01 (97.9%) -IGKJ4*01 (100%)) [6.3.9] (1"-107") -*Homo sapiens* IGKC*01 (100%) Km3 A45.1 (153), V101 (191) (108"-214")]; dimère (233-229":236-232")-bisdisulfure, produit dans des cellules ovariennes de hamsters chinois (CHO), glycoforme alfa
immunomodulateur, antinéoplasique

odronextamab

inmunoglobulina G4-kappa, anti-[*Homo sapiens* MS4A1 (miembro 1 de la sub-familia A de 4 dominios transmembranarios, CD20)] y anti-[*Homo sapiens*CD3E (CD3 epsilon)], anticuerpo monoclonal *Homo sapiens* biespecífico; cadena pesada gamma4 *Homo sapiens* anti-MS4A1 (1-453) [VH (*Homo sapiens* IGHV3-9*01 (94.9%) -(IGHD) -IGHJ6*01 (95.0%)) [8.8.20] (1-127) -*Homo sapiens* IGHG4*01 (CH1 (128-225), bisagra 1-12 S10>P (235) (226-237), CH2 EF(1.4-1.3)>P (240), L1.2>V(241), G1.1>A (242) (238-346), CH3 (347-451), CHS (452-453)) (128-453)], (141-214")-disulfuro con la cadena ligera kappa *Homo sapiens* (1'-214') [V-KAPPA (*Homo sapiens* IGKV3-15*01 (97.9%) -IGKJ4*01 (100%)) [6.3.9] (1'-107') -*Homo sapiens* IGKC*01 (100%) Km3 A45.1 (154), V101 (191) (108'-214')];

cadena pesada gamma4 *Homo sapiens* anti-CD3E (1"-449") [VH (*Homo sapiens* IGHV3-9*01 (98.0%) - (IGHD) -IGHJ6*01 (89.5%)) [8.8.16] (1"-123") -*Homo sapiens* IGHG4*01 (CH1 (124-221), bisagra 1-12 S10>P (231) (222-233), CH2 EF(1.4-1.3)>P (236), L1.2>V(237), G1.1>A (238) (234-342), CH3 H115>R (437), Y116>F(438) (343-447), CHS (448-449)) (124"-449")], (137"-214")-disulfuro con la cadena ligera kappa *Homo sapiens* (1"-214") [V-KAPPA (*Homo sapiens* IGKV3-15*01 (97.9%) -IGKJ4*01 (100%)) [6.3.9] (1"-107") -*Homo sapiens* IGKC*01 (100%) Km3 A45.1 (153), V101 (191) (108"-214")]; dímero (233-229":236-232")-bisdisulfuro, producido en las células ováricas de hamsters chinos (CHO), glicoforma alfa *imunomodulador, antineoplásico*

1801338-64-6

Heavy chain / Chaîne lourde / Cadena pesada (anti-CD20)

EVQLVESGGG LVQPGRLSLRL SCAASGFTEN DYAMHWVRQA PGKGLEWVSV 50
 ISWNSSDSIGY ADSVKGRFTI SRDNAAKNSLY LQMHSLRAED TALYYCAKDN 100
 HYGSGSYYYY QYGMGVNGQG TTIVTVSSAST KGPSPVPLAP CSRSTSESTA 150
 ALGCLVKDYF PEPVTWVNSN GALTSGVHTF PAVLQSSGLY SLSSVVITVPS 200
 SSLGKTTCYTIC NVDHKPSNTK VDKRVESYKG PPCPPCPAPP VAGPSVFLFP 250
 PPKKDITLMS RPEVTCVTVV DVSQEDEPVQ FNWYVDGVEVHNAKTKPKEFREE 300
 QFNSTYRVVS VLTVLHQDWL NGKEYKCKVS NKGLPSSIEK TISAKGQPR 350
 EPQVYTLPLPS QEEMTKNQVS LTCLVKGFYP SDIAWEWESEN QQPENNYKTT 400
 FPVLDSDGSF FLYSRLTVDR SRWQEGNVFS CSVMEHALHN HYTQKSLSLS 450
 LGK 453

Heavy chain / Chaîne lourde / Cadena pesada (anti-CD3)

EVQLVESGGG LVQPGRLSLRL SCAASGFTFD DYTMHWVRQA PGKGLEWVSV 50
 ISWNSSGSIIGY ADSVKGRFTI SRDNAAKNSLY LQMNSLRAED TALYYCAKDN 100
 SGYGHYYGGH DWVGCGGTVTI VASASTKGPS VFVFLAPCRS TSESTAAALGC 150
 LVKDYFPEPV TVSNWSGALT SGVHTPPAVL QSSGLYSLSS VTVTPSSLL 200
 TKTYTCNDVH KPSNTKVUDKR VESKYKGPCP PCPAPVAGP SVFLFPKP 250
 DTLMISRPTV AAPSVFVIFPP SDEQLEKSGTA SVVCLLNNFY PREAKVQWKV 300
 TYRVVSVLTV LHQDWLNGKE YKCKVSNKGL PSSIEKTISK AKGQPRPQV 350
 YTLPPSQEEM TKNQVSLTCL VKGFYPSDIA VEWESENQPE NNYKTTPV 400
 DSDGSFPLYS RLTVDKSLRWQ EGNFVSCSVN HEALHNRTQ KSLSLSLGK 449

Light chain / Chaîne légère / Cadena ligera

EIVMTQSPAT LSVPSPGERAT LSCRASQSVS SNLAWYQQKP QGAPRLLIY 50
 ASTRATGIPA RFSGSGSGTE FTILTISLQS EDFAVYYCQH YINWPLTFGG 100
 GTKVEIKRTV AAPSVFVIFPP SDEQLEKSGTA SVVCLLNNFY PREAKVQWKV 150
 DNALQSGNSQ ESVTEQDSKD STYSLSSLT LSKADYEKHK VYACEVTHQG 200
 LSSPVTKSFN RGEC 214

Post-translational modifications

Disulfide bridges location / Position des ponts disulfure / Posiciones de los puentes disulfuro
 Intra-H (C23-C104) 22-96 154-210 267-327 373-431
 22"-96" 150"-206" 263"-323" 369"-427"
 Intra-L (C23-C104) 23"-88" 134"-194"
 23"-88"" 134"-194"
 Inter-H-L (CH1 10-CL 126) 141-214" 137"-214"
 Inter-H-H (h 8, h 11) 233-229" 236-232"

N-glycosylation sites / Sites de N-glycosylation / Posiciones de N-glicosilación

H CH2 N84.4:

303, 299"

Fucosylated complex bi-antennary CHO-type glycans / glycanes de type CHO bi-antennaires complexes fucosylés / glicanos de tipo CHO biantenarios complejos fucosilados

olafertinibum**olafertinib**

N-[3-(2-{2,3-difluoro-4-[4-(2-hydroxyethyl)piperazin-1-yl]anilino}quinazolin-8-yl)phenyl]prop-2-enamide
tyrosine kinase inhibitor, antineoplastic

olafertinib

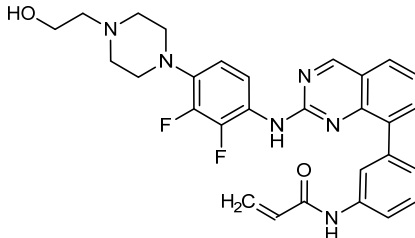
N-[3-(2-{2,3-difluoro-4-[4-(2-hydroxyéthyl)pipérazin-1-yl]anilino}quinazolin-8-yl)phényl]prop-2-énamide
inhibiteur de la tyrosine kinase, antinéoplasique

olafertinib

*N-[3-(2-{2,3-difluoro-4-[4-(2-hidroxietil)piperazin-1-il]anilino)quinazolin-8-il}fenil]prop-2-enamida
inhibidor de la tirosina quinasa, antineoplásico*

C29H28F2N6O2

1660963-42-7

**olitresgenum autoleucelum #**

olitresgene autoleucel

autologous CD4+ and CD8+ T cells, transduced with a non-replicating human immunodeficiency virus (HIV)-derived self-inactivating (SIN) vector that comprises a 5' LTR (RSV*-R-U5) and a 3' U3 deleted LTR (U5-R-HIV-1Delta 3'LTR), encoding a MAGEA10 (MAGE family member A10, MAGE-10 antigen, melanoma antigen family A10) specific T cell receptor (TCR), under the control of elongation factor 1 alpha (EF1a) promoter. The vector is pseudotyped with vesicular stomatitis virus glycoprotein-G (VSV-G).

* RSV: Rous sarcoma virus
cell therapy (antineoplastic)

olitresgène autoleucel

lymphocytes T CD4+ et CD8+ autologues, transduits par un vecteur auto-inactivant (SIN), non-répliquant, dérivé du virus de l'immunodéficience humaine (VIH), contenant une séquence LTR (terminale longue répétée) en 5' (RSV*-R-U5) et une séquence LTR dont le domaine U3 est supprimé (U5-R-VIH-1Delta 3'LTR), et qui code pour un récepteur des lymphocytes T (TCR) spécifique du MAGEA10 (membre A10 de la famille MAGE, antigène MAGE-10, famille des antigens de mélanome A10), sous le contrôle d'un promoteur du facteur d'elongation alpha 1 (EF1a). Le vecteur est pseudotypé avec la glycoprotéine G de l'enveloppe de la stomatite vésiculaire (VSV-G).

* RSV: virus du sarcome de Rous
thérapie cellulaire (antineoplastique)

olitresgén autoleucel

linfocitos T CD4+ y CD8+ autólogos, transducidos con un vector auto-inactivante (SIN), no replicativo, derivado del virus de la inmunodeficiencia humana(VIH), que contiene una LTR en 5' (RSV*-R-U5) y una LTR con U3 delecionada en 3' (U5-R-HIV-1Delta 3'LTR), y que codifica para un receptor de linfocitos T (TCR) específico para MAGEA10 (miembro A10 de la familia MAGE, antigénio MAGE-10, familia de antígenos de melanoma A10), bajo el control del promotor del factor de elongación alfa 1 (EF1a). El vector está seudotipado con la glicoproteína G del virus de la estomatitis vesicular (VSV-G).

* RSV: virus del sarcoma de Rous
terapia celular (antineoplásico)

olpasiranum

olpasiran

*all-P-ambo-5'-O-((2S,3S)-39-[(2-acetamido-2-deoxy- β -D-galactopyranosyl)oxy]-25,30-bis([2-{2-[(2-acetamido-2-deoxy- β -D-galactopyranosyl)oxy]ethoxy}ethyl]carbamoyl)-1-hydroxy-23,28,33-trioxa-1-sulfanylidiene-2,5,8,11,14,17,20,37-octaoxa-24,29,34-triaza-1- λ^5 -phosphonatriacontan-1-yl)-2'-O-methyl-P-thiocytidyl-(3'→5')-2'-O-methyladenylyl-(3'→5')-2'-O-methylguanylyl-(3'→5')-2'-O-methylcytidylyl-(3'→5')-2'-O-methylcytidylyl-(3'→5')-2'-O-methylcytidylyl-(3'→5')-2'-O-methyluridyl-(3'→5')-2'-deoxy-2'-fluorouridyl-(3'→5')-2'-deoxy-2'-fluorouridyl-(3'→5')-2'-O-methyluridyl-(3'→5')-2'-O-methylguanylyl-(3'→5')-2'-O-methyluridyl-(3'→5')-2'-O-methyluridyl-(3'→5')-2'-O-methyladenylyl-(3'→5')-2'-O-methyluridyl-(3'→5')-2'-O-methyladenylyl-(3'→5')-2'-O-methylcytidylyl-(3'→5')-2'-O-methyl-P-thioguananyl-(3'→3')-2'-deoxyadenosine duplex with all-P-ambo-2'-O-methyl-P-thioguanyl-(5'→3')-2'-deoxy-2'-fluoro-P-thiouridyl-(5'→3')-2'-O-methylcytidyl-(5'→3')-2'-deoxy-2'-fluoroguananyl-(5'→3')-2'-O-methylguanylyl-(5'→3')-2'-deoxy-2'-fluoroguanyl-(5'→3')-2'-O-methylguanylyl-(5'→3')-2'-deoxy-2'-fluoroadenylyl-(5'→3')-2'-O-methyladenylyl-(5'→3')-2'-deoxy-2'-fluorouridyl-(5'→3')-2'-O-methyladenylyl-(5'→3')-2'-O-methylcytidyl-(5'→3')-2'-O-methyladenylyl-(5'→3')-2'-O-methyladenylyl-(5'→3')-2'-deoxy-2'-fluorouridyl-(5'→3')-2'-O-methyl-P-thioguananyl-(5'→3')-2'-deoxy-2'-fluoro-P-thiocytidyl-(5'→3')-2'-O-methyluridine
*antiatherosclerosis**

antiatherosclerosis

olpasiran

*tout-P-ambo-5'-O-[(2S,30S)-39-[(2-acétamido-2-désoxy-β-D-galactopyranosyl)oxy]-25,30-bis([2-{2-[(2-acétamido-2-désoxy-β-D-galactopyranosyl)oxy]éthoxy}carbamoyl]-1-hydroxy-23,28,33-trioxo-1-sulfanylidiène-2,5,8,11,14,17,20,37-octaoxa-24,29,34-triaza-1λ⁵-phosphonatricacontan-1-yl]-2'-O-méthyl-P-thiocytidyl-3'→5')-2'-O-méthyladénylyl-3'→5')-2'-O-méthylguanylyl-3'→5')-2'-O-méthylcytidyl-3'→5')-2'-O-méthylcytidyl-3'→5')-2'-O-méthyluridyl-3'→5')-2'-désoxy-2'-fluorouridyl-3'→5')-2'-désoxy-2'-fluoroadénlyl-3'→5')-2'-désoxy-2'-fluorouridyl-3'→5')-2'-O-méthyluridyl-3'→5')-2'-O-méthylguanylyl-3'→5')-2'-O-méthyluridyl-3'→5')-2'-O-méthyluridyl-3'→5')-2'-O-méthyladénylyl-3'→5')-2'-O-méthyluridyl-3'→5')-2'-O-méthyladénylyl-3'→5')-2'-O-méthylcytidyl-3'→5')-2'-O-méthyl-P-thioguanlyl-3'→3')-2'-désoxyadénosine duplex avec *tout-P-ambo-2'-O-méthyl-P-thioguanlyl-(5'→3')-2'-désoxy-2'-fluoro-P-thiouridyl-(5'→3')-2'-O-méthylcytidyl-(5'→3')-2'-désoxy-2'-fluoroguanlyl-(5'→3')-2'-O-méthylguanylyl-(5'→3')-2'-désoxy-2'-fluoroguanlyl-(5'→3')-2'-O-méthylguanylyl-(5'→3')-2'-désoxy-2'-fluoroadénlyl-(5'→3')-2'-O-méthyladénylyl-(5'→3')-2'-désoxy-2'-fluorouridyl-(5'→3')-2'-O-méthyladénylyl-(5'→3')-2'-O-méthyladénylyl-(5'→3')-2'-désoxy-2'-fluorouridyl-(5'→3')-2'-O-méthyladénylyl-(5'→3')-2'-désoxy-2'-fluorouridyl-(5'→3')-2'-O-méthyl-P-thioguanlyl-(5'→3')-2'-désoxy-2'-fluoro-P-thiocytidyl-5'→3')-2'-O-méthyluridyl**

olpasirán

C₄₉₀H₆₅₂F₁₁N₁₆₄O₃₀₆P₄₁S₇

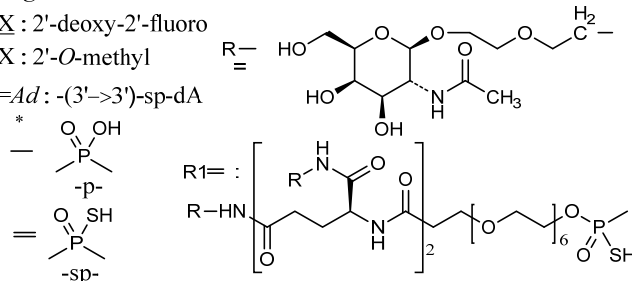
2225856-03-9

Legend

X : 2'-deoxy-2'-fluoro

X: 2'-O-methyl

$\equiv Ad \cdot -(3' \rightarrow 3')\text{-sp-}dA$



omidubicelum

omidubicel

allogeneic human umbilical cord blood-derived hematopoietic CD34+ progenitor cells, *ex-vivo* expanded in the presence of nicotinamide and cytokines.

cell therapy (stem cell transplantation)

omidubicel

cellules progénitrices hématopoïétiques CD34+ humaines, allogéniques, dérivées du sang de cordon ombilical, en culture d'expansion *ex vivo*, en présence de nicotinamide et de cytokines. *thérapie cellulaire (greffe de cellules souches)*

omidubicel

células progenitoras hematopoyéticas CD34+ alogénicas, humanas, derivadas de sangre de cordón umbilical, expandidas *ex vivo* en presencia de nicotinamida y citocinas.
terapia celular (transplante de células madres)

onvansertibum

onvansertib

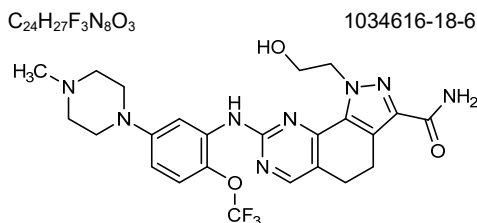
1-(2-hydroxyethyl)-8-[5-(4-methylpiperazin-1-yl)-2-(trifluoromethoxy)anilino]-4,5-dihydro-1*H*-pyrazolo[4,3-*h*]quinazoline-3-carboxamide
antineoplastic

onvansertib

1-(2-hydroxyéthyl)-8-[5-(4-méthylpipérazin-1-yl)-2-(trifluorométhoxy)anilino]-4,5-dihydro-1*H*-pyrazolo[4,3-*h*]quinazoline-3-carboxamide
antinéoplasique

onvansertib

1-(2-hidroxietil)-8-[5-(4-metilpiperazin-1-il)-2-(trifluorometoxi)anilino]-4,5-dihidro-1*H*-pirazolo[4,3-*h*]quinazolina-3-carboxamida
antineoplásico

**orismilastum**

orismilast

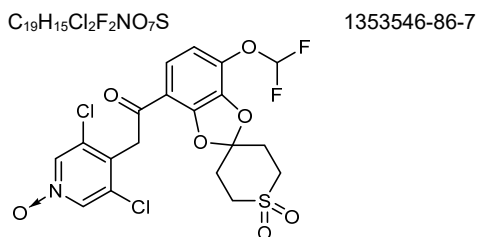
3,5-dichloro-4-{2-[7-(difluoromethoxy)-1',1'-dioxo-1'λ⁶-spiro[[1,3]benzodioxole-2,4'-thian]-4-yl]-2-oxoethyl}pyridine 1-oxide
phosphodiesterase IV inhibitor

orismilast

1-oxyde de 3,5-dichloro-4-{2-[7-(difluorométhoxy)-1',1'-dioxo-1'λ⁶-spiro[[1,3]benzodioxole-2,4'-thian]-4-yl]-2-oxoéthyl}pyridine
inhibiteur de la phosphodiesterase IV

orismilast

1-óxido de 3,5-dicloro-4-{2-[7-(difluorometoxi)-1',1'-dioxo-1'λ⁶-spiro[[1,3]benzodioxol-2,4'-tian]-4-il]-2-oxoetil}piridina
inhibidor de la fosfodiesterasa IV

**otenaproxesulum**

otenaproxesul

4-carbamothioylphenyl (2*S*)-2-(6-methoxynaphthalen-2-yl)propanoate
non-steroidal anti-inflammatory

oténaproxésul	(2S)-2-(6-méthoxynaphtalén-2-yl)propanoate de 4-carbamothioylphényle <i>anti-inflammatoire non-stéroïdien</i>
otenaproxesul	(2S)-2-(6-metoxinaftalen-2-il)propanoato de 4-carbamotioilfenilo <i>antiinflamatorio no esteroideo</i>
	C ₂₁ H ₁₉ NO ₃ S 1000700-29-7
pacmilimabum # pacmilimab	immunoglobulin G4-kappa, anti-[<i>Homo sapiens</i> CD274 (programmed cell death 1 ligand 1, B7H1, B7-H1, PDL1, PD-L1, PDCD1L1, B7 homolog 1, B7 homologue 1)], <i>Homo sapiens</i> monoclonal antibody; gamma4 heavy chain <i>Homo sapiens</i> (1-442) [VH (<i>Homo sapiens</i> IGHV3-23*01 (92.9%) -(IGHD) - IGHJ4*01 (100%)) [8.8.9] (1-116) - <i>Homo sapiens</i> IGHG4*01 (CH1 (117-214), hinge 1-12 S10>P (224) (215-226), CH2 (227-336), CH3 (337-441), CHS K2>del (442)) (117-442)], (130-264')-disulfide with kappa light chain <i>Homo sapiens</i> (1'-264') [N-terminal region (1'-21') -13-mer linker (22'-34') -protease cleavable region (35'-47') -3-mer linker (48'-50') -V-KAPPA (<i>Homo sapiens</i> IGKV1-39*01 (95.8%) -IGKJ4*01 (100%)) [6.3.9] (51'-157') - <i>Homo sapiens</i> IGKC*01 (100%), Km3 A45.1 (203), V101 (241) (158'-264')]; dimer (222-222":225-225")-bisdisulfide, produced in Chinese Hamster Ovary (CHO)-derived cell line, glycoform alfa <i>immunomodulator, antineoplastic</i>
pacmilimab	immunoglobuline G4-kappa, anti-[<i>Homo sapiens</i> CD274 (ligand 1 de mort programmée, B7H1, B7-H1, PDL1, PD-L1, PDCD1L1, homologue 1 de B7)], anticorps monoclonal <i>Homo sapiens</i> ; chaîne lourde gamma4 <i>Homo sapiens</i> (1-442) [VH (<i>Homo sapiens</i> IGHV3-23*01 (92.9%) -(IGHD) - IGHJ4*01 (100%)) [8.8.9] (1-116) - <i>Homo sapiens</i> IGHG4*01 (CH1 (117-214), charnière 1-12 S10>P (224) (215-226), CH2 (227-336), CH3 (337-441), CHS K2>del (442)) (117-442)], (130-264')-disulfure avec la chaîne légère kappa <i>Homo sapiens</i> ((1'-264') [région N-terminale (1'-21') -13-mer linker (22'-34') -région clivable par des protéases (35'-47') -3-mer linker (48'-50') -V-KAPPA (<i>Homo sapiens</i> IGKV1-39*01 (95.8%) -IGKJ4*01 (100%)) [6.3.9] (51'-157') - <i>Homo sapiens</i> IGKC*01 (100%), Km3 A45.1 (203), V101 (241) (158'-264')]; dimère (222-222":225-225")-bisdisulfure, produite dans une lignée cellulaire dérivée des cellules ovariennes de hamsters chinois (CHO), glycoforme alfa <i>immunomodulateur, antinéoplasique</i>

pacmilimab

inmunoglobulina G4-kappa, anti-[*Homo sapiens* CD274 (ligano 1 de muerte programada, B7H1, B7-H1, PDL1, PD-L1, PDCD1L1, homólogo 1 de B7)], anticuerpo monoclonal *Homo sapiens*; cadena pesada gamma4 *Homo sapiens* (1-442) [VH (*Homo sapiens*IGHV3-23*01 (92.9%) -(IGHD) -IGHJ4*01 (100%)) [8.8.9] (1-116) -*Homo sapiens*IGHG4*01 (CH1 (117-214), bisagra 1-12 S10>P (224) (215-226), CH2 (227-336), CH3 (337-441), CHS K2>del (442)) (117-442)], (130-264')-disulfuro con la cadena ligera kappa *Homo sapiens* ((1'-264') [región N-terminal (1'-21') -conector 13-mer (22'-34') -región escindible por las proteasas (35'-47') -conector 3-mer (48'-50') -V-KAPPA (*Homo sapiens*IGKV1-39*01 (95.8%) -IGKJ4*01 (100%)) [6.3.9] (51'-157') -*Homo sapiens*IGKC*01 (100%), Km3 A45.1 (203), V101 (241) (158'-264')]; dímero (222-222":225-225")-bisdisulfuro, producido en una línea celular derivada de las células ováricas de hamsters chinos (CHO), glicoforma alfa
inmunomodulador, antineoplásico

2145091-51-4

Heavy chain / Chaîne lourde / Cadena pesada

EVQVLESGGG	LVPQPGSLRL	SCAASGFTES	SYAMMSWVRQA	PGKGLEVNVS	50
IWRNGIVTVY	ADSVKGRFTI	SRDNNSKNTLY	LQMNSLRAED	TAVYYCAKWS	100
AAFDYWGQT	LTVVSSASTR	GPSVFLAPC	SRSITSESTAA	LGCLVKRDYFP	150
EPVTVSWNSL	ALTGSVHTFP	AVLQSSGLYS	LSSVVTVFSS	SLGTKTYYTCN	200
VDHKPSENTKV	DKRVESKYGP	PCPPCPAPEF	LGGPSVFLFP	PKPKDITLMIS	250
RTPEVTCVVF	DVSEQEDPEVQ	FNWVVGHEVNE	HNAKTKPREE	QFNSTYRVVS	300
VLTVLHQDWL	NGKEYKCKVS	NKGLLPSIEK	TISKAKGQPR	EFQVYTLPPS	350
QEEMTKNQVS	LTCIVKGFYYP	SDIAVEMEWSN	GQFENNYKTT	PFVLDSDGSF	400
FLYSRLTVDDA	SRWQEGNVFS	CSVVMHEALR	HYTQKSLSLS	LG	442

Light chain / Chaîne légère / Cadena ligera

QQGSQSGGIAL	CPSHFCLQPQ	TGGGSSGGSG	GSGGISSQLL	SGRSNDNHGGS	50
DIQMTQSPSS	LSASVGDRTV	ITCRASQSQIS	SYLNWYQQKP	GKAPKLLIYA	100
ASSLQSGVPS	RFGSGGGSTD	FTLTISSTLQP	EDFATYYCQQ	DNGYGSTFEG	150
GTKVEIKRTV	AAPSVFIFPP	SDEQLKSGTA	SVVCLNNFYV	PREAKVQWKV	200
DNALQSGNSQ	ESVTEQDSKD	STYLSLSSLT	LSKADYEKKH	VYACEVTHOG	250
LSSPVTKSFN	RGECE				264

Post-translational modifications

Disulfide bridges location / Position des ponts disulfure / Posiciones de los puentes disulfuro
 Intra-H (C23-C104) 22-96 143-199 257-317 363-421
 22"-96" 143"-199" 257"-317" 363"-421"
 Intra-L (C23-C104) 73"-138" 184"-244"
 73"-138" 184"-244"
 Intra-L N-terminal region 11"-16" 11"-16"
 Inter-H-L (CH1 10-CL 126) 130-264" 130"-264"
 Inter-H-H (h 8, h 11) 222-222" 225-225"

N-glycosylation sites / Sites de N-glycosylation / Posiciones de N-glicosilación

H CH2 N84.4:

293, 293"

Fucosylated complex bi-antennary CHO-type glycans / glycanes de type CHO bi-antennaires complexes fucosylés / glicanos de tipo CHO biantenarios complejos fucosilados

paltusotinum
paltusotide

3-[4-(4-aminopiperidin-1-yl)-3-(3,5-difluorophenyl)quinolin-6-yl]-2-hydroxybenzonitrile
somatostatin receptor agonist

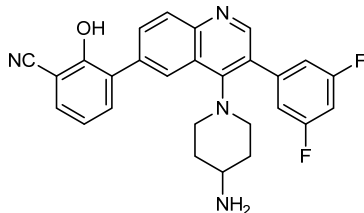
paltusotide

3-[4-(4-aminopiperidin-1-yl)-3-(3,5-difluorophényle)quinoléin-6-yl]-2-hydroxybenzonitrile
agoniste des récepteurs de la somatostatine

paltusotina

3-[4-(4-aminopiperidin-1-yl)-3-(3,5-difluorofenil)quinoléin-6-il]-2-hidroxibenzonitrilo
agonista de los receptores de la somatostatina

C₂₇H₂₂F₂N₄O 2172870-89-0

**pamufetinibum**

pamufetinib

4-(2-fluoro-4-
{[(phenylacetyl)carbamothioyl]amino}phenoxy)-7-
methoxy-N-methylquinoline-6-carboxamide
tyrosine kinase inhibitor, antineoplastic

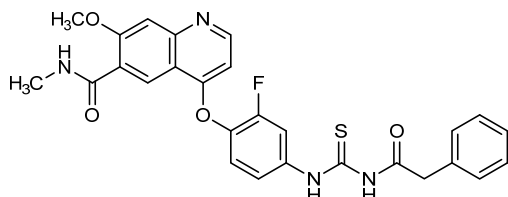
pamufétinib

4-(2-fluoro-4-
{[(phénylacétyl)carbamothioyl]amino}phénoxy)-7-
méthoxy-N-méthylquinoléine-6-carboxamide
inhibiteur de la tyrosine kinase, antineoplastique

pamufetinib

4-(2-fluoro-4-{[(fenilacetil)carbamotioil]amino}fenoxi)-7-
metoxi-N-metilquinoléina-6-carboxamida
inhibidor de la tirosina quinasa, antineoplásico

C₂₇H₂₃FN₄O₄S 1190836-34-0

**patritumabum deruxtecanum #**

patritumab deruxtecan

immunoglobulin G1-kappa, anti-[*Homo sapiens*
ERBB3 (receptor tyrosine-protein kinase erbB-3,
HER3)], *Homo sapiens* monoclonal antibody,
conjugated to deruxtecan, comprising a linker and a
camptothecin derivative;
gamma1 heavy chain *Homo sapiens* (1-447) [VH
(*Homo sapiens* IGHV4-34*01 (99.0%) -IGHD) -
IGHJ2*01 (100%)) [8.7.11] (1-117) -*Homo sapiens*
IGHG1*03 (100%) G1m3, nG1m1 (CH1 R120 (214)
(118-215), hinge 1-15 (216-230), CH2 (231-340), CH3
E12 (356), M14 (358) (341-445), CHS (446-447)) (123-
452)], (220-220')-disulfide with kappa light chain *Homo*
sapiens (1'-220') [V-KAPPA (*Homo sapiens* IGKV4-
1*01 (95.0%) -IGKJ1*01 (100%)) [12.3.9] (1'-113') -
Homo sapiens IGKC*01 (100%) Km3 A45.1 (159),
V101 (197) (114'-220')];

dimer (226-226":229-229")-bisdisulfide, produced in Chinese Hamster Ovary (CHO) cell line, glycoform alfa; conjugated, on an average of 8 cysteinyl, to deruxtecan, comprising a linker and a camptothecin derivative

For the *deruxtecan* part, please refer to the prop.INN List 116, published in the *WHO Drug Information*, Vol.30, No.4, 2016.

immunomodulator, antineoplastic

patritumab déruxtecan

immunoglobuline G1-kappa, anti-[*Homo sapiens* ERBB3 (récepteur tyrosine-protéine kinase erbB3, HER3)], anticorps monoclonal *Homo sapiens*, conjugué au déruxtécan, comprenant un linker et un dérivé de la camptothécine; chaîne lourde gamma1 *Homo sapiens* (1-447) [VH (*Homo sapiens*IGHV4-34*01 (99.0%) -(IGHD) - IGHJ2*01 (100%)) [8.7.11] (1-117) -*Homo sapiens*IGHG1*03 (100%) G1m3, nG1m1 (CH1 R120 (214) (118-215), charnière 1-15 (216-230), CH2 (231-340), CH3 E12 (356), M14 (358) (341-445), CHS (446-447) (123-452)], (220-220')-disulfure avec la chaîne légère kappa *Homo sapiens* (1'-220') [V-KAPPA (*Homo sapiens*IGKV4-1*01 (95.0%) -IGKJ1*01 (100%)) [12.3.9] (1'-113') -*Homo sapiens*IGKC*01 (100%) Km3 A45.1 (159), V101 (197) (114'-220')]; dimère (226-226":229-229")-bisdisulfure, produit dans des cellules ovariennes de hamsters chinois (CHO), glycoforme alfa; conjugué, sur une moyenne de 8 cystéinyl, au déruxtécan, comprenant un linker et un dérivé de la camptothécine
Pour la partie *déruxtécan*, veuillez-vous référer à la Liste 116 des DCI prop., publiée dans le *WHO Drug Information*, Vol.30, No.4, 2016.

immunomodulateur, antineoplastique

patritumab deruxtecán

inmunoglobulina G1-kappa, anti-[*Homo sapiens* ERBB3 (receptor tirosina-proteína kinasa erbB3, HER3)], anticuerpo monoclonal *Homo sapiens*, conjugado con deruxtecán, que comprende un conector y un derivado de la camptotecina; cadena pesada gamma1 *Homo sapiens* (1-447) [VH (*Homo sapiens*IGHV4-34*01 (99.0%) -(IGHD) - IGHJ2*01 (100%)) [8.7.11] (1-117) -*Homo sapiens*IGHG1*03 (100%) G1m3, nG1m1 (CH1 R120 (214) (118-215), bisagra 1-15 (216-230), CH2 (231-340), CH3 E12 (356), M14 (358) (341-445), CHS (446-447) (123-452)], (220-220')-disulfuro con la cadena ligera kappa *Homo sapiens* (1'-220') [V-KAPPA (*Homo sapiens*IGKV4-1*01 (95.0%) -IGKJ1*01 (100%)) [12.3.9] (1'-113') -*Homo sapiens*IGKC*01 (100%) Km3 A45.1 (159), V101 (197) (114'-220')]; dímero (226-226":229-229")-bisdisulfuro, producido en las células ováricas de hamsters chinos (CHO), glicoforma alfa; conjugado, con 8 restos cisteinil por término medio, con deruxtecán, que comprende un conector y un derivado de la camptotecina
Para la fracción *deruxtecán*, se puede referir a la Lista 116 de DCI prop., publicada en el *WHO Drug Information*, Vol.30, No.4, 2016.

inmunomodulador, antineoplásico

2227102-46-5

Heavy chain / Chaîne lourde / Cadena pesada

QVQLQQWGAG LLKPSETLSL TCAVYGGGSFS GYYWSWIRQP PGKGLEWIGE 50
 INHSGSTWNIN PSLKSRVTIS VETSKNQFSL KLSVTAADT AVYYCARDKW 100
 TWYFDLWGRG TLTVTSSAST KGPSVPFLAP SKSKSTSGTA ALGCLVKDFY 150
 PEPVTWSNSN GALTSGVHTP PAVLQSSGLY SLSVVTVPS SSLGTQTYIC 200
 NVNHKPSNTK VDKRVEPKSC DKTHTCPCP APELLGGPSV FLFPKKPKDT 250
 LMISRTPEVT CVVVDVSHED PEVKFNWYDV GVEVHNNAKTK PREEQYNSTY 300
 FVVSVLTVLH QDWLNGKEYK CKVSNKALPA PIEKTISKAK QGPREFPVYT 350
 LPPSREEMTK NQVSLTCLVK GFYPSDIAVE WESNGQPENN YKTPPPVLDs 400
 DGSFFLYSKL TVDKSRWQQG NVFCSCVMHE ALHNHYTQKS LSLSPKG 447

Light chain / Chaîne légère / Cadena ligera

D1EMTQSPDS LAVSLGERAT INCRSSQSIVL YSSSRNVL A WIQQNPQCQPF 50
 KLLIYWASTR ESGVPDRFSG SGSGTDFLT ISSLQAEDVA VYVQQYYST 100
 PRTFQQGKTV EIKRTVVAAPS VFIFPPSDEQ LKSGTASVVC LLNNFYPREA 150
 KVQWKVDNAL QSGNSQESVT EQDSDKSTDYS LSSTLTLSKA DYEKHKVYAC 200
 EVTHQQLSSP VTKSENRGEc 220

Post-translational modifications

Disulfide bridges location / Position des ponts disulfure / Posiciones de los puentes disulfuro
 Intra-H (C23-C104) 22-95 144-200 261-321 367-425
 22"-95" 144"-200"
 Intra-L (C23-C104) 23"-94" 140"-200"

Inter-H-L (h 5-CL 126)* 220-220' 220"-220"

Inter-H-H (h 11, h 14)* 226-226" 229-229"

*None of the four inter-chain disulfide bridges is present, an average of 8 cysteinyl being conjugated each via a thioether bond to a drug linker.

*Aucun des quatre ponts disulfures inter-chaines est présent, 8 cystéinyl en moyenne étant chacun conjugué via une liaison thioéther à un linker-principe actif.

*Ninguno de los cuatro puentes disulfuro inter-catenarios esta presente, una media de 8 cisteínil está conjugada a conectores de principio activo.

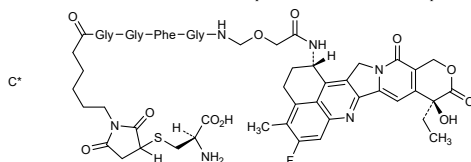
N-glycosylation sites / Sites de N-glycosylation / Posiciones de N-glicosilación
 H CH2 N84:4;
 297, 297"

Fucosylated complex bi-antennary CHO-type glycans / glycanes de type CHO bi-antennaires complexes fucosylés / glicanos de tipo CHO biantenarios complejos fucosilados

C-terminal lysine clipping:

H CHS K2:
 447, 447"

Potential modified residues / résidus modifiés potentiels / restos modificados potenciales

**paxalisibum**

paxalisib

5-[6,6-dimethyl-4-(morpholin-4-yl)-8,9-dihydro-6*H*-[1,4]oxazino[4,3-e]purin-2-yl]pyrimidin-2-amine
phosphatidylinositol 3-kinase (PI3K) inhibitor, antineoplastic

paxalisib

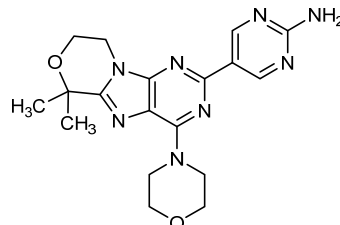
5-[6,6-diméthyl-4-(morpholin-4-yl)-8,9-dihydro-6*H*-[1,4]oxazino[4,3-e]purin-2-yl]pyrimidin-2-amine
inhibiteur de phosphatidylinositol 3-kinase (PI3K), antineoplastique

paxalisib

5-[6,6-dimetil-4-(morfolin-4-il)-8,9-dihidro-6*H*-[1,4]oxazino[4,3-e]purin-2-il]pirimidin-2-amina
inhibidor de fosfatidilinositol 3-quinasa (PI3K), antineoplásico

$C_{18}H_{22}N_8O_2$

1382979-44-3

**petosemtamab #**

petosemtamab

immunoglobulin G1-kappa, anti-[*Homo sapiens* EGFR (epidermal growth factor receptor, receptor tyrosine-protein kinase erbB-1, ERBB1, HER1, HER-1, ERBB)], and anti-[*Homo sapiens* LGR5 (leucine rich repeat containing G protein-coupled receptor 5, G protein-coupled receptor 49, GPR67, GPR49)], *Homo sapiens* monoclonal antibody, bispecific; gamma1 heavy chain *Homo sapiens* anti-EGFR (1-449) [VH (*Homo sapiens*IGHV7-4-1*02 (91.8%) -(IGHD) -IGHJ4*01 (93.3%)) [8.8.13] (1-120) -*Homo sapiens*IGHG1*03 (100%), G1m3,nG1m1 (CH1 R120 (217) (121-218), hinge 1-15 (219-233), CH2 (234-343), CH3 L7>D (354), E12 (359), M14 (361), L24>E (371) (344-448), CHS K2>del (449)) (121-449)], (223-214')-disulfide with kappa light chain *Homo sapiens* (1'-214') [V-KAPPA (*Homo sapiens*IGKV1-39*01 (100%) -IGKJ1*01 (100%)) [6.3.9] (1'-107') -*Homo sapiens*IGKC*01 (100%), Km3 A45.1 (153), V101 (191) (108'-214')]; gamma1 heavy chain *Homo sapiens* anti-LGR5 (1-456) [VH (*Homo sapiens*IGHV7-4-1*01 (92.9%) -(IGHD) -IGHJ4*01 (93.3%)) [8.8.20] (1-127) -*Homo sapiens*IGHG1*03 (100%), G1m3,nG1m1 (CH1 R120 (224) (128-225), hinge 1-15 (226-240), CH2 (241-350), CH3 L7>K (361), E12 (366), M14 (368), T22>K (376) (351-455), CHS K2>del (456)) (128-456)], (230-214')-disulfide with kappa light chain *Homo sapiens* (1'-214') [V-KAPPA (*Homo sapiens*IGKV1-39*01 (100%) -IGKJ1*01 (100%)) [6.3.9] (1'-107') -*Homo sapiens*IGKC*01 (100%), Km3 A45.1 (153), V101 (191) (108'-214')]; dimer (229-236":232-239")-bisdisulfide, produced in Chinese Hamster Ovary (CHO) cells, glycoform alfa immunomodulator, antineoplastic

pétosemab

immunoglobuline G1-kappa, anti-[*Homo sapiens* EGFR (récepteur du facteur de croissance épidermique, récepteur tyrosine-protéine kinase erb-1, ERBB1, HER1, HER-1, ERBB)], et anti-[*Homo sapiens* LGR5 (récepteur 5 à répétitions riches en leucine couplé à la protéine G, récepteur 49 couplé à la protéine G, GPR67, GPR49)], anticorps monoclonal *Homo sapiens*, bispécifique; chaîne lourde gamma1 *Homo sapiens* anti-EGFR (1-449) [VH (*Homo sapiens*IGHV7-4-1*02 (91.8%) -(IGHD) -IGHJ4*01 (93.3%)) [8.8.13] (1-120) -*Homo sapiens*IGHG1*03 (100%), G1m3,nG1m1 (CH1 R120 (217) (121-218), charnière 1-15 (219-233), CH2 (234-343), CH3 L7>D (354), E12 (359), M14 (361), L24>E (371) (344-448), CHS K2>del (449)) (121-449)], (223-214')-disulfure avec la chaîne légère kappa *Homo sapiens* (1'-214') [V-KAPPA (*Homo sapiens*IGKV1-39*01 (100%) -IGKJ1*01 (100%)) [6.3.9] (1'-107') -*Homo sapiens*IGKC*01 (100%), Km3 A45.1 (153), V101 (191) (108'-214')];

chaîne lourde gamma1 *Homo sapiens* anti-LGR5 (1-456) [VH (*Homo sapiens* IGHV7-4-1*01 (92.9%) - (IGHD) -IGHJ4*01 (93.3%)) [8.8.20] (1-127) -*Homo sapiens* IGHG1*03 (100%), G1m3,nG1m1 (CH1 R120 (224) (128-225), charnière 1-15 (226-240), CH2 (241-350), CH3 L7>K (361), E12 (366), M14 (368), T22>K (376) (351-455), CHS K2>del (456)) (128-456)], (230-214')-disulfure avec la chaîne légère kappa *Homo sapiens* (1'-214') [V-KAPPA (*Homo sapiens* IGKV1-39*01 (100%) -IGKJ1*01 (100%)) [6.3.9] (1'-107') -*Homo sapiens* IGKC*01 (100%), Km3 A45.1 (153), V101 (191) (108'-214')]; dimère (229-236":232-239")-bisdisulfure, produit dans des cellules ovariennes de hamsters chinois (CHO), glycoforme alfa
immunomodulateur, antinéoplasique

petosemtamab

inmunoglobulina G1-kappa, anti-[*Homo sapiens* EGFR (receptor del factor de crecimiento epidérmico, receptor tirosina-proteína kinasa erb-1, ERBB1, HER1, HER-1, ERBB)], y anti-[*Homo sapiens* LGR5 (receptor de 5 a repeticiones ricas en leucina acoplada a la proteína G; receptor 49 acoplado a la proteína G, GPR67, GPR49)], anticuerpo monoclonal *Homo sapiens*, biespecífico; cadena pesada gamma1 *Homo sapiens* anti-LGR5 (1-456) [VH (*Homo sapiens* IGHV7-4-1*01 (92.9%) - (IGHD) -IGHJ4*01 (93.3%)) [8.8.20] (1-127) -*Homo sapiens* IGHG1*03 (100%), G1m3,nG1m1 (CH1 R120 (224) (128-225), bisagra 1-15 (226-240), CH2 (241-350), CH3 L7>K (361), E12 (366), M14 (368), T22>K (376) (351-455), CHS K2>del (456)) (128-456)], (230-214')-disulfuro con la cadena ligera kappa *Homo sapiens* (1'-214') [V-KAPPA (*Homo sapiens* IGKV1-39*01 (100%) -IGKJ1*01 (100%)) [6.3.9] (1'-107') -*Homo sapiens* IGKC*01 (100%), Km3 A45.1 (153), V101 (191) (108'-214')]; cadena pesada gamma1 *Homo sapiens* anti-EGFR (1-449) [VH (*Homo sapiens* IGHV7-4-1*02 (91.8%) - (IGHD) -IGHJ4*01 (93.3%)) [8.8.13] (1-120) -*Homo sapiens* IGHG1*03 (100%), G1m3,nG1m1 (CH1 R120 (217) (121-218), bisagra 1-15 (219-233), CH2 (234-343), CH3 L7>D (354), E12 (359), M14 (361), L24>E (371) (344-448), CHS K2>del (449)) (121-449)], (223-214')-disulfuro con la cadena ligera kappa *Homo sapiens* (1'-214') [V-KAPPA (*Homo sapiens* IGKV1-39*01 (100%) -IGKJ1*01 (100%)) [6.3.9] (1'-107') -*Homo sapiens* IGKC*01 (100%), Km3 A45.1 (153), V101 (191) (108'-214')]; dímero (229-236":232-239")-bisdisulfuro, producido en las células ováricas de hamsters chinos (CHO), glicoforma alfa
immunomodulador, antineoplásico

2213450-26-9

Heavy chain / Chaîne lourde / Cadena pesada (anti-EGFR)
 QVQLVQSGSE LKKPGASVKI SCKASGYDFT NYAMNNVRQA PGHGLEWMGW 50
 INANTGDPY AQGFTGRFVP SLDTSTVSTAY LQISSLKAED SAVYYCTTER 100
 FLEWLHFDYW GGCTLTVTSS ASTKGPSVFP LAPSSKSTSG GTAALGCLVR 150
 DYFPEEPVTVS WNSGALTISGV HTFPAVLQSS GLYSLSSLVVT VPSSSLGTQT 200
 YICNVNHHKPS NTKVDKRVEP KSCDKTHTCP PCPAPELILGG PSVFLFPKF 250
 KDTLMISRTP EVTVCVVDDVS HEDPEVKFNW YVDGVEVHNK TKTKEEQQYN 300
 STYRUVSILIT VLHQDWLNGK EYKCKVSNKA LPAPIEKTE KAKQPREPQ 350
 VYTDPSPSER MTKNQVSLTC EVKGFTYPSDI AVEWESNQO ENNYKTTPPV 400
 LDSDGSFFLY SKLTVDKSRW QQGNVFSCSV MHEALHNHYT QKSLSLSPG 449

Heavy chain / Chaîne lourde / Cadena pesada (anti-LGR5)
 EVQLVQSGSK LKKPGASVKV SCKASGYTFT SYTMNWRQAA PGQGLEWMGW 50
 INTDTGDPY AQGFTGRFVP SLDTSTVSTAF LQINSLKAED TAVYYCARGD 100
 CDSTSCYRYS QGYEDYWGQO TLTVTSSAST KGPSSVPLAP SSKSTSGGTA 150
 ALGCLVKDYE PEPVTVWSNS GALTSVGHTF PAVLQSGSLY SLSSVTVTPS 200
 SSSLGTQTYIC NVNHKPSNTK VDKRVEPKSC DKTHTCPCCP APPELLGGPSV 250
 FLFFFPKPKDT LMISRTPEVT CVVVDVSHED PEVKFNWIVD GVEVHNAKTK 300
 FREEQVNSTY RVVSVLTVLH QDWLNGKEYK CKVSNKALPA PIEKTISKAR 350
 QQPREFQVYT KFPSSREEMTK NQVSLKCLVQ GFYPSDIAME WESNGQEENN 400
 YKTPPPVLDs DGSFFLYSKL TVDKSRWQQG NVFSCSVMHE ALHNHYTQKS 450
 LSSLSPG

Light chain / Chaîne légère / Cadena ligera
 DIQMGTSPSS LSASVGDRTV ITCRASQSIS SYLNWYQQKP GKAPKLILYA 50
 ASSLQSGVPS RFSGSGSGTD FTLTISSLQP EDFAFYTYCQQ SYSTPTPFGQ 100
 GTRKEIKRTV AAPSVFIFPP SDEQLKSGTA SVVCLLNNFY PREAKVQWKV 150
 DNALQSGNSQ ESVTEQDSKD STYSLSSTLT LSKADYEKHK VYACEVTHQG 200
 LSSPVTKSFL RGECA 214

Post-translational modifications
 Disulfide bridge location / Posición de los puentes disulfuro / Posiciones de los puentes disulfuro
 Intra-H (C23-C104) 22-96 147-203 264-324 370-428
 22"-96" 154"-210" 271"-331" 377"-435"
 Intra-CDR3 (C109-C111.3) 101"-106"
 Intra-L (C23-C104) 23"-88" 134"-194"
 23"-88" 134"-194"
 Inter-H-L (h 5-CL 126) 223-214" 230"-214"
 Inter-H-H (h 11, h 14) 229-236" 232-239"

N-glycosylation sites / Sites de N-glycosylation / Posiciones de N-glicosilación
 H CH2 N84.4:
 300, 307"
 Defucosylated (>90%) complex bi-antennary CHO-type glycans / glycanes de type CHO
 bi-antennaires complexes défucosylés (>90%) / glicanos de tipo CHO biantenarios
 complejos defucosilados (>90%)

pimtespibum pimtespib

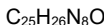
3-ethyl-4-[4-(1-methyl-1*H*-pyrazol-4-yl)-1*H*-imidazol-1-yl]-3-(propan-2-yl)-1*H*-pyrazolo[3,4-*b*]pyridin-1-yl}benzamide
antineoplastic

pimtespib

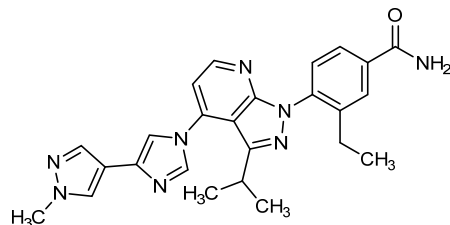
3-éthyl-4-[4-(1-méthyl-1*H*-pyrazol-4-yl)-1*H*-imidazol-1-yl]-3-(propan-2-yl)-1*H*-pyrazolo[3,4-*b*]pyridin-1-yl}benzamide
antineoplastique

pimtespib

3-etil-4-[4-(1-metil-1*H*-pirazol-4-il)-1*H*-imidazol-1-il]-3-(propan-2-il)-1*H*-pirazolo[3,4-*b*]piridin-1-il}benzamida
antineoplásico



1260533-36-5



praluzatamab #

praluzatamab

immunoglobulin G1-kappa, anti-[*Homo sapiens* CD166 (activated leucocyte cell adhesion molecule, ALCAM)], humanized monoclonal antibody; gamma1 heavy chain humanized (1-450) [VH (*Homo sapiens* IGHV2-5*01 (88.9%) -(IGHD) -IGHJ4*01 (92.9%)) [10.7.13] (1-121) -*Homo sapiens* IGHG1*03v G1m3>G1m17, nG1m1 (CH1 K120 (122-219), hinge 1-15 (220-234), CH2 (235-344), CH3 E12 (360), M14 (362) (345-449), CHS K2>del (450)) (122-450)], (224-270')-disulfide with kappa light chain humanized (1"-270") [N-terminal region (1"-22') -8-mer linker (23"-30') - protease cleavable region (31"-48') -3-mer linker (49"-51') -V-KAPPA (*Homo sapiens* IGKV2-28*01 (89.0%) -IGKJ2*01 (100%)) [11.3.9] (52"-112') -*Homo sapiens* IGKC*01 (100%) Km3 A45.1 (209), V101 (247) (164"-270')]; dimer (230-230":233-233")-bisdisulfide, produced in Chinese Hamster Ovary (CHO)-derived cell line, glycoform alfa *immunomodulator, antineoplastic*

praluzatamab

immunoglobuline G1-kappa, anti-[*Homo sapiens* CD166 (molécule d'adhésion cellulaire de leucocytes activée, ALCAM)], anticorps monoclonal humanisé; chaîne lourde gamma1 humanisée (1-450) [VH (*Homo sapiens* IGHV2-5*01 (88.9%) -(IGHD) -IGHJ4*01 (92.9%)) [10.7.13] (1-121) -*Homo sapiens* IGHG1*03v G1m3>G1m17,1, nG1m1 (CH1 K120 (218) (122-219), charnière 1-15 (220-234), CH2 (235-344), CH3 E12 (360), M14 (362) (345-449), CHS K2>del (450)) (122-450)], (224-270')-disulfure avec la chaîne légère kappa humanisée (1"-270") [région N-terminale (1"-22') -8-mer linker (23"-30') -région clivable par des protéases (31"-48') -3-mer linker (49"-51') -V-KAPPA (*Homo sapiens* IGKV2-28*01 (89.0%) -IGKJ2*01 (100%)) [11.3.9] (52"-112') -*Homo sapiens* IGKC*01 (100%) Km3 A45.1 (209), V101 (247) (164"-270')]; dimère (230-230":233-233")-bisdisulfure, produite dans une lignée cellulaire dérivée des cellules ovariennes de hamsters chinois (CHO), glicoforme alfa *immunomodulateur, antinéoplasique*

praluzatamab

inmunoglobulina G1-kappa, anti-[*Homo sapiens* CD166 (molécula de adhesión celular de leucocitos activados, ALCAM)], anticuerpo monoclonal humanizado; cadena pesada gamma1 humanizada (1-450) [VH (*Homo sapiens* IGHV2-5*01 (88.9%) -(IGHD) -IGHJ4*01 (92.9%)) [10.7.13] (1-121) -*Homo sapiens* IGHG1*03v G1m3>G1m17,1, nG1m1 (CH1 K120 (218) (122-219), bisagra 1-15 (220-234), CH2 (235-344), CH3 E12 (360), M14 (362) (345-449), CHS K2>del (450)) (122-450)], (224-270')-disulfuro con la cadena ligera kappa humanizada (1"-270") [región N-terminal (1"-22') -conector 8-mer (23"-30') -región escindible por las proteasas (31"-48') -conector 3-mer (49"-51') -V-KAPPA (*Homo sapiens* IGKV2-28*01 (89.0%) -IGKJ2*01 (100%)) [11.3.9] (52"-112') -*Homo sapiens* IGKC*01 (100%) Km3 A45.1 (209), V101 (247) (164"-270')]; dímero (230-230":233-233")-bisdisulfuro, producido en una línea celular derivada de las células ováricas de hamsters chinos (CHO), glicoforma alfa *inmunomodulador, antineoplásico*

2145109-70-0

Heavy chain / Chaîne lourde / Cadena pesada
 QITLKESGPV LVKPTQTLTL TCTFSGFSLS TYGMGVGVIR QPPGKALEWL 50
 ANIWIWSEDKY YSPSLKSRIL ITKDTSRNVY VLITINVPDVY DTATYCVQI 100
 DYGNDYAFTV WCGQTLTVS SASTKGPSVF PLAPSSKSTS GTTAALCLV 150
 KDVYFPEPVTV SWNSGALTSG VHTFPAVLQS SGLYSLSSVW TVPSSSLTGQ 200
 TYICVNHHKP SNTKVDKKVE PKSCDCKTHTC PPCPAPELLGG GSVFELPPK 250
 PKDTLMISRT PEVTCCVVVD SHEDPEVKEN WYWDGVEVHN AKTKPREEQY 300
 NSTYRVVSVL TVLHQDWLNG KEYKCVKSNK ALFAPIERTI SKAKGQREPQ 350
 QVYTLPSPRE EMTKNQVSIT CLVKGFFYPSD IAVEWESNQG PENNYKTTP 400
 VLSDSGSFFL YSKLTVDKSR WQQNVSFCSS VMHEALHNHY TQKSLSSLSPG 450

Light chain / Chaîne légère / Cadena ligera
 QGQSGQQGLCH PAVLSAWESC SSGGGSSGGG AVGLLAAPGG LSGRSNDNHGG 50
 SDIVMTQSPL SLVPVPGEPAA SICRSSLK LHNSGITYLY WYLKPGQSP 100
 QLLIYQMSNL ASGPVDRFSG SGSGTDFTLK ISRVEAEWVG VYCAQNLLE 150
 PYTFGGGTKL EIKRTVAAAPS VFIFPPSDEQ LKSGTAGSVC LLNNFYFREA 200
 KVQWKVNDAL QSQNSQESVT EQDSKDDSTYS LSSTTLSKA DYEKHKVYAC 250
 EVTHQGLSSP VTKSFPNRGEC 270

Post-translational modifications
 Disulfide bridges location / Position des ponts disulfure / Posiciones de los puentes disulfuro
 Intra-H (C23-C104) 22-97 148-204 265-325 371-429
 22"-97" 148"-204" 265"-325" 371"-429"
 Intra-L (C23-C104) 74"-144" 190"-250"
 74"-144" 190"-250"
 Intra-L N-terminal region 9"-20" 9"-20"
 Inter-H-L (h5-CL 126) 224-270 224"-270"
 Inter-H-H (h 11, h 14) 230-230" 233-233"

N-glycosylation sites / Sites de N-glycosylation / Posiciones de N-glicosilación
 HCH2 N84.4:
 301, 301"
 Fucosylated complex bi-antennary CHO-type glycans / glycanes de type CHO bi-antennaires complexes fucosylés / glicanos de tipo CHO biantenarios complejos fucosilados.

praluzatamab ravidansinum #

praluzatamab ravidansine

immunoglobulin G1-kappa, anti-[*Homo sapiens* CD166 (activated leucocyte cell adhesion molecule, ALCAM)], humanized monoclonal antibody conjugated to maytansinoid DM4;
 gamma1 heavy chain humanized (1-450) [VH (*Homo sapiens* IGHV2-5*01 (88.9%) -(IGHD) -IGHJ4*01 (92.9%)) [10.7.13] (1-121) -*Homo sapiens* IGHG1*03v G1m3>G1m17, nG1m1 (CH1 K120 (218) (122-219), hinge 1-15 (220-234), CH2 (235-344), CH3 E12 (360), M14 (362) (345-449), CHS K2>del (450)) (122-450)], (224-270')-disulfides with kappa light chain humanized (1'-270') [N-terminal region (1'-22') -8-mer linker (23'-30') -protease cleavable region (31'-48') -3-mer linker (49'-51') -V-KAPPA (*Homo sapiens* IGKV2-28*01 (89.0%) -IGKJ2*01 (100%)) [11.3.9] (52'-163') -*Homo sapiens* IGKC*01 (100%) Km3 A45.1 (209), V101 (247) (164'-270')]; dimer (230-230":233-233")-bisdisulfide, produced in Chinese Hamster Ovary (CHO)-derived cell line, glycoform alfa; conjugated, on an average of 3 to 4 lysyl, to maytansinoid DM4 [*N*²-deacetyl-*N*²-(4-mercaptop-4-methyl-1-oxopentyl)-maytansine] via the reducible SPDB linker [*N*-succinimidyl 4-(2-pyridyldithio)butanoate]
 For the *ravidansine* part, please refer to the document "INN for pharmaceutical substances: Names for radicals, groups and others"**
immunomodulator, antineoplastic

praluzatamab ravidansine

immunoglobuline G1-kappa, anti-[*Homo sapiens* CD166 (molécule d'adhésion cellulaire de leucocytes activée, ALCAM)], anticorps monoclonal humanisé conjugué au maytansinoïde DM4;

chaîne lourde gamma1 humanisée (1-450) [VH (*Homo sapiens* IGHV2-5*01 (88.9%) -(IGHD) -IGHJ4*01 (92.9%)) [10.7.13] (1-121) -*Homo sapiens* IGHG1*03v G1m3>G1m17, nG1m1 (CH1 K120 (218) (122-219), charnière 1-15 (220-234), CH2 (235-344), CH3 E12 (360), M14 (362) (345-449), CHS K2>del (450)) (122-450)], (224-270')-disulfure avec la chaîne légère kappa humanisée (1"-270") [région N-terminale (1'-22') -8-mer linker (23'-30') -région clivable par des protéases (31'-48') -3-mer linker (49'-51') -V-KAPPA (*Homo sapiens* IGKV2-28*01 (89.0%) -IGKJ2*01 (100%)) [11.3.9] (52'-163') -*Homo sapiens* IGKC*01 (100%) Km3 A45.1 (209), V101 (247) (164'-270')]; dimère (230-230":233-233")-bisdisulfure; produite dans une lignée cellulaire dérivée des cellules ovaries de hamsters chinois (CHO), glycoforme alfa; conjugué, sur 3 ou 4 lysyl en moyenne, au maytansinoïde DM4 [N^2 -déacétyl- N^2 -(4-mercaptopro-4-méthyl-1-oxopentyl)-maytansine] via le linker SPDB réductible [4-(2-pyridyldithio)butanoate de *N*-succinimidyle]
Pour la partie *ravtansine*, veuillez-vous référer au document "INN for pharmaceutical substances: Names for radicals, groups and others**.
immunomodulateur, antinéoplasique

praluzatamab ravtansina

inmunoglobulina G1-kappa, anti-[*Homo sapiens* CD166 (molécula de adhesión celular de leucocitos activados, ALCAM)], anticuerpo monoclonal humanizado conjugado con maitansinoide DM4; cadena pesada gamma1 humanizada (1-450) [VH (*Homo sapiens* IGHV2-5*01 (88.9%) -(IGHD) -IGHJ4*01 (92.9%)) [10.7.13] (1-121) -*Homo sapiens* IGHG1*03v G1m3>G1m17, nG1m1 (CH1 K120 (218) (122-219), bisagra 1-15 (220-234), CH2 (235-344), CH3 E12 (360), M14 (362) (345-449), CHS K2>del (450)) (122-450)], (224-270')-disulfuro con la cadena ligera kappa humanizada (1"-270") [région N-terminal (1'-22') -conector 8-mer (23'-30') -région escindible por las proteasas (31'-48') -conecto 3-mer (49'-51') -V-KAPPA (*Homo sapiens* IGKV2-28*01 (89.0%) -IGKJ2*01 (100%)) [11.3.9] (52'-163') -*Homo sapiens* IGKC*01 (100%) Km3 A45.1 (209), V101 (247) (164'-270')]; dímero (230-230":233-233")-bisdisulfuro; producido en una línea celular derivada de las células ováricas de hamsters chinos (CHO), glicoforma alfa; conjugado, en 3 o 4 residuos lisil por término medio, con el maitansinoide DM4 [N^2 -deacetil- N^2 -(4-mercaptopro-4-metil-1-oxopentil)-maitansina] mediante el espaciador SPDB reducible [4-(2-piridylditio)butanoato de *N*-succinimidilo]
Para la fracción *ravtansine*, se puede referirse al documento "INN for pharmaceutical substances: Names for radicals, groups and others**.
inmunomodulador, antineoplásico

2145115-85-9

Heavy chain / Chaîne lourde / Cadena pesada

QITLKESGPT LVKPTQTLLT TCTFSGFSL S TYGMGVGWR QPPGKAKELW 50
 ANIWIWSEDKU YSPSLSKRLT ITKDTNSKNQV VLITITNVPY DTATYYCVCQI 100
 DYGNDDAFTV WGQGTLVTVS SASTKGPSVF PLAPSSKTS GGTAAALGCLV 150
 KDVYFPEPVTV SWNSGALTSG VHTFFAVLQLS SGGLYSLSSSV TVPSSSLGTQ 200
 TYICVNHHKP SNTVKDKVKE PKSCDKTHTC PPCPAPELLG GPSVFLPPK 250
 PKDTLMISRT PEVTCVVVDV SHEDPEVKFN WYVDGVEVHN AKTKPREEQY 300
 NSTYRVRVSVL TVLHQDWLNG KEYKCKVWSNK ALFAPIERKI SKARQGPREP 350
 QVTTLPSPRE EMTRNQVSLT CLVKGFYPSD IAVEWESENQG PENNYKRTTP 400
 VLDSDGSFPL YSKLTVDKSR WQQGNVFSCS VMHEALHNHY TQKSLSLSPG 450

Light chain / Chaîne légère / Cadena ligera

QGQSQQGLCH PAVLSAWESC SSGGGSSGGGS AVGLLAPPGG LSGRSDNHGG 50
 SDIVMTQSPL SLPTVTPGEPA SISCRSSKSL LHSGNITLYL WYLQKPGQSP 100
 QLLIYQMSNL ASGVQDRFSG SGSGTDFTLK ISRVEAEVVG VYCAQNLEL 150
 PYTFQGQGPKL EIKRTVAAPS VFIFPPSDEQ LKSGTASVC LLNNFYPREA 200
 KVQWKRVDNAL QSQNSQESVT EQDSKSTDYS LSSTLTLKA DYERHKHYAC 250
 EVTHQQLSSP VTFSFNQRGEC 270

Post-translational modifications

Disulfide bridges location / Position des ponts disulfure / Posiciones de los puentes disulfuro
 Intra-H (C23-C104) 22-97 148-204 265-325 371-429
 22"-97" 148"-204" 265"-325" 371"-429"
 Inter-L (C23-C104) 74"-144" 190"-250"
 74"-144" 190"-250"
 Intra-L N-terminal region 9"-20" 9"-20"
 Inter-H-L (h 5-CL 126) 224-270" 224"-270"
 Inter-H-H (h 11, h 14) 230-230" 233-233"

N-glycosylation sites / Sites de N-glycosylation / Posiciones de N-glicosilación
 H CH2 N844:
 301, 301"

Fucosylated complex bi-antennary CHO-type glycans / glycanes de tipo CHO bi-antennaires
 complejos fucósyles / glicanos de tipo CHO biantenarios complejos fucosilados.

For the *ravtansine* part, please refer to the document "INN for pharmaceutical substances: Names for radicals, groups and others**".
 Pour la partie *ravtansine*, veuillez vous référer au document "INN for pharmaceutical substances: Names for radicals, groups and others**".
 Para la fracción *ravtansina*, se pueden dirigir al documento "INN for pharmaceutical substances: Names for radicals, groups and others**".

pregabalinum arenacarbilum
pregabalin arenacarbil

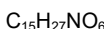
(3S)-5-methyl-3-{{({(1R)}-1-[(2-methylpropanoyl)oxy]ethoxy}carbonyl)amino]methyl}hexanoic acid
gabamimetic

prégalbine arénacarbil

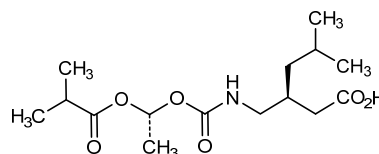
acide (3S)-5-méthyl-3-{{({(1R)}-1-[(2-méthylpropanoyl)oxy]éthoxy}carbonyl)amino]méthyl}hexanoïque
gabamimétique

pregabalina arenacarbilo

ácido (3S)-5-metil-3-{{({(1R)}-1-[(2-metilpropanoil)oxi]etoxi}carbonil)amino]metil}hexanoico
gabamimético



1174748-30-1

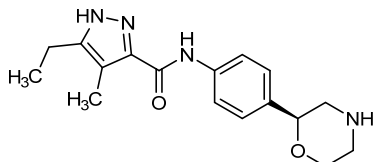
**ralmitarontum**
ralmitaront

5-ethyl-4-methyl-N-{4-[{(2S)-morpholin-2-yl}phenyl]-1*H*-pyrazole-3-carboxamide
neuroleptic

ralmitaront 5-éthyl-4-méthyl-N-{4-[(2S)-morpholin-2-yl]phényl}-1*H*-pyrazole-3-carboxamide
neuroleptique

ralmitaront 5-etyl-4-metil-N-{4-[(2S)-morfolin-2-il]fenil}-1*H*-pirazol-3-carboxamida
neuroléptico

C₁₇H₂₂N₄O₂ 2133417-13-5



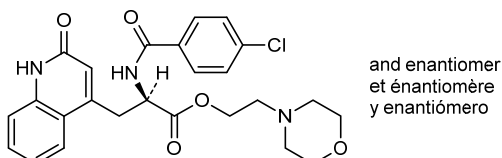
rebamipidum mofetilum
rebamipide mofetil

rac-2-(morpholin-4-yl)éthyl (2*R*)-2-(4-chlorobenzamido)-3-(2-oxo-1,2-dihydroquinolin-4-yl)propanoate
antiulcérant

rébamipide mofétile *rac*-(2*R*)-2-(4-chlorobenzamido)-3-(2-oxo-1,2-dihydroquinolin-4-yl)éthyle
antiulcéreux

rebamipida de mofetilo *rac*-(2*R*)-2-(4-clorobenzamido)-3-(2-oxo-1,2-dihydroquinolin-4-yl)propanoato de 2-(morpholin-4-yl)etilo
antiulceroso

C₂₅H₂₆ClN₃O₅ 1527495-76-6



and enantiomer
et énantiomère
y enantiómero

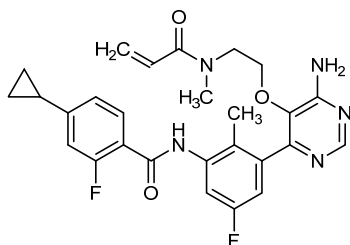
remestemcelum
remestemcel

human culture expanded allogeneic adherent mesenchymal-like stromal cells derived from bone marrow of human leukocyte antigen (HLA)-unmatched healthy adult donors. Cells express cell surface markers CD29, CD44, CD71, CD73, CD90, CD105, CD106, CD120a, CD124 and CD166, and secrete interleukin 6 (IL-6), interleukin 8 (IL-8), vascular endothelial growth factor (VEGF), prostaglandin E2 (PGE2), stromal-derived factor-1 (SDF-1), indoleamine 2,3-dioxygenase (IDO) and keratinocyte growth factor (KGF). The cells are negative for CD14, CD34, CD45, CD80, CD86 and HLA class II histocompatibility antigen gamma chain (HLA-DR) markers
cell therapy (acute graft versus host disease)

rémestemcel	cellules stromales semblables au mésenchyme, humaines, allogéniques, dérivées de la moelle osseuse d'un donneur adulte sain incompatible pour l'antigène leucocytaire humain (HLA), en culture d'expansion pour thérapie cellulaire. Les cellules expriment à leur surface les marqueurs CD29, CD44, CD71, CD73, CD90, CD105, CD106, CD120a, CD124 et CD166, et秘rètent l'interleukine 6 (IL-6), l'interleukine 8 (IL-8), facteur de croissance de l'endothélium vasculaire (VEGF), prostaglandine E2 (PGE2), facteur 1 dérivé du parenchyme (SDF-1), indoleamine 2,3-dioxygénase (IDO) et le facteur de croissance des kératinocytes. Les cellules sont négatives pour CD14, CD34, CD45, CD80, CD86 et la chaîne gamma de l'antigène majeur d'histocompatibilité (CMH) de classe II (HLA-DR). <i>thérapie cellulaire (maladie aiguë du greffon contre l'hôte)</i>
remestemcel	células estromales parecidas a mesenquimales, alógénicas, humanas, adherentes y expandidas en cultivo derivadas de la médula ósea de donantes adultos sanos no compatibles para el antígeno leucocitario humano (HLA). Las células expresan los marcadores de superficie CD29, CD44, CD71, CD73, CD90, CD106, CD120a, CD124 y CD166, y secretan interleukina (IL-6), interleukina 8 (IL-8), factor de crecimiento del endotelio vascular (VEGF), prostaglandina E2 (PGE2), factor derivado del estroma 1 (SDF-1), indoleamina 2,3-dioxigenasa (IDO) y factor de crecimiento de queratínocitos (KGF). Las células son negativas para los marcadores CD14, CD34, CD45, CD80, CD86 y la cadena gamma del antígeno de histocompatibilidad de HLA clase II (HLA-DR). <i>terapia celular (enfermedad aguda de injerto contra huésped)</i>
remibrutinib remibrutinib	<i>N</i> -(3-{6-amino-5-[2-(<i>N</i> -methylprop-2-enamido)ethoxy]pyrimidin-4-yl}-5-fluoro-2-methylphenyl)-4-cyclopropyl-2-fluorobenzamide <i>Bruton's tyrosine kinase inhibitor</i>
rémibrutinib	<i>N</i> -(3-{6-amino-5-[2-(<i>N</i> -méthylprop-2-énamido)éthoxy]pyrimidin-4-yl}-5-fluoro-2-méthylphényl)-4-cyclopropyl-2-fluorobenzamide <i>inhibiteur de la tyrosine kinase de Bruton</i>
remibrutinib	<i>N</i> -(3-{6-amino-5-[2-(<i>N</i> -metilprop-2-enamido)etoxi]pirimidin-4-il}-5-fluoro-2-metilfenil)-4-ciclopropil-2-fluorobenzamida <i>inhibidor de la tiroxina quinasa de Bruton</i>

$C_{27}H_{27}F_2N_5O_3$

1787294-07-8

**retifanlimab #**

retifanlimab

immunoglobulin G4-kappa, anti-[*Homo sapiens* PDCD1 (programmed cell death 1, PD-1, PD1, CD279)], monoclonal antibody; gamma4 heavy chain humanized (1-445) [VH (*Homo sapiens* IGHV1-46*01 (81.6%) -(IGHD) -IGHJ4*01 (92.9%)) [8.8.12] (1-119) -*Homo sapiens*IGHG4*01 (CH1 (120-217), hinge 1-12 S10>P (227) (218-229), CH2 (230-339), CH3 (340-444), CHS K2>del (445)) (120-445)], (133-218')-disulfide with kappa light chain chimeric (1'-218') [V-KAPPA (*Mus musculus* IGKV3-2*01 (80.8%) -IGKJ2 (91.7%)/*Homo sapiens* IGKV3D-11*02 (77.7%) -IGKJ4*01 (100%)) [10.3.9] (1-111') -*Homo sapiens* IGKC*01 (100%), Km3 A45.1 (157), V101 (195) (112'-218')]; dimer (225-225":228-228")-bisdisulfide, produced in Chinese Hamster Ovary (CHO) cell line, glycoform alfa immunomodulator, antineoplastic

rétifanlimab

immunoglobuline G4-kappa, anti-[*Homo sapiens* PDCD1 (protéine 1 de mort cellulaire programmée, PD-1, PD1, CD279)], anticorps monoclonal; chaîne lourde gamma4 humanisée (1-445) [VH (*Homo sapiens* IGHV1-46*01 (81.6%) -(IGHD) -IGHJ4*01 (92.9%)) [8.8.12] (1-119) -*Homo sapiens*IGHG4*01 (CH1 (120-217), charnière 1-12 S10>P (227) (218-229), CH2 (230-339), CH3 (340-444), CHS K2>del (445)) (120-445)], (133-218')-disulfure avec la chaîne légère kappa chimérique (1'-218') [V-KAPPA (*Mus musculus* IGKV3-2*01 (80.8%) -IGKJ2 (91.7%)/*Homo sapiens* IGKV3D-11*02 (77.7%) -IGKJ4*01 (100%)) [10.3.9] (1-111') -*Homo sapiens* IGKC*01 (100%), Km3 A45.1 (157), V101 (195) (112'-218')]; dimère (225-225":228-228")-bisdisulfure, produit dans des cellules ovariennes de hamsters chinois (CHO), glycoforme alfa immunomodulateur, antinéoplasique

retifanlimab

inmunoglobulina G4-kappa, anti-[*Homo sapiens* PDCD1 (proteína 1 de muerte celular programada, PD-1, PD1, CD279)], anticuerpo monoclonal;

cadena pesada gamma4 humanizada (1-445) [VH (*Homo sapiens* IGHV1-46*01 (81.6%) -IGHD) -IGHJ4*01 (92.9%)] [8.8.12] (1-119) -*Homo sapiens* IGHG4*01 (CH1 (120-217), bisagra 1-12 S10>P (227) (218-229), CH2 (230-339), CH3 (340-444), CHS K2>del (445)) (120-445)], (133-218')-disulfuro con la cadena ligera kappa químérica (1'-218') [V-KAPPA (*Mus musculus* IGKV3-2*01 (80.8%) -IGKJ2 (91.7%)/*Homo sapiens* IGKV3D-11*02 (77.7%) -IGKJ4*01 (100%)] [10.3.9] (1'-111') -*Homo sapiens* IGKC*01 (100%), Km3 A45.1 (157), V101 (195) (112'-218'); dímero (225-225*:228-228")-bisisulfuro, producido en las células ováricas de hamsters chinos (CHO), glicoforma alfa *immunomodulador, antineoplásico*

2079108-44-2

Heavy chain / Chaîne lourde / Cadena pesada
 QVQLVQSGAE VKKPGASVKV SCKASGYSPT SYWMNNWVRQA PGQGLEWIGV 50
 IHPSDSETWL DQFKFDRVTI TVDKSTSTAY MELSSLRSED TAVYVYCAREH 100
 YGTSPPEAYWG QTGLTVTWSA STKCPSVFPL APCSRSTSES TAALGCLVLD 150
 YFPEPVTVSW NSGALTSGVH TFPAVLQSSG LYSLSSVVTVV PSSSLGTKTYY 200
 TCNVDHKPSN TKVDKRVESK YGPPCPPCPA PEFLLGGPSVF LFPPPKPKDTL 250
 MISRTPEVTC VVVDVSQEWP EVQENWVWDG VEVHNNAKTKP RREEQFNSTYR 300
 VVSVLTVLHQ DWINGKEYKC KVSNKGLPS IEKTISKAKG QPRREPQVYTL 350
 PSQSEEMTKQ QVSLTCLVKG FYPSTDIAEW ESNQGPENNNT KTTFPVLDSD 400
 GSFFLYSLRT VDKSRWQEGN VFSCSVMHEA LSHNHYTQKSL SLSLG 445

Light chain / Chaîne légère / Cadena ligera
 EIVLTQSPAT LSLSPGERAT LSCRASESVD NYGMSFMNWFG QQKPGQFPKL 50
 LIHAAASNQGS GPVSRFSGSG SGDTFTLITIS SLEPFDFAVY FCQQSKEVFY 100
 TFGGGTKEVII KRTVAAPSVF IFPPPSDEQLK SGTASVCLL NNFFYPREAKV 150
 QWKVDNALQSQNSQESVTEQ DSKDSTYSSL SHTLTSKADY EKKHVKYACEV 200
 THQGLSSPVT KSFNRGEC 218

Post-translational modifications
 Disulfide bridges location / Position des ponts disulfure / Posiciones de los puentes disulfuro
 Intra-H (C23-C104) 22"-96" 146-202 260-320 366-424"
 22"-96" 146"-202" 260"-320" 366"-424"
 Intra-L (C23-C104) 23"-92" 138"-198"
 23"-92" 138"-198"
 Inter-H-L (CH1 10-CL 126) 133-218" 133"-218"
 Inter-H-H (h 8, h 11) 225-225" 228-228"

N-terminal glutamine cyclization to pyroglutamate (pE, 5-oxoproline)
 HVH Q1:
 1, 1"

N-glycosylation sites / Sites de N-glycosylation / Posiciones de N-glicosilación
 H-CH2-N844;
 296, 296"
 Fucosylated complex bi-antennary CHO-type glycans / glycanes de type CHO bi-antennaires
 complejos fucosilés / glicanos de tipo CHO biantenarios complejos fucosilados.

rilzabrutinibum rilzabrutinib

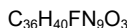
(4 Ξ ,7 3 R)-8 4 -amino-9 2 -fluoro-3,3-dimethyl-6-oxo-10-oxa-8(1,3)-pyrazolo[3,4-d]pyrimidina-2(1,4)-piperazina-7(1,3)-piperidina-1(3)-oxetana-9(1,4),11(1)-dibenzenaundecaphan-4-ene-5-carbonitrile
Bruton's tyrosine kinase inhibitor

rilzabrutinib

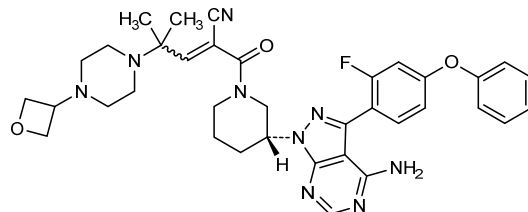
(4 Ξ ,7 3 R)-8 4 -amino-9 2 -fluoro-3,3-diméthyl-6-oxo-10-oxa-8(1,3)-pyrazolo[3,4-d]pyrimidina-2(1,4)-pipérazina-7(1,3)-pipéridina-1(3)-oxétane-9(1,4),11(1)-dibenzénaundécaphan-4-ène-5-carbonitrile
inhibiteur de la tyrosine kinase de Bruton

rilzabrutinib

(4 Ξ ,7 3R)-8 4 -amino-9 2 -fluoro-3,3-dimetil-6-oxo-10-oxa-8(1,3)-pirazolo[3,4- d]pirimidina-2(1,4)-piperazina-7(1,3)-piperidina-1(3)-oxetana-9(1,4),11(1)-dibencenaundecan-4-eno-5-carbonitrilo
inhibidor de la tirosina quinasa de Bruton



1575591-66-0

**rimtuzalcapum****rimtuzalcap**

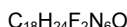
N-(4,4-difluorocyclohexyl)-2-(3-methyl-1*H*-pyrazol-1-yl)-6-(morpholin-4-yl)pyrimidin-4-amine
modulator of small-conductance calcium-activated potassium channels

rimtuzalcap

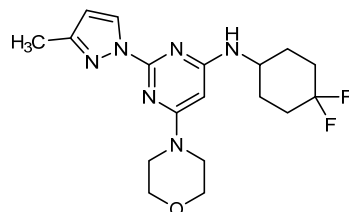
N-(4,4-difluorocyclohexyl)-2-(3-méthyl-1*H*-pyrazol-1-yl)-6-(morpholin-4-yl)pyrimidin-4-amine
modulateur des canaux potassiques actives par le calcium de petite conductance

rimtuzalcap

N-(4,4-difluorociclohexil)-2-(3-metil-1*H*-pirazol-1-il)-6-(morpholin-4-il)pirimidin-4-amina
modulador de los canales de potasio activados por calcio de pequeña conductancia



2167246-24-2

**ritlecitinibum****ritlecitinib**

1- $\{(2S,5R)$ -2-methyl-5-[(7*H*-pyrrolo[2,3-*d*]pyrimidin-4-yl)amino]piperidin-1-yl}prop-2-en-1-one
Janus kinase inhibitor

ritlécitinib

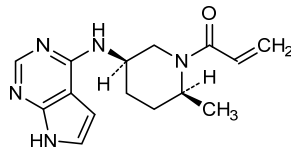
1- $\{(2S,5R)$ -2-méthyl-5-[(7*H*-pyrrolo[2,3-*d*]pyrimidin-4-yl)amino]pipéridin-1-yl}prop-2-én-1-one
inhibiteur de la kinase de Janus

ritlecitinib

1-((2S,5R)-2-metil-5-[(7H-pirrolo[2,3-d]pirimidin-4-il)amino]piperidin-1-il)prop-2-en-1-ona
inhibidor de la quinasa de Janus

C₁₅H₁₉N₅O

1792180-81-4



ropocamptidum
ropocamptide

antibacterial peptide LL-37 (human):
L-leucyl-L-leucylglycyl-L-α-aspartyl-L-phenylalanyl-L-phenylalanyl-L-arginyl-L-lysyl-L-seryl-L-lysyl-L-α-glutamyl-L-isoleucylglycyl-L-lysyl-L-α-glutamyl-L-phenylalanyl-L-lysyl-L-arginyl-L-isoleucyl-L-valyl-L-glutaminyl-L-arginyl-L-isoleucyl-L-lysyl-L-α-aspartyl-L-phenylalanyl-L-leucyl-L-arginyl-L-asparaginyl-L-leucyl-L-valyl-L-prolyl-L-arginyl-L-threonyl-L-α-glutamyl-L-serine *antimicrobial, immunomodulator*

ropocamptide

peptide antibactérien LL-37 (humain):
L-leucyl-L-leucylglycyl-L-α-aspartyl-L-phénylalanyl-L-phénylalanyl-L-arginyl-L-lysyl-L-séryl-L-lysyl-L-α-glutamyl-L-isoleucylglycyl-L-lysyl-L-α-glutamyl-L-lysyl-L-lysyl-L-arginyl-L-isoleucyl-L-valyl-L-glutaminyl-L-arginyl-L-isoleucyl-L-lysyl-L-α-aspartyl-L-lysyl-L-leucyl-L-arginyl-L-asparaginyl-L-leucyl-L-valyl-L-prolyl-L-arginyl-L-thréonyl-L-α-glutamyl-L-sérine *antimicrobien, immunomodulateur*

ropocamptida

péptido antibacterial LL-37 (humano):
L-leucyl-L-leucylglycyl-L-α-aspartyl-L-phenylalanyl-L-phenylalanyl-L-arginyl-L-lysyl-L-seryl-L-lysyl-L-α-glutamyl-L-lysyl-L-lysyl-L-arginyl-L-isoleucyl-L-valyl-L-glutaminyl-L-arginyl-L-isoleucyl-L-lysyl-L-α-aspartyl-L-lysyl-L-leucyl-L-arginyl-L-arginyL-L-asparaginyl-L-leucyl-L-valyl-L-prolyl-L-arginyl-L-threonyl-L-α-glutamyl-L-serina *antimicrobiano, inmunomodulador*

C₂₀₅H₃₄₀N₆₀O₅₃

154947-66-7

LLGDFFRKSK EKIGKEFKRI VQRIKDFLRN LVPRTES 37

rovaleucelum
rovaleucel

human culture enriched/expanded autologous Epstein-Barr virus-specific cytotoxic T cells (EBV-CTL) derived from peripheral blood mononuclear cells (PBMCs) for cell-based therapy. Cells are generated by coculture with gamma irradiated autologous lymphoblastoid cell lines (LCL) and interleukin-2 (IL-2) stimulation.
cell therapy (antineoplastic)

rovaleucel	lymphocytes T cytotoxiques spécifiques du virus d'Epstein-Barr (EBV-CTL) humains, autologues, en culture d'expansion/enrichie, dérivés des cellules mononucléées du sang périphérique (PBMCs) pour thérapie cellulaire. Les cellules sont générées par coculture avec des lignées cellulaires lymphoblastoides (LCL) autologues irradiées par des rayons gamma et une stimulation par interleukine 2 (IL-2). <i>thérapie cellulaire (antineoplasique)</i>
rovaleucel	linfocitos T citotóxicos específicos del virus de Epstein-Barr (EBV-CTL), autólogos, humanos, expandidos/enriquecidos en cultivo, derivados de células mononucleares de sangre periférica (PBMCs) para terapia celular. Las células se generan mediante cocultivo con líneas celulares linfoblastoides autólogas irradiadas con radiación gamma y estimulación con interleukina-2 (IL-2). <i>terapia celular (antineoplásico)</i>
samotolisibum	
samotolisib	8-[5-(2-hydroxypropan-2-yl)pyridin-3-yl]-1-[(2S)-2-methoxypropyl]-3-methyl-1,3-dihydro-2H-imidazo[4,5-c]quinolin-2-one <i>phosphatidylinositol 3-kinase (PI3K) inhibitor, antineoplastic</i>
samotolisib	8-[5-(2-hydroxypropan-2-yl)pyridin-3-yl]-1-[(2S)-2-méthoxypropyl]-3-méthyl-1,3-dihydro-2H-imidazo[4,5-c]quinoléin-2-one <i>inhibiteur de phosphatidylinositol 3-kinase (PI3K), antineoplasique</i>
samotolisib	8-[5-(2-hidroxipropan-2-il)piridin-3-il]-1-[(2S)-2-metoxipropil]-3-metil-1,3-dihidro-2H-imidazo[4,5-c]quinolein-2-ona <i>inhibidor de fosfatidilinositol 3-quinas (PI3K), antineoplásico</i>
	C ₂₃ H ₂₆ N ₄ O ₃
	1386874-06-1
sasanlimab #	
sasanlimab	immunoglobulin G4-kappa, anti-[<i>Homo sapiens</i> PDCD1 (programmed cell death 1, PD-1, PD1, CD279)], humanized monoclonal antibody; gamma4 heavy chain humanized (1-444) [VH (<i>Homo sapiens</i> IGHV1-46*01 (85.7%) -(IGHD) -IGHJ4*01 (92.9%)) [8.8.10] (1-117)- <i>Homo sapiens</i> IGHG4*01 (CH1 (118-215), hinge S10>P (225) (216-227), CH2 (228-337), CH3 (338-442), CHS (443-444)) (118-444)], (131-220')-disulfide with kappa light chain humanized (1'-220') [V-KAPPA (<i>Homo sapiens</i> IGKV4-1*01 (87.1%) -IGKJ4*01 (100%)) [12.3.9] (1'-113') - <i>Homo sapiens</i> IGKC*01 (100%), Km3 A45.1 (159), V101 (197) (114'-220')]; dimer (223-223":226-226")-bisdisulfide, produced in a glutamine synthetase knockout-Chinese Hamster Ovary (CHO) based expression system (CHO-K1SV GS-KO), glycoform alfa immunomodulator, antineoplastic

sasanlimab	immunoglobuline G4-kappa, anti-[<i>Homo sapiens</i> PDCD1 (protéine 1 de mort cellulaire programmée, PD-1, PD1, CD279)], anticorps monoclonal humanisé; chaîne lourde gamma4 humanisée (1-444) [VH (<i>Homo sapiens</i> IGHV1-46*01 (85.7%) -(IGHD) -IGHJ4*01 (92.3%)) [8.8.10] (1-117) - <i>Homo sapiens</i> IGHG4*01 (CH1 (118-215), charnière S10>P (225) (216-227), CH2 (228-337), CH3 (338-442), CHS (443-444)) (118-444)], (131-220')-disulfure avec la chaîne légère kappa humanisée (1'-220') [V-KAPPA (<i>Homo sapiens</i> IGKV4-1*01 (87.1%) -IGKJ4*01 (100%)) [12.3.9] (1'-113') - <i>Homo sapiens</i> IGKC*01 (100%), Km3 A45.1 (159), V101 (197) (114'-220')]; dimère (223-223":226-226")-bisdisulfure, produit dans un système d'expression basé sur des cellules ovariennes de hamsters chinois (CHO) glutamine-synthétase knockout (CHO-K1SV GS-KO), glicoforme alfa <i>immunomodulateur, antinéoplasique</i>
sasanlimab	inmunoglobulina G4-kappa, anti-[<i>Homo sapiens</i> PDCD1 (proteína 1 de muerte celular programada, PD-1, PD1, CD279)], anticuerpo monoclonal humanizado; cadena pesada gamma4 humanizada (1-444) [VH (<i>Homo sapiens</i> IGHV1-46*01 (85.7%) -(IGHD) -IGHJ4*01 (92.3%)) [8.8.10] (1-117) - <i>Homo sapiens</i> IGHG4*01 (CH1 (118-215), bisagraS10>P (225) (216-227), CH2 (228-337), CH3 (338-442), CHS (443-444)) (118-444)], (131-220')-disulfuro con la cadena ligera kappa humanizada (1'-220') [V-KAPPA (<i>Homo sapiens</i> IGKV4-1*01 (87.1%) -IGKJ4*01 (100%)) [12.3.9] (1'-113') - <i>Homo sapiens</i> IGKC*01 (100%), Km3 A45.1 (159), V101 (197) (114'-220')]; dímero (223-223":226-226")-bisdisulfuro, producido en un sistema de expresión basado en células ováricas de hamsters chinos (CHO) glutamina sintetasa knockout (CHO-K1SV GS-KO), glicoforma alfa <i>inmunomodulador, antineoplásico</i>

2206792-50-7

Heavy chain / Chaîne lourde / Cadena pesada

```

QVQLVQSGAE VKKPGASVKV SCKASGYTFT SYWINWVRQA PGQGLEWMGN 50
IYPGSSLTNY NEKFKNRVTM TRDTSTVTPV MELSSLRSED TAVYYCARLS 100
TGTTFAYWGQQ TLTVTVSSAST KGPVSFFLAP CSRSSTESTA ALGCLVVDYF 150
PEPVTVWSNS GALTSGVHTF PAVLQSSGLY SLSSVTTVPS SSLGKTYTTC 200
NDVHKPSNTK VDKRVESEKYG PCPCPCPAE FLGGSPVLF PPKPKDILMI 250
SRTEPVTCVQ VDVSQEDPEV QFNWYVGVE VHNAKTKPQE EQFNSTYRVV 300
SVLTVLHQDW LNGKEYKCKV SNKGLPSSIE KTISAKAGQP REPQVYTLLP 350
SQEEMTQNQV SLTCLVKGFY PSDIAVEWES NGOPENNYKT TFPVLSDGS 400
FLFLYSRLTVQ KSRWQEGNVF SCSCVMHEALTH NHYTQKSLSL SLGK 444

```

Light chain / Chaîne légère / Cadena ligera

```

DIVMTQSPDS LAVSLGERAT INCKSSQSSLW DSGNQKNFLT WYQQKPGQPP 50
KLLIYWTSYR ESGVPDRFSG SGSGTDFTLT ISSLQAEDVA VYYCQNDYFY 100
PHTFGGGTAKV EIKRTVAAAPS VFTIFPPSDEQ LKSGTASVVC LLNNFYPREA 150
KVQWKVDNAL QSGNSQESVT EQDSKDSTYS LSSTLTLKA DYEKHKVYAC 200
EVTHQQLSSP VTKSFRNGEC 220

```

Post-translational modifications

Disulfide bridges location / Position des ponts disulfure / Posiciones de los puentes disulfuro
Intra-H (C23-C104) 22"-96" 144"-200" 258"-318" 364"-422"
22"-96" 144"-200" 258"-318" 364"-422"

Intra-L (C23-C104) 23"-94" 140"-200"
23"-94" 140"-200"

Inter-H-L (CH1 10-CL 126) 131-220" 131"-220"

Inter-H-H (h 8, h 11) 223-223" 226-226"

N-glycosylation sites / Sites de N-glycosylation / Posiciones de N-glicosilación
H CH2 N84.4:
294, 294"

Fucosylated complex bi-antennary CHO-type glycans / glycanes de type CHO bi-antennaires complexes fucosylés / glicanos de tipo CHO biantenarios complejos fucosilados

C-terminal lysine clipping:

H CHS K2:
444, 444"

serplulimab	immunoglobuline G4-kappa, anti-[<i>Homo sapiens</i> PDCD1 (protéine 1 de mort cellulaire programmée, PD-1, CD279)], anticorps monoclonal humanisé; chaîne lourde gamma4 <i>Homo sapiens</i> (1-443) [VH (<i>Homo sapiens</i> IGHV3-11*01 (93.8%) -(IGHD) - IGHJ1*01 (90.9%)) [8.8.9] (1-116) - <i>Homo sapiens</i> IGHG4*01 (CH1 (117-214), charnière 1-12 S10>P (224) (215-226), CH2 (227-336), CH3 (337-441), CHS (442-443)) (117-443)], (130-214')-disulfure avec la chaîne légère kappa humanisée (1'-214') [V-KAPPA (<i>Homo sapiens</i> IGKV1-39*01 (83.2%) -IGKJ4*01 (90.9%)) [6.3.9] (1'-107') - <i>Homo sapiens</i> IGKC*01 (100%), Km3 A45.1 (153), V101 (191) (108'-214')]; dimère (222-222":225-225")-bisdisulfure, produit dans des cellules ovariennes de hamsters chinois (CHO), glicoforme alfa <i>immunomodulateur, antinéoplasique</i>
serplulimab	munoglobulina G4-kappa, anti-[<i>Homo sapiens</i> PDCD1 (proteína 1 de muerte celular programada, PD-1, PD1, CD279)], anticuerpo monoclonal humanizado; cadena pesada gamma4 <i>Homo sapiens</i> (1-443) [VH (<i>Homo sapiens</i> IGHV3-11*01 (93.8%) -(IGHD) - IGHJ1*01 (90.9%)) [8.8.9] (1-116) - <i>Homo sapiens</i> IGHG4*01 (CH1 (117-214), bisagra1-12 S10>P (224) (215-226), CH2 (227-336), CH3 (337-441), CHS (442-443)) (117-443)], (130-214')-disulfuro con la cadena ligera kappa humanizada (1'-214') [V-KAPPA (<i>Homo sapiens</i> IGKV1-39*01 (83.2%) -IGKJ4*01 (90.9%)) [6.3.9] (1'-107') - <i>Homo sapiens</i> IGKC*01 (100%), Km3 A45.1 (153), V101 (191) (108'-214')]; dímero (222-222":225-225")-bisdisulfuro, producido en las células ováricas de hamsters chinos (CHO), glicoforma alfa <i>inmunomodulador, antineoplásico</i>

2231029-82-4

Heavy chain / Chaîne lourde / Cadena pesada

QVQLVESEGGGV LVRPGGSVRLR SCAASGFTTFS NYGMSWIRQA PGKGLEWVST 50
 ISGGGSNIY YY ADSVKGRFTI SRDNASKNSLY LQMNSLRAED TAVYYCVSYY 100
 YGIDFWNGQT SVTVSSASTK GPSVFPALPC SRSTSESTA LGCLVKDIFP 150
 EVPTVWSNNSG ALTSVGHTFP AVLQSSGLYS LSSVVTVPSS SLGTRTYTCN 200
 VDHKEPSNTKV DKRVESKYGP PCPCKPAAPEF LLGGSVFLFP PKPKDTLMIS 250
 RPPTEVTCVVV DVSQEDEPVVA FNWYVDDGVEV HNAKTPKREE QFNSTYRVVS 300
 VLTVLHQDWL NGKEYKCKVS NKGLPSSIEK TISKAKGQPR EPQVYTLPPS 350
 QEEMTKNQVS LTCLVKGFYP SDIAVEWESN GQPENNYKTT PPVLDSDGSF 400
 FLYSRSLTVDK SRWQEGNVFS CSVMEHALHN HYTQKSLSLIS LGK 443

Light chain / Chaîne légère / Cadena ligera

DIQMTQSPSS LSASVGDRVT ITCKASQDVT TAVAWYQQKPG GKAPKLLIYW 50
 ASTRRHTGVPS RFSGSSGSGTD FTILTSSLQP EDFATYCCQQ HYTIPTWFGG 100
 GTKLEIKRTV AAPSVFIFPPP SDEQLKSGTA SVVCLNNFY PREAKVQWKV 150
 DNALQSGNSQ ESVNEQDSKD STYSLSSLT LSKADYEKHK VYACEVTHQG 200
 LSSPVTKSFN RGEC 214

Post-translational modifications

Disulfide bridges location / Position des ponts disulfure / Posiciones de los puentes disulfuro

Intra-H (C23-C104) 22-96 143-199 257-317 363-421

22"-96" 143"-199" 257"-317" 363"-421"

Intra-L (C23-C104) 23-88" 134"-194"

23"-88" 134"-194"

Inter-H-L (CH1 10-CL 126) 130-214' 130"-214"

Inter-H-H (h 8, h 11) 222-222" 225-225"

N-terminal glutamine cyclization to pyroglutamate (pE, 5-oxoproline)

H VH Q1:

1, 1"

N-glycosylation sites / Sites de N-glycosylation / Posiciones de N-glicosilación

H CH2 N84.4:

293, 293"

Fucosylated complex bi-antennary CHO-type glycans / glycanes de tipo CHO bi-antennaires complexes fucosylés / glicanos de tipo CHO biantenarios complejos fucosilados

C-terminal lysine clipping:

H CHS K2:

443, 443"

setamevetcelum

setamevetcel

canine culture expanded adipose-derived allogeneic mesenchymal-like stromal cells for cell-based therapy. Cells express cell surface markers CD44 and CD90 (thy-1 membrane glycoprotein), and secrete interleukin-8 (IL-8), monocyte chemotactic protein 1 (MCP-1, C-C motif chemokine 2), hepatocyte growth factor (HGF, scatter factor, SF, hepatopoeitin A), metalloproteinase inhibitor 2 (TIMP-2), C-X-C motif chemokine 10 (CXCL10, 10 kDa interferon gamma-induced protein, IP-10), interleukin-1 receptor antagonist protein (IL-1RN , IL-1ra) and indoleamine 2,3-dioxygenase 1 (IDO-1, IDO). The cells are negative for CD34, CD45 and for the major histocompatibility complex (MHC) class II markers.
cell therapy (veterinary use)

sétamévetcel

cellules stromales semblables au mésenchyme, canines, allogéniques, dérivées de tissus adipeux, en culture d'expansion pour thérapie cellulaire. Les cellules expriment les marqueurs de surface CD44 et CD90 (glycoprotéine membranaire thy-1) et sécrètent de l'interleukine 8 (IL-8), protéine 1 chimio-attractante du monocytte (MCP-1, chimiokine 2 de motif C-C), facteur de croissance de l'hépatocyte (HGF, facteur dispersant, SF, hépatopoïétique A), inhibiteur 2 de métalloprotéinase (TIMP-2), chimiokine 10 de motif C-X-C (CXCL10, protéine de 10kDa induite par l'interféron gamma, IP-10), protéine antagoniste du récepteur de l'interleukine-1 (IL-1RN, IL-1ra) et l'indoleamine 2,3-dioxygénase 1 (IDO-1, IDO). Les cellules sont négatives pour les marqueurs CD34, CD45 et l'antigène majeur d'histocompatibilité (CMH) de classe II.
thérapie cellulaire (usage vétérinaire)

setamevetcel

células estromales parecidas a mesenquimales, alógénicas, de perro, derivadas de tejido adiposo y expandidas en cultivo para terapia celular. Las células expresan los marcadores de superficie CD44 y CD90 (glicoproteína de membrana thy-1), y secretan interleukina 8 (IL-8), proteína quimiotáctica de monocitos 1 (MCP-1, quimoquina con motivo C-C 2), factor de crecimiento de hepatocitos (HGF, factor dispersante, SF, hepatopoyetina A), inhibidor de metaloproteinasa 2 (TIMP-2), quimoquina con motivo C-X-C 10 (CXCL10, proteína de 10 kDa inductora de interferón gamma, IP-10), proteína antagonista del receptor de interleukina-1 (IL-1RN, IL-1ra) e indoleamina 2,3-dioxigenasa 1 (IDO-1, IDO). Las células son negativas para los marcadores CD34, CD45 y el antígeno principal de histocompatibilidad (MHC) de clase II.
terapia celular (uso veterinario)

simlukafuspum alfa #

simlukafusp alfa

immunoglobulin G1-kappa (anti-(human seprase (surface-expressed protease, fibroblast activation protein alpha, FAP α , prolyl endopeptidase FAP)), engineered human monoclonal antibody) fused to one interleukin 2 (IL2) chain, heterodimer:

gamma1 heavy chain (1-447) [*Homo sapiens* VH (*Homo sapiens* IGHV3-23*01 -(IGHD)- IGHJ4*01 [CDRKabatH1: SYAMS (31-35); CDRKabatH2: AIIGSGASTYYADSVKG (50-66); CDRKabatH3: GWFGGFNY (99-106)] (1-117) - *Homo sapiens* IGHG1*01 (CH1 (118-215), hinge (216-230), CH2 (L²³⁴>A, L²³⁵>A, P³²⁹>G) (231-340), CH3 (Y³⁴⁹>C, T³⁶⁶>S, L³⁶⁸>A, Y⁴⁰⁷>V) (341-445), CHS (446-447)) (118-447)], (220-215")-disulfide with kappa light chain (1'-215') [V-KAPPA (*Homo sapiens* IGKV3-20*01 -IGKJ1*01 [CDRKabatL1: RASQSVTSSYLA (24'-35'); CDRKabatL2[1]: VGSRRAT (51'-57'); CDRKabatL3[1]: QQGIMLPPT (90'-98')] (1'-108') - *Homo sapiens* IGKC*01 (109'-215')]; gamma1 heavy chain fused to IL2 (1"-594") [*Homo sapiens* VH (*Homo sapiens* IGHV3-23*01 -(IGHD)- IGHJ4*01 [CDRKabatH1: SYAMS (31"-35"); CDRKabatH2: AIIGSGASTYYADSVKG (50"-66"); CDRKabatH3: GWFGGFNY (99"-106")] (1"-117") - *Homo sapiens* IGHG1*01 (CH1 (118"-215"), hinge (216"-230"), CH2 (L²³⁴>A, L²³⁵>A, P³²⁹>G) (231"-340"), CH3 (S³⁵⁴>C, T³⁶⁶>W,) (341"-445"), CHS (446"-446") (K447del)) (118"-446") -(G₄S)₃ linker (447"-461") - *Homo sapiens* IL2 (Pr21-153) T²³>A (464"), F⁶²>A (503"), Y⁶⁵>A (506"), L⁹²>G (533"), C¹⁴⁵>A (586") (462"-594")], (220"-215")-disulfide with kappa light chain (1'"-215'') [V-KAPPA (*Homo sapiens* IGKV3-20*01 -IGKJ1*01 [CDRKabatL1: RASQSVTSSYLA (24"-35"'), CDRKabatL2: VGSRRAT (51"-57"'), CDRKabatL3: QQGIMLPPT (90"-98'')] (1""-108'") - *Homo sapiens* IGKC*01 (109""-215'")]; dimer (226-226":229-229":349-354")-trisdisulfide, produced in Chinese hamster ovary (CHO) cells, glycoform alfa immunomodulator, antineoplastic

simlukafusp alfa

immunoglobuline G1-kappa, anti-[séprase humaine (protéase exprimée à la surface, protéine alpha d'activation des fibroblastes, FAPα, prolyl endopeptidase FAP)], anticorps monoclonal humain issu de l'ingénierie) fusionnée à une chaîne de l'interleukine 2 humaine (IL2), hétérodimère: chaîne lourde gamma1 (1-447) [*Homo sapiens* VH (*Homo sapiens* IGHV3-23*01 -(IGHD)- IGHJ4*01 [CDRKabatH1: SYAMS (31-35); CDRKabatH2: AIIGSGASTYYADSVKG (50-66); CDRKabatH3: GWFGGFNY (99-106)] (1-117) - *Homo sapiens* IGHG1*01 (CH1 (118-215), charnière (216-230), CH2 (L²³⁴>A, L²³⁵>A, P³²⁹>G) (231-340), CH3 (Y³⁴⁹>C, T³⁶⁶>S, L³⁶⁸>A, Y⁴⁰⁷>V) (341-445), CHS (446-447)) (118-447)], (220-215")-disulfure avec la chaîne légère kappa (1'-215') [V-KAPPA (*Homo sapiens* IGKV3-20*01 -IGKJ1*01 [CDRKabatL1: RASQSVTSSYLA (24'-35'); CDRKabatL2[1]: VGSRRAT (51'-57'); CDRKabatL3[1]: QQGIMLPPT (90'-98')] (1'-108') - *Homo sapiens* IGKC*01 (109'-215')]; chaîne lourde gamma1 fusionné à l'IL2 (1"-594") [*Homo sapiens* VH (*Homo sapiens* IGHV3-23*01 -(IGHD)- IGHJ4*01 [CDRKabatH1: SYAMS (31"-35"); CDRKabatH2: AIIGSGASTYYADSVKG (50"-66"); CDRKabatH3: GWFGGFNY (99"-106")] (1"-117") - *Homo sapiens* IGHG1*01 (CH1 (118"-215"), charnière (216"-230"), CH2 (L²³⁴>A, L²³⁵>A, P³²⁹>G) (231"-340"), CH3 (S³⁵⁴>C, T³⁶⁶>W,) (341"-445"), CHS (446"-446") (K447del)) (118"-446") -(G₄S)₃ linker (447"-461") - *Homo sapiens* IL2 (Pr21-153) T²³>A (464"), F⁶²>A (503"), Y⁶⁵>A (506"), L⁹²>G (533"), C¹⁴⁵>A (586") (462"-594")], (220"-215")-disulfure avec la chaîne légère kappa (1'"-215'")]

[V-KAPPA (*Homo sapiens* IGKV3-20*01 -IGKJ1*01 [CDRKabatL1: RASQSVTSSYLA (24"-35"), CDRKabatL2: VGSRRAT (51"-57"), CDRKabatL3: QQGIMLPPT (90"-98")]) (1"-108") - *Homo sapiens* IGKC*01 (109"-215")]; dimère (226-226":229-229":349-354")-trisdisulfure, produit par des cellules ovariennes de hamster chinois (CHO), glicoforme alfa *immunomodulateur, antinéoplasique*

simlukafusp alfa

inmunoglobulina G1-kappa, anti-[seprasa humana (proteasa expresada en la superficie, proteína alfa de activación de los fibroblastos, FAP α , prolil endopeptidasa FAP)], anticuerpo monoclonal humano realizado a través de Ingeniera) fusionada con una cadena de la inerleukina 2 humana (IL2), heterodímero: cadena pesada gamma1 (1-447) [*Homo sapiens* VH (*Homo sapiens* IGHV3-23*01 -(IGHD)-IGHJ4*01 [CDRKabatH1: SYAMS (31-35); CDRKabatH2: AIIGSGASTYYADSVKG (50-66); CDRKabatH3: GWFGGFNY (99-106)]) (1-117) - *Homo sapiens* IGHG1*01 (CH1 (118-215), bisagra (216-230), CH2 (L²³⁴>A, L²³⁵>A, P³²⁹>G) (231-340), CH3 (Y³⁴⁹>C, T³⁶⁶>S, L³⁶⁸>A, Y⁴⁰⁷>V) (341-445), CHS (446-447)) (118-447)], (220-215')-disulfuro con la cadena ligera kappa (1"-215') [V-KAPPA (*Homo sapiens* IGKV3-20*01 -IGKJ1*01 [CDRKabatL1: RASQSVTSSYLA (24"-35'); CDRKabatL2[1]: VGSRRAT (51"-57'); CDRKabatL3[1]: QQGIMLPPT (90"-98")]) (1"-108") - *Homo sapiens* IGKC*01 (109"-215")]; cadena pesada gamma1 fusionada al IL2 (1"-594") [*Homo sapiens* VH (*Homo sapiens* IGHV3-23*01 -(IGHD)-IGHJ4*01 [CDRKabatH1: SYAMS (31"-35"); CDRKabatH2: AIIGSGASTYYADSVKG (50"-66"); CDRKabatH3: GWFGGFNY (99"-106")]) (1"-117") - *Homo sapiens* IGHG1*01 (CH1 (118"-215"), bisagra (216"-230"), CH2 (L²³⁴>A, L²³⁵>A, P³²⁹>G) (231"-340"), CH3 (S³⁵⁴>C, T³⁶⁶>W,) (341"-445"), CHS (446"-446") (K447del)) (118"-446") -(G_nS₃) linker (447"-461") - *Homo sapiens* IL2 (Pr21-153) T²³>A (464"), F⁶²>A (503"), Y⁶⁵>A (506"), L⁹²>G (533"), C¹⁴⁵>A (586") (462"-594")], (220"-215")-disulfuro con la cadena ligera kappa (1"-215") [V-KAPPA (*Homo sapiens* IGKV3-20*01 -IGKJ1*01 [CDRKabatL1: RASQSVTSSYLA (24"-35"), CDRKabatL2: VGSRRAT (51"-57"), CDRKabatL3: QQGIMLPPT (90"-98")]) (1"-108") - *Homo sapiens* IGKC*01 (109"-215")]; dímero 226-226":229-229":349-354")-trisdisulfuro, producido por las células ováricas de hamsters chinos (CHO), glicoforma alfa *inmunomodulador, antineoplásico*

1776942-10-9

Sequence / Séquence / Secuencia:

Heavy chain / Chaîne lourde / Cadena pesada (anti-FAP):

EVQLLESGGG LVQPGSLRL SCAASGFTFS SYAMSWVRQA PGKGLEWVSA 50
 IIIGSGASTYY ADSVKGRFTI SRDNSKNTLY LMNSLRAED TAVYYCAGW 100
 FGGFNYWQQG TLTVTVSSAST KGPSPVFLAP SSKSTSGGT ALGCLVVDYF 150
 PEPVTWSWNS GALTSGVHTF PAVLQSSGLY SLSSVVTVPS SSSLGTQTYIC 200
 NVNHKPSNTK VDKKVEPKSC DKTHTCPCP APEAAAGPSV FLFPKPKD 250
 LMISRTPEVT CVVVDVSHED PEVKFNWYVD GVEHNAKTK PREEQYNSTY 300
 RVSVSVLTVLH QDWLNGKEYK CKVSNKALGA PIERTISKAK GOPREPQVCT 350
 LPPSRDELTK NQVSLSCAVK GFYPSDIAVE WESNGQPENN YKTTTPVLDs 400
 DGSFFLVSKL TVDKSRWQQG NVFSCSVMHE ALHNHYTQKS LSLSPKG 447

Light chain / Chaîne légère / Cadena ligera:

EIVLTQS PGTL LSLS PGERAT LSCRASQSVT SSYLA WYQQK PGQAPRLLIN 50
 IIIGSGASTYY ADSVKGRFTI SRDN SKNTLY LMNSLRAED TAVYYCAGW 100
 FGGFNYWQQG TLTVTVSSAST KGPSPVFLAP SSKSTSGGT ALGCLVVDYF 150
 PEPVTWSWNS GALTSGVHTF PAVLQSSGLY SLSSVVTVPS SSSLGTQTYIC 200
 NVNHKPSNTK VDKKVEPKSC DKTHTCPCP APEAAAGPSV FLFPKPKD 250
 LMISRTPEVT CVVVDVSHED PEVKFNWYVD GVEHNAKTK PREEQYNSTY 300
 RVSVSVLTVLH QDWLNGKEYK CKVSNKALGA PIERTISKAK GOPREPQVCT 350
 LPPSRDELTK NQVSLWCLVK GFYPSDIAVE WESNGQPENN YKTTTPVLDs 400
 GLSSPVTKSF NRGEc 215

Heavy chain / Chaîne lourde / Cadena pesada (anti-FAP fused with IL2):

EVQLLESGGG LVQPGSLRL SCAASGFTFS SYAMSWVRQA PGKGLEWVSA 50
 IIIGSGASTYY ADSVKGRFTI SRDN SKNTLY LMNSLRAED TAVYYCAGW 100
 FGGFNYWQQG TLTVTVSSAST KGPSPVFLAP SSKSTSGGT ALGCLVVDYF 150
 PEPVTWSWNS GALTSGVHTF PAVLQSSGLY SLSSVVTVPS SSSLGTQTYIC 200
 NVNHKPSNTK VDKKVEPKSC DKTHTCPCP APEAAAGPSV FLFPKPKD 250
 LMISRTPEVT CVVVDVSHED PEVKFNWYVD GVEHNAKTK PREEQYNSTY 300
 RVSVSVLTVLH QDWLNGKEYK CKVSNKALGA PIERTISKAK GOPREPQVCT 350
 LPPCRDELTK NQVSLWCLVK GFYPSDIAVE WESNGQPENN YKTTTPVLDs 400
 DGSFFLVSKL TVDKSRWQQG NVFSCSVMHE ALHNHYTQKS LSLSPGGGG 450
 SGGGGSGGGG SAPASSSTKK TQJOLEHLLL DLQMILNGIN NYKNPKLTRM 500
 LTAKFAMPKK ATELKHLQCL EEELKPLEEV LNGAQSKNFH LRPRDLISNI 550
 NVIVLELKGS ETTFMCEYAD ETATIVEFLN RWITAFAQSII STLT 694

Light chain / Chaîne légère / Cadena ligera:

EIVLTQS PGTL LSLS PGERAT LSCRASQSVT SSYLA WYQQK PGQAPRLLIN 50
 VGSRATGIP DRFGSGSGGT DFTLTISRL PEDFAVYVCQ QGIMLPPTFG 100
 QGTVKEIKRT VAAPS VIFIP PSDEQ LKSGT ASVUCLNNF YPREAKVQWK 150
 VNDA LQS GNS QESVTEQDSK DSTY SLS STL TLSKADYEKH KVYACEVTHQ 200
 GLSSPVTKSF NRGEc 215

Disulfide bridge location / Position de la pont disulfure / Posición del puente disulfuro:

intra-H: IgG1: 22-96, 144-200, 261-321, 367-425,

22"-96", 144"-200", 261"-321", 367"-425"

:IL-2: 519"-566"

intra-L: 23"-89", 135"-195", 23"-89", 135"-195"

inter-H-L: 220-215", 220"-215"

inter-H-H: 226-226", 229-229", 349-354"

Glycosylation sites / Sites de glycosylation / Posiciones de glicosilación
N297, N297"**sinbaglustatum**
sinbaglustat(2S,3R,4R,5S)-2-(hydroxymethyl)-1-pentylpiperidine-3,4,5-triol
ceramide glucosyltransferase inhibitor

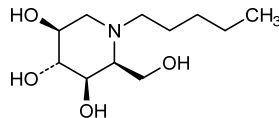
sinbaglustat

(2S,3R,4R,5S)-2-(hydroxyméthyl)-1-pentylpipéridine-3,4,5-triol
inhibiteur de la céamide glucosyltransférase

sinbaglustat

(2S,3R,4R,5S)-2-(hidroximetil)-1-pentilpiperidina-3,4,5-triol
*inhibidor de la ceramida glucosiltransferasa*C₁₁H₂₃NO₄

441061-33-2



sonelokimabum #

sonelokimab

immunoglobulin single chain VH-VH'-VH, anti-[*Homo sapiens* IL17A (interleukin 17A, IL-17A) and *Homo sapiens* IL17F (interleukin 17F, IL-17F)] and anti-[*Homo sapiens* ALB (albumin, human serum albumin, HAS)], humanized *Lama glama* monoclonal antibody, bispecific trivalent; scVH-VH'-VH (1-378) [humanized VH anti-IL17F (*Vicugna pacos* IGHV3-3*01 (85.6%) -(IGHD) -IGHJ5*01 (100%)/*Homo sapiens* IGHV3-23*04 (83.3%) -(IGHD) -IGHJ5*01 (100%)) [8.8.16] (1-123) -9-mer linker (tetraglycyl-seryl-triglycyl-seryl) (124-132) -humanized VH' anti-ALB (*Homo sapiens* IGHV3-23*04 (89.6%) -(IGHD) -IGHJ4*01 W118>S (237), G119 (238) (90.9%)) [8.8.8] (133-247) -9-mer linker (tetraglycyl-seryl-triglycyl-seryl) (248-256) -humanized VH anti-IL17A and anti-IL17F (*Vicugna pacos* IGHV3-3*01 (86.6%) -(IGHD) -IGHJ2*01 (92.3%)/*Homo sapiens* IGHV3-23*04 (85.6%) -(IGHD) -IGHJ5*01 (75.0%)) [6.8.17] (257-378), produced in the yeast *Pichia pastoris* (*Komagataella phaffii*), non-glycosylated *immunomodulator*

sonélokimab

immunoglobuline chaîne unique VH-VH'-VH, anti-[*Homo sapiens* IL17A (interleukine 17A, IL-17A) et *Homo sapiens* IL17F (interleukine 17F, IL-17F)] et anti-[*Homo sapiens* ALB (albumine, sérum albumine humaine, SAH)], anticorps monoclonal *Lama glama* humanisé, bispécifique trivalent; scVH- VH'-VH (1-378) [VH chimérique anti-IL17F (*Vicugna pacos* IGHV3-3*01 (85.6%) -(IGHD) -IGHJ5*01 (100%)/*Homo sapiens* IGHV3-23*04 (83.3%) -(IGHD) -IGHJ5*01 (100%)) [8.8.16] (1-123) -9-mer linker (tétraglycyl-séryl-triglycyl-séryl) (124-132) -VH' humanisé anti-ALB (*Homo sapiens* IGHV3-23*04 (89.6%) -(IGHD) -IGHJ4*01 W118>S (237), G119 (238) (90.9%)) [8.8.8] (133-247) -9-mer linker (tétraglycyl-séryl-triglycyl-séryl) (248-256) -VH chimérique anti-IL17A and anti-IL17F (*Vicugna pacos* IGHV3-3*01 (86.6%) -(IGHD) -IGHJ2*01 (92.3%)/*Homo sapiens* IGHV3-23*04 (85.6%) -(IGHD) -IGHJ5*01 (75.0%)) [6.8.17] (257-378), produit dans la levure *Pichia pastoris* (*Komagataella phaffii*), non-glycosylé *immunomodulateur*

sonelokimab

inmunoglobulina cadena única VH-VH'-VH, anti-[*Homo sapiens* IL17A (interleukina 17A, IL-17A) y *Homo sapiens* IL17F (interleukina 17F, IL-17F)] y anti-[*Homo sapiens* ALB (albúmina, albúmina sérica humana, SAH)], anticuerpo monoclonal *Lama glama* humanizado, biespecífico trivalente; scVH- VH'-VH (1-378) [VH químérico anti-IL17F (*Vicugna pacos* IGHV3-3*01 (85.6%) -(IGHD) -IGHJ5*01 (100%)/*Homo sapiens* IGHV3-23*04 (83.3%) -(IGHD) -IGHJ5*01 (100%)) [8.8.16] (1-123) - conector 9-mer (tetraglicil-seril-triglicil-seril) (124-132) -VH' humanizado anti-ALB (*Homo sapiens* IGHV3-23*04 (89.6%) -(IGHD) -IGHJ4*01 W118>S (237), G119 (238) (90.9%)) [8.8.8] (133-247) -conecto 9-mer (tetraglicil-seril-triglicil-seril) (248-256) -VH químérico anti-IL17A y anti-IL17F (*Vicugna pacos* IGHV3-3*01 (86.6%) -(IGHD) -IGHJ2*01 (92.3%)/*Homo sapiens* IGHV3-23*04 (85.6%) -(IGHD) -IGHJ5*01 (75.0%)) [6.8.17] (257-378), producido en la levadura *Pichia pastoris* (*Komagataella phaffii*), no glicosilado *inmunomodulador*

1414386-05-2

scVH-VH'-VH chain / Chaîne scVH-VH'-VH / Cadena scVH-VH'-VH
 DVQLVESGGG LVQPGGLSLRL SCAASGRIFS SYVVGWERQA PGKEREFIGA 50
 ISGSGESIYY AVSEKEGRFTI SRDN SKNTLY LQMNSL RPEP TAVY YCTADQ 100
 EFGYLRLFGRS EYWQ QGTILVT VSSGGGGSEG GSEVQLVESG GGLVQPGNSL 150
 RLSCAASGFT FFSFGMSWWR QAFPGKLEWV SSISGGGS DT LYADSVKGRF 200
 TISR NAKTTT LYLQMNSLRP EDTAVYYCTI GGSLSRSSQG TLTVVSSGGG 250
 GSGGGSEVQL VESGGGLVQP GGSLRLSCAA SGRTYDAMW LRQAPGKERE 300
 FVAATSGSGD DTYYADSVKG RFTISR DNSK NTLYLQMNSL RPEDTAVYYC 350
 ATRRLGLYVWV DANDYENWQQ GTLTVVSS 378

Post-translational modifications

Disulfide bridges location / Position des ponts disulfure / Posiciones de los puentes disulfuro
 Intra-single chain (C23-C104) 22-96 154-228 278-350

No N-glycosylation sites / pas de sites de N-glycosylation / ningún sitio de N-glicosilación

sovateltidum

sovateltide

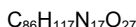
N¹-(3-carboxypropanoyl)endothelin-1 (human) (8-21)-peptide (1-14) [K2>E,C4>A,C8>A];
N-(3-carboxypropanoyl)-L-α-aspartyl-L-α-glutamyl-L-α-glutamyl-L-alanyl-L-valyl-L-tyrosyl-L-phenylalanyl-L-alanyl-L-histidyl-L-leucyl-L-α-aspartyl-L-isoleucyl-L-isoleucyl-L-tryptophan
endothelin receptor agonist

sovateltide

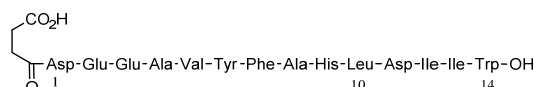
N¹-(3-carboxypropanoyl)endotheline-1 (humaine) (8-21)-peptide (1-14) [K2>E,C4>A,C8>A];
N-(3-carboxypropanoyl)-L-α-aspartyl-L-α-glutamyl-L-α-glutamyl-L-alanyl-L-valyl-L-tyrosyl-L-phénylalanyl-L-alanyl-L-histidyl-L-leucyl-L-α-aspartyl-L-isoleucyl-L-isoleucyl-L-tryptophane
antagoniste du récepteur de l'endotheline

sovateltida

N¹-(3-carboxipropanoyl)endotelina-1 (humana) (8-21)-péptido (1-14) [K2>E,C4>A,C8>A];
N-(3-carboxipropanoyl)-L-α-aspartil-L-α-glutamil-L-α-glutamil-L-alanil-L-valil-L-tirosil-L-fenilalanil-L-alanil-L-histidil-L-leucil-L-α-aspartil-L-isoleucil-L-isoleucil-L-triptófano
antagonista del receptor de la endotelina



142569-99-1

**stapuldencelum**

stapuldencel

human autologous monocyte-derived dendritic cells (MoDCs) generated *ex-vivo* from patient's peripheral blood mononuclear cells (PBMCs) for cell-based therapy. The cells are differentiated from autologous adherent monocytes by culturing in the presence of interleukin-4 (IL-4) and granulocyte-macrophage colony-stimulating factor (GM-CSF), and pulsed with a killed human prostate adenocarcinoma cell line.
cell therapy (antineoplastic)

stapuldencel

cellules dendritiques autologues humaines dérivées des monocytes, générées *ex vivo* à partir de cellules mononucléées du sang périphérique des patients, pour thérapie cellulaire. Les cellules se différencient à partir des monocytes adhérents autologues par culture en présence d'interleukine 4 (IL-4) et du facteur stimulant les colonies de granulocytes et de macrophages (GM-CSF), et pulsées par des cellules tuées d'une lignée cellulaire humaine d'adénocarcinome de la prostate.
thérapie cellulaire (antineoplastique)

estapuldencel

células dentríticas autólogas humanas derivadas de monocitos, generadas *ex vivo* a partir de células mononucleares de sangre periférica de pacientes, para terapia celular. Las células se diferencian a partir de monocitos adherentes autólogos mediante cultivo en presencia de interleucina-4 (IL-4) y factor estimulador de colonias de granulocitos y macrófagos (GM-CSF), y pulsadas con células matadas de una línea celular de adenocarcinoma prostático humana. *terapia celular (antineoplásico)*

suvodirsenum

suvodirsen

[all-P^S-(S)]-2'-deoxy-2'-fluoro-P-thiouridyl-(3'→5')-2'-deoxy-2'-fluoro-P-thiocytidylyl-(3'→5')-2'-deoxy-2'-fluoro-P-thioadenylyl-(3'→5')-2'-deoxy-2'-fluoro-P-thioadenylyl-(3'→5')-2'-deoxy-2'-fluoro-P-thioguananyl-(3'→5')-2'-deoxy-2'-fluoro-P-thioguananyl-(3'→5')-2'-O-methyladenylyl-(3'→5')-2'-deoxy-2'-fluoro-P-thioadenylyl-(3'→5')-2'-O-methylguanylyl-(3'→5')-2'-O-methyl-P-thioadenylyl-(3'→5')-2'-deoxy-2'-fluoro-P-thiouridyl-(3'→5')-2'-O-methylguanylyl-(3'→5')-2'-deoxy-2'-fluoro-P-thiouridyl-(3'→5')-2'-deoxy-2'-fluoro-P-thiocytidylyl-(3'→5')-2'-deoxy-2'-fluoro-P-thiocytidylyl-(3'→5')-2'-deoxy-2'-fluorouridine
promotion of functional dystrophin synthesis

suvodirsen

[tout-P^S-(S)]-2'-désoxy-2'-fluoro-P-thiouridyl-l(3'→5')-2'-désoxy-2'-fluoro-P-thiocytidyl-l(3'→5')-2'-désoxy-2'-fluoro-P-thioadényl-l(3'→5')-2'-désoxy-2'-fluoro-P-thioadényl-l(3'→5')-2'-désoxy-2'-fluoro-P-thioguananyl-l(3'→5')-2'-désoxy-2'-fluoro-P-thioguananyl-l(3'→5')-2'-O-méthyladényl-l(3'→5')-2'-désoxy-2'-fluoro-P-thioadényl-l(3'→5')-2'-O-méthylguananyl-l(3'→5')-2'-O-méthyl-P-thioadényl-l(3'→5')-2'-désoxy-2'-fluoro-P-thiouridyl-l(3'→5')-2'-O-méthylguananyl-l(3'→5')-2'-O-méthylguananyl-l(3'→5')-2'-désoxy-2'-fluoro-P-thiocytidyl-l(3'→5')-2'-désoxy-2'-fluoro-P-thioadényl-l(3'→5')-2'-désoxy-2'-fluoro-P-thiouridyl-l(3'→5')-2'-désoxy-2'-fluoro-P-thiocytidyl-l(3'→5')-2'-désoxy-2'-fluorouridine

suvodirsén

[*todo-P*^{-S}(S)]-2'-desoxi-2'-fluoro-*P*-tiouridilil-(3'→5')-2'-desoxi-2'-fluoro-*P*-tioctidilil-(3'→5')-2'-desoxi-2'-fluoro-*P*-tioadenilil-(3'→5')-2'-desoxi-2'-fluoro-*P*-tioguanilil-(3'→5')-2'-desoxi-2'-fluoro-*P*-tioguanilil-(3'→5')-2'-O-metiladenilil-(3'→5')-2'-desoxi-2'-fluoro-*P*-tioadenilil-(3'→5')-2'-O-metilguanilil-(3'→5')-2'-O-metil-*P*-tioadenilil-(3'→5')-2'-desoxi-2'-fluoro-*P*-tiouridilil-(3'→5')-2'-O-metilguanilil-(3'→5')-2'-O-metilguanilil-(3'→5')-2'-desoxi-2'-fluoro-*P*-tioguanilil-(3'→5')

tiocitidilil-(3'→5')-2'-desoxi-2'-fluoro-P-tioadenilil-(3'→5')-2'-desoxi-2'-fluoro-P-tiouridilil-(3'→5')-2'-desoxi-2'-fluoro-P-tiouridilil-(3'→5')-2'-desoxi-2'-fluoro-P-tiocitidilil-(3'→5')-2'-desoxi-2'-fluorouridina
estimulación de la síntesis de distrofina funcional

$C_{196}H_{230}F_{15}N_{76}O_{108}P_{19}S_{15}$ 2095270-67-8

(3'-5') U=C=A=A=G=G=A-A=G-A=U=G-G-C=A=U=U=U=C=U

Legend: $\overline{\text{O}}\text{OH}$ OSH A , C , G & U =
 $\text{P}-$ $\text{P}-\text{sp}$ 2'-deoxy-2'-fluoronucleotide
 $\text{A} \& \text{G} =$
 $\text{2}'-\text{O-methylnucleotide}$

tafolecimab #
tafolecimab

immunoglobulin G2-kappa, anti-[*Homo sapiens* PCSK9 (proprotein convertase subtilisin/kexin type 9, neural apoptosis-regulated convertase 1, NARC1, NARC-1, proprotein convertase 9, PC9)], *Homo sapiens* monoclonal antibody; gamma2 heavy chain *Homo sapiens* (1-451) [VH (*Homo sapiens*IGHV4-39*01 (96.0%) -(IGHD) - IGHJ5*02 (93.8%)) [10.7.18] (1-126) -*Homo sapiens* IGHG2*01 (CH1 (127-224), hinge 1-12 (225-236), CH2 (237-345), CH3 (346-450), CHS K2>del (451)) (127-451)], (140-213')-disulfide with kappa light chain *Homo sapiens* (1'-213') [V-KAPPA (*Homo sapiens*IGKV3-11*01 (98.9%) -IGKJ4*01 (91.7%)) [6.3.8] (1'-106') -*Homo sapiens* IGKC*01 (100%), Km3 A45.1 (152), V101 (190) (107'-213')]; dimer (228-228":229-229":232-232":235-235")-tetrakisdisulfide, produced in Chinese Hamster Ovary (CHO)-S cell line, glycoform alfa *antihypercholesterolemic*

tafolécimab

immunoglobuline G2-kappa, anti-[*Homo sapiens* PCSK9 (protéine convertase subtilisine/kexine type 9, convertase 1 régulée par l'apoptose neuronale, NARC1, NARC-1, proprotéine convertase 9, PC9)], anticorps monoclonal *Homo sapiens*; chaîne lourde gamma2 *Homo sapiens* (1-451) [VH (*Homo sapiens*IGHV4-39*01 (96.0%) -(IGHD) - IGHJ5*02 (93.8%)) [10.7.18] (1-126) -*Homo sapiens* IGHG2*01 (CH1 (127-224), charnière 1-12 (225-236), CH2 (237-345), CH3 (346-450), CHS K2>del (451)) (127-451)], (140-213')-disulfure avec la chaîne légère kappa *Homo sapiens* (1'-213') [V-KAPPA (*Homo sapiens*IGKV3-11*01 (98.9%) -IGKJ4*01 (91.7%)) [6.3.8] (1'-106') -*Homo sapiens* IGKC*01 (100%), Km3 A45.1 (152), V101 (190) (107'-213')]; dimère (228-228":229-229":232-232":235-235")-tétrakidisulfure, produit dans des cellules ovariennes de hamsters chinois (CHO) lignée cellulaire CHO-S, glycoforme alfa *antihypercholestérolémique*

tafolecimab

inmunoglobulina G2-kappa, anti-[*Homo sapiens* PCSK9 (proteína convertasa subtilisina/kexina tipo 9, convertasa 1 regulada por la apoptosis neuronal, NARC1, NARC-1, proteína convertasa 9, PC9)], anticuerpo monoclonal *Homo sapiens*; cadena pesada gamma2 *Homo sapiens* (1-451) [VH (*Homo sapiens* IGHV4-39*01 (96.0%) -(IGHD) - IGHJ5*02 (93.8%)) [10.7.18] (1-126) -*Homo sapiens* IGHG2*01 (CH1 (127-224), bisagra 1-12 (225-236), CH2 (237-345), CH3 (346-450), CHS K2>del (451)) (127-451)], (140-213')-disulfuro con la cadena ligera kappa *Homo sapiens* (1'-213') [V-KAPPA (*Homo sapiens* IGKV3-11*01 (98.9%) -IGKJ4*01 (91.7%)) [6.3.8] (1'-106') -*Homo sapiens* IGKC*01 (100%), Km3 A45.1 (152), V101 (190) (107'-213')]; dímero (228-228":229-229":232-232":235-235")-tetrakisdisulfuro, producido en las células ováricas de hamsters chinos (CHO) línea celular CHO-S, glicoforma alfa **antihipercolesterolémico**

2225109-03-3

Heavy chain / Chaîne lourde / Cadena pesada

QLOLQESGGP LVKPSETLSL TCTVSGGSIS SASYYSWIR QPPKGKLEWI 50
GSINYRGSTY YNPLSKSRVTI ISVDTSKNQF SLKLSSVTAAT DTAVYYCARE 100
NSGVYFAAGP NWFGFWGQGT LTVTSSASTK GPSVFPLAPC SRSTSESTAA 150
LGCLVKDYFP EPVTVSNNSC ALTSGVHTFP AVLQSSGLYS LSSVVTVPSS 200
NFGTQTYTCW VDHKFSNTKV DKTVERKCCV ECFPCPAFPV AGPSVFLFP 250
KPKDTLMISR TPEVTCVVVD VSHEDPEVQF NWYVVGVEHV NAKTKPREEQ 300
FNSTFRVVS VLTVVHQDWL GKELYCKKVSN KGLPAPIEKT ISKTKGPRE 350
PQVYTLPPSR EEMTKNQVSL TCLVKGFYPS DIAVEWESNG QFENNYKTPP 400
PMLDSDGSSF LYSLKLTVDKS RWQQGNVFSC SVMHEALHNH YTQKSLSLSP 450
G 451

Light chain / Chaîne légère / Cadena ligera

EIVLTQSPAT LSLSPGERAT LSCRASQSVS SYLAWSYQQKP QQAPRLLIYD 50
ASNRTAGIPA RFSGSGGGTD FTLLTSSLEP EDFAVYYCQQ RRNWFTFGGG 100
TKVEIKRTVA APSVPIFPPS DEQLKSGTAS VVCLLNNFYP REAKWQKVD 150
NALQSGNSQE SVTEQDSKDS TYSLSTSLLT SKADYEKHKV YACEVTHQGL 200
SSFVTKSFRN GEC 213

Post-translational modifications

Disulfide bridges location / Position des ponts disulfure / Posiciones de los puentes disulfuro
Intra-H (C23-C104) 22-97 153-209 266-326 372-430
22"-97" 153"-209" 266"-326" 372"-430"

Intra-L (C23-C104) 23"-88" 133"-193"
23"-88"" 133"-193""

Inter-H-L (CH1 10-CL 126) 140-213" 140"-213"

Inter-H-H (h 4, h 5, h 8, h 11) 228-228" 229-229" 232-232" 235-235"

N-terminal glutamine cyclization to pyroglutamate (pE, 5-oxoproline)

H VH Q1:

I, I"

N-glycosylation sites / Sites de N-glycosylation / Posiciones de N-glicosilación

H CH2 N84 A:

302, 302"

Fucosylated complex bi-antennary CHO-type glycans / glycanes de type CHO bi-antennaires complexes fucosylés / glicanos de tipo CHO biantenarios complejos fucosilados.

talquetamabum #
talquetamab

immunoglobulin G4-kappa/G4-lambda, anti-[*Homo sapiens* GPRC5D (G protein-coupled receptor class C group 5 member D)], and anti-[*Homo sapiens* CD3E (CD3 epsilon, Leu-4)], humanized and chimeric monoclonal antibody, bispecific; gamma4 heavy chain humanized anti-GPRC5D (1-445) [VH (*Homo sapiens* IGHV1-18*01 (89.8%) -(IGHD) -IGHJ4*01 (92.9%)) [8.8.11] (1-118) -*Homo sapiens* IGHG4*01 (CH1 (119-216), hinge 1-12 S10>P (226) (217-228), CH2 F1.3>A (232), L1.2>A (233) (229-338), CH3 (339-443), CHS (444-445)) (119-445)], (132-214')-disulfide with kappa light chain humanized

	<p>anti-GPRC5D (1'-214') [V-KAPPA (<i>Homo sapiens</i> IGKV1-17*02 (85.3%) - IGKJ2*01 (100%)) [6.3.9] (1'-107') -<i>Homo sapiens</i> IGKC*01 (100%), Km3 A45.1 (153), V101 (191) (108'-214')];</p> <p>gamma4 heavy chain chimeric anti-CD3E (1-452) [VH (<i>Mus musculus</i>IGHV10-1*02 (89.8%)/<i>Homo sapiens</i> IGHV3-72*01 (88.0%) -(IGHD) - IGHJ6*01 (90.9%)) [8.10.16] (1-125) -<i>Homo sapiens</i> IGHG4*01 (CH1 (126-223), hinge 1-12 S10>P (233) (224-235), CH2 F1.3>A (239), L1.2>A (240) (236-345), CH3 F85.1>L (410), R88>K (414) (346-450), CHS (451-452)) (126-452)], (139-214')-disulfide with lambda light chain humanized anti-CD3E (1'-215') [V-LAMBDA (<i>Homo sapiens</i> IGLV7-43*01 (81.9%) - IGLJ3*02 (100%)) [9.3.9] (1'-109') -<i>Homo sapiens</i> IGLC2*01 (100%) (110'-215')];</p> <p>dimer (224-231":227-234")-bisdisulfide, produced in Chinese Hamster Ovary (CHO)-K1 cell line, glycoform alfa</p> <p><i>immunomodulator, antineoplastic</i></p>
talquétamab	<p>immunoglobuline G4-kappa/G4-lambda, anti-[<i>Homo sapiens</i> GPRC5D (membre D du groupe 5 de la classe C du récepteur couplé aux protéines G)], et anti-[<i>Homo sapiens</i> CD3E (CD3 epsilon, Leu-4)], anticorps monoclonal humanisé et chimérique, bispécifique;</p> <p>chaîne lourde gamma4 anti-GPRC5D humanisée (1-445) [VH (<i>Homo sapiens</i> IGHV1-18*01 (89.8%) -(IGHD) -IGHJ4*01 (92.9%)) [8.8.11] (1-118) -<i>Homo sapiens</i> IGHG4*01 (CH1 (119-216), charnière 1-12 S10>P (226) (217-228), CH2 F1.3>A (232), L1.2>A (233) (229-338), CH3 (339-443), CHS (444-445)) (119-445)], (132-214')-disulfure avec la chaîne légère kappa anti-GPRC5D humanisée (1'-214') [V-KAPPA (<i>Homo sapiens</i> IGKV1-17*02 (85.3%) -IGKJ2*01 (100%)) [6.3.9] (1'-107') -<i>Homo sapiens</i> IGKC*01 (100%), Km3 A45.1 (153), V101 (191) (108'-214')];</p> <p>chaîne lourde gamma4 anti-CD3 chimérique (1-452) [VH (<i>Mus musculus</i>IGHV10-1*02 (89.8%)/<i>Homo sapiens</i> IGHV3-72*01 (88.0%) -(IGHD) - IGHJ6*01 (90.9%)) [8.10.16] (1-125) -<i>Homo sapiens</i> IGHG4*01 (CH1 (126-223), charnière 1-12 S10>P (233) (224-235), CH2 F1.3>A (239), L1.2>A (240) (236-345), CH3 F85.1>L (410), R88>K (414) (346-450), CHS (451-452)) (126-452)], (139-214')-disulfure avec la chaîne légère lambda anti-CD3E humanisée (1'-215') [V-LAMBDA (<i>Homo sapiens</i> IGLV7-43*01 (81.9%) -IGLJ3*02 (100%)) [9.3.9] (1'-109') -<i>Homo sapiens</i> IGLC2*01 (100%) (110'-215')]; dimère (224-231":227-234")-bisdisulfure, produit dans des cellules ovariennes de hamsters chinois (CHO) lignée cellulaire K1, glycoforme alfa</p> <p><i>immunomodulateur, antinéoplasique</i></p>
talquetamab	<p>inmunoglobulina G4-kappa/G4-lambda, anti-[<i>Homo sapiens</i> GPRC5D (miembro D del grupo 5 de la clase C del receptor acoplado con proteínas G)], y anti-[<i>Homo sapiens</i> CD3E (CD3 épsilon, Leu-4)], anticuerpo monoclonal humanizado y quimérico, biespecífico;</p> <p>cadena pesada gamma4 anti-GPRC5D humanizada (1-445) [VH (<i>Homo sapiens</i> IGHV1-18*01 (89.8%) -(IGHD) -IGHJ4*01 (92.9%)) [8.8.11] (1-118) -<i>Homo sapiens</i> IGHG4*01 (CH1 (119-216), bisagra 1-12 S10>P (226) (217-228), CH2 F1.3>A (232), L1.2>A (233) (229-338), CH3 (339-443), CHS (444-445)) (119-445)], (132-214')-disulfuro con la cadena ligera kappa anti-GPRC5D humanizada (1'-214') [V-KAPPA (<i>Homo sapiens</i> IGKV1-17*02 (85.3%) -IGKJ2*01 (100%)) [6.3.9] (1'-107') -<i>Homo sapiens</i> IGKC*01 (100%), Km3 A45.1 (153), V101 (191) (108'-214')];</p> <p>cadena pesada gamma4 anti-CD3 quimérica (1-452) [VH (<i>Mus musculus</i>IGHV10-1*02 (89.8%)/<i>Homo sapiens</i> IGHV3-72*01 (88.0%) -(IGHD) - IGHJ6*01 (90.9%)) [8.10.16] (1-125) -<i>Homo sapiens</i> IGHG4*01 (CH1 (126-223), bisagra 1-12 S10>P (233) (224-235), CH2 F1.3>A (239), L1.2>A (240) (236-345), CH3 F85.1>L (410), R88>K (414) (346-450), CHS (451-452)) (126-452)], (139-214')-disulfuro con la cadena ligera</p>

lambda anti-CD3E humanizada (1'-215') [V-LAMBDA
(*Homo sapiens* IGLV7-43*01 (81.9%) -IGLJ3*02
(100%)) [9.3.9] (1'-109') -*Homo sapiens* IGLC2*01
(100%) (110'-215')]; dímero (224-231":227-234")-
bisdisulfuro, producido en las células ováricas de
hamsters chinos (CHO) línea celular K1, glicoforma
alfa
inmunomodulador, antineoplásico

2226212-40-2

Heavy chain / Chaîne lourde / Cadena pesada (anti-GPRC5D)
 QVQLVQSGAE VKKPGASVKV SCKASCYSTF GYTMMNWVRQA PGQGLEWMLG 50
 INPYNSDTNY AQLQGRVTM TTDITSTAY MELRSLRSDD TAVYYCARVA 100
 LRVALDYWQQ GTLVTVSSA TKGFSVFPQA PCSRSTSEST AALGCLVKDYY 150
 FPEEPVTWSWQ SGALTSGVHT FFAVLQSGL YSSLSSVTVTE SSSLPKDTLY 200
 CNVDHKPSNT KVDKVKPESKY GPCPCPAP EAAGGSPVFL FFPKPKDTLM 250
 ISRTPEVTCV VVDSVQEDPE YQFNWVYDG EVHNNAKTKPQ EEEQFNSTYR 300
 VSVLTVLHQD WLNLNGKEYCK VSNKGLPSSI EKTISKAKXQ PREPOVYTL 350
 PSQEEMTRNQ VSLTCLVKGF YPSDIAVEWE SNGQPENNYK TTPFVLDSDG 400
 SFFFLYSRILTV DKSRWQEGNV FCSCSVMHEAL HNNYTKSLS LSLGK 445

Light chain / Chaîne légère / Cadena ligera (anti-GPRC5D)
 DIQMOTSPSS LSASVGRDVT ITCKASQNVNA THVGNYQQKP GKAPKRLLIYS 50
 ASYRYSGVPS RFSGSGSGTE FFLTISNLQP EDFATYTYCQQ YNRYPYTFQO 100
 GTKLEIKRTV AAPSVFIPPP SDEQLKSGTIA SVVCLLNNFY PREAKVQWKV 150
 DNALQSQGSNSQ ESVTQSDKSD STYSSLSTLT LSKADYEKHK VYACEVTHQG 200
 LSSPVTKSFN RGEC 214

Heavy chain / Chaîne lourde / Cadena pesada (anti-CD3E)
 EVOLVESGGG LVQPGGSLRL SCAASGFTEN TYAMMNWVRQA PGKGLEWVAR 50
 IRSKVNYYAT YYAAVASVKGRF TISRDDSKS LYLMQMSNLKT EDTAVYYCAR 100
 HGNFGNSVTS WFAYWGGQTL VTVVSASTRGK PSVFFLACPSR RSTSESTAA 150
 GCLVKDYYFEE PTVSVWNSGA LTSGVHTFFA VLGSSGLYSL SSVTVPVSSS 200
 LGTKTYTCNV DHKPSNTKVD KRVEVKYGP CFPCCPAEAE GGPSPVLFPP 250
 KPKDTLMISR TPEVICVVDV VSQEDPEVQF NWYVGDVVEH NAKTKPREEQ 300
 FNSTYRVVSV LTVLHQDWL GKELYCKVSN KGLPSSIEKT ISKAKGOPRE 350
 FQVITLPPSQ EEMTKNQVSL TCLVKGYFYES DIAWESNG QFENNYKTTP 400
 FVLDSDGSFL LYSLKLTVDKS RWQEGNFSQ SVMHEALRNH YTKSLSL 450
 GK 452

Light chain / Chaîne légère / Cadena ligera (anti-CD3E)
 QTVVTEQPSL TVSPGGTVL TCRSSTGAUT TSNYANWVQQ KPGQAPRGLI 50
 GGTGKLRAPGT PARFGSLLG GKAALTLSGV QPEDEAEYIC ALWYSNLMVF 100
 GGGTKLTVLG QPKAAPSVTL FPPSSEEQKA NKATLVCILS DFYFGAVTA 150
 WKADSSPVKA GVETTTPSQ SNKKYAAASY LSLTPEQWKS HRSYSCQVTH 200
 EGSTVEKTVTA PTECS 215

Post-translational modifications
 Disulfide bridges location / Position des ponts disulfure / Posiciones de los puentes disulfuro
 Intra-H (C23-C104) 22"-96" 145-201" 259-319" 365-423"
 22"-98" 152"-208" 266"-326" 372"-430"
 Intra-L (C23-C104) 23"-98" 134"-194"
 22"-90" 137"-196"
 Inter-H-L (CH1 10-CL 126) 132-214" 139"-214"
 Inter-H-H (h 8, h 11) 224-231" 227-234"

N-glycosylation sites / Sites de N-glycosylation / Posiciones de N-glicosilación
 H CH2 N84:4;
 295, 302"
 Fucosylated complex bi-antennary CHO-type glycans / glycanes de type CHO bi-antennaires
 complexes fucosylés / glicanos de tipo CHO biantenarios complejos fucosilados

tanimilastum
tanimilast

3,5-dichloro-4-[(2S)-2-[3-(cyclopropylmethoxy)-4-(difluoromethoxy)phenyl]-2-[(3-(cyclopropylmethoxy)-4-(methanesulfonamido)benzoyloxy)ethyl]pyridine 1-oxide
phosphodiesterase IV inhibitor

tanimilast

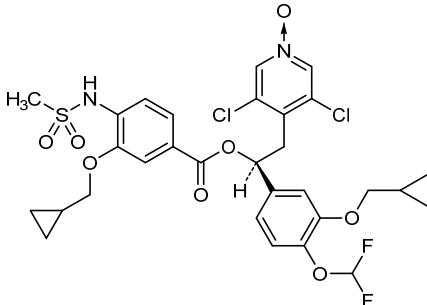
1-oxyde de 3,5-dichloro-4-[(2S)-2-[3-(cyclopropylméthoxy)-4-(difluorométhoxy)phényl]-2-[(3-(cyclopropylméthoxy)-4-(méthanesulfonamido)benzoyloxy)éthyl]pyridine
inhibiteur de la phosphodiestérase IV

tanimilast

1-óxido de 3,5-dicloro-4-[(2S)-2-[3-(ciclopropilmetoxi)-4-(difluorometoxi)fenil]-2-{[3-(ciclopropilmetoxi)-4-(metanosulfonamido)benzoil]oxi}etil]piridina
inhibidor de la fosfodiesterasa IV

 $C_{30}H_{30}Cl_2F_2N_2O_8S$

1239278-59-1

**tapotoclaxum**

tapotoclax

($^{13}S,3^1R,3^2R,4S,5E,8S,9R$)-6'-cloro-4-methoxy-8,9-dimethyl-3',4'-dihydro- $^{12}H,1^4H,2' H$ -10 λ^6 -thia-11-azaspiro[1(5,7)-[1,5]benzoxazepina-3(1,2)-cyclobutanacyclododecaphan-5-ene- $^{13},1'$ -naphthalene]-10,10,12-trione
antineoplastic

tapotoclax

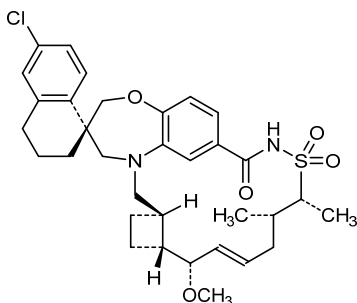
($^{13}S,3^1R,3^2R,4S,5E,8S,9R$)-6'-cloro-4-méthoxy-8,9-diméthyl-3',4'-dihydro- $^{12}H,1^4H,2' H$ -10 λ^6 -thia-11-azaspiro[1(5,7)-[1,5]benzoxazépina-3(1,2)-cyclobutanacyclododécaphan-5-ène- $^{13},1'$ -naphtalène]-10,10,12-trione
antineoplastique

tapotoclax

($^{13}S,3^1R,3^2R,4S,5E,8S,9R$)-6'-cloro-4-metoxi-8,9-dimetil-3',4'-dihidro- $^{12}H,1^4H,2' H$ -10 λ^6 -tia-11-azaspiro[1(5,7)-[1,5]benzoxazepina-3(1,2)-ciclobutanaciclododecafán-5-eno- $^{13},1'$ -naftaleno]-10,10,12-triona
antineoplásico

 $C_{33}H_{41}ClN_2O_5S$

1883727-34-1



tebrocabtagenum autoleucel #
tebrocabtagene autoleucel

autologous T cells, transduced with a replication incompetent Moloney murine leukemia virus (MoMLV) (a retrovirus) vector that encodes a chimeric antigen receptor (CAR) targeting human B-lymphocyte antigen CD19 (CD19 molecule, B-Lymphocyte Surface Antigen B4, T-Cell Surface Antigen Leu-12, CVID3).
cell therapy (antineoplastic)

tébrocabtagène autoleucel

lymphocytes T autologues transduits par un vecteur du virus de la leucémie murine de Moloney (MoMLV) (un retrovirus) incompétent pour la réplication et codant pour un récepteur antigénique chimérique (CAR) dirigé contre l'antigène CD19 des lymphocytes B humains (molecule CD19, antigène de surface B4 des lymphocytes B, antigène de surface Leu-12 des lymphocytes T, CVID3).
thérapie cellulaire (antinéoplasique)

tebrocabtagén autoleucel

linfocitos T autólogos transducidos con un vector del virus de la leucemia murina de Moloney (MoMLV) (un retrovirus) incompetente para replicación que codifica para un receptor de antígenos quimérico (CAR) dirigido al antígeno de linfocitos B humanos CD19 (molécula CD19, antígeno B4 de superficie de linfocitos B, antígeno de superficie de linfocitos T Leu-12, CVID3).
terapia celular (antineoplásico)

tilvestamab #
tilvestamab

immunoglobulin G1-kappa, anti-[*Homo sapiens* AXL (AXL receptor tyrosine kinase, tyrosine-protein kinase receptor UFO)], humanized monoclonal antibody; gamma1 heavy chain humanized (1-448) [VH (*Homo sapiens*IGHV3-66*01 (76.5%) -(IGHD) -IGHJ4*01 (100%)) [8.7.12] (1-118) -*Homo sapiens*IGHG1*03v G1m3>G1m17, nG1m1 (CH1 R120>K (215) (119-216), hinge 1-15 (217-231), CH2 (232-341), CH3 E12 (357), M14 (359) (342-446), CHS (447-448)) (119-448)], (221-219')-disulfide with kappa light chain humanized (1'-219') [V-KAPPA (*Homo sapiens* IGKV1-39*01 (80.0%) -IGKJ2*01 (100%)) [11.3.9] (1'-112') -*Homo sapiens* IGKC*01 (100%) Km3 A45.1 (158), V101 (196) (113'-219')]; dimer (227-227":230-230")-bisisulfide, produced in Chinese Hamster Ovary (CHO) cells, glycoform alfa
immunomodulator, antineoplastic

tilvestamab

immunoglobuline G1-kappa, anti-[*Homo sapiens* AXL (récepteur tyrosine kinase AXL, récepteur tyrosine-protéine kinase UFO)], anticorps monoclonal humanisé;

chaîne lourde gamma1 humanisée (1-448) [VH (*Homo sapiens* IGHV3-66*01 (76.5%) -(IGHD) -IGHJ4*01 (100%)) [8.7.12] (1-118) -*Homo sapiens* IGHG1*03v G1m3>G1m17, nG1m1 (CH1 R120>K (215) (119-216), charnière 1-15 (217-231), CH2 (232-341), CH3 E12 (357), M14 (359) (342-446), CHS (447-448))], (221-219')-disulfure avec la chaîne légère kappa humanisée (1'-219') [V-KAPPA (*Homo sapiens* IGKV1-39*01 (80.0%)-IGKJ2*01 (100%)) [11.3.9] (1-112) -*Homo sapiens* IGKC*01 (100%) Km3 A45.1 (158), V101 (196) (113'-219')]; dimère (227-227":230-230")-bisdisulfure, produit dans des cellules ovariennes de hamsters chinois (CHO), glicoforme alfa *immunomodulateur, antinéoplasique*

tilvestamab

inmunoglobulina G1-kappa, anti-[*Homo sapiens* AXL (receptor tirosina kinasa AXL, receptor tirosina-proteína kinasa UFO)], anticuerpo monoclonal humanizado; cadena pesada gamma1 humanizada (1-448) [VH (*Homo sapiens* IGHV3-66*01 (76.5%) -(IGHD) -IGHJ4*01 (100%)) [8.7.12] (1-118) -*Homo sapiens* IGHG1*03v G1m3>G1m17, nG1m1 (CH1 R120>K (215) (119-216), bisagra 1-15 (217-231), CH2 (232-341), CH3 E12 (357), M14 (359) (342-446), CHS (447-448)) (221-219')-disulfuro con la cadena ligera kappa humanizada (1'-219') [V-KAPPA (*Homo sapiens* IGKV1-39*01 (80.0%)-IGKJ2*01 (100%)) [11.3.9] (1'-112') -*Homo sapiens* IGKC*01 (100%) Km3 A45.1 (158), V101 (196) (113'-219')]; dímero (227-227":230-230")-bisdisulfuro, producido en las células ováricas de hamsters chinos (CHO), glicoforma alfa *immunomodulador, antineoplásico*

2226775-26-2

Heavy chain / Chaine lourde / Cadena pesada

EVQLVESGGG LVQPGGSLRL SCAASGYSFT DFYINWVRQA PGKGLEWVAR 50
IFFGGDNTYY NEFKGKRTL SADTSKSTAY LQMNNSLRAED TAVYYCARRG 100
LYYAMDYWGQ GTLVTVSSA TKGPSTVFPLA PSSKSTSGGT AALGCLIVKDY 150
FPEEPVTWSNW SGALTSGVHT FPAVLQSGSL YSSLSSVTVTP SSSLQTQYI 200
CNVNHKPSNT KVDKKVEEKS CDTKHTCPVC PAPELLGGPS VELFPKPKD 250
TLMISRTPEV TCVVVDVSHE DPEVKFNWYI DGVEVHNART KFREEQYNST 300
YRVSLSLTVL HQDWLNGKEY KCKVSNKALP APIERKTIASKA KGQPREFQVY 350
TLPSPSREEMT KNQVSLTCLV KGYPSPDIAV EWESNGQEPN NYKTTPPVLD 400
SDGSFFLYSK LTIVDKSRWQQ GNVFSCVMH EALHNHYTQK SLSLSPCK 448

Light chain / Chaîne légère / Cadena ligera

DIQMTQSPSS LSASVGDRVT ITCRSSQSLSL HSNGIPYLHW YQQKPGKAKP 50
LIIYRVSNRF SGVPSPRFSGS GSGTDFDTLI SSLQPEDFAT YYCSQGTHVP 100
PTFGQGTKEV IRKTVAAPSV FIFPPSDEQL KSGTASVCL LNNFYPREAK 150
VQNKVVDNALQ SGNSQESVTE QDSKDTSYLS SSTLTLSKAD YEKHHKYACE 200
VTHQGLSSPV TKSFRNRGEC 219

Post-translational modifications

Disulfide bridges location / Position des ponts disulfure / Posiciones de los puentes disulfuro
Intra-H (C23-C104) 22-96 145-201 262-322 368-426
22"-96" 145"-201" 262"-322" 368"-426"
Intra-L (C23-C104) 23"-93" 139"-199"
23"-93" 139"-199"
Inter-H-L (h 5-CL 126) 221-219" 221"-219"
Inter-H-H (h 11, h 14) 227-227" 230-230"

N-glycosylation sites / Sites de N-glycosylation / Posiciones de N-glicosilación
H CH2 N84.4;
298, 298"

Fucosylated complex bi-antennary CHO-type glycans / glycanes de type CHO bi-antennaires complexes fucosylés / glicanos de tipo CHO biantenarios complejos fucosilados.

C-terminal lysine clipping:

H CHSK2:
448, 448"

tinlarebantum

tinlarebant

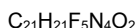
1-(3-{4-[3,4-difluoro-2-(trifluoromethyl)phenyl]piperidine-1-carbonyl}-1,4,5,7-tetrahydro-6H-pyrazolo[3,4-c]pyridin-6-yl)ethan-1-one
retinol binding protein-4 antagonist

tinlarébant

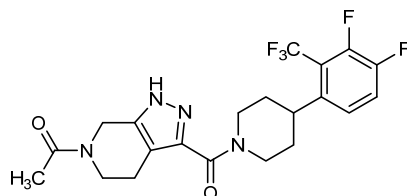
1-(3-{4-[3,4-difluoro-2-(trifluorométhyl)phényl]pipéridine-1-carbonyl}-1,4,5,7-tétrahydro-6H-pyrazolo[3,4-c]pyridin-6-yl)éthan-1-one
antagoniste de la protéine 4 se liant au rétinol

tinlarebant

1-(3-{4-[3,4-difluoro-2-(trifluorometil)fenil]piperidina-1-carbonil}-1,4,5,7-tetrahidro-6H-pirazolo[3,4-c]piridin-6-il)etan-1-ona
antagonista de la proteína 4 de unión a retinol



1821327-95-0

**tinurilimabum #**

tinurilimab

immunoglobulin G2-kappa, anti-[*Homo sapiens* CEACAM6 (carcinoembryonic antigen related cell adhesion molecule 6, CD66c)], humanized monoclonal antibody;
 gamma2 heavy chain *Homo sapiens* (1-443) [VH (*Homo sapiens*IGHV2-70*01 (92.0%) -(IGHD) - IGHJ4*01(86.7%)) [10.7.10] (1-118) -*Homo sapiens*IGHG2*01 (CH1 (119-216), hinge 1-12 (217-228), CH2 (229-337), CH3 (338-442), CHS K2>del (443)) (119-443)], (132-214')-disulfide with kappa light chain humanized (1'-214') [V-KAPPA (*Homo sapiens*IGKV1-9*01 (85.3%) -IGKJ4*01 (100%)) [6.3.9] (1'-107') -*Homo sapiens*IGKC*01 (100%), Km3 A45.1 (153), V101 (191) (108'-214')];
 dimer (220-220":221-221":224-224":227-227")-tetrakisdisulfide, produced in Chinese Hamster Ovary (CHO) cells, glycoform alfa
immunomodulator, antineoplastic

tinurilimab

immunoglobuline G2-kappa, anti-[*Homo sapiens* CEACAM6 (molécule d'adhésion cellulaire 6 apparentée à l'antigène carcinoembryonnaire, CD66c)], anticorps monoclonal humanisé;

chaîne lourde gamma2 *Homo sapiens* (1-443) [VH (*Homo sapiens* IGHV2-70*01 (92.0%) -(IGHD) - IGHJ4*01(86.7%)) [10.7.10] (1-118) -*Homo sapiens* IGHG2*01 (CH1 (119-216), charnière 1-12 (217-228), CH2 (229-337), CH3 (338-442), CHS K2>del (443)) (119-443)], (132-214')-disulfure avec la chaîne légère kappa humanisée (1'-214') [V-KAPPA (*Homo sapiens* IGKV1-9*01 (85.3%) -IGKJ4*01 (100%)) [6.3.9] (1'-107') -*Homo sapiens* IGKC*01 (100%), Km3 A45.1 (153), V101 (191) (108'-214')]; dimère (220-220":221-221":224-224":227-227")-tétrakisdisulfure, produit dans des cellules ovariennes de hamsters chinois (CHO), glicoforme alfa *immunomodulateur, antinéoplasique*

tinurilimab

immunoglobulina G2-kappa, anti-[*Homo sapiens* CEACAM6 (molécula de adhesión celular 6 relacionada con el antígeno carcinoembrionario, CD66c)], anticuerpo monoclonal humanizado; cadena pesada gamma2 *Homo sapiens* (1-443) [VH (*Homo sapiens* IGHV2-70*01 (92.0%) -(IGHD) - IGHJ4*01(86.7%)) [10.7.10] (1-118) -*Homo sapiens* IGHG2*01 (CH1 (119-216), bisagra 1-12 (217-228), CH2 (229-337), CH3 (338-442), CHS K2>del (443)) (119-443)], (132-214')-disulfuro con la cadena ligera kappa humanizada (1'-214') [V-KAPPA (*Homo sapiens* IGKV1-9*01 (85.3%) -IGKJ4*01 (100%)) [6.3.9] (1'-107') -*Homo sapiens* IGKC*01 (100%), Km3 A45.1 (153), V101 (191) (108'-214')]; dímero (220-220":221-221":224-224":227-227")-tetrakisdisulfuro, producido en las células ováricas de hamsters chinos (CHO), glicoforma alfa *immunomodulador, antineoplásico*

2226224-30-0

Heavy chain / Chaîne lourde / Cadena pesada

QVTILRESGPA	LVKPTQTLTL	TCTFSGFSLS	TYGIGVGWIR	QPPGKALEWL	50
AHWWNDNKY	YTSLSKTRLT	ISKDTSKNOV	VLTMINNMPEV	DIAIYYCARI	100
SLPYFDYWNQ	GTTLTVSSAS	TKGFSVPLA	PCSRSTSEST	AALGCLVKDY	150
FPEEPVTVWSN	SGALTSGVHT	FVAFLQSGSL	YSSLSSVTVTP	SSNFGTGTYT	200
CNVDHKPSTNT	KVDKTVERKC	CVECPCKPAP	PVAGGSVLF	PFPKKDYLMI	250
SRTPEVTCV	UDVSHEDEPV	QFNWYVGVGE	VHNAAKTKPRE	EQFNSTERVV	300
SVLTVHVQDW	LNKEYKCKV	SNKGLPAPIE	KTISKTKQP	REPQVYTLPP	350
SREEMTKQVQ	SLTCLVKGFY	PSDIAVEWES	NCQPENNYKT	TFPMILSDGS	400
FFLYSKLTVQ	KSRWQQGNVP	SCSMVMEHAL	NHYTQKSLSL	SPG	443

Light chain / Chaîne légère / Cadena ligera

DIQLTQSPSF	LSASVGDRTV	ITCKASQNVG	TAVAWEYQQKP	GKAPKLLIYS	50
ASNRYTGVPS	RFGSGSGTE	FTLTISSLPQ	EDEATYYCQQ	YSSYPLTFCGG	100
GTKEVIEKRTV	AAPSVFVIFPP	SDEQLKSGTA	SVCCLNNFY	PREAKVQWKV	150
DNALQSQNSQ	ESVTEQDSKD	STYLSSTLT	LSKADYEERHK	YVACEVTHQG	200
LSSPVTKSFN	RGECE				214

Post-translational modifications

Disulfide bridges location / Position des ponts disulfure / Posiciones de los puentes disulfuro
Intra-H (C23-C104) 22-97 145-201 258-318 364-422

22"-97" 145"-201" 258"-318" 364"-422"

Intra-L (C23-C104) 23"-88" 134"-194"

23"-88" 134"-194"

Inter-H-L (CH1 10-CL 126) 132-214" 132"-214"

Inter-H-H (h 4, h 5, h 8, h 11) 220-220" 221-221" 224-224" 227-227"

N-glycosylation sites / Sites de N-glycosylation / Posiciones de N-glicosilación

H-CH2-N84.4:

294, 294"

Fucosylated complex bi-antennary CHO-type glycans / glycanes de type CHO bi-antennaires complexes fucosylés / glicanos de tipo CHO biantenarios complejos fucosilados.

toludesvenlafaxinum
toludesvenlafaxine

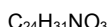
rac-4-[(1*R*)-2-(dimethylamino)-1-(1-hydroxycyclohexyl)ethyl]phenyl 4-methylbenzoate
antidepressant

toludesvenlafaxine

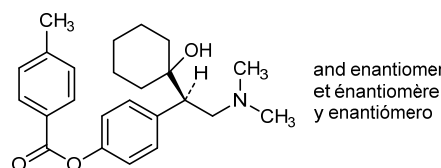
4-méthylbenzoate de *rac*-4-[(1*R*)-2-(diméthylamino)-1-(1-hydroxiciclohexil)étil]phényle
antidépresseur

toludesvenlafaxina

4-metilbenzoato de *rac*-4-[(1*R*)-2-(dimetilamino)-1-(1-hidroxiciclohexil)etil]fenilo
antidepresivo



916918-80-4



tominersenum
tominersen

*all-P-ambo-2'-O-(2-methoxyethyl)-5-methyl-P-thiocytidylyl-(3'→5')-2'-O-(2-methoxyethyl)-5-methyluridylyl-(3'→5')-2'-O-(2-methoxyethyl)adenylyl-(3'→5')-2'-O-(2-methoxyethyl)-P-thioguanlyl-(3'→5')-P-thiothymidylyl-(3'→5')-2'-deoxy-P-thioadenylyl-(3'→5')-2'-deoxy-P-thioadenylyl-(3'→5')-P-thiothymidylyl-(3'→5')-2'-deoxy-P-thioguanlyl-(3'→5')-2'-deoxy-5-methyl-P-thiocytidylyl-(3'→5')-2'-O-(2-methoxyethyl)adenylyl-(3'→5')-2'-O-(2-methoxyethyl)-5-methylcytidylyl-(3'→5')-2'-O-(2-methoxyethyl)-5-methylcytidylyl-(3'→5')-2'-O-(2-methoxyethyl)-P-thioadenylyl-(3'→5')-2'-O-(2-methoxyethyl)-5-methylcytidine
*reduction of abnormal huntingtin synthesis**

tominersen

*tout-P-ambo-2'-O-(2-méthoxyéthyl)-5-méthyl-P-thiocytidylyl-(3'→5')-2'-O-(2-méthoxyéthyl)-5-méthyluridylyl-(3'→5')-2'-O-(2-méthoxyéthyl)-5-méthylcytidylyl-(3'→5')-2'-O-(2-méthoxyéthyl)-P-thioguanlyl-(3'→5')-P-thiothymidylyl-(3'→5')-2'-désoxy-P-thioadenylyl-(3'→5')-2'-désoxy-P-thioadenylyl-(3'→5')-2'-désoxy-5-méthyl-P-thiocytidylyl-(3'→5')-2'-désoxy-P-thioadenylyl-(3'→5')-P-thiothymidylyl-(3'→5')-2'-désoxy-P-thioguanlyl-(3'→5')-2'-désoxy-P-thioadenylyl-(3'→5')-2'-désoxy-5-méthyl-P-thiocytidylyl-(3'→5')-2'-O-(2-méthoxyéthyl)adénylyl-(3'→5')-2'-O-(2-méthoxyéthyl)-5-methylcytidylyl-(3'→5')-2'-O-(2-méthoxyéthyl)-5-methylcytidylyl-(3'→5')-2'-O-(2-méthoxyéthyl)-P-thioadenylyl-(3'→5')-2'-O-(2-méthoxyéthyl)-5-methylcytidine
*réduction de la synthèse de huntingtine anormale**

tominersén

todo-P-ambo-2'-O-(2-metoxietil)-5-metil-P-tiocitidilil-(3'→5')-2'-O-(2-metoxietil)-5-metiluridilil-(3'→5')-2'-O-(2-metoxietil)-5-metilcitidilil-(3'→5')-2'-O-(2-metoxietil)adenilil-(3'→5')-2'-O-(2-metoxietil)-P-tioguanilil-(3'→5')-P-tiotimidilil-(3'→5')-2'-desoxi-P-tioadenilil-(3'→5')-2'-desoxi-P-tioadenilil-(3'→5')-2'-desoxi-P-tioadenilil-(3'→5')-2'-desoxi-P-tioguanilil-(3'→5')-2'-desoxi-P-tioadenilil-(3'→5')-2'-desoxi-5-metil-P-tiocitidilil-(3'→5')-2'-desoxi-P-tioguanilil-(3'→5')-2'-desoxi-P-tiotimidilil-(3'→5')-2'-desoxi-P-tioadenilil-(3'→5')-2'-desoxi-5-metil-P-tiocitidilil-(3'→5')-2'-O-(2-metoxietil)adenilil-(3'→5')-2'-O-(2-metoxietil)-5-metilcitidilil-(3'→5')-2'-O-(2-metoxietil)-5-metiluridilil-(3'→5')-2'-O-(2-metoxietil)-5-metiluridilil-(3'→5')-2'-O-(2-metoxietil)-5-metilcitidilidina

C H N O R S

1700996 74 7

(3'-5') mC=mU-mC-A-G=d(T=A=A=mC=A=T=T=G=
 $\Delta=mC)-\Delta$ mC mC $\Delta=mC$

Legend: A & G = 2'-O-(2-methoxyethyl)nucleotide
 mC & mU = 2'-O-(2-methoxyethyl)-5-methylnucleotide
 d(A, G & T) = 2'-deoxynucleotide 
 d(mC) = 2'-deoxy-5-methylcytidine 

trazpirobenum

trazpiroben

3-{{[1-cyclohexyl-4-oxo-8-(4-oxo-4-phenylbutyl)-1,3,8-triazaspiro[4.5]decan-3-yl]methyl}benzoic acid
prokinetic agent

trazpirobène

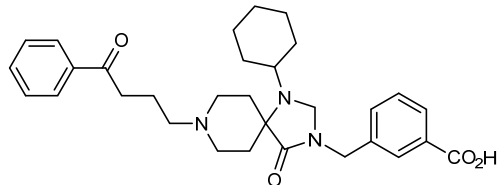
acide 3-[(1-cyclohexyl-4-oxo-8-(4-oxo-4-phénylbutyl)-1,3,8-triazaspiro[4.5]décan-3-yl)méthyl]benzoïque accélérateur du transit intestinal

trazpirobén

ácido 3-[(1-ciclohexil-4-oxo-8-(4-oxo-4-fenilbutil)-1,3,8-triazaspiro[4.5]decan-3-il]metil]benzoico
estimulante de la motilidad intestinal

C₃₁H₃₉N₃O₄

1352993-39-5



treprostinilum palmitatum

treprostinil palmitate

hexadecyl ((1*R*,2*R*,3*aS*,9*aS*)-2-hydroxy-1-[(3*S*)-3-hydroxyoctyl]-2,3,3*a*,4,9,9*a*-hexahydro-1*H*-cyclopenta[*b*]naphthalen-5-yl}oxy)acetate
vasodilator

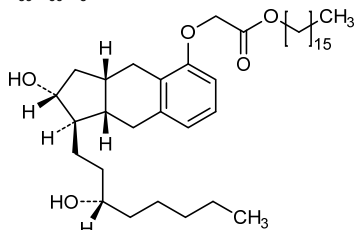
tréprostинил пальмитил

((1*R*,2*R*,3*S*,9*a**S*)-2-hydroxy-1-[(3*S*)-3-hydroxyoctyl]-2,3,3*a*,4,9,9*a*-hexahydro-1*H*-cyclopenta[*b*]naftalen-5-*y*oxy)акетате de hexadécyle
vasodilatateur

treprostinil palmitilo

((1*R*,2*R*,3*S*,9*a**S*)-2-hidroxi-1-[(3*S*)-3-hidroxiocítil]-2,3,3*a*,4,9,9*a*-hexahidro-1*H*-ciclopenta[*b*]naftalen-5-*y*oxi)acetato de hexadecilo
vasodilatador

C₃₉H₆₆O₅ 1706528-83-7



velsecoratum
velsecorat

3-{5-[(1*R*,2*S*)-2-(2,2-difluoropropanamido)-1-(2,3-dihydro-1,4-benzodioxin-6-yl)propoxy]-1*H*-indazol-1-*y*l}-*N*-(3*R*)-oxolan-3-*y*l]benzamide
glucocorticoid receptor agonist, anti-inflammatory

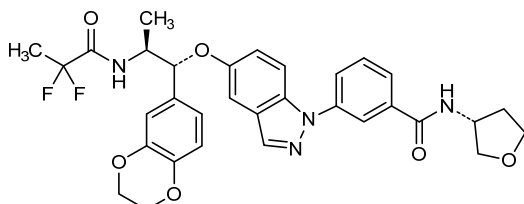
velsécorat

3-{5-[(1*R*,2*S*)-2-(2,2-difluoropropanamido)-1-(2,3-dihydro-1,4-benzodioxin-6-yl)propoxy]-1*H*-indazol-1-*y*l}-*N*-(3*R*)-oxolan-3-*y*l]benzamide
agoniste des récepteurs glucocorticoïdes, anti-inflammatoire

velsecorat

3-{5-[(1*R*,2*S*)-2-(2,2-difluoropropanamido)-1-(2,3-dihydro-1,4-benzodioxin-6-yl)propoxi]-1*H*-indazol-1-*y*l}-*N*-(3*R*)-oxolan-3-*y*l]benzamida
agonista de los receptores glucocorticoideos, antiinflamatorio

C₃₂H₃₂F₂N₄O₆ 1196509-60-0



veverimerum
veverimer

poly[N¹,N²-di(prop-2-en-1-yl)ethane-1,2-diamine-co-N¹,N³-di(prop-2-en-1-yl)propane-1,3-diamine-co-prop-2-en-1-amine (\approx 2:2:5)], produced by crosslinking of poly[N¹,N³-di(prop-2-en-1-yl)propane-1,3-diamine]-co-prop-2-en-1-amine (\approx 2:9) with 1,2-dichloroethane (2 mol) and neutralization
hydrochloric acid binding polymer

vêvérimère

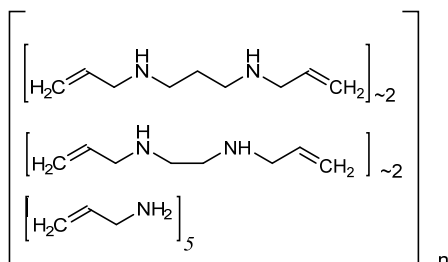
poly[N^1,N^2 -di(prop-2-én-1-yl)éthane-1,2-diamine-co- N^1,N^3 -di(prop-2-én-1-yl)propane-1,3-diamine-co-prop-2-én-1-amine (\approx 2:2:5)], produit par réticulation de poly[N^1,N^3 -di(prop-2-én-1-yl)propane-1,3-diamine)-co-prop-2-én-1-amine (\approx 2:9)] avec le 1,2-dichloroéthane (2 mol) et neutralisation
polymère liant l'acide chlorhydrique

veverímero

poli[N^1,N^2 -di(prop-2-en-1-il)etano-1,2-diamina-co- N^1,N^3 -di(prop-2-en-1-il)propano-1,3-diamina-co-prop-2-en-1-amina (\approx 2:2:5)], producido por entrecruzamiento de poli[N^1,N^3 -di(prop-2-en-1-il)propano-1,3-diamina)-co-prop-2-en-1-amina (\approx 2:9)] con 1,2-dicloroetano (2 mol) y neutralización
polímero de unión al ácido clorhídrico

$[(C_3H_7N)_{-5}(C_9H_{18}N_2)_{-2}(C_8H_{16}N_2)_{-2}]_n, n = \infty$

2099678-27-8

**vibostolimab #**

vibostolimab

immunoglobulin G1-kappa, anti-[*Homo sapiens* TIGIT (T-cell immunoreceptor with Ig domain and ITIM, V-set Ig member 9, VSIG9, V-set and transmembrane member 3, VSTM3)], humanized monoclonal antibody; gamma1 heavy chain humanized (1-449) [VH (*Homo sapiens*IGHV1-69*02 (84.7%) -(IGHD) -IGHJ3*01 (92.9%)) [8.8.12] (1-119) -*Homo sapiens*IGHG1*01 (100%), G1m17.1 (CH1 K120 (216) (120-217), hinge 1-15 (218-232), CH2 (233-342), CH3 D12 (358), L14 (360) (343-447), CHS (448-449)) (120-449)], (222-214')-disulfide with kappa light chain humanized (1'-214') [V-KAPPA (*Homo sapiens*IGKV1-27*01 (85.3%) -IGKJ5*01 (91.7%)) [6.3.9] (1'-107') -*Homo sapiens*IGKC*01 (100%), Km3 A45.1 (153), V101 (191) (108'-214')]; dimer (228-231":228-231")-bisdisulfide, produced in Chinese Hamster Ovary (CHO) cells, glycoform alfa
immunomodulator, antineoplastic

vibostolimab

immunoglobuline G1-kappa, anti-[*Homo sapiens* TIGIT (immunorécepteur des lymphocytes T avec domaine Ig et ITIM, membre 9 de l'Ig V-set, VSIG9, membre 3 de l'Ig V-set et région transmembrane, VSTM3)], anticorps monoclonal humanisé;

chaîne lourde gamma1 humanisée (1-449) [VH (*Homo sapiens* IGHV1-69*02 (84.7%) -(IGHD) -IGHJ3*01 (92.9%)) [8.8.12] (1-119) -*Homo sapiens* IGHG1*01 (100%), G1m17.1 (CH1 K120 (216) (120-217), charnière 1-15 (218-232), CH2 (233-342), CH3 D12 (358), L14 (360) (343-447), CHS (448-449)) (120-449)], (222-214')-disulfure avec la chaîne légère kappa humanisée (1'-214') [V-KAPPA (*Homo sapiens* IGKV1-27*01 (85.3%) -IGKJ5*01 (91.7%)) [6.3.9] (1'-107') -*Homo sapiens* IGKC*01 (100%), Km3 A45.1 (153), V101 (191) (108'-214')]; dimère (228-231":228-231")-bisdisulfure, produit dans des cellules ovariennes de hamsters chinois (CHO), glicoforme alfa
immunomodulateur, antinéoplasique

vibostolimab

inmunoglobulina G1-kappa, anti-[*Homo sapiens* TIGIT (inmunorreceptor de los linfocitos T con dominio Ig e ITIM, miembro 9 de la Ig V-set, VSIG9, miembro 3 de la Ig V-set y región transmembrana, VSTM3)], anticuerpo monoclonal humanizado; cadena pesada gamma1 humanizada (1-449) [VH (*Homo sapiens* IGHV1-69*02 (84.7%) -(IGHD) -IGHJ3*01 (92.9%)) [8.8.12] (1-119) -*Homo sapiens* IGHG1*01 (100%), G1m17.1 (CH1 K120 (216) (120-217), bisagra 1-15 (218-232), CH2 (233-342), CH3 D12 (358), L14 (360) (343-447), CHS (448-449)) (120-449)], (222-214')-disulfuro con la cadena ligera kappa humanizada (1'-214') [V-KAPPA (*Homo sapiens* IGKV1-27*01 (85.3%) -IGKJ5*01 (91.7%)) [6.3.9] (1'-107') -*Homo sapiens* IGKC*01 (100%), Km3 A45.1 (153), V101 (191) (108'-214')]; dímero (228-231":228-231")-bisdisulfuro, producido en las células ováricas de hamsters chinos (CHO), glicoforma alfa
inmunomodulador, antineoplásico

2231305-30-7

Heavy chain / Chaîne lourde / Cadena pesada

EVQLVQSGAE VKKPGSSVKV SCKASGYTFS SYVMHHWVRQA PGQQLEWIGY 50
IDPYNDGARY AQKFQGRVTL TSDKSTSTAY MEISSLRSED TAVYYCARGG 100
PYGWWFDVGW QGTTTVVSSA STKGPSVFPL APSSKSSTSGG TAALGCLVKD 150
YFPEEVTWSW NSGALTSGVH TFTPAVLQSGG LYSSLSSVTVV PSSSLGTQTY 200
ICNVNHHKPSN TKVDKKVEPK SCDTKHTCPP CPAPELLGGP SVELFPKPK 250
DTLMISRTPE VTCVVVVDVSH EDEPVKFNWY VGVGVEHNAA TKFREEQVNS 300
TYRVSVSLTV LHQDWLNKE YKCKVSNKAL PAPIEKTIK AKGQFRFQV 350
YTLPFSRDEL TKNQVSLTCL VRGFYPSDIA VEWEWSNGQE NNYKTTPPVL 400
DSDGSSFLYS KLTVDKSRWQ CGNQVFCSCVM HEALHNHYTQ KSLSLSPGK 449

Light chain / Chaîne légère / Cadena ligera

DIQMTQSPSS LSASVGDVRT ITCRASEHIY SYLSWYQQKP GKVPKLLIYN 50
AKTLAEGVPS RFSGSGSGTD FTLTIISSLQP EDVATTYQCH HFGSPLTFGQ 100
GTRLEIKRTV AAPSVPIFPP SDEQLKSGTA SVVCLLNFY PREAKVQWKV 150
DNAQLSGNSQ ESVTEQDSKD STYSSLSSTLT LSKADYEKHK VYACEVTHHQ 200
LSSPVTKSFN RGE 214

Post-translational modifications

Disulfide bridges location / Position des ponts disulfure / Posiciones de los puentes disulfuro

Intra-H (C23-C104) 22-96 146-202 263-323 369-427

22"-96" 146"-202" 263"-323" 369"-427"

Intra-L (C23-C104) 23"-88" 134"-194"

23"-88" 134"-194"

Inter-H-L (h 5-CL 126) 222-214" 222"-214"

Inter-H-H (h 11, h 14) 228-228" 231-231"

N-glycosylation sites / Sites de N-glycosylation / Posiciones de N-glicosilación
H CH2 N84.4:
299, 299"

Fucosylated complex bi-antennary CHO-type glycans / glycanes de type CHO bi-antennaires complexes fucosylés / glicanos de tipo CHO biantenarios complejos fucosilados.

C-terminal lysine clipping:

H CHS K2:

449, 449"

vupanorsenum	<i>all-P-ambo-5'-O-(28-[(2-acetamido-2-deoxy-β-D-galactopyranosyl)oxy]-16,16-bis[3-{(6-[(2-acetamido-2-deoxy-β-D-galactopyranosyl)oxy]hexyl}amino)-3-oxopropoxy]methyl]-1-hydroxy-1,10,14,21-tetraoxo-2,18-dioxa-9,15,22-triaza-1λ⁵-phosphaoctacosan-1-yl)-2'-O-(2-methoxyethyl)-P-thioguananyl-(3'→5')-2'-O-(2-methoxyethyl)guanylyl-(3'→5')-2'-O-(2-methoxyethyl)adenylyl-(3'→5')-2'-O-(2-methoxyethyl)adenylyl-(3'→5')-P-thiothymidyl-(3'→5')-P-thiothymidyl-(3'→5')-2'-deoxy-5-methyl-P-thiocytidyl-(3'→5')-2'-deoxy-P-thioadenyl-(3'→5')-2'-deoxy-P-thioguanyl-(3'→5')-P-thiothymidyl-(3'→5')-2'-deoxy-P-thioadenyl-(3'→5')-2'-deoxy-P-thioguanyl-(3'→5')-P-thiothymidyl-(3'→5')-2'-deoxy-P-thioadenyl-(3'→5')-2'-O-(2-methoxyethyl)-5-methyluridylyl-(3'→5')-2'-O-(2-methoxyethyl)-5-methylcytidyl-(3'→5')-2'-O-(2-methoxyethyl)-P-thioguanyl-(3'→5')-2'-O-(2-methoxyethyl)-5-methyl-P-thiocytidyl-(3'→5')-2'-O-(2-methoxyethyl)adenosine <i>antihyperlipidaemic</i></i>
vupanorsen	<i>tout-P-ambo-5'-O-(28-[(2-acétamido-2-désoxy-β-D-galactopyranosyl)oxy]-16,16-bis[3-{(6-[(2-acétamido-2-désoxy-β-D-galactopyranosyl)oxy]hexyl}amino)-3-oxopropoxy]méthyl]-1-hydroxy-1,10,14,21-tétraoxo-2,18-dioxa-9,15,22-triaza-1λ⁵-phosphaoctacosan-1-yl)-2'-O-(2-méthoxyéthyl)-P-thioguanyl-(3'→5')-2'-O-(2-méthoxyéthyl)guanylyl-(3'→5')-2'-O-(2-méthoxyéthyl)adénylyl-(3'→5')-2'-O-(2-méthoxyéthyl)méthylcytidyl-(3'→5')-2'-O-(2-méthoxyéthyl)adénylyl-(3'→5')-P-thiothymidyl-(3'→5')-2'-deoxy-P-thioguanyl-(3'→5')-P-thiothymidyl-(3'→5')-2'-deoxy-P-thioadenyl-(3'→5')-2'-O-(2-méthoxyéthyl)-5-méthyluridylyl-(3'→5')-2'-O-(2-méthoxyéthyl)-5-methylcytidyl-(3'→5')-2'-O-(2-méthoxyéthyl)-P-thioguanyl-(3'→5')-2'-O-(2-méthoxyéthyl)-5-methyl-P-thiocytidyl-(3'→5')-2'-désoxy-5-méthyl-P-thiocytidyl-(3'→5')-2'-désoxy-P-thioadényl-(3'→5')-2'-désoxy-P-thioguanyl-(3'→5')-P-thiothymidyl-(3'→5')-2'-désoxy-P-thioadényl-(3'→5')-2'-désoxy-P-thioadényl-(3'→5')-2'-O-(2-méthoxyéthyl)-5-méthyluridylyl-(3'→5')-2'-O-(2-méthoxyéthyl)-P-thioguanyl-(3'→5')-2'-O-(2-méthoxyéthyl)-5-méthyl-P-thiocytidyl-(3'→5')-2'-O-(2-méthoxyéthyl)adénosine <i>antihyperlipidémiant</i></i>
vupanorsén	<i>todo-P-ambo-5'-O-(28-[(2-acetamido-2-desoxi-β-D-galactopiranosil)oxi]-16,16-bis[3-{(6-[(2-acetamido-2-desoxi-β-D-galactopiranosil)oxi]hexil}amino)-3-oxopropoxi]metil]-1-hidroxi-1,10,14,21-tetraoxo-2,18-dioxa-9,15,22-triaza-1λ⁵-fosfaoctacosan-1-il)-2'-O-(2-metoxietil)-P-tioguanilll-(3'→5')-2'-O-(2-metoxietil)guanilll-(3'→5')-2'-O-(2-metoxietil)adenilil-(3'→5')-2'-O-(2-metoxietil)-5-metilcitidilll-(3'→5')-2'-O-(2-metoxietil)adenilll-(3'→5')-P-tiotimidilll-(3'→5')-P-tiotimidilll-(3'→5')-2'-desoxi-P-tioguanilll-(3'→5')-2'-desoxi-5-metil-P-tiocitidilll-(3'→5')-2'-desoxi-5-metil-P-tiocitidilll-(3'→5')-2'-desoxi-P-tioadenilll-(3'→5')-2'-desoxi-P-tioguanilll-(3'→5')-P-tiotimidilll-(3'→5')-2'-desoxi-P-tioadenilll-(3'→5')-2'-O-(2-metoxietil)-5-metiluridilll-(3'→5')-2'-O-(2-metoxietil)-5-metilcitidilll-(3'→5')-2'-O-(2-metoxietil)-P-tioguanilll-(3'→5')-2'-O-(2-metoxietil)-5-metil-P-tiocitidilll-(3'→5')-2'-O-(2-metoxietil)adenosina <i>antihiperlipémico</i></i>

$C_{296}H_{434}N_{86}O_{152}P_{20}S_{13}$

2097587-62-5

(3'-5') R1-G=C-A-C-A-d(T=T=G=C=C=A=G=T=A=A=)U-C-G=C=A

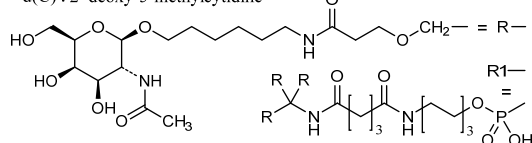
Legend:

A & G: 2'-O-(2-methoxyethyl)nucleotide

C & U : 2'-O-(2-methoxyethyl)-5-methylnucleotide

d(A , G & T) : 2'-deoxynucleotide

d(C) : 2'-deoxy-5-methylcytidine

**xilertinibum**

xilertinib

(3aR,6aR)-N-[4-(3-ethynylanilino)-7-methoxyquinazolin-6-yl]-1-methylhexahydropyrrolo[3,4-b]pyrrole-5(1H)-carboxamide

tyrosine kinase inhibitor, antineoplastic

xilertinib

(3aR,6aR)-N-[4-(3-éthynylanilino)-7-méthoxyquinazolin-6-yl]-1-méthylhexahydropyrrolo[3,4-b]pyrrole-5(1H)-carboxamide

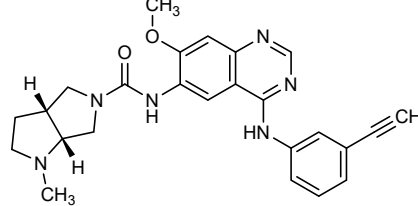
inhibiteur de la tyrosine kinase, antineoplastique

xilertinib

(3aR,6aR)-N-[4-(3-eticinilanilino)-7-metoxiquinazolin-6-il]-1-metilhexahidropirrolo[3,4-b]pirrol-5(1H)-carboxamida

inhibidor de la tirosina quinasa, antineoplásico $C_{25}H_{26}N_6O_2$

1353644-70-8

**zagotenemabum #**

zagotenemab

immunoglobulin G4-kappa, anti-[*Homo sapiens* MAPT (microtubule-associated protein tau, tau)], humanized monoclonal antibody;

gamma4 heavy chain humanized (1-442) [VH (*Homo sapiens* IGHV5-51*01 (84.7%) -(IGHD) -IGHJ4*01 (86.7%)) [8.8.9] (1-116)-*Homo sapiens* IGHG4*01 (CH1 (117-214), hinge 1-12 S10>P (224) (215-226), CH2 (227-336), CH3 (337-441), CHS K2>del (442)) (117-442)], (130-219')-disulfide with kappa light chain humanized (1'-219') [V-KAPPA (*Homo sapiens* IGKV3-20*01 (79.0%) -IGKJ4*01 (100%)) [9.4.11] (1'-112') -*Homo sapiens* IGKC*01 (100%), Km3 A45.1 (158), V101 (196) (113'-219')]; dimer (222-222":225-225")-bisdisulfide, produced in Chinese Hamster Ovary (CHO)-GS cell line, glycoform alfa immunomodulator (*Alzheimer's disease*)

zagoténémab

immunoglobuline G4-kappa, anti-[*Homo sapiens* MAPT (protéine tau associée aux microtubules, tau)], anticorps monoclonal humanisé; chaîne lourde gamma4 humanisée (1-442) [VH (*Homo sapiens* IGHV5-51*01 (84.7%) -(IGHD) -IGHJ4*01 (86.7%)) [8.8.9] (1-116)-*Homo sapiens*IGHG4*01 (CH1 (117-214), charnière 1-12 S10>P (224) (215-226), CH2 (227-336), CH3 (337-441), CHS K2>del (442)) (117-442)], (130-219')-disulfure avec la chaîne légère kappa humanisée (1'-219') [V-KAPPA (*Homo sapiens* IGKV3-20*01 (79.0%) -IGKJ4*01 (100%)) [9.4.11] (1'-112') -*Homo sapiens* IGKC*01 (100%), Km3 A45.1 (158), V101 (196) (113-219')]; dimère (222-222":225-225")-bisdisulfure, produit dans des cellules ovaries de hamsters chinois (CHO) lignée cellulaire GS, glicoforme alfa *immunomodulateur (maladie d'Alzheimer)*

zagotenemab

inmunoglobulina G4-kappa, anti-[*Homo sapiens* MAPT (proteína tau asociada a los microtúbulos, tau)], anticuerpo monoclonal humanizado; cadena pesada gamma4 humanizada (1-442) [VH (*Homo sapiens* IGHV5-51*01 (84.7%) -(IGHD) -IGHJ4*01 (86.7%)) [8.8.9] (1-116)-*Homo sapiens*IGHG4*01 (CH1 (117-214), bisagra 1-12 S10>P (224) (215-226), CH2 (227-336), CH3 (337-441), CHS K2>del (442)) (117-442)], (130-219')-disulfuro con la cadena ligera kappa humanizada (1'-219') [V-KAPPA (*Homo sapiens* IGKV3-20*01 (79.0%) -IGKJ4*01 (100%)) [9.4.11] (1'-112') -*Homo sapiens* IGKC*01 (100%), Km3 A45.1 (158), V101 (196) (113-219')]; dímero (222-222":225-225")-bisdisulfuro, producido en las células ováricas de hamsters chinos (CHO) línea celular GS, glicoforma alfa *inmunomodulador (enfermedad de Alzheimer)*

2019133-28-7

Heavy chain / Chaîne lourde / Cadena pesada
EVQLVQSGAAV VKPGESLKI SCKGSGYTFPS NYWIEWRQQN PGKGLEWMGE 50
ILPGSDSIKY EKNFKGGVTI SADKSISITAY LQWSSLKASD TAMYYCARRG 100
NYVDDWGQGY LVTVSSASTK GPSVFLPLAF SRSTSESTAA LGCLVKDYIFF 150
EPVTVSWNSG ALTSGVHTFP AVLQSSGLYS LSSVVTVFESS SLGTQTYTCN 200
VDHKPSNTKVG DKRVEVKYGP PCPPCPAPEA AGGPGSVFLFP PKPKDTLMIS 250
RTPEVTCVVV DVSQEDPEVQ FNWYVQGEV FNNAKTKPREF QFNSTYRVVS 300
VLTVLHQDWL NGKEYKCKVS NKGLLPSSIEK TISKAKGopr EPQVYTLPPS 350
QEEMTKNQVS LTCLVKGFYP SDIAVWESEN GQPENNYKTT PPVLDSDGSF 400
FLYSRLTVDA SRWQEGNVFS CSVMEHALHN HYTQKSLSLSG 442

Light chain / Chaîne légère / Cadena ligera
EIVLTQSPGFT LSLSPGERAT LSCRSSQSLV HSNQNNTYLHW YQQKPGQAPR 50
LLIYKVDRNRF SGIPDRFSGS GSGTDFLTI SLRLEPEDEFV YYCSQSTLVPP 100
LTFGGGTKVE IKRTVAAPSV FIFPPSDEQL KSCTAGSVCL LNNFYPREAK 150
VQNKVDNALQ SGNSQESVTB QDSKDSTYSL SSTLTLKAD YEKKHVYACE 200
VTHQGLSSPV TKSFNRGEC 219

Post-translational modifications
Disulfide bridges location / Position des ponts disulfure / Posiciones de los puentes disulfuro
Intra-H (C23-C104) 22-96 143-199 257-317 363-421
22"-96" 143"-199" 257"-317" 363"-421"
Intra-L (C23-C104) 23"-93" 139"-194"
23""-93"" 139""-199"
Inter-H-L (CH1 10-CL 126) 130-219 130"-219"
Inter-H-H (h 8, h 11) 222-222" 225-225"

N-glycosylation sites / Sites de N-glycosylation / Posiciones de N-glicosilación
HCH2N84.4:
293, 293"
Fucosylated complex bi-antennary CHO-type glycans / glycanes de type CHO bi-antennaires complexes fucosylés / glicanos de tipo CHO biantenarios complejos fucosilados

zanidatamabum #

zanidatamab

immunoglobulin G1-kappa, anti-[*Homo sapiens* ERBB2 (epidermal growth factor receptor 2, receptor tyrosine protein kinase erbB-2, EGFR2, HER2, HER-2, p185c-erbB2, NEU, CD340)], humanized monoclonal antibody, biparatopic (targeting two different non-overlapping epitopes on ERBB2); gamma1 heavy chain humanized (1-449) [VH (*Homo sapiens* IGHV3-66*01 (78.8%) -(IGHD) -IGHJ4*01 (100%)) [8.8.12] (1-120) -*Homo sapiens* IGHG1*01 G1m17,1 (CH1 K120 (217) (121-218), hinge 1-15 (219-233), CH2 (234-343), CH3 T6>V (353), L7>Y (354), D12 (359), L14 (361), F85.1>A (408), Y86>V (410) (344-448), CHS K2>del (449)) (121-449)], (223-215')-disulfide with kappa light chain humanized (1'-215') [V-KAPPA (*Homo sapiens* IGKV1-16*01 (84.2%) -IGKJ1*01 (100%)) [6.3.9] (1'-108') -*Homo sapiens* IGKC*01 (100%) Km3 A45.1 (154), V101 (192) (109'-215')]; gamma1 heavy chain V-KAPPA-VH-CH2-CH3 humanized (1"-481") [V-KAPPA (*Homo sapiens* IGKV1-39*01 (86.3%) -IGKJ1*01 (100%)) [6.3.9] (1"-108") -20-mer linker (109"-128") -VH (*Homo sapiens* IGHV3-66*01 (81.6%) -(IGHD) -IGHJ4*01 (100%)) [8.8.13] (129"-248") -dialanyl (249"-250") -*Homo sapiens* IGHG1*01 (hinge 1-15, C5>S (255) (251-265), CH2 (266-375), CH3 T6>V (385), D12 (391), L14 (393), T22>L (401), K79>L (427), T81>W (429) (376-480), CHS K2>del (481)) (251"-481")]; dimer (229-261":232-264")-bisdisulfide, produced in Chinese Hamster Ovary (CHO), glycoform alfa *immunomodulator, antineoplastic*

zanidatamab

immunoglobuline G1-kappa, anti-[*Homo sapiens* ERBB2 (récepteur 2 du facteur de croissance épidermique, récepteur tyrosine-protéine kinase erbB-2, EGFR2, HER2, HER-2, p185c-erbB2, NEU, CD340)], anticorps monoclonal humanisé, biparatopique (ciblant deux épitopes différents non chevauchants sur ERBB2); chaîne lourde gamma1 humanisée (1-449) [VH (*Homo sapiens* IGHV3-66*01 (78.8%) -(IGHD) -IGHJ4*01 (100%)) [8.8.12] (1-120) -*Homo sapiens* IGHG1*01 G1m17,1 (CH1 120 (217) (121-218), charnière 1-15 (219-233), CH2 (234-343), CH3 T6>V (353), L7>Y (354), D12 (359), L14 (361), F85.1>A (408), Y86>V (410) (344-448), CHS K2>del (449)) (121-449)], (223-215')-disulfure avec la chaîne légère kappa humanisée (1'-215') [V-KAPPA (*Homo sapiens* IGKV1-16*01 (84.2%) -IGKJ1*01 (100%)) [6.3.9] (1'-108') -*Homo sapiens* IGKC*01 (100%) Km3 A45.1 (154), V101 (192) (109'-215')]; chaîne lourde gamma1 V-KAPPA-VH-CH2-CH3 humanisée (1"-481") [V-KAPPA (*Homo sapiens* IGKV1-39*01 (86.3%) -IGKJ1*01 (100%)) [6.3.9] (1"-108") -20-mer linker (109"-128") -VH (*Homo sapiens* IGHV3-66*01 (81.6%) -(IGHD) -IGHJ4*01 (100%)) [8.8.13] (129"-248") -dialanyl (249"-250") -*Homo sapiens* IGHG1*01 (charnière 1-15 C5>S (255) (251-265), CH2 (266-375), CH3 T6>V (385), D12 (391), L14 (393), T22>L (401), K79>L (427), T81>W (429) (376-480), CHS K2>del (481)) (251"-481")]; dimère (229-261":232-264")-bisdisulfure, produit dans des cellules ovariennes de hamsters chinois (CHO), glycoforme alfa *immunomodulateur, antinéoplasique*

zanidatamab

inmunoglobulina G1-kappa, anti-[*Homo sapiens* ERBB2 (receptor 2 del factor de crecimiento epidérmico, receptor tirosina-proteína kinasa erbB-2, EGFR2, HER2, HER-2, p185c-erbB2, NEU, CD340)], anticuerpo monoclonal humanizado, biparatópico (cuya diana son dos epítopos diferentes no solapables en ERBB2); cadena pesada gamma1 humanizada (1-449) [VH (*Homo sapiens*IGHV3-66*01 (78.8%) -(IGHD) -IGHJ4*01 (100%)) [8.8.12] (1-120) -*Homo sapiens*IGHG1*01 G1m17,1 (CH1 120 (217) (121-218), bisagra 1-15 (219-233), CH2 (234-343), CH3 T6>V (353), L7>Y (354), D12 (359), L14 (361), F85.1>A (408), Y86>V (410) (344-448), CHS K2>del (449)) (121-449), (223-215')-disulfuro con la cadena ligera kappa humanizada (1'-215') [V-KAPPA (*Homo sapiens*IGKV1-16*01 (84.2%) -IGKJ1*01 (100%)) [6.3.9] (1'-108') -*Homo sapiens*IGKC*01 (100%) Km3 A45.1 (154), V101 (192) (109'-215')]; cadena pesada gamma1 V-KAPPA-VH-CH2-CH3 humanizada (1"-481") [V-KAPPA (*Homo sapiens*IGKV1-39*01 (86.3%) -IGKJ1*01 (100%)) [6.3.9] (1"-108") -conector 20-mer (109'-128") -VH (*Homo sapiens*IGHV3-66*01 (81.6%) -(IGHD) -IGHJ4*01 (100%)) [8.8.13] (129"-248") -dialanil (249"-250") -*Homo sapiens*IGHG1*01 (bisagra 1-15 C5>S (255) (251-265), CH2 (266-375), CH3 T6>V (385), D12 (391), L14 (393), T22>L (401), K79>L (427), T81>W (429) (376-480), CHS K2>del (481)) (251"-481"); dímero (229-261":232-264")-bisdisulfuro, producido en las células ováricas de hamsters chinos (CHO), glicoforma alfa inmunomodulador, antineoplásico

2169946-15-8

Heavy chain / Chaîne lourde / Cadena pesada

GEVQLEVESGG GLVQPGGSLE LSCCAASGFTF ADYTMWDVRQ APGKGLEWVG 50
 DVNPNSGGSI YNQRFKGRFTF FSVDRSKNTL YLQMQNSLRAE DTAVYYCARN 100
 LGPSFYFDYW GGQTLLTVSS ASTKGPSVPF LAPSSKSTSG GTAALGCLVK 150
 DYFPEPVTVS WNSGALTSGV HTFPFAVLQSS GLYSLSVVT VFSSSLCTQT 200
 YICNWNHKKES NTKVDKKVEP KSCDKTHCP PCPAPELLGG PSVFLFPK 250
 KDTLMISRIP EVTICVVVDVS HDCEPKFWN YVDGVEVNNA KTKPREEQIN 300
 STYRVVSILT VLHQDWLNKE EYKCKVSNKA LPAPIEKTIS KAKQGPREQP 350
 VVYVPPSRDE LTKNQVSLTC LVKGFYPSDI AWEWESNGQP ENNYKTTPPV 400
 LDSDGSFALV SKLTVDKSRW QQGNVFSCSV MHEALHNHYT QKSLSLSPG 449

Heavy chain / Chaîne lourde / Cadena pesada

GDIQMTQSFS SLSASVGDRV TITCRASQDV NTAVAWYQQK PGKAKPLLIY 50
 SASFLYSGVP SRFSGSRSGT DFITLTISSLQ PEDFATYYCQ QHYTTPPTFG 100
 QGTKVEIKGG SGGGGGGGSG GGGGGSGGEV QLVESEGGGL PQGGSLRLSC 150
 AASGKNIKDT YIHWRQAPQF KGLEWVARITY PTNGTYRDAY SVKGRFTISA 200
 DTSKNTAYLQ MNSLRAEDTA VYVCSRWGGD GFYAMDYWGQ GTLVTVSSAA 250
 EPKSSDKTHT CPFCPCAPELL GGPSPVLFPP KPDKDTMISR TPEVTCVVVD 300
 VSHEDEPEVKF NYWYVGVVEH NAKTKPREEQ YNSTYRVVSV LTVLHQDWLN 350
 GKEYKCKVSN KALPAPIEKI ISKAQGPQE PQVYVLPSS DELTKNQVDSL 400
 LCLVKGFYPS DIAVEWESNG QEPNNYLTPW PVLDSDGSFF LYSKLTVDKS 450
 RWQQGNVFSC SVMHEALHNH YTQKSLSLSP G 481

Light chain / Chaîne légère / Cadena ligera

GDIQMTQSFS SLSASVGDRV TITCKASQDV SIGVAWYQQK PGKAKPLLIY 50
 SASRYRTGVP SRFSGSGSGT DFITLTISSLQ PEDFATYYCQ QYYIYPATFG 100
 QGTKVEIKRT VAAPSVFIFP PSDEQQLKSGT ASVVCCLNNF YPREAKVQNK 150
 VDNALQSGNS QESVTEQDSK DSTYSLSSTL TLSKADYEH KVYACEVTHQ 200
 GLSSPVTKSF NRGEC 215

Post-translational modifications

Disulfide bridges location / Position des ponts disulfure / Posiciones de los puentes disulfuro
 Intra-H (C23-C104) 23-97 147-203 264-324 370-428
 24"-89" 150"-224" 296"-356" 402"-460"
 Intra-L (C23-C104) 24"-89" 135"-195"
 Inter-H-L (h 5-CL 126) 223-215'
 Inter-H-H (h 11, h 14) 229-261" 232-264"

N-glycosylation sites / Sites de N-glycosylation / Posiciones de N-glicosilación

H CH2 N84.4:

300, 332"

Fucosylated complex bi-antennary CHO-type glycans / glycanes de type CHO bi-antennaires complexes fucosylés / glicanos de tipo CHO biantenarios complejos fucosilados

zelminemabum #

zelminemab

immunoglobulin G1-kappa, anti-[*Homo sapiens* ADCYAP1R1 (adenylate cyclase-activating polypeptide (ADCYAP) type I receptor, pituitary adenylate cyclase-activating polypeptide (PACAP) type I receptor, PAC1, PAC1R)], monoclonal antibody; gamma1 heavy chain humanized (1-450) [VH (*Homo sapiens* IGHV1-46*01 (80.6%) -(IGHD) -IGHJ4*01 (93.3%)) [8.8.13] (1-120) -*Homo sapiens* IGHG1*03v, G1m3>G1m17, nG1m1 (CH1 K120 (217) (121-218), hinge 1-15 (219-233), CH2 N84.4>G (300) (234-343), CH3 E12 (359), M14 (361) (344-448), CHS (449-450)) (121-450)], (223-214')-disulfide with kappa light chain humanized (1'-214') [V-KAPPA (*Homo sapiens* IGKV1-5*01 (85.6%) -IGKJ3*02 (100%)) [6.3.9] (1'-107') -*Homo sapiens* IGKC*01 (100%) Km3 A45.1 (153), V101 (191) (108'-214')]; dimer (229-229":232-232")-bisdisulfide, produced in Chinese Hamster Ovary (CHO) cell line, non-glycosylated *immunomodulator*

zelminémab

immunoglobuline G1-kappa, anti-[*Homo sapiens* ADCYAP1R1 (récepteur de type I du polypeptide activant l'adénylate cyclase (ADCYAP), récepteur de type I du polypeptide activant l'adénylate cyclase pituitaire (PACAP), PAC1, PAC1R)], anticorps monoclonal; chaîne lourde gamma1 humanisée (1-450) [VH (*Homo sapiens* IGHV1-46*01 (80.6%) -(IGHD) -IGHJ4*01 (93.3%)) [8.8.13] (1-120) -*Homo sapiens* IGHG1*03v, G1m3>G1m17, nG1m1 (CH1 K120 (217) (121-218), charnière 1-15 (219-233), CH2 N84.4>G (300) (234-343), CH3 E12 (359), M14 (361) (344-448), CHS (449-450)) (121-450)], (223-214')-disulfure avec la chaîne légère kappa humanisée (1'-214') [V-KAPPA (*Homo sapiens* IGKV1-5*01 (85.6%) -IGKJ3*02 (100%)) [6.3.9] (1'-107') -*Homo sapiens* IGKC*01 (100%) Km3 A45.1 (153), V101 (191) (108'-214')]; dimère (229-229":232-232")-bisdisulfure, produit dans des cellules ovarianes de hamsters chinois (CHO), non glycosylé *immunomodulateur*

zelminemab

inmunoglobulina G1-kappa, anti-[*Homo sapiens* ADCYAP1R1 (receptor de tipo I de polipéptido activador de la adenilato ciclase (ADCYAP), receptor de tipo I de polipéptido activador de la adenilato ciclase pituitaria (PACAP), PAC1, PAC1R)], anticuerpo monoclonal; cadena pesada gamma1 humanizada (1-450) [VH (*Homo sapiens* IGHV1-46*01 (80.6%) -(IGHD) -IGHJ4*01 (93.3%)) [8.8.13] (1-120) -*Homo sapiens* IGHG1*03v, G1m3>G1m17, nG1m1 (CH1 K120 (217) (121-218), bisagra 1-15 (219-233), CH2 N84.4>G (300) (234-343), CH3 E12 (359), M14 (361) (344-448), CHS (449-450)) (121-450)], (223-214')-disulfuro con la cadena ligera kappa humanizada (1'-214') [V-KAPPA (*Homo sapiens* IGKV1-5*01 (85.6%) -IGKJ3*02 (100%)) [6.3.9] (1'-107') -*Homo sapiens* IGKC*01 (100%) Km3 A45.1 (153), V101 (191) (108'-214')]; dímero (229-229":232-232")-bisdisulfuro, producido en las células ováricas de hamsters chinos (CHO), no glicosilado *inmunomodulador*

2225850-33-7

Heavy chain / Chaîne lourde / Cadena pesada

QVQLVESGAE VVKPGASVKV SCKASGFTS RFAMHWVRQA PGQQGLEWMGV 50
 ISYDGGNNYY AESVKGRVTM TRDTSTSTLV MELSSLRSED TAVYYCARGY 100
 DVLITGYPDWY QGGTLLTVVSS ASTKGPSVFP LAPSSKSTSG GTAALGCLVE 150
 DYFPEPVTVS WNSGALTSGV HTPFPAVLSS GLYSLSSVVT VPSSSLQT 200
 YICNVNHHKPS NTKVDKKKVBP KSCDKTHTCP PCPAPELLGG PSVFLFPEKP 250
 KDTLMISRTP ETVCVVVVDVS HEDPEVKFWW YVDGVEVHNA KTKPREEQYG 300
 STYRVVSVLIT VLHQDWLNGK EYRKVKSNAKA LPAPIEKTIS KAKGQPREPQ 350
 VYTLPSPSERP MTKNQVSLTC LVKGFPSPDI AWEWESNGQP ENNYKTTPPV 400
 LDSDGSFFPL SKLTQVDSRW QQGNVFSCSV MHEALHNHYT QKSLSLSPGK 450

Light chain / Chaîne légère / Cadena ligera

DIQLTQSPSF LSASVGRVT ITCRASQSIG RSLHWYQQPK GKAPKLLIKY 50
 ASQSLSLGVS FRSFGSGSTE FTTLTISSLQV EDFATYYCHQ SSRLPFTGP 100
 GTRVKDIIKRTV AAPSVFIFPP SDEQLKSGTA SVVCLLNPFY PREAKVQMV 150
 DNALQSGNSE ESVTEQDSKD STYSLSLTV LSKADYEKKH VYACEVTHQG 200
 LSSPVTKSFRV RGEC 214

Post-translational modifications

Disulfide bridges location / Position des ponts disulfure / Posiciones de los puentes disulfuro
 Intra-H (C23-C104) 22-96 147-203 264-324 370-428

22"-96" 147"-203" 264"-324" 370"-428"

Intra-L (C23-C104) 23-88" 134"-194"

23"-88" 134"-194"

Inter-H-L (h 5-CL 126)* 223-214" 223"-214"

Inter-H-H (h 11, h 14)* 229-229" 232-232"

N-terminal glutamine cyclization to pyroglutamate (pE, 5-oxoproline)

H VH Q1:

I, I"

No N-glycosylation sites / pas de sites de N-glycosylation / ningún posición de N-glicosilación:
 H CH2 N84.4>G:
 300, 300"

C-terminal lysine clipping:

H CHS K2:

450, 450"

zelquistinelum

zelquistinel

tert-butyl (4*S*)-2-[(2*S,3R*)-1-amino-3-hydroxy-1-oxobutan-2-yl]-1-oxo-2,5-diazaspiro[3.4]octane-5-carboxylate

N-methyl-D-aspartate (NMDA) receptor partial agonist

zelquistinel

(4*S*)-2-[(2*S,3R*)-1-amino-3-hydroxy-1-oxobutan-2-yl]-1-oxo-2,5-diazaspiro[3.4]octane-5-carboxylate de *tert*-butyle

agoniste partiel des récepteurs du NMDA

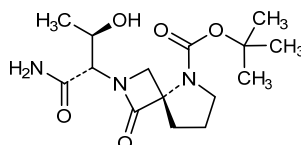
zelquistinel

(4*S*)-2-[(2*S,3R*)-1-amino-3-hidroxi-1-oxobutan-2-il]-1-oxo-2,5-diazaspiro[3.4]octano-5-carboxilato de *terc*-butilo

agonista parcial del receptor de NMDA

C₁₅H₂₅N₃O₅

2151842-64-5

**zildistrogenum varoparvovecum #**

zildistrogene varoparvovec

A recombinant non-replicating adeno-associated virus type 2/9 (rAAV Rep2-Cap9) vector, encoding human microdystrophin 5 (h-μD5) under control of CK8 muscle creatine kinase promoter and enhancer elements

gene therapy (*Duchenne muscular dystrophy*)

zildistrogène varoparvovec

vecteur viral adéno-associé de type 2/9 recombinant non-répliquant (rAAV Rep2-Cap9) codant pour la microdystrophine 5 humaine (h-mD5) sous le contrôle de l'activateur/promoteur de la créatine kinase musculaire CK8
thérapie génique (dystrophie musculaire de Duchenne)

zildistrogén varoparvovec

Un vector de virus adenoasociado recombinante no replicativo del tipo 2/9 (rAAV Rep2-Cap9), que codifica para la microdistrofina 5 humana (h-mD5) bajo el control del promotor y elementos potenciadores (enhancer) de la creatina quinasa CK8 de músculo.
terapia génica (distrofia muscular de Duchenne)

2220231-04-7

ziltivekimab #

ziltivekimab

immunoglobulin G1-kappa, anti-[*Homo sapiens* IL6 (interleukin 6, IL-6)], monoclonal antibody; gamma1 heavy chain humanized (1-450) [VH (*Homo sapiens* IGHV3-66*01 (88.8%) -(IGHD) -IGHJ1*01 (90.9%)) [8.8.13] (1-120) -*Homo sapiens*IGHG1*03 G1m3, nG1m1 (CH1 R120 (217) (121-218), hinge 1-15 (219-233), CH2 M15.1>Y (255), S16>T (257), T18>E (259) (234-343), CH3 E12 (359), M14 (361) (344-448), CHS (449-450)) (121-450)], (223-213')-disulfide with kappa light chain *Homo sapiens* (1'-213') IV-KAPPA (*Homo sapiens* IGKV1-5*03 (96.7%) -IGKJ2*03 (100%)) [6.3.8] (1'-106') -*Homo sapiens* IGKC*01 (100%), Km3 A45.1 (152), V101 (190) (107'-213')]; dimer (229-229":232-232")-bisdisulfide, produced in Chinese Hamster Ovary (CHO)-GS cell line, glycoform alfa
immunomodulator

ziltivékimab

immunoglobuline G1-kappa, anti-[*Homo sapiens* IL6 (interleukine 6, IL-6)], anticorps monoclonal; chaîne lourde gamma1 humanisée (1-450) [VH (*Homo sapiens* IGHV3-66*01 (88.8%) -(IGHD) -IGHJ1*01 (90.9%)) [8.8.13] (1-120) -*Homo sapiens* IGHG1*03 G1m3, nG1m1 (CH1 R120 (217) (121-218), charnière 1-15 (219-233), CH2 M15.1>Y (255), S16>T (257), T18>E (259) (234-343), CH3 E12 (359), M14 (361) (344-448), CHS (449-450)) (121-450)], (223-213')-disulfure avec la chaîne légère kappa *Homo sapiens* (1'-213') [V-KAPPA (*Homo sapiens* IGKV1-5*03 (96.7%) -IGKJ2*03 (100%)) [6.3.8] (1'-106') -*Homo sapiens* IGKC*01 (100%), Km3 A45.1 (152), V101 (190) (107'-213')]; dimère (229-229":232-232")-bisdisulfure, produit dans des cellules ovariennes de hamsters chinois (CHO) lignée cellulaire GS, glycoforme alfa
immunomodulateur

ziltivekimab

inmunoglobulina G1-kappa, anti-[*Homo sapiens* IL6 (interleukina 6, IL-6)], anticuerpo monoclonal;

cadena pesada gamma1 humanizada (1-450) [VH (*Homo sapiens* IGHV3-66*01 (88.8%) -(IGHD) - IGHJ1*01 (90.9%)) [8.8.13] (1-120) -*Homo sapiens* IGHG1*03 G1m3, nG1m1 (CH1 R120 (217) (121-218), bisagra 1-15 (219-233), CH2 M15.1>Y (255), S16>T (257), T18>E (259) (234-343), CH3 E12 (359), M14 (361) (344-448), CHS (449-450)) (121-450)], (223-213')-disulfuro con la cadena ligera kappa *Homo sapiens* (1'-213') [V-KAPPA (*Homo sapiens* IGKV1-5*03 (96.7%) -IGKJ2*03 (100%)) [6.3.8] (1'-106') -*Homo sapiens* IGKC*01 (100%), Km3 A45.1 (152), V101 (190) (107'-213')]; dímero (229-229":232-232")-bisdisulfuro, producido en las células ováricas de hamsters chinos (CHO) línea celular GS, glicoforma alfa *inmunomodulador*

2226654-05-1

Heavy chain / Chaîne lourde / Cadena pesada

```

EVQLVESGGV LVQPGGSLRL SCAAASGFTIS SNYMIWVRQD PGKGLEWVSD 50
LYYYAGDTYY ADSVKGRFTM SRDISKNTVY LQMNLSLRAED TAVYVCAWRV 100
DDHPWPIDLW GRGLLTVTSS ASTKGPSVEP LAPSSKSTSG GTAALGCLVK 150
DYFPEPVTVS WNSGALTSGVY HTFPAVLQSS GLYSLSVVTT VFSSSLGTQF 200
YICNNVHKPS NTKVDRKVEP KSCDKTHCP PCPAPELLGG PSVFLPPKP 250
KDLYIYTREP EVTCVVVDVSV HEDPEVRFNW YVDGVEVHNA KTKPREEQYN 300
STYRVPVSIT VLHQDWLNGK EYKCKVSNKA LPAPIEKITIS KAKCQPREQ 350
VYTLPSSREYL MTKNQVSLTC LVKGFYPSDI AVEWESENQQP ENNYKTTTPV 400
LDSDGSSFFLY SKLTVDKSRW QQGNVFSFCV MHEALHNHYT QKSLSLSPKG 450

```

Light chain / Chaîne légère / Cadena ligera

```

DIQMOTGSFST LSASVGRDVT ITCRASQGIS SWLAWYQQKPGKAPKVLIYK 50
ASTLIESGVPS RFSGSGSGTE FTLTISSQGP DDFATYYCCQG SWLGGSFGQQ 100
TKLEIKRTVA APSVVIFFPS DEQLKSGTAS VVCLLNNFYP REAKVQWKVD 150
NALQSGNSQE SVTEQDSDKS TYSLSSLTTL SKADYEKHKV YACEVTHQGL 200
SSPVTKSFNR GEC 213

```

Post-translational modifications

Disulfide bridge location / Position des ponts disulfure / Posiciones de los puentes disulfuro
 Intra-H (C23-C104) 22-96 147-203 264-324 370-428
 22"-96" 147"-203" 264"-324" 370"-428"
 Intra-L (C23-C104) 23"-88" 133"-193"
 23"-88" 133"-193"
 Inter-H-L (h 5-CL 126) 223-213" 223"-213"
 Inter-H-H (h 11, h 14) 229-229" 232-232"

N-glycosylation sites / Sites de N-glycosylation / Posiciones de N-glicosilación
 H CH2 N84.4:
 300, 300'

Fucosylated complex bi-antennary CHO-type glycans / glycanes de type CHO bi-antennaires complexes fucosylés / glicanos de tipo CHO biantenarios complejos fucosilados.

zorifertinibum

zorifertinib

4-(3-chloro-2-fluoroanilino)-7-methoxyquinazolin-6-yl
 (2*R*)-2,4-dimethylpiperazine-1-carboxylate
tyrosine kinase inhibitor, antineoplastic

zorifertinib

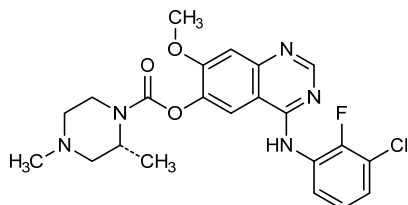
(2*R*)-2,4-diméthylpipérazine-1-carboxylate de 4-(3-chloro-2-fluoroanilino)-7-méthoxyquinazolin-6-yle
inhibiteur de la tyrosine kinase, antinéoplasique

zorifertinib

(2*R*)-2,4-dimetilpiperazina-1-carboxilato de 4-(3-cloro-2-fluoroanilino)-7-metoxiquinazolin-6-ilo
inhibidor de la tirosina quinasa, antineoplásico



1626387-80-1



Electronic structure available on Mednet: <http://mednet.who.int/>
Structure électronique disponible sur Mednet: <http://mednet.who.int/>
Estructura electrónica disponible en Mednet: <http://mednet.who.int/>
* <http://www.who.int/medicines/services/inn/publication/en/>

Names for Radicals and Groups

Some substances for which a proposed international nonproprietary name has been established may be used in the form of salts or esters. The radicals or groups involved may be of complex composition and it is then inconvenient to refer to them in a systematic chemical nomenclature. Consequently, shorter nonproprietary names for some radicals and groups have been devised or selected, and they are suggested for use with the proposed international nonproprietary names.

Dénominations applicables aux radicaux et groupes

Certaines substances pour lesquelles une dénomination commune internationale proposée a été établie sont parfois utilisées sous forme de sels ou d'esters. Les radicaux ou groupes correspondants sont alors quelques fois si complexes qu'il est malcommode de les désigner conformément à la nomenclature chimique systématique. Des dénominations communes abrégées ont donc été formées ou choisies pour certains d'entre eux et il est suggéré de les employer avec les dénominations communes internationales proposées.

Denominaciones para Radicales y Grupos

Ciertas sustancias para las cuales hay establecidas una denominación común internacional pueden usarse en forma de sales o de ésteres. Los radicales o grupos correspondientes pueden llegar a tener una composición tan compleja que resulte incómodo referirse a ellos mediante la nomenclatura química sistemática. Las siguientes denominaciones comunes abreviadas han sido ideadas o elegidas para algunos de estos radicales y grupos y se sugiere que se empleen con las denominaciones comunes internacionales propuestas

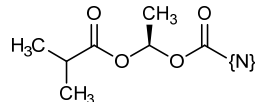
arenacarbilum

arenacarbil $\{(1R)\text{-}1\text{-}[(2\text{-methylpropanoyl})\text{oxy}]\text{ethoxy}\}\text{carbonyl}$

arénacarbil {(1*R*)-1-[(2-méthylpropanoyl)oxy]éthoxy}carbonyle

arenacarbil ((1*R*)-1-[(2-metilpropanoil)oxi]etoxi}carbonilo

C₇H₁₁O₄



clezutoclaxum

clezutoclax

(2RS)-1-((19S,22S,26³S,26⁵S)-16²-(2,6-anhydro-7,8-dideoxy-L-glycero-L-gulo-oct-8-ylonic acid)-5⁶-carboxy-12-[(3S)-3,4-dihydroxybutyl]-6⁵,8⁵,8⁷,19-tetramethyl-3,13,18,21,24,26²-hexaoxo-22-(propan-2-yl)-26⁵-[(2-sulfoethoxy)methyl]-4³,4⁴-dihydro-4¹H-9,14-dioxa-2,12,17,20,23-pentaaza-4(8,2)-isoquinolina-1(2)-[1,3]benzothiazola-5(2,5)-pyridina-6(4,1)-pyrazola-26(1)-pyrrolidina-8(1,3)-adamantane-16(1,4)-benzenahexacosaphan-26³-yl]amino)-3-carboxy-1-oxopropan-2-yl and (1RS)-3-((19S,22S,26³S,26⁵S)-...hexacosaphan-26³-yl)amino)-1-carboxy-3-oxopropyl

clézutoclax

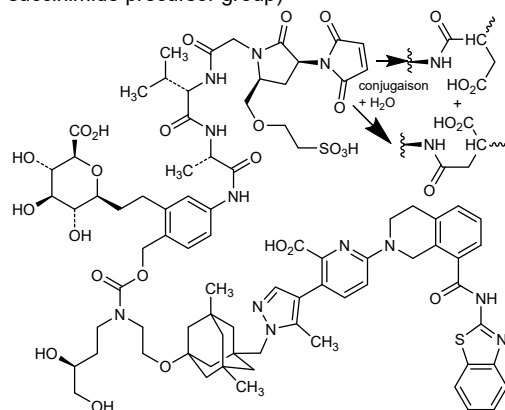
(*2RS*)-1-((*19S,22S,26³S,26⁵S*)-16²-(acide 2,6-anhydro-7,8-didésoxy-L-glycéro-L-gulo-oct-8-ylonique)-5⁶-carboxy-12-[(*3S*)-3,4-dihydroxybutyl]-6⁵,8⁵,8⁷,19-tétraméthyl-3,13,18,21,24,26²-hexaoxo-22-(propan-2-yl)-26⁵-[(2-sulfoéthoxy)méthyl]-4³,4⁴-dihydro-4¹H-9,14-dioxa-2,12,17,20,23-pentaaza-4-(8,2)-isoquinolina-1(2)-[1,3]benzothiazola-5(2,5)-pyridina-6(4,1)-pirazola-26(1)-pirrolidina-8(1,3)-adamantana-16(1,4)-benzénahexacosaphan-26³-yl}amino)-3-carboxy-1-oxopropan-2-yle et (*1RS*)-3-((*19S,22S,26³S,26⁵S*)-...hexacosaphan-26³-yl}amino)-1-carboxy-3-oxopropyle

clezutoclax

(*2RS*)-1-((*19S,22S,26³S,26⁵S*)-16²-(ácido 2,6-anhidro-7,8-didesoxo-L-glicero-L-gulo-oct-8-ilónico)-5⁶-carboxi-12-[(*3S*)-3,4-dihidroxibutil]-6⁵,8⁵,8⁷,19-tetrametil-3,13,18,21,24,26²-hexaoxo-22-(propan-2-il)-26⁵-[(2-sulfoetoxi)metyl]-4³,4⁴-dihidro-4¹H-9,14-dioxa-2,12,17,20,23-pentaaza-4-(8,2)-isoquinolina-1(2)-[1,3]benzotiazola-5(2,5)-piridina-6(4,1)-pirazola-26(1)-pirrolidina-8(1,3)-adamantana-16(1,4)-bencenahexacosafan-26³-il}amino)-3-carboxi-1-oxopropan-2-ilo y (*1RS*)-3-((*19S,22S,26³S,26⁵S*)-...hexacosafan-26³-il}amino)-1-carboxi-3-oxopropilo

C₈₃H₁₀₃N₁₂O₂₄S₂ (for the succinimide precursor group)

1949843-71-3 (for the reagent)



corixetanum

corixetan

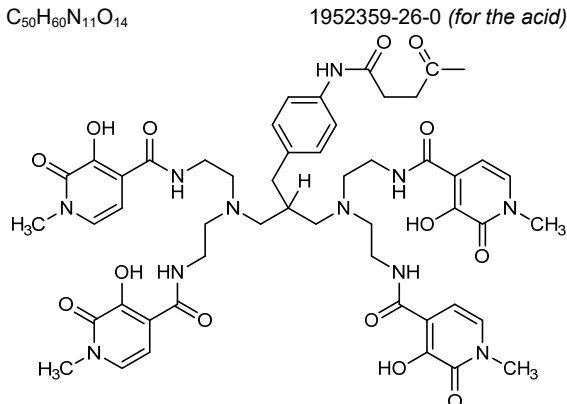
4-[4-{3-[bis[2-(3-hydroxy-1-methyl-2-oxo-1,2-dihydropyridine-4-carboxamido)ethyl]amino}-2-({bis[2-(3-hydroxy-1-methyl-2-oxo-1,2-dihydropyridine-4-carboxamido)ethyl]amino}methyl)propyl]anilino]-4-oxobutanoyl

corixétan

4-[4-{3-[bis[2-(3-hydroxy-1-méthyl-2-oxo-1,2-dihydropyridine-4-carboxamido)éthyl]amino}-2-({bis[2-(3-hydroxy-1-méthyl-2-oxo-1,2-dihydropyridine-4-carboxamido)éthyl]amino)méthyl)propyl]anilino]-4-oxobutanoyle

corixetán

4-[4-{3-[bis[2-(3-hidroxi-1-metil-2-oxo-1,2-dihidropiridina-4-carboxamido)etil]amino}-2-({bis[2-(3-hidroxi-1-metil-2-oxo-1,2-dihidropiridina-4-carboxamido)etil]amino}metil)propil]anilino]-4-oxobutanoilo

**deruxtecanum**

deruxtecan

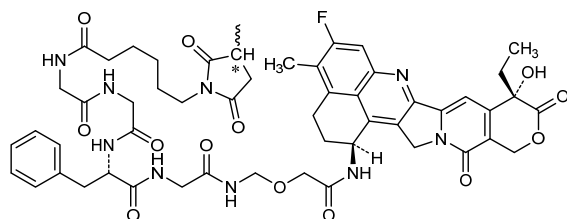
(*3RS*)-1-[*(10S)*-10-benzyl-1-{[(*1S,9S*)-9-ethyl-5-fluoro-9-hydroxy-4-methyl-10,13-dioxo-2,3,9,10,13,15-hexahydro-1*H*,12*H*-benzo[*de*]pyrano[3',4':6,7]indolizino[1,2-*b*]quinolin-1-yl]amino}-1,6,9,12,15,18-hexaoxo-3-oxa-5,8,11,14,17-pentaazatricosan-23-yl]-2,5-dioxopyrrolidin-3-yl]

déruxtécan

(*3RS*)-1-[*(10S)*-10-benzyl-1-{[(*1S,9S*)-9-éthyl-5-fluoro-9-hydroxy-4-méthyl-10,13-dioxo-2,3,9,10,13,15-hexahydro-1*H*,12*H*-benzo[*de*]pyrano[3',4':6,7]indolizino[1,2-*b*]quinolin-1-yl]amino}-1,6,9,12,15,18-hexaoxo-3-oxa-5,8,11,14,17-pentaazatricosan-23-yl]-2,5-dioxopyrrolidin-3-yle

deruxtecán

(*3RS*)-1-[*(10S)*-10-bencíl-1-{[(*1S,9S*)-9-etyl-5-fluoro-9-hidroxi-4-metil-10,13-dioxo-2,3,9,10,13,15-hexahidro-1*H*,12*H*-benzo[*de*]pirano[3',4':6,7]indolizino[1,2-*b*]quinolin-1-il]amino}-1,6,9,12,15,18-hexaoxo-3-oxa-5,8,11,14,17-pentaazatricosan-23-il]-2,5-dioxopirrolidin-3-ilo

1599440-13-7 (*reagent*)**palmitilum**

palmitil

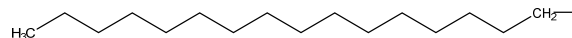
hexadecyl

palmitil

héxadécyle

palmitil

hexadecilo



AMENDMENTS TO PREVIOUS LISTS
MODIFICATIONS APPORTÉES AUX LISTES ANTÉRIEURES
MODIFICACIONES A LAS LISTAS ANTERIORES

Denominaciones Comunes Internacionales Propuestas (DCI Prop.): Lista 25
(Crónica de la OMS, Vol. 25, No. 3, 1971)

p. 131 *suprimáse* *insertese*
 fluocinónido fluocinonida

Denominaciones Comunes Internacionales Propuestas (DCI Prop.): Lista 28
(Crónica de la OMS, Vol. 26, No. 9, 1972)

p. 5 *suprimáse* *insertese*
 cicortónido cicortonida

Denominaciones Comunes Internacionales Propuestas (DCI Prop.): Lista 33
(Crónica de la OMS, Vol. 29, No. 3, 1975)

p. 3 *suprimáse* *insertese*
 amcinónido amcinonida

Denominaciones Comunes Internacionales Propuestas (DCI Prop.): Lista 37
(Crónica de la OMS, Vol. 31, No. 3, 1976)

p. 5 *suprimáse* *insertese*
 budesónido budesonida

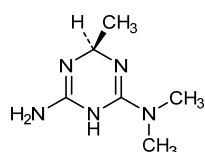
Proposed International Nonproprietary Names (Prop. INN): List 95
Dénominations communes internationales proposées (DCI Prop.): Liste 95
Denominaciones Comunes Internacionales Propuestas (DCI Prop.): Lista 95
(WHO Drug Information, Vol. 20, No. 2, 2006)

- | | | |
|--------|------------------------------|-------------------------------------------------------|
| p. 132 | imisopasemum manganum | |
| -133 | imisopasem manganese | <i>replace the chemical name by the following</i> |
| | imisopasem manganèse | <i>remplacer le nom chimique par le suivant</i> |
| | imisopasem manganeso | <i>sustitúyase el nombre químico por el siguiente</i> |
- (PBPY-7-11-2344'3')-dichlorido[(1¹R,1²R,7¹R,7²R)-2,6,8,11-tetraaza-4(2,6)-pyridina-1,7(1,2)-dicyclohexanacycloundecaphane-K⁵N²,N^{1,4},N⁶,N⁸,N¹¹]manganese*
- (PBPY-7-11-2344'3')-dichlorido[(1¹R,1²R,7¹R,7²R)-2,6,8,11-tetraaza-4(2,6)-pyridina-1,7(1,2)-dicyclohexanacycloundécaphane-K⁵N²,N^{1,4},N⁶,N⁸,N¹¹]manganèse*
- (PBPY-7-11-2344'3')-dclorido[(1¹R,1²R,7¹R,7²R)-2,6,8,11-tetraaza-4(2,6)-piridina-1,7(1,2)-diclohexanacicloundecafano-K⁵N²,N^{1,4},N⁶,N⁸,N¹¹]manganeso*

Proposed International Nonproprietary Names (Prop. INN): List 98
Dénominations communes internationales proposées (DCI Prop.): Liste 98
Denominaciones Comunes Internacionales Propuestas (DCI Prop.): Lista 98
(WHO Drug Information, Vol. 21, No. 4, 2007)

p. 336	imegliminum	
	imeglimin	<i>replace the chemical name and the structure by the following ones</i>
	iméglimine	<i>remplacer le nom chimique et la structure par les suivants</i>
	imeglimina	<i>sustitúyase el nombre químico y la estructura por los siguientes</i>

(6R)-N²,N²,6-trimethyl-3,6-dihydro-1,3,5-triazine-2,4-diamine
(6R)-N²,N²,6-triméthyl-3,6-dihydro-1,3,5-triazine-2,4-diamine
(6R)-N²,N²,6-trimetil-3,6-dihidro-1,3,5-triazina-2,4-diamina



Proposed International Nonproprietary Names (Prop. INN): List 99
Dénominations communes internationales proposées (DCI Prop.): Liste 99
Denominaciones Comunes Internacionales Propuestas (DCI Prop.): Lista 99
(WHO Drug Information, Vol. 22, No. 2, 2008)

p. 133	suprimáse	<i>insertese</i>
	derquantel	dercuantel

Proposed International Nonproprietary Names (Prop. INN): List 104
Dénominations communes internationales proposées (DCI Prop.): Liste 104
Denominaciones Comunes Internacionales Propuestas (DCI Prop.): Lista 104
(WHO Drug Information, Vol. 24, No. 4, 2010)

p. 394	solithromycin	
	solithromycin	<i>replace the chemical name by the following one</i>
	solithromycine	<i>remplacer le nom chimique par le suivant</i>
	solitromicina	<i>sustitúyase el nombre químico por el siguiente</i>
		$(3aS,4R,7S,9R,10R,11R,13R,15R,15aR)-1\{-4[4-(3\text{-aminophenyl})-1H-1,2,3-triazol-1-yl]butyl\}-4\text{-ethyl}-7\text{-fluoro}-11\text{-methoxy-}3a,7,9,11,13,15\text{-hexamethyl-}10\{-[3,4,6\text{-trideoxy-}3\text{-(dimethylamino)}\text{-}\beta\text{-D-xylo-}hexopyranosyl]oxy\}\text{octahydro-}2H\text{-}[1]\text{oxacyclotetradecino[4,3-}d\text{]}[1,3]\text{oxazole-}2,6,8,14(1H,7H,9H)\text{-tetrone}$
		$(3aS,4R,7S,9R,10R,11R,13R,15R,15aR)-1\{-4[4-(3\text{-aminophényl})-1H-1,2,3-triazol-1-yl]butyl\}-4\text{-éthyl}-7\text{-fluoro}-11\text{-méthoxy-}3a,7,9,11,13,15\text{-hexaméthyl-}10\{-[3,4,6\text{-tridesoxy-}3\text{-(diméthylamino)}\text{-}\beta\text{-D-xylo-}hexopyranosyl]oxy\}\text{octahydro-}2H\text{-}[1]\text{oxacyclotétradécino[4,3-}d\text{]}[1,3]\text{oxazole-}2,6,8,14(1H,7H,9H)\text{-tétrone}$
		$(3aS,4R,7S,9R,10R,11R,13R,15R,15aR)-1\{-4[4-(3\text{-aminofenil})-1H-1,2,3-triazol-1-yl]butyl\}-4\text{-etyl}-7\text{-fluoro-}3a,7,9,11,13,15\text{-hexametil-}11\text{-metoxi-}10\{-[3,4,6\text{-tridesoxi-}3\text{-(dimetilamino)}\text{-}\beta\text{-D-xilo-}hexopiranosil]oxi\}\text{octahidro-}2H\text{-}[1]\text{oxaciclötetradecino[4,3-}d\text{]}[1,3]\text{oxazol-}2,6,8,14(1H,7H,9H)\text{-tetrona}$

Proposed International Nonproprietary Names (Prop. INN): List 117

Dénominations communes internationales proposées (DCI Prop.): Liste 117

Denominaciones Comunes Internacionales Propuestas (DCI Prop.): Lista 117

(WHO Drug Information, Vol. 31, No. 2, 2017)

p. 246	arfoltixorinum	<i>replace the CAS RN by the following remplacer le numéro de registre du CAS par le suivant sustitúyase el número de registro del CAS por el siguiente</i>
	arfoltixorin	
	arfoltixorine	
	arfoltixorina	

31690-11-6

p. 249- 250	avalglucosidasum alfa #	<i>replace the description by the following one remplacer la description par la suivante sustitúyase la descripción por la siguiente</i>
	avalglucosidase alfa	

modified human acid α -glucosidase produced in Chinese hamster ovary (CHO) cells, glycoform alfa, conjugated to a synthetic branched hexasaccharide containing two terminal mannose-6-phosphate (M6P), via aminoxy linkers; prepro-lysosomal α -glucosidase (EC=3.2.1.20) (human) (57-952)-peptide, natural [Arg¹⁴³,His¹⁶⁷,Ile⁷²⁴] variant, expressed in CHO cells, glycoform alfa, with 5~9 sialyl end groups of glycan residues being oxidized and chemically modified to 5-acetamido-3,5,7-trideoxy-7-[(E)-(2-oxo-2-{2-[4-(O-(6-O-phosphono- α -D-mannopyranosyl)-(1 \rightarrow 2)-O- α -D-mannopyranosyl-(1 \rightarrow 6)-O- α -D-mannopyranosyl-(1 \rightarrow 6)-O-[O-(6-O-phosphono- α -D-mannopyranosyl)-(1 \rightarrow 2)-O- α -D-mannopyranosyl-(1 \rightarrow 3)]- β -D-mannopyranosyl}oxy)butanoyl]hydrazinyl}ethoxy)imino]- β -L-arabino-2-heptulo-2,6-pyranosylonic acid groups

α -glucosidase acide humaine modifiée, produite dans des cellules ovariennes de hamster chinois (CHO), glycoforme alfa, liée à un hexasaccharide de synthèse dont les résidus terminaux sont deux mannose-6-phosphates via un groupe aminoxy; prépro- α -glucosidase lysosomale (EC=3.2.1.20) (humaine) (57-952)-peptide, variant naturel [Arg¹⁴³,His¹⁶⁷,Ile⁷²⁴], exprimé dans des cellules CHO, glycoforme alfa: 5~9 résidus sialyl terminaux sont oxydés et chimiquement modifiés en acide 5-acétamido-3,5,7-tridésoxy-7-[(E)-(2-oxo-2-{2-[4-(O-(6-O-phosphono- α -D-mannopyranosyl)-(1 \rightarrow 2)-O- α -D-mannopyranosyl-(1 \rightarrow 6)-O- α -D-mannopyranosyl-(1 \rightarrow 6)-O-[O-(6-O-phosphono- α -D-mannopyranosyl)-(1 \rightarrow 2)-O- α -D-mannopyranosyl-(1 \rightarrow 3)]- β -D-mannopyranosyl}oxy)butanoyl]hydrazinyl}éthoxy)imino]- β -L-arabino-2-heptulo-2,6-pyranosylonique

α -glucosidasa ácida humana modificada, producida en las células ováricas de hamster chino (CHO), glicoforma alfa, conjugada con un glicano hexasacárido sintético que contiene dos manosa-6-fosfatos (M6Ps) terminales, vía un grupo aminoxy; prepro- α -glucosidasa lisosomal (EC=3.2.1.20) (humana) (57-952)-péptido, variante natural [Arg¹⁴³,His¹⁶⁷,Ile⁷²⁴], expresada en las células CHO, glicoforma alfa, con los 5~9 restos sialil terminales están oxidados y químicamente modificados en ácido 5-acetamido-3,5,7-tridesoxi-7-[(E)-(2-oxo-2-{2-[4-(O-(6-O-fosfono- α -D-manopiranosil)-(1 \rightarrow 2)-O- α -D-manopiranosil-(1 \rightarrow 6)-O- α -D-manopiranosil-(1 \rightarrow 6)-O-[O-(6-O-fosfono- α -D-manopiranosil)-(1 \rightarrow 2)-O- α -D-manopiranosil-(1 \rightarrow 3)]- β -D-manopiranosil}oxy)butanoyl]hidrazinil}éthoxy)imino]- β -L-arabino-2-heptulo-2,6-piranosilónico

Proposed International Nonproprietary Names (Prop. INN): List 119**Dénominations communes internationales proposées (DCI Prop.): Liste 119****Denominaciones Comunes Internacionales Propuestas (DCI Prop.): Lista 119****(WHO Drug Information, Vol. 32, No. 2, 2018)**p. 290- **avoplaceum**

291 avoplacel *replace the description by the following one*
 avoplacel *remplacer la description par la suivante*
 avoplacel *sustitúyase la descripción por la siguiente*

human culture expanded allogenic mesenchymal-like adherent stromal cells for cell-based therapy. Cells are of fetal origin and derived from placentae of healthy donors following a cesarean section. Cells express cell surface markers CD29, CD73, and CD105 and secrete the factors IL-6, IL-8 and MCP-1.

cellules stromales semblables au mésenchyme, humaines, allogéniques, adhérentes, en culture d'expansion, pour thérapie cellulaire. Les cellules sont d'origine fœtale et dérivent du placenta de donneuses en bonne santé, à la suite d'une césarienne. Les cellules expriment les marqueurs de surface CD29, CD73 et CD105 et secrètent les facteurs IL-6, IL-8 et MCP-1.

células similares a mesenquimales, estromales, alogénicas, humanas, adherentes, expandidas en cultivo para terapia celular. Las células son de origen fetal y derivadas de placetas de donantes sanas tras una cesárea. Las células expresan los marcadores de superficie CD29, CD73 y CD105, y secretan los factores IL-6, IL-8 y MCP-1.

p.295 **binrafuspum alfa #**

binrafusp alfa *replace the structure by the following one*
 binrafusp alfa *reemplazar la structure par la suivante*
 binrafusp alfa *sustitúyase la estructura por la siguiente*

Heavy chain / Chaîne lourde / Cadena pesada
 EVQLLESGGG LVQPGGSSLRL SCAASGFTFS SYIMMMVRQA PGKGLEWVSS 50
 IYPSGGITFY ADTVKGRTFI SRDANSKNTLY LQMNSLRAED TAVYYCARIK 100
 LGTVTTVDYVQ GGGTIVTVSS ASTKGPVFVLPFSSKSTSG GTAAALGCLVK 150
 DVFPEPVTVS WNSGALTSSVG HTFFAVLQSS GLYSLSSVVT VPSSSLGTQT 200
 YICVNHNKPS NTKVDKRVEP KSCDKTHTCP PCPAPELGG PVFELPPKP 250
 KDTLMISRTP ETVTCVVVDVS HEDEEVKFWN YVDGVEVHNA KTKPREEQYN 300
 STYRVVSVLVL VLHQDWLNKG EYKCKVSNRKA LPAPIEKTTIS KAKQQPREPQ 350
 VTVLPPSERE MTKNQVSLTC LVKGFYPSDI AWEWESENQQP ENNYKTTTPV 400
 LDSDGFFFLVY SKLTVDKRSRW QQGNVVFCSV MHEALHNHYT QKSLSLSPGA 450
 GGGGGGGGGG GGGGGGGGGG GIPPHVQKSV NNNDMIVTDDNN GAVKFPQLCH 500
 FCDVRFSTCD NQKSCMSNCNS ITSICEKPQE VCVAVWRKND ENITLETVCH 550
 PDKLPHYDFI LEDAASPKCI MKEKKPGET FFMCSCSSDE CNDNIIFSEE 600
 YNTSNPD 607

Light chain / Chaîne légère / Cadena ligera
 QSALTQPASV SGSPGQSITI SCTGTSSDVG GYNVYVSWYQQ HPGKAPKLM 50
 YDVSNRPSGV SNRFSGSKSG NTASLTISGL QAEDEDAYYC SSYTSSSTRV 100
 FGTTGTVKTVL QQPANPTVLF LFPPSSEELQ ANKATLVCLI SDFYPGAVTV 150
 ANKAIDGSPFV AGVETTAKPSK QSNNNKYAASS YLSLTPEQWK SHRSYSCQVT 200
 HEGSTVEKTV APTECES 216

Disulfide bridges location / Position des ponts disulfure / Posiciones de los puentes disulfuro
 Intra-H: 22-96 147-203 264-324 370-428

22"-96" 147"-203" 264"-324" 370"-428"

Intra-H (TGFR-2) 499-532 502-519 509-515 525-549 569-584 586-591
 499"-532" 502"-519" 509"-515" 525"-549" 569"-584" 586"-591"

Intra-L: 22-90" 138"-197"

22""-90"" 138""-197""

Inter-H-I: 223-215" 223"-215"

Inter-H-H: 229-229" 232-232"

Glycosylation sites (N) / Sites de glycosylation (N) / Posiciones de glicosilación (N)

H CH2: Asn-300

TGFR-2: Asn-518, Asn-542, Asn-602

p.301

cintirorgonum

cintirorgon
cintirorgon
cintirorgón

*replace the CAS RN by the following one
remplacer le numéro de registre du CAS par le suivant
sustitúyase el número de registro del CAS por el siguiente*

2055536-64-4

p. 307

dilpacimabum #

dilpacimab *replace the structure by the following one
remplacer la structure par la suivante
sustitúyase la estructura por la siguiente*

Heavy chain / Chaîne lourde / Cadena pesada

EVQLVESGGG LVQPGGSLRL SCAASGFTFS NFPMAWVRQA PGKGLEWVAT 50
ISSSDGTTYY RDSVKGRFTI SRDNAKNSLY LQMNNSLAED TAVYVCARGY 100
YNNSPFAYWQQ GTLVTVSSAS TKGPVEVQLVE SGGLVQPGG SLRLSCAAAG 150
YTFTNYGMNW VRQAPGKGLE WVGVWINTYTG EPTYAADFKR RFTFSLDTSK 200
STAYLQMNLSL RAEDITAVYYC AKYPHYGGSS HWYFDVWGQG TLTVVSSAST 250
KGPSVFPILAP SSKSTSGGTA ALGCLVKDYL PEPVTVWSNS GALTSGVHTF 300
PAVLQSSGLY SLSSVVTVP SSLGTQTYIC NVNHKPSNTK VDKKVEPKSC 350
DKTHTCPPCP APEAAGGPSV FLFPPKPKDT LMISRTPEVT CVVVDVSHED 400
PEVKFNWYVD GVEVHNAKTK PREEQYNSTY RVSVLTVLH QDWLNNGKEYK 450
CKVSNKALPA PIEKTISKAK QQPREPQVYT LPPSREEMTK NQVSLTCLVK 500
GFYPSDIAVE WESNGQPENN YKTPPPVLDs DGSSFFLYSKL TVDKSRWQQG 550
NVFSCSVMHE ALHNHYTQKS LSLSPGK 577

Light chain / Chaîne légère / Cadena ligera

DIQMTQSPSS LSASVGDRTV ITCRASEDIY SNLAWYQQKP GKAPKLLIYD 50
TNNLADGVPS RFSGSGSGTD FTTLTISSLQP EDFATYYCQQ YNNYPPTFGQ 100
GTKLEIKRTV AAPSVFIFPP DIQMTQSPSS LSASVGDRTV ITCASQDIS 150
NYLNWYQQKP GKAPKVLIYF TSSLHSGVPS RFSGSGSGTD FTTLTISSLQP 200
EDFATYYCQQ YSTVWPTEFGQ GTKVEIKRTV AAPSVFIFPP SDEQLKSGTA 250
SVVCLNNFY PREAKVQWKV DNALQSGNSQ ESVTEQDSKD STYSLSSTLT 300
LSKADYEKHK VYACEVTHHQG LSSPVTKSFN RGEC 334

Post-translational modifications

Disulfide bridges location / Position des ponts disulfure / Posiciones de los puentes disulfuro
 Intra-H (C23-C104) 22-96 146-220 274-330 391-451 497-555
 22"-96" 146"-220" 274"-330" 391"-451" 497"-555"
 Intra-L (C23-C104) 23"-88" 143"-208" 254"-314"
 23""-88"" 143""-208"" 254""-314""
 Inter-H-L (h 5-CL 126) 350-334" 350"-334"
 Inter-H-H (h 11, h 14) 356-356" 359-359"

N-glycosylation sites / Sites de N-glycosylation / Posiciones de N-glicosilación
H CH2 N84.4:

427, 427"

Fucosylated complex bi-antennary CHO-type glycans / glycanes de type CHO bi-antennaires
complexes fucosylés / glicanos de tipo CHO biantenarios complejos fucosilados

p. 311

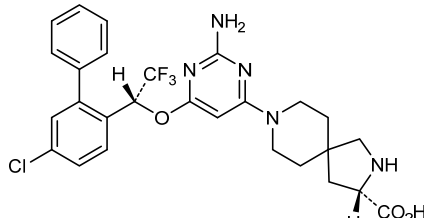
elopultidum #

elopultide
élopultide
elopultida

*replace the structure by the following one
remplacer la structure par la suivante
sustitúyase la estructura por la siguiente*

IPSSPVHLKR LKLLLLLALL ILLLILG**ALL** LGL

33

p. 351	rodatristatum #	
-352	rodatristat	replace the chemical name, the molecular formula, the CAS RN and the structure by the following ones
	rodatristat	remplacer le nom chimique, la formule moléculaire brute, le numéro de registre du CAS et la structure par les suivants
	rodatristat	sustitúyase el nombre químico, la fórmula molecular, el número de registro del CAS y la estructura por los siguientes
		(3S)-8-{2-amino-6-[(1R)-1-(5-chloro[1,1'-biphenyl]-2-yl)-2,2,2-trifluoroethoxy]pyrimidin-4-yl}-2,8-diazaspiro[4.5]decane-3-carboxylic acid
		acide (3S)-8-{2-amino-6-[(1R)-1-(5-chloro[1,1'-biphenyl]-2-yl)-2,2,2-trifluoroéthoxy]pyrimidin-4-il}-2,8-diazaspiro[4.5]décane-3-carboxylique
		ácido (3S)-8-{2-amino-6-[(1R)-1-(5-cloro[1,1'-bifenil]-2-il)-2,2,2-trifluoroetoxi]pirimidin-4-il}-2,8-diazaspiro[4.5]decano-3-carboxílico
		C ₂₇ H ₂₇ ClF ₃ N ₅ O ₃
		1673568-73-4
		
p. 357	delete/supprimer/suprimáse setogepramum	insert/insérer/insertese fezageprasum
	setogepram	fezagepras
	sétogépram	fézagépras
	setogepram	fezagepras
p. 365	delete/supprimer/suprimáse talditerceptum alfa	insert/insérer/insertese taldefgrobep alfa
-366	talditercept alfa	taldefgrobep alfa
	talditercept alfa	taldéfgrobep alfa
	talditercept alfa	taldefgrobep alfa

Proposed International Nonproprietary Names (Prop. INN): List 120
Dénominations communes internationales proposées (DCI Prop.): Liste 120
Denominaciones Comunes Internacionales Propuestas (DCI Prop.): Lista 120
(WHO Drug Information, Vol. 32, No. 4, 2018)

p. 568-	bedinvetmabum #	
569	bedinvetmab	replace the description by the following one
	bédinvetmab	remplacer la description par la suivante
	bedinvetmab	sustitúyase la descripción por la siguiente
		immunoglobulin G2-lambda, anti-[<i>Canis lupus familiaris</i> NGF (nerve growth factor beta polypeptide, NGFB)], <i>Canis lupus familiaris</i> monoclonal antibody;

gamma2 heavy chain *Canis lupus familiaris* (1-460) [VH (Canlupfam IGHV3-19*01 (91.8%) -(IGHD) -IGHJ4*01 (86.7%)) [8.8.18] (1-125) -Canlupfam IGHG2*02 (CH1 (126-222), hinge 1-19 (223-241), CH2 M1.3>A (245), L1.2>A (246), G1>A (248) (242-351), CH3 (352-458), CHS (459-460)) (126-460)], (140-215')-disulfide with lambda light chain *Canis lupus familiaris* (1'-216') [V-LAMBDA (Canlupfam IGLV1-141*01 (89.8%) -IGLJ3*01 (100%)) [8.3.11] (1'-108') -Canlupfam C-LAMBDA IGLC3*01 (109'-216')]; dimer (237-237":240-240")-bisdisulfide

immunoglobuline G2-lambda, anti-[*Canis familiaris* NGF (facteur de croissance du nerf polypeptide bêta)], anticorps monoclonal *Canis lupus familiaris*;
chaîne lourde gamma2 *Canis lupus familiaris* (1-460) [VH (Canlupfam IGHV3-19*01 (91.8%) -(IGHD) -IGHJ4*01 (86.7%)) [8.8.18] (1-125) -Canlupfam IGHG2*02 (CH1 (126-222), charnière 1-19 (223-241), CH2 M1.3>A (245), L1.2>A (246), G1>A (248) (242-351), CH3 (352-458), CHS (459-460)) (126-460)], (140-215')-disulfure avec la chaîne légère lambda *Canis lupus familiaris* (1'-216') [V-LAMBDA (Canlupfam IGLV1-141*01 (89.8%) -IGLJ3*01 (100%)) [8.3.11] (1'-108') -Canlupfam C-LAMBDA IGLC3*01 (109'-216')]; dimère (237-237":240-240")-bisdisulfure

inmunoglobulina G2-lambda, anti-[*Canis familiaris* NGF (factor de crecimiento del nervio polipéptido beta)], anticuerpo monoclonal *Canis lupus familiaris*;
cadena pesada gamma2 *Canis lupus familiaris* (1-460) [VH (Canlupfam IGHV3-19*01 (91.8%) -(IGHD) -IGHJ4*01 (86.7%)) [8.8.18] (1-125) -Canlupfam IGHG2*02 (CH1 (126-222), bisagra 1-19 (223-241), CH2 M1.3>A (245), L1.2>A (246), G1>A (248) (242-351), CH3 (352-458), CHS (459-460)) (126-460)], (140-215')-disulfuro con la cadena ligera lambda *Canis lupus familiaris* (1'-216') [V-LAMBDA (Canlupfam IGLV1-141*01 (89.8%) -IGLJ3*01 (100%)) [8.3.11] (1'-108') -Canlupfam C-LAMBDA IGLC3*01 (109'-216')]; dímero (237-237":240-240")-bisdisulfuro

p. 583 devafidugenum civaparvovecum #

devafidugene civaparvovec	<i>replace the description by the following one</i>
devafidugène civaparvovec	<i>remplacer la description par la suivante</i>
devafidugén civaparvovec	<i>sustitúyase la descripción por la siguiente</i>

a recombinant non-replicating adeno-associated virus type 2/6 (rAAV Rep2-Cap6) vector, which contains a promoter-less human alpha-L-iduronidase (hIDUA) transgene cassette, encoding partial exon 1 and full exons 2-14 with the first 28 amino acids removed, and splice acceptor site sequence (SA) from hF9 exon 2, flanked by a sequence homologous to the zinc-finger nuclease (ZFN) cleavage site of the human albumin (hALB) intron 1

vecteur viral adéno-associé de type 2/6 recombinant (rAAV Rep2-Cap6), non-répliquant, contenant la cassette du transgène de l'alpha-L-iduronidase humaine (hIDUA) sans promoteur, codant partiellement l'exon 1 et entièrement les exons 2-14 dont la partie correspondant aux 28 premiers acides aminés a été retirée, et la séquence du site accepteur (SA) d'épissage de l'exon 2 de l'hF9, flanqué d'une séquence homologue au site de clivage de la nucléase à doigts de zinc (ZFN) de l'intron 1 de

l'albumine humaine (hALB)

un vector de virus adeno asociado tipo 2/6 recombinante (rAAV Rep2-Cap6), no replicativo, que contiene un casete con el transgen de la alfa-L-iduronidasa humana (hIDUA) sin promotor, que codifica para el exón 1 parcial y los exones 2-14 completos con los primeros 28 amino ácidos eliminados, y la secuencia del sitio aceptor (SA) del splicing del exón 2 de hF9, flanqueado por una secuencia homóloga al sitio de rotura por la nuclelease con dedos de zinc (ZFN) del intron 1 de la albúmina humana (hALB)

p.606	lacutamabum #	
	lacutamab	<i>replace the CAS RN by the following one</i>
	lacutamab	<i>remplacer le numéro de registre du CAS par le suivant</i>
	lacutamab	<i>sustitúyase el número de registro del CAS por el siguiente</i>
		2187368-16-5
p. 631	ranuzifigenum civaparvovecum #	
	ranuzifigene civaparvovect	<i>replace the description by the following one</i>
	ranuzifigène civaparvovect	<i>remplacer la description par la suivante</i>
	ranuzifigén civaparvovect	<i>sustitúyase la descripción por la siguiente</i>
		a recombinant non-replicating adeno-associated virus type 2/6 (rAAV Rep2-Cap6) vector, expressing a cDNA that targets 468-485 bp of the albumin locus (relative to the transcription initiation site), fused to the obligate heterodimeric FokI nuclease domain KKR, under the control of an apolipoprotein E hepatic control region and human alpha-1-antitrypsin promoter (ApoE/hAAT)
		vecteur viral adéno-associé de type 2/6 recombinant (rAAV Rep2-Cap6), non-répliquant, exprimant un ADNC ciblant les paires de bases 468-485 du locus de l'albumine (en relation avec le site initial de transcription), fusionné au domaine hétérodimérique KKR de la nucléase FokI, sous le contrôle d'une région de contrôle de l'apolipoprotéine E (ApoE) spécifique du foie et du promoteur de l'alpha1-antitrypsine humaine (ApoE/hAAT)
		un vector de virus adeno asociado tipo 2/6 recombinante (rAAV Rep2-Cap6), no replicativo, que expresa un cDNA dirigido a unirse a los pares de bases 468-485 (en relación al sitio de iniciación de la transcripción) del locus de la albúmina, fusionado al dominio heterodimérico KKR de la nuclease FokI, bajo el control de una región de control hepático de la apolipoproteína E y el promotor de la alfa 1 antitripsina humana (ApoE/hAAT)

ANNEX 1

PROCEDURE FOR THE SELECTION OF RECOMMENDED INTERNATIONAL NONPROPRIETARY NAMES FOR PHARMACEUTICAL SUBSTANCES¹

The following procedure shall be followed by the World Health Organization (hereinafter also referred to as "WHO") in the selection of recommended international nonproprietary names for pharmaceutical substances, in accordance with resolution WHA3.11 of the World Health Assembly, and in the substitution of such names.

Article 1 - Proposals for recommended international nonproprietary names and proposals for substitution of such names shall be submitted to WHO on the form provided therefore. The consideration of such proposals shall be subject to the payment of an administrative fee designed only to cover the corresponding costs of the Secretariat of WHO ("the Secretariat"). The amount of this fee shall be determined by the Secretariat and may, from time to time, be adjusted.

Article 2 - Such proposals shall be submitted by the Secretariat to the members of the Expert Advisory Panel on the International Pharmacopoeia and Pharmaceutical Preparations designated for this purpose, such designated members hereinafter referred to as "the INN Expert Group", for consideration in accordance with the "General principles for guidance in devising International Nonproprietary Names for Pharmaceutical Substances", annexed to this procedure². The name used by the person discovering or first developing and marketing a pharmaceutical substance shall be accepted, unless there are compelling reasons to the contrary.

Article 3 - Subsequent to the examination provided for in article 2, the Secretariat shall give notice that a proposed international nonproprietary name is being considered.

a) Such notice shall be given by publication in *WHO Drug Information*³ and by letter to Member States and to national and regional pharmacopoeia commissions or other bodies designated by Member States.

i) Notice shall also be sent to the person who submitted the proposal ("the original applicant") and other persons known to be concerned with a name under consideration.

b) Such notice shall:

i) set forth the name under consideration;

ii) identify the person who submitted the proposal for naming the substance, if so requested by such person;

iii) identify the substance for which a name is being considered;

iv) set forth the time within which comments and objections will be received and the person and place to whom they should be directed;

v) state the authority under which WHO is acting and refer to these rules of procedure.

¹See Annex 1 in WHO Technical Report Series, No. 581, 1975. The original text was adopted by the Executive Board in resolution EB15.R7 and amended in resolutions EB43.R9 and EB115.R4.

²See Annex 2.

³Before 1987, lists of international nonproprietary names were published in the *Chronicle of the World Health Organization*.

c) In forwarding the notice, the Secretariat shall request that Member States take such steps as are necessary to prevent the acquisition of proprietary rights in the proposed name during the period it is under consideration by WHO.

Article 4 - Comments on the proposed name may be forwarded by any person to WHO within four months of the date of publication, under article 3, of the name in *WHO Drug Information*.

Article 5 - A formal objection to a proposed name may be filed by any interested person within four months of the date of publication, under article 3, of the name in *WHO Drug Information*.

Such objection shall:

- i) identify the person objecting;
- ii) state his or her interest in the name;
- iii) set forth the reasons for his or her objection to the name proposed.

Article 6 - Where there is a formal objection under article 5, WHO may either reconsider the proposed name or use its good offices to attempt to obtain withdrawal of the objection. Without prejudice to the consideration by WHO of a substitute name or names, a name shall not be selected by WHO as a recommended international nonproprietary name while there exists a formal objection thereto filed under article 5 which has not been withdrawn.

Article 7 - Where no objection has been filed under article 5, or all objections previously filed have been withdrawn, the Secretariat shall give notice in accordance with subsection (a) of article 3 that the name has been selected by WHO as a recommended international nonproprietary name.

Article 8 - In forwarding a recommended international nonproprietary name to Member States under article 7, the Secretariat shall:

- a) request that it be recognized as the nonproprietary name for the substance; and
- b) request that Member States take such steps as are necessary to prevent the acquisition of proprietary rights in the name and to prohibit registration of the name as a trademark or trade name.

Article 9

a) In the extraordinary circumstance that a previously recommended international nonproprietary name gives rise to errors in medication, prescription or distribution, or a demonstrable risk thereof, because of similarity with another name in pharmaceutical and/or prescription practices, and it appears that such errors or potential errors cannot readily be resolved through other interventions than a possible substitution of a previously recommended international nonproprietary name, or in the event that a previously recommended international nonproprietary name differs substantially from the nonproprietary name approved in a significant number of Member States, or in other such extraordinary circumstances that justify a substitution of a recommended international nonproprietary name, proposals to that effect may be filed by any interested person. Such proposals shall be submitted on the form provided therefore and shall:

- i) identify the person making the proposal;
- ii) state his or her interest in the proposed substitution; and

- iii) set forth the reasons for the proposal; and
- iv) describe, and provide documentary evidence regarding the other interventions undertaken in an effort to resolve the situation, and the reasons why these other interventions were inadequate.

Such proposals may include a proposal for a new substitute international nonproprietary name, devised in accordance with the General principles, which takes into account the pharmaceutical substance for which the new substitute international nonproprietary name is being proposed.

The Secretariat shall forward a copy of the proposal, for consideration in accordance with the procedure described in subsection (b) below, to the INN Expert Group and the original applicant or its successor (if different from the person bringing the proposal for substitution and provided that the original applicant or its successor is known or can be found through diligent effort, including contacts with industry associations).

In addition, the Secretariat shall request comments on the proposal from:

- i) MemberStates and national and regional pharmacopoeia commissions or other bodies designated by Member States (by including a notice to that effect in the letter referred to in article 3(a), and
- ii) any other persons known to be concerned by the proposed substitution.

The request for comments shall:

- i) state the recommended international nonproprietary name that is being proposed for substitution (and the proposed substitute name, if provided);
- ii) identify the person who submitted the proposal for substitution (if so requested by such person);
- iii) identify the substance to which the proposed substitution relates and reasons put forward for substitution;
- iv) set forth the time within which comments will be received and the person and place to whom they should be directed; and
- v) state the authority under which WHO is acting and refer to these rules of procedure.

Comments on the proposed substitution may be forwarded by any person to WHO within four months of the date of the request for comments.

b) After the time period for comments referred to above has elapsed, the Secretariat shall forward any comments received to the INN Expert Group, the original applicant or its successor and the person bringing the proposal for substitution. If, after consideration of the proposal for substitution and the comments received, the INN Expert Group, the person bringing the proposal for substitution and the original applicant or its successor all agree that there is a need to substitute the previously recommended international nonproprietary name, the Secretariat shall submit the proposal for substitution to the INN Expert Group for further processing.

Notwithstanding the foregoing, the original applicant or its successor shall not be entitled to withhold agreement to a proposal for substitution in the event the original applicant or its successor has no demonstrable continuing interest in the recommended international nonproprietary name proposed for substitution.

In the event that a proposal for substitution shall be submitted to the INN Expert Group for further processing, the INN Expert Group will select a new international nonproprietary name in accordance with the General principles referred to in article 2 and the procedure set forth in articles 3 to 8 inclusive. The notices to be given by the Secretariat under article 3 and article 7, respectively, including to the original applicant or its successor (if not the same as the person proposing the substitution, and provided that the original applicant or its successor is known or can be found through diligent effort, including contacts with industry associations), shall in such event indicate that the new name is a substitute for a previously recommended international nonproprietary name and that Member States may wish to make transitional arrangements in order to accommodate existing products that use the previously recommended international nonproprietary name on their label in accordance with national legislation.

If, after consideration of the proposal for substitution and the comments received in accordance with the procedure described above, the INN Expert Group, the original applicant or its successor and the person bringing the proposal for substitution do not agree that there are compelling reasons for substitution of a previously recommended international nonproprietary name, this name shall be retained (provided always that the original applicant or its successor shall not be entitled to withhold agreement to a proposal for substitution in the event that the original applicant or its successor has no demonstrable continuing interest in the recommended international nonproprietary name proposed to be substituted). In such an event, the Secretariat shall advise the person having proposed the substitution, as well as the original applicant or its successor (if not the same as the person proposing the substitution, and provided that the original applicant or its successor is known or can be found through diligent effort, including contacts with industry associations), Member States, national and regional pharmacopoeia commissions, other bodies designated by Member States, and any other persons known to be concerned by the proposed substitution that, despite a proposal for substitution, it has been decided to retain the previously recommended international nonproprietary name (with a description of the reason(s) why the proposal for substitution was not considered sufficiently compelling).

ANNEX 2

GENERAL PRINCIPLES FOR GUIDANCE IN DEVISING INTERNATIONAL NONPROPRIETARY NAMES FOR PHARMACEUTICAL SUBSTANCES¹

1. International Nonproprietary Names (INN) should be distinctive in sound and spelling. They should not be inconveniently long and should not be liable to confusion with names in common use.
2. The INN for a substance belonging to a group of pharmacologically related substances should, where appropriate, show this relationship. Names that are likely to convey to a patient an anatomical, physiological, pathological or therapeutic suggestion should be avoided.

These primary principles are to be implemented by using the following secondary principles:

3. In devising the INN of the first substance in a new pharmacological group, consideration should be given to the possibility of devising suitable INN for related substances, belonging to the new group.

4. In devising INN for acids, one-word names are preferred; their salts should be named without modifying the acid name, e.g. "oxacillin" and "oxacillin sodium", "ibufenac" and "ibufenac sodium".
5. INN for substances which are used as salts should in general apply to the active base or the active acid. Names for different salts or esters of the same active substance should differ only in respect of the name of the inactive acid or the inactive base.
For quaternary ammonium substances, the cation and anion should be named appropriately as separate components of a quaternary substance and not in the amine-salt style.
6. The use of an isolated letter or number should be avoided; hyphenated construction is also undesirable.
7. To facilitate the translation and pronunciation of INN, "f" should be used instead of "ph", "t" instead of "th", "e" instead of "ae" or "oe", and "i" instead of "y"; the use of the letters "h" and "k" should be avoided.
8. Provided that the names suggested are in accordance with these principles, names proposed by the person discovering or first developing and marketing a pharmaceutical preparation, or names already officially in use in any country, should receive preferential consideration.
9. Group relationship in INN (see General principle 2) should if possible be shown by using a common stem. The following list contains examples of stems for groups of substances, particularly for new groups. There are many other stems in active use.² Where a stem is shown without any hyphens it may be used anywhere in the name.

<i>Latin</i>	<i>English</i>	
-acum	-ac	anti-inflammatory agents, ibufenac derivatives
-adol-	-adol }	analgesics
-adol-	-adol }	
-astum	-ast	antiasthmatic, antiallergic substances not acting primarily as antihistaminics
-astinum	-astine	antihistaminics
-azepamum	-azepam	diazepam derivatives
bol	bol	steroids, anabolic
-cain-	-cain-	class I antiarrhythmics, procainamide and lidocaine derivatives
-cainum	-caine	local anaesthetics
cef-	cef-	antibiotics, cephalosporanic acid derivatives
-cillinum	-cillin	antibiotics, 6-aminopenicillanic acid derivatives
-conazolum	-conazole	systemic antifungal agents, miconazole derivatives
cort	cort	corticosteroids, except prednisolone derivatives
-coxibum	-coxib	selective cyclo-oxygenase inhibitors

¹ In its Twentieth report (WHO Technical Report Series, No. 581, 1975), the WHO Expert committee on Nonproprietary Names for Pharmaceutical Substances reviewed the general principles for devising, and the procedures for selecting, INN in the light of developments in pharmaceutical compounds in recent years. The most significant change has been the extension to the naming of synthetic chemical substances of the practice previously used for substances originating in or derived from natural products. This practice involves the use of a characteristic "stem" indicative of a common property of the members of a group. The reason for, and the implications of, the change are fully discussed.

The guiding principles were updated during the 13th consultation on nonproprietary names for pharmaceutical substances (Geneva, 27-29 April 1983) (PHARM S/NOM 928 13 May 1983, revised 18 August 1983).

² A more extensive listing of stems is contained in the working document WHO/EMP/RHT/TSN/2018.1 which is regularly updated and can be requested from the INN Programme, WHO, Geneva.

<i>-entanum</i>	<i>-entan</i>	endothelin receptor antagonists
<i>gab</i>	<i>gab</i>	gabamimetic agents
<i>gado-</i>	<i>gado-</i>	diagnostic agents, gadolinium derivatives
<i>-gatranum</i>	<i>-gatran</i>	thrombin inhibitors, antithrombotic agents
<i>gest</i>	<i>gest</i>	steroids, progestogens
<i>gli</i>	<i>gli</i>	antihyperglycaemics
<i>io-</i>	<i>io-</i>	iodine-containing contrast media
<i>-metacinum</i>	<i>-metacin</i>	anti-inflammatory, indometacin derivatives
<i>-mycinum</i>	<i>-mycin</i>	antibiotics, produced by <i>Streptomyces</i> strains
<i>-nidazolum</i>	<i>-nidazole</i>	antiprotozoal substances, metronidazole derivatives
<i>-ololum</i>	<i>-olol</i>	β -adrenoreceptor antagonists
<i>-oxacinum</i>	<i>-oxacin</i>	antibacterial agents, nalidixic acid derivatives
<i>-platinum</i>	<i>-platin</i>	antineoplastic agents, platinum derivatives
<i>-poetinum</i>	<i>-poetin</i>	erythropoietin type blood factors
<i>-pril(at)um</i>	<i>-pril(at)</i>	angiotensin-converting enzyme inhibitors
<i>-profenum</i>	<i>-profen</i>	anti-inflammatory substances, ibuprofen derivatives
<i>prost</i>	<i>prost</i>	prostaglandins
<i>-relinum</i>	<i>-relin</i>	pituitary hormone release-stimulating peptides
<i>-sartanum</i>	<i>-sartan</i>	angiotensin II receptor antagonists, antihypertensive (non-peptidic)
<i>-vaptanum</i>	<i>-vaptan</i>	vasopressin receptor antagonists
<i>vin- / -vin-</i>	<i>vin- / -vin-</i>	vinca-type alkaloids

ANNEXE 1

PROCEDURE A SUIVRE EN VUE DU CHOIX DE DENOMINATIONS COMMUNES INTERNATIONALES RECOMMANDÉES POUR LES SUBSTANCES PHARMACEUTIQUES¹

L'Organisation mondiale de la Santé (également désignée ci-après sous l'appellation « OMS ») observe la procédure exposée ci-dessous pour l'attribution de dénominations communes internationales recommandées pour les substances pharmaceutiques, conformément à la résolution WHA3.11 de l'Assemblée mondiale de la Santé, et pour le remplacement de telles dénominations.

Article 1 - Les propositions de dénominations communes internationales recommandées et les propositions de remplacement de telles dénominations sont soumises à l'OMS sur la formule prévue à cet effet. L'examen de telles propositions est soumis au paiement d'une taxe administrative destinée uniquement à couvrir les coûts correspondants assumés par le Secrétariat de l'OMS (« le Secrétariat »). Le montant de cette taxe est déterminé par le Secrétariat et peut être modifié de temps à autre.

Article 2 - Ces propositions sont soumises par le Secrétariat aux experts désignés à cette fin parmi les personnalités inscrites au Tableau d'experts de la Pharmacopée internationale et des Préparations pharmaceutiques, ci-après désignés sous l'appellation « le Groupe d'experts des DCI » ; elles sont examinées par les experts conformément aux « Directives générales pour la formation de dénominations communes internationales pour les substances pharmaceutiques » reproduites ci-après². La dénomination acceptée est la dénomination employée par la personne qui découvre ou qui, la première, fabrique et lance sur le marché une substance pharmaceutique, à moins que des raisons majeures n'obligent à s'écartier de cette règle.

¹Voir annexe 1 dans OMS, Série de Rapports techniques, N° 581, 1975. Le texte original a été adopté par le Conseil exécutif dans sa résolution EB15.R7 et amendé dans ses résolutions EB43.R9 et EB115.R4.

²Voir annexe 2.

Article 3 - Après l'examen prévu à l'article 2, le Secrétariat notifie qu'un projet de dénomination commune internationale est à l'étude.

a) Cette notification est faite par une insertion dans *WHO Drug Information*¹ et par l'envoi d'une lettre aux Etats Membres et aux commissions nationales et régionales de pharmacopée ou autres organismes désignés par les Etats Membres.

i) Notification est également faite à la personne qui a soumis la proposition (« le demandeur initial ») et à d'autres personnes portant à la dénomination mise à l'étude un intérêt notoire.

b) Cette notification contient les indications suivantes :

i) dénomination mise à l'étude;

ii) nom de l'auteur de la proposition tendant à attribuer une dénomination à la substance, si cette personne le demande ;

iii) définition de la substance dont la dénomination est mise à l'étude ;

iv) délai pendant lequel seront reçues les observations et les objections à l'égard de cette dénomination ; nom et adresse de la personne habilitée à recevoir ces observations et objections ;

v) mention des pouvoirs en vertu desquels agit l'OMS et référence au présent règlement.

c) En envoyant cette notification, le Secrétariat demande aux Etats Membres de prendre les mesures nécessaires pour prévenir l'acquisition de droits de propriété sur la dénomination proposée pendant la période au cours de laquelle cette dénomination est mise à l'étude par l'OMS.

Article 4 - Des observations sur la dénomination proposée peuvent être adressées à l'OMS par toute personne, dans les quatre mois qui suivent la date de publication de la dénomination dans *WHO Drug Information* (voir l'article 3).

Article 5 - Toute personne intéressée peut formuler une objection formelle contre la dénomination proposée dans les quatre mois qui suivent la date de publication de la dénomination dans *WHO Drug Information* (voir l'article 3).

Cette objection doit s'accompagner des indications suivantes :

i) nom de l'auteur de l'objection ;

ii) intérêt qu'il ou elle porte à la dénomination en cause ;

iii) raisons motivant l'objection contre la dénomination proposée.

Article 6 - Lorsqu'une objection formelle est formulée en vertu de l'article 5, l'OMS peut soit soumettre la dénomination proposée à un nouvel examen, soit intervenir pour tenter d'obtenir le retrait de l'objection. Sans préjudice de l'examen par l'OMS d'une ou de plusieurs

¹ Avant 1987, les listes de dénominations communes internationales étaient publiées dans la *Chronique de l'Organisation mondiale de la Santé*.

appellations de remplacement, l'OMS n'adopte pas d'appellation comme dénomination commune internationale recommandée tant qu'une objection formelle présentée conformément à l'article 5 n'est pas levée.

Article 7 - Lorsqu'il n'est formulé aucune objection en vertu de l'article 5, ou que toutes les objections présentées ont été levées, le Secrétariat fait une notification conformément aux dispositions du paragraphe a) de l'article 3, en indiquant que la dénomination a été choisie par l'OMS en tant que dénomination commune internationale recommandée.

Article 8 - En communiquant aux Etats Membres, conformément à l'article 7, une dénomination commune internationale recommandée, le Secrétariat :

- a) demande que cette dénomination soit reconnue comme dénomination commune de la substance considérée ; et
- b) demande aux Etats Membres de prendre les mesures nécessaires pour prévenir l'acquisition de droits de propriété sur cette dénomination et interdire le dépôt de cette dénomination comme marque ou appellation commerciale.

Article 9 -

a) Dans le cas exceptionnel où une dénomination commune internationale déjà recommandée donne lieu à des erreurs de médication, de prescription ou de distribution ou en comporte un risque démontrable, en raison d'une similitude avec une autre appellation dans la pratique pharmaceutique et/ou de prescription, et où il apparaît que ces erreurs ou ces risques d'erreur ne peuvent être facilement évités par d'autres interventions que le remplacement éventuel d'une dénomination commune internationale déjà recommandée, ou dans le cas où une dénomination commune internationale déjà recommandée diffère sensiblement de la dénomination commune approuvée dans un nombre important d'Etats Membres, ou dans d'autres circonstances exceptionnelles qui justifient le remplacement d'une dénomination commune internationale recommandée, toute personne intéressée peut formuler une proposition dans ce sens. Cette proposition est présentée sur la formule prévue à cet effet et doit s'accompagner des indications suivantes :

- i) nom de l'auteur de la proposition ;
- ii) intérêt qu'il ou elle porte au remplacement proposé ;
- iii) raisons motivant la proposition ; et
- iv) description, faits à l'appui, des autres interventions entreprises pour tenter de régler le problème et exposé des raisons pour lesquelles ces interventions ont échoué.

Les propositions peuvent comprendre une proposition de nouvelle dénomination commune internationale de remplacement, établie conformément aux Directives générales, compte tenu de la substance pharmaceutique pour laquelle la nouvelle dénomination commune internationale de remplacement est proposée.

Le Secrétariat transmet une copie de la proposition pour examen, conformément à la procédure exposée plus loin au paragraphe b), au Groupe d'experts des DCI et au demandeur initial ou à son successeur (s'il s'agit d'une personne différente de celle qui a formulé la proposition de remplacement et pour autant que le demandeur initial ou son successeur soit connu ou puisse être retrouvé moyennant des efforts diligents, notamment des contacts avec les associations industrielles).

De plus, le Secrétariat demande aux entités et personnes ci-après de formuler des observations sur la proposition :

i) les Etats Membres et les commissions nationales et régionales de pharmacopée ou d'autres organismes désignés par les Etats Membres (en insérant une note à cet effet dans la lettre mentionnée à l'article 3.a), et

ii) toutes autres personnes portant au remplacement proposé un intérêt notoire.

La demande d'observations contient les indications suivantes :

i) dénomination commune internationale recommandée pour laquelle un remplacement est proposé (et la dénomination de remplacement proposée, si elle est fournie) ;

ii) nom de l'auteur de la proposition de remplacement (si cette personne le demande) ;

iii) définition de la substance faisant l'objet du remplacement proposé et raisons avancées pour le remplacement ;

iv) délai pendant lequel seront reçus les commentaires et nom et adresse de la personne habilitée à recevoir ces commentaires ; et

v) mention des pouvoirs en vertu desquels agit l'OMS et référence au présent règlement.

Des observations sur la proposition de remplacement peuvent être communiquées par toute personne à l'OMS dans les quatre mois qui suivent la date de la demande d'observations.

b) Une fois échu le délai prévu ci-dessus pour la communication d'observations, le Secrétariat transmet les observations reçues au Groupe d'experts des DCI, au demandeur initial ou à son successeur et à l'auteur de la proposition de remplacement. Si, après avoir examiné la proposition de remplacement et les observations reçues, le Groupe d'experts des DCI, l'auteur de la proposition de remplacement et le demandeur initial ou son successeur reconnaissent tous qu'il est nécessaire de remplacer la dénomination commune internationale déjà recommandée, le Secrétariat soumet la proposition de remplacement au Groupe d'experts des DCI pour qu'il y donne suite.

Nonobstant ce qui précède, le demandeur initial ou son successeur n'est pas habilité à refuser son accord à une proposition de remplacement au cas où il ne peut être démontré qu'il porte un intérêt durable à la dénomination commune internationale recommandée qu'il est proposé de remplacer.

Dans le cas où une proposition de remplacement est soumise au Groupe d'experts des DCI pour qu'il y donne suite, le Groupe choisit une nouvelle dénomination commune internationale conformément aux Directives générales mentionnées à l'article 2 et selon la procédure décrite dans les articles 3 à 8 inclus. La notification faite par le Secrétariat en vertu de l'article 3 et de l'article 7, respectivement, y compris au demandeur initial ou à son successeur (si ce n'est pas la même personne que celle qui a proposé le remplacement et pour autant que le demandeur initial ou son successeur soit connu ou puisse être retrouvé moyennant des efforts diligents, notamment des contacts avec les associations industrielles), doit dans un tel cas indiquer que la nouvelle dénomination remplace une dénomination commune internationale déjà recommandée et que les Etats Membres peuvent souhaiter prendre des mesures transitoires pour les produits existants qui utilisent la dénomination commune internationale déjà recommandée sur leur étiquette conformément à la législation nationale.

Si, après examen de la proposition de remplacement et des observations communiquées conformément à la procédure exposée plus haut, le Groupe d'experts des DCI, le demandeur initial ou son successeur et l'auteur de la proposition de remplacement ne s'accordent pas sur le fait qu'il y a des raisons impératives de remplacer une dénomination commune internationale déjà recommandée, cette dernière est conservée (étant entendu toujours que le demandeur initial ou son successeur n'est pas habilité à refuser son accord à une proposition de remplacement au cas où il ne peut être démontré qu'il porte un intérêt durable à la dénomination commune internationale recommandée qu'il est proposé de remplacer). Dans un tel cas, le Secrétariat informe l'auteur de la proposition de remplacement, ainsi que le demandeur initial ou son successeur (s'il s'agit d'une personne différente de celle qui a formulé la proposition de remplacement et pour autant que le demandeur initial ou son successeur soit connu ou puisse être retrouvé moyennant des efforts diligents, notamment des contacts avec les associations industrielles), les Etats Membres, les commissions nationales et régionales de pharmacopée, les autres organismes désignés par les Etats Membres et toutes autres personnes portant un intérêt notoire au remplacement proposé que, malgré une proposition de remplacement, il a été décidé de conserver la dénomination commune internationale déjà recommandée (avec une brève description de la ou des raisons pour lesquelles la proposition de remplacement n'a pas été jugée suffisamment impérative).

ANNEXE 2

DIRECTIVES GENERALES POUR LA FORMATION DE DENOMINATIONS COMMUNES INTERNATIONALES APPLICABLES AUX SUBSTANCES PHARMACEUTIQUES¹

1. Les dénominations communes internationales (DCI) devront se distinguer les unes des autres par leur consonance et leur orthographe. Elles ne devront pas être d'une longueur excessive, ni prêter à confusion avec des appellations déjà couramment employées.

2. La DCI de chaque substance devra, si possible, indiquer sa parenté pharmacologique. Les dénominations susceptibles d'évoquer pour les malades des considérations anatomiques, physiologiques, pathologiques ou thérapeutiques devront être évitées dans la mesure du possible.

Outre ces deux principes fondamentaux, on respectera les principes secondaires suivants :

3. Lorsqu'on formera la DCI de la première substance d'un nouveau groupe pharmacologique, on tiendra compte de la possibilité de former ultérieurement d'autres DCI appropriées pour les substances apparentées du même groupe.

4. Pour former des DCI des acides, on utilisera de préférence un seul mot. Leurs sels devront être désignés par un terme qui ne modifie pas le nom de l'acide d'origine : par exemple «oxacilline» et «oxacilline sodique», «ibufénac» et «ibufénac sodique».

5. Les DCI pour les substances utilisées sous forme de sels devront en général s'appliquer à la base active (ou à l'acide actif). Les dénominations pour différents sels ou esters d'une même substance active ne différeront que par le nom de l'acide inactif (ou de la base inactive).

Dans son vingtième rapport (OMS, Série de Rapports techniques, N° 581, 1975), le Comité OMS d'experts des Dénominations communes pour les Substances pharmaceutiques a examiné les directives générales pour la formation des dénominations communes internationales et la procédure à suivre en vue de leur choix, compte tenu de l'évolution du secteur pharmaceutique au cours des dernières années. La modification la plus importante a été l'extension aux substances de synthèse de la pratique normalement suivie pour désigner les substances tirées ou dérivées de produits naturels. Cette pratique consiste à employer des syllabes communes ou groupes de syllabes communes (segments-clés) qui sont caractéristiques et indiquent une propriété commune aux membres du groupe des substances pour lequel ces segments-clés ont été retenus. Les raisons et les conséquences de cette modification ont fait l'objet de discussions approfondies. Les directives ont été mises à jour lors de la treizième consultation sur les dénominations communes pour les substances pharmaceutiques (Genève, 27-29 avril 1983) (PHARM S/NOM 928, 13 mai 1983, révision en date du 18 août 1983).

En ce qui concerne les substances à base d'ammonium quaternaire, la dénomination s'appliquera de façon appropriée au cation et à l'anion en tant qu'éléments distincts d'une substance quaternaire. On évitera de choisir une désignation évoquant un sel aminé.

6. On évitera d'ajouter une lettre ou un chiffre isolé ; en outre, on renoncera de préférence au trait d'union.

7. Pour simplifier la traduction et la prononciation des DCI, la lettre « f » sera utilisée à la place de « ph », « t » à la place de « th », « e » à la place de « ae » ou « oe », et « i » à la place de « y » ; l'usage des lettres « h » et « k » sera aussi évité.

8. On retiendra de préférence, pour autant qu'elles respectent les principes énoncés ici, les dénominations proposées par les personnes qui ont découvert ou qui, les premières, ont fabriqué et lancé sur le marché les préparations pharmaceutiques considérées, ou les dénominations déjà officiellement adoptées par un pays.

9. La parenté entre substances d'un même groupe (voir Directive générale 2) sera si possible indiquée dans les DCI par l'emploi de segments-clés communs. La liste ci-après contient des exemples de segments-clés pour des groupes de substances, surtout pour des groupes récents. Il y a beaucoup d'autres segments-clés en utilisation active.¹ Les segments-clés indiqués sans trait d'union pourront être insérés n'importe où dans une dénomination.

Latin	Français	
-acum	-ac	substances anti-inflammatoires du groupe de l'ibufénac
-adolum	-adol }	analgésiques
-adol-	-adol- }	
-astum	-ast	antiasthmatiques, antiallergiques n'agissant pas principalement en tant qu'antihistaminiques
-astinum	-astine	antihistaminiques
-azepamum	-azépam	substances du groupe du diazépam
bol	bol	stéroïdes anabolisants
-cain-	-caïn-	antiarythmiques de classe I, dérivés du procaïnamide et de la lidocaïne
-cainum	-caïne	anesthésiques locaux
cef-	céf-	antibiotiques, dérivés de l'acide céphalosporanique
-cillinum	-cilline	antibiotiques, dérivés de l'acide 6-aminopénicillanique
-conazolum	-conazole	agents antifongiques systémiques du groupe du miconazole
cort	cort	corticostéroïdes, autres que les dérivés de la prednisolone
-coxibum	-coxib	inhibiteurs sélectifs de la cyclo-oxygénase
-entanum	-entan	antagonistes du récepteur de l'endothéline
gab	gab	gabamimétiques
gado-	gado-	agents diagnostiques, dérivés du gadolinium
-gatranum	-gatran	antithrombines, antithrombotiques
gest	gest	stéroïdes progestogènes
gli	gli	antihyperglycémiants
io-	io-	produits de contraste iodés
-metacinum	-métacine	substances anti-inflammatoires du groupe de l'indométacine
-mycinum	-mycine	antibiotiques produits par des souches de <i>Streptomyces</i>

¹ Une liste plus complète de segments-clés est contenue dans le document de travail WHO/EMP/RHT/TSN/2018.1 qui est régulièrement mis à jour et qui peut être demandé auprès du programme des DCI, OMS, Genève.

<i>-nidazolum</i>	<i>-nidazole</i>	substances antiprotozoaires du groupe du métronidazole
<i>-ololum</i>	<i>-olol</i>	antagonistes des récepteurs β-adrénergiques
<i>-oxacinum</i>	<i>-oxacine</i>	substances antibactériennes du groupe de l'acide nalidixique
<i>-platinum</i>	<i>-platine</i>	antinéoplasiques, dérivés du platine
<i>-poetinum</i>	<i>-poétine</i>	facteurs sanguins de type érythropoïétine
<i>-pril(at)um</i>	<i>-prill(ate)</i>	inhibiteurs de l'enzyme de conversion de l'angiotensine
<i>-profenum</i>	<i>-profène</i>	substances anti-inflammatoires du groupe de l'ibuprofène
<i>prost</i>	<i>prost</i>	prostaglandines
<i>-relinum</i>	<i>-réline</i>	peptides stimulant la libération d'hormones hypophysaires
<i>-sartanum</i>	<i>-sartan</i>	antagonistes d'un récepteur de l'angiotensine II, antihypertenseurs (non peptidiques)
<i>-vaptanum</i>	<i>-vaptan</i>	antagonistes du récepteur de la vasopressine
<i>vin-</i>	<i>vin-</i>	alcaloïdes du type vinca
<i>-vin-</i>	<i>-vin-</i>	

ANEXO 1

PROCEDIMIENTO DE SELECCIÓN DE DENOMINACIONES COMUNES INTERNACIONALES RECOMENDADAS PARA SUSTANCIAS FARMACÉUTICAS¹

La Organización Mundial de la Salud (OMS) seguirá el procedimiento que se expone a continuación tanto para seleccionar denominaciones comunes internacionales recomendadas para las sustancias farmacéuticas, de conformidad con lo dispuesto en la resolución WHA3.11, como para sustituir esas denominaciones.

Artículo 1 - Las propuestas de denominaciones comunes internacionales recomendadas y las propuestas de sustitución de esas denominaciones se presentarán a la OMS en los formularios que se proporcionen a estos efectos. El estudio de estas propuestas estará sujeto al pago de una tasa destinada a sufragar los costos de administración que ello suponga para la Secretaría de la OMS («la Secretaría»). La Secretaría establecerá la cuantía de esa tasa y podrá ajustarla periódicamente.

Artículo 2 - Estas propuestas serán sometidas por la Secretaría a los miembros del Cuadro de Expertos en Farmacopea Internacional y Preparaciones Farmacéuticas encargados de su estudio, en adelante designados como «el Grupo de Expertos en DCI», para que las examinen de conformidad con los «Principios generales de orientación para formar denominaciones comunes internacionales para sustancias farmacéuticas», anexos a este procedimiento.² A menos que haya poderosas razones en contra, la denominación aceptada será la empleada por la persona que haya descubierto o fabricado y comercializado por primera vez esa sustancia farmacéutica.

Artículo 3 - Tras el examen al que se refiere el artículo 2, la Secretaría notificará que está en estudio un proyecto de denominación internacional.

a) Esa notificación se hará mediante una publicación en *Información Farmacéutica OMS*³ y el envío de una carta a los Estados Miembros y a las comisiones nacionales y regionales de las farmacopeas u otros organismos designados por los Estados Miembros.

¹Véase el anexo 1 en OMS, Serie de Informes Técnicos, Nº 581, 1975. El texto vigente fue adoptado por el Consejo Ejecutivo en su resolución EB15.R7 y modificado en las resoluciones EB43.R9 y EB115.R4.

²Véase el anexo 2.

³Hasta 1987 las listas de DCI se publicaban en la *Crónica de la Organización Mundial de la Salud*.

i) La notificación será enviada también a la persona que haya presentado la propuesta («el solicitante inicial») y a otras personas que tengan un interés especial en una denominación objeto de estudio.

b) En esa notificación se incluirán los siguientes datos:

- i) la denominación sometida a estudio;
- ii) la identidad de la persona que ha presentado la propuesta de denominación de la sustancia, si lo pide esa persona;
- iii) la identidad de la sustancia cuya denominación está en estudio;
- iv) el plazo fijado para recibir observaciones y objeciones, así como el nombre y la dirección de la persona a quien deban dirigirse; y
- v) los poderes conferidos para el caso a la OMS y una referencia al presente procedimiento.

c) Al enviar esa notificación, la Secretaría solicitará de los Estados Miembros la adopción de todas las medidas necesarias para impedir la adquisición de derechos de patente sobre la denominación propuesta, durante el periodo en que la OMS la tenga en estudio.

Artículo 4 - Toda persona puede formular a la OMS observaciones sobre la denominación propuesta dentro de los cuatro meses siguientes a su publicación en *Información Farmacéutica OMS*, conforme a lo dispuesto en el artículo 3.

Artículo 5 - Toda persona interesada puede presentar una objeción formal a una denominación propuesta dentro de los cuatro meses siguientes a su publicación en *Información Farmacéutica OMS*, conforme a lo dispuesto en el artículo 3.

Esa objeción deberá acompañarse de los siguientes datos:

- i) la identidad de la persona que formula la objeción;
- ii) las causas que motivan su interés por la denominación; y
- iii) las causas que motivan su objeción a la denominación propuesta.

Artículo 6 - Cuando se haya presentado una objeción formal en la forma prevista en el artículo 5, la OMS podrá reconsiderar el nombre propuesto o utilizar sus buenos oficios para intentar lograr que se retire la objeción. La OMS no seleccionará como denominación común internacional una denominación a la que se haya hecho una objeción formal, presentada según lo previsto en el artículo 5, que no haya sido retirada, todo ello sin perjuicio de que la Organización examine otra denominación o denominaciones sustitutivas.

Artículo 7 - Cuando no se haya formulado ninguna objeción en la forma prevista en el artículo 5, o cuando todas las objeciones presentadas hayan sido retiradas, la Secretaría notificará, conforme a lo dispuesto en el párrafo a) del artículo 3, que la denominación ha sido seleccionada por la OMS como denominación común internacional recomendada.

Artículo 8 - Al comunicar a los Estados Miembros una denominación común internacional, conforme a lo previsto en el artículo 7, la Secretaría:

a) solicitará que esta denominación sea reconocida como denominación común para la sustancia de que se trate; y

b) solicitará a los Estados Miembros que adopten todas las medidas necesarias para impedir la adquisición de derechos de patente sobre la denominación, y prohíban que sea registrada como marca de fábrica o como nombre comercial.

Artículo 9

a) En el caso excepcional de que, debido a su semejanza con otra denominación utilizada en las prácticas farmacéuticas y/o de prescripción, una denominación común internacional recomendada anteriormente ocasione errores de medicación, prescripción o distribución, o suponga un riesgo manifiesto de que esto ocurra, y parezca que tales errores o potenciales errores no sean fácilmente subsanables con otras medidas que no sean la posible sustitución de esa denominación común internacional recomendada anteriormente; en el caso de que una denominación común internacional recomendada anteriormente difiera considerablemente de la denominación común aprobada en un número importante de Estados Miembros, o en otras circunstancias excepcionales que justifiquen el cambio de una denominación común internacional recomendada, cualquier persona interesada puede presentar propuestas en este sentido. Esas propuestas se presentarán en los formularios que se proporcionen a estos efectos e incluirán los siguientes datos:

- i) la identidad de la persona que presenta la propuesta;
- ii) las causas que motivan su interés en la sustitución propuesta;
- iii) las causas que motivan la propuesta; y
- iv) una descripción, acompañada de pruebas documentales, de las otras medidas que se hayan adoptado con el fin de resolver la situación y de los motivos por los cuales dichas medidas no han sido suficientes.

Entre esas propuestas podrá figurar una relativa a una nueva denominación común internacional sustitutiva, formulada con arreglo a los Principios generales y que tenga en cuenta la sustancia farmacéutica para la que se proponga la nueva denominación común internacional sustitutiva.

La Secretaría enviará al Grupo de Expertos en DCI y al solicitante inicial o a su sucesor (en el caso de que sea una persona diferente de la que ha presentado la propuesta de sustitución y siempre que el solicitante inicial o su sucesor sean conocidos o puedan ser encontrados mediante esfuerzos diligentes, como el contacto con las asociaciones industriales) una copia de la propuesta, para que sea examinada de conformidad con el procedimiento descrito en el párrafo b) *infra*.

Además, la Secretaría solicitará observaciones sobre la propuesta:

- /) a los Estados Miembros y a las comisiones nacionales y regionales de las farmacopeas u otros organismos designados por los Estados Miembros (ello se hará incluyendo una notificación a tal efecto en la carta a la que se refiere el párrafo a) del artículo 3), y
- /i) a cualquier persona que tenga un interés especial en la sustitución propuesta.

Al solicitar que se formulen estas observaciones se facilitarán los siguientes datos:

- /) la denominación común internacional recomendada que se propone sustituir (y la denominación sustitutiva propuesta, si se ha facilitado);

- ii) la identidad de la persona que ha presentado la propuesta de sustitución (si lo pide esa persona);*
- iii) la identidad de la sustancia a la que se refiere la sustitución propuesta y las razones para presentar la propuesta de sustitución;*
- iv) el plazo fijado para recibir observaciones, así como el nombre y la dirección de la persona a quien deban dirigirse; y*
- v) los poderes conferidos para el caso a la OMS y una referencia al presente procedimiento.*

Toda persona puede formular a la OMS observaciones sobre la sustitución propuesta dentro de los cuatro meses siguientes a la fecha en que se realizó la solicitud de observaciones.

b) Una vez agotado el mencionado plazo para la formulación de observaciones, la Secretaría enviará todos los comentarios recibidos al Grupo de Expertos en DCI, al solicitante inicial o a su sucesor, y a la persona que haya presentado la propuesta de sustitución. Si después de examinar la propuesta de sustitución y las observaciones recibidas, el Grupo de Expertos en DCI, la persona que haya presentado la propuesta de sustitución y el solicitante inicial, o su sucesor, están de acuerdo en la necesidad de sustituir la denominación común internacional recomendada anteriormente, la Secretaría remitirá la propuesta de sustitución al Grupo de Expertos en DCI para que la tramite.

No obstante lo anterior, el solicitante inicial o su sucesor no tendrán derecho a impedir el acuerdo sobre una propuesta de sustitución en el caso de que hayan dejado de tener un interés demostrable en la denominación común internacional cuya sustitución se propone.

En caso de que la propuesta de sustitución sea presentada al Grupo de Expertos en DCI para que la tramite, este grupo seleccionará una nueva denominación común internacional de conformidad con los Principios generales a los que se refiere el artículo 2 y al procedimiento establecido en los artículos 3 a 8 inclusive. En ese caso, en las notificaciones que la Secretaría ha de enviar con arreglo a los artículos 3 y 7, respectivamente, incluida la notificación al solicitante inicial o a su sucesor (en el caso de que no sea la misma persona que propuso la sustitución y siempre que el solicitante inicial o su sucesor sean conocidos o puedan ser encontrados mediante esfuerzos diligentes, como el contacto con las asociaciones industriales), se indicará que la nueva denominación sustituye a una denominación común internacional recomendada anteriormente y que los Estados Miembros podrán, si lo estiman oportuno, adoptar disposiciones transitorias aplicables a los productos existentes en cuya etiqueta se utilice, con arreglo a la legislación nacional, la denominación común internacional recomendada anteriormente que se haya sustituido.

En caso de que, después de haber estudiado la propuesta de sustitución y los comentarios recibidos de conformidad con el procedimiento descrito anteriormente, el Grupo de Expertos en DCI, el solicitante inicial o su sucesor y la persona que haya presentado la propuesta de sustitución no lleguen a un acuerdo sobre la existencia de razones poderosas para sustituir una denominación común internacional recomendada anteriormente, esta denominación se mantendrá (siempre en el entendimiento de que el solicitante inicial o su sucesor no tendrán derecho a impedir el acuerdo sobre una propuesta de sustitución en el caso de que hayan dejado de tener un interés demostrable en la denominación común internacional cuya sustitución se propone). En ese caso, la Secretaría comunicará a la persona que haya propuesto la sustitución, así como al solicitante inicial o a su sucesor (en el caso de que no sea la misma persona que propuso la sustitución y siempre que el solicitante inicial o su sucesor sean conocidos o puedan ser encontrados mediante esfuerzos diligentes, como el contacto con las asociaciones industriales), a los Estados Miembros, a las comisiones

nacionales y regionales de las farmacopeas o a otros organismos designados por los Estados Miembros y a cualquier otra persona que tenga interés en la sustitución propuesta, que, pese a la presentación de una propuesta de sustitución, se ha decidido mantener la denominación común internacional recomendada anteriormente (con una descripción de la o las razones por las que se ha considerado que la propuesta de sustitución no estaba respaldada por razones suficientemente poderosas).

ANEXO 2

PRINCIPIOS GENERALES DE ORIENTACIÓN PARA FORMAR DENOMINACIONES COMUNES INTERNACIONALES PARA SUSTANCIAS FARMACÉUTICAS¹

1. Las denominaciones comunes internacionales (DCI) deberán diferenciarse tanto fonéticamente como ortográficamente. No deberán ser incómodamente largas, ni dar lugar a confusión con denominaciones de uso común.
2. La DCI de una sustancia que pertenezca a un grupo de sustancias farmacológicamente emparentadas deberá mostrar apropiadamente este parentesco. Deberán evitarse las denominaciones que puedan tener connotaciones anatómicas, fisiológicas, patológicas o terapéuticas para el paciente.

Estos principios primarios se pondrán en práctica utilizando los siguientes principios secundarios:

3. Al idear la DCI de la primera sustancia de un nuevo grupo farmacológico, deberá tenerse en cuenta la posibilidad de poder formar DCI convenientes para las sustancias emparentadas que se agreguen al nuevo grupo.
4. Al idear DCI para ácidos, se preferirán las de una sola palabra; sus sales deberán denominarse sin modificar el nombre del ácido: p. ej. «oxacilina» y «oxacilina sódica», «ibufenaco» y «ibufenaco sódico».
5. Las DCI para las sustancias que se usan en forma de sal deberán en general aplicarse a la base activa o al ácido activo. Las denominaciones para diferentes sales o esteres de la misma sustancia activa solamente deberán diferir en el nombre del ácido o de la base inactivos. En los compuestos de amonio cuaternario, el catión y el anión deberán denominarse adecuadamente por separado, como componentes independientes de una sustancia cuaternaria y no como sales de una amina.
6. Deberá evitarse el empleo de letras o números aislados; también es indeseable el empleo de guiones.
7. Para facilitar la traducción y la pronunciación, se emplearán de preferencia las letras «f» en lugar de «ph», «t» en lugar de «th», «e» en lugar de «ae» u «oe», e «i» en lugar de «y»; se deberá evitar el empleo de las letras «h» y «k».
8. Siempre que las denominaciones propuestas estén de acuerdo con estos principios, recibirán una consideración preferente las denominaciones propuestas por la persona que haya descubierto las sustancias, o que fabrique y comercialice por primera vez una sustancia farmacéutica, así como las denominaciones ya adoptadas oficialmente en cualquier país.

¹En su 20º informe (OMS, Serie de Informes Técnicos, Nº 581, 1975), el Comité de Expertos de la OMS en Denominaciones Comunes para las Sustancias Farmacéuticas revisó los Principios generales para formar denominaciones comunes internacionales (DCI), y su procedimiento de selección, a la luz de las novedades registradas en los últimos años en materia de compuestos farmacéuticos. El cambio más importante había consistido en hacer extensivo a la denominación de sustancias químicas sintéticas el método utilizado hasta entonces para las sustancias originadas en productos naturales o derivadas de éstos. Dicho método conlleva la utilización de una «partícula» característica que indica una propiedad común a los miembros de un grupo. En el citado informe se examinan en detalle las razones y consecuencias de este cambio.

Los Principios generales de orientación se actualizaron durante la 13ª consulta sobre denominaciones comunes para sustancias farmacéuticas (Ginebra, 27 a 29 de abril de 1983) (PHARM S/NOM 928, 13 de mayo de 1983, revisado el 18 de agosto de 1983).

9. El parentesco entre sustancias del mismo grupo se pondrá de manifiesto en las DCI (véase el Principio 2) utilizando una partícula común. En la lista que figura a continuación se indican ejemplos de partículas para grupos de sustancias, en particular para grupos nuevos. Existen muchas otras partículas que se usan habitualmente.¹ Cuando una partícula aparece sin guión alguno, puede utilizarse en cualquier lugar de la palabra.

Latin	Español	
-acum	-aco	antiinflamatorios derivados del ibufenaco
-adolum	-adol)	analgésicos
-adol-	-adol-)	
-astum	-ast	antiasmáticos, sustancias antialérgicas cuya acción principal no es la antihistamínica
-astinum	-astina	antihistamínicos
-azepamum	-azepam	derivados del diazepam
bol	bol	esteroides anabolizantes
-cain-	-caína-	antiarrítmicos de clase I, derivados de procainamida y lidocaína
-cainum	-caína-	anestésicos locales
cef-	cef-	antibióticos, derivados del ácido cefalosporánico
-cillinum	-cilina	antibióticos derivados del ácido 6-aminopenicilánico
-conazolum	-conazol	antifúngicos sistémicos derivados del miconazol
cort	cort	corticosteroides, excepto derivados de prednisolona
-coxibum	-coxib	inhibidores selectivos de ciclooxygenasa
-entanum	-entán	antagonistas del receptor de endotelina
gab	gab	gabamiméticos
gado-	gado-	agentes para diagnóstico derivados de gadolinio
-gartranum	-gartrán	inhibidores de la trombina antitrombóticos
gest	gest	esteroides progestágenos
gli	gli	hipoglucemiantes,antihiperglucémicos
io-	io-	medios de contraste iodados
-metacinum	-metacina	antiinflamatorios derivados de indometacina
-mycinum	-micina	antibióticos producidos por cepas de <i>Streptomyces</i>
-nidazolum	-nidazol	antiprotozoarios derivados de metronidazol
-ololum	-olo!	antagonistas de receptores β-adrenérgicos
-oxacinum	-oxacino	antibacterianos derivados del ácido nalidíxico
-platinum	-platino	antineoplásicos derivados del platino
-poetinum	-poetina	factores sanguíneos similares a la eritropoyetina
-pril(at)um	-pril(at)	inhibidores de la enzima conversora de la angiotensina
-profenum	-profeno	antiinflamatorios derivados del ibuprofeno
prost	prost	prostaglandinas
-relinum	-relina	péptidos estimulantes de la liberación de hormonas hipofisarias
-sartanum	-sartán	antihipertensivos (no peptídicos) antagonistas del receptor de angiotensina II
-vaptanum	-vaptán	antagonistas del receptor de vasopresina
vin-	vin-)	alcaloides de la vinca
-vin-	-vin-)	

¹ En el documento de trabajo WHO/EMP/RHT/TSN/2018.1, que se actualiza periódicamente y puede solicitarse al Programa sobre Denominaciones Comunes Internacionales, OMS, Ginebra, figura una lista más amplia de partículas.